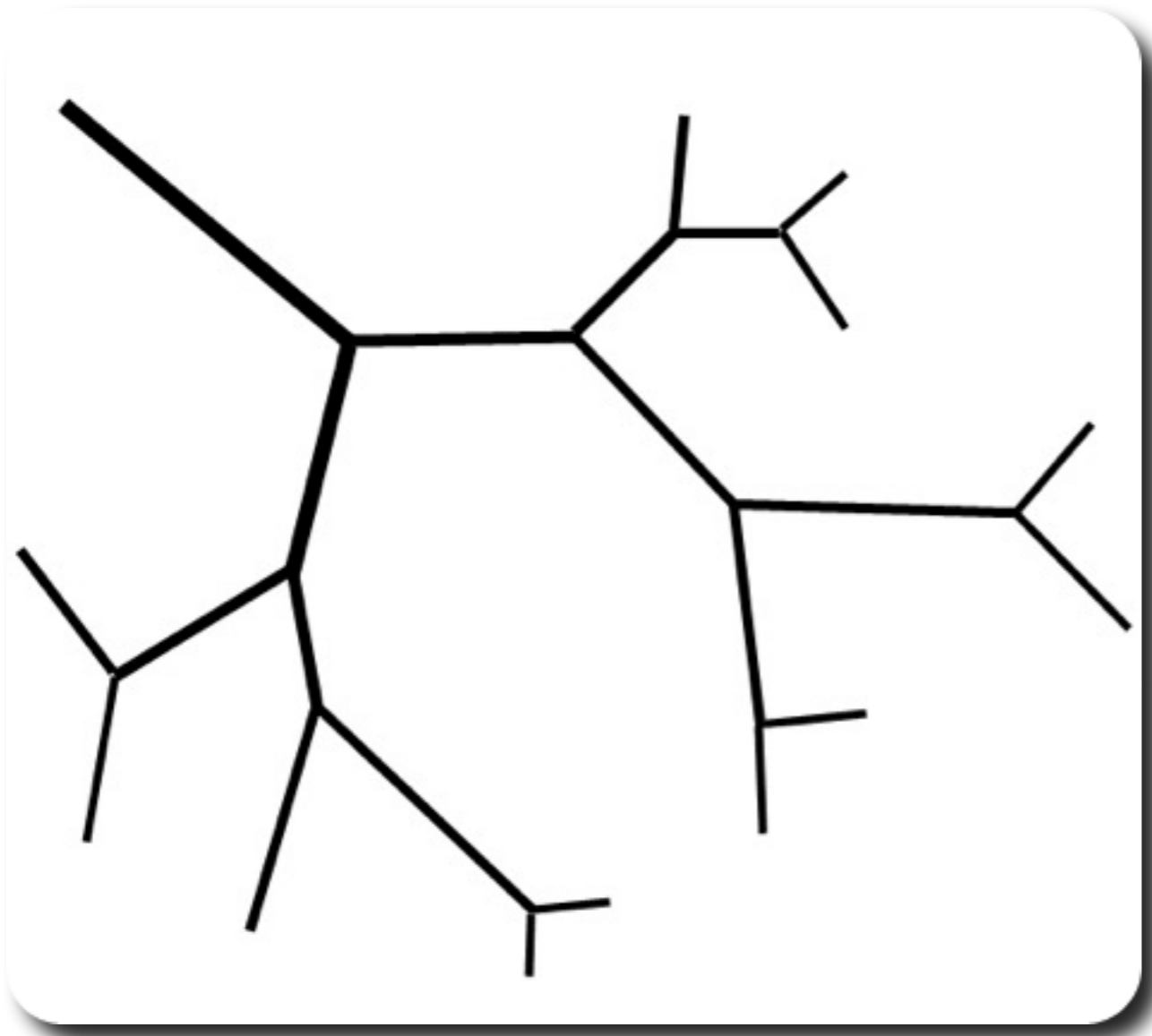


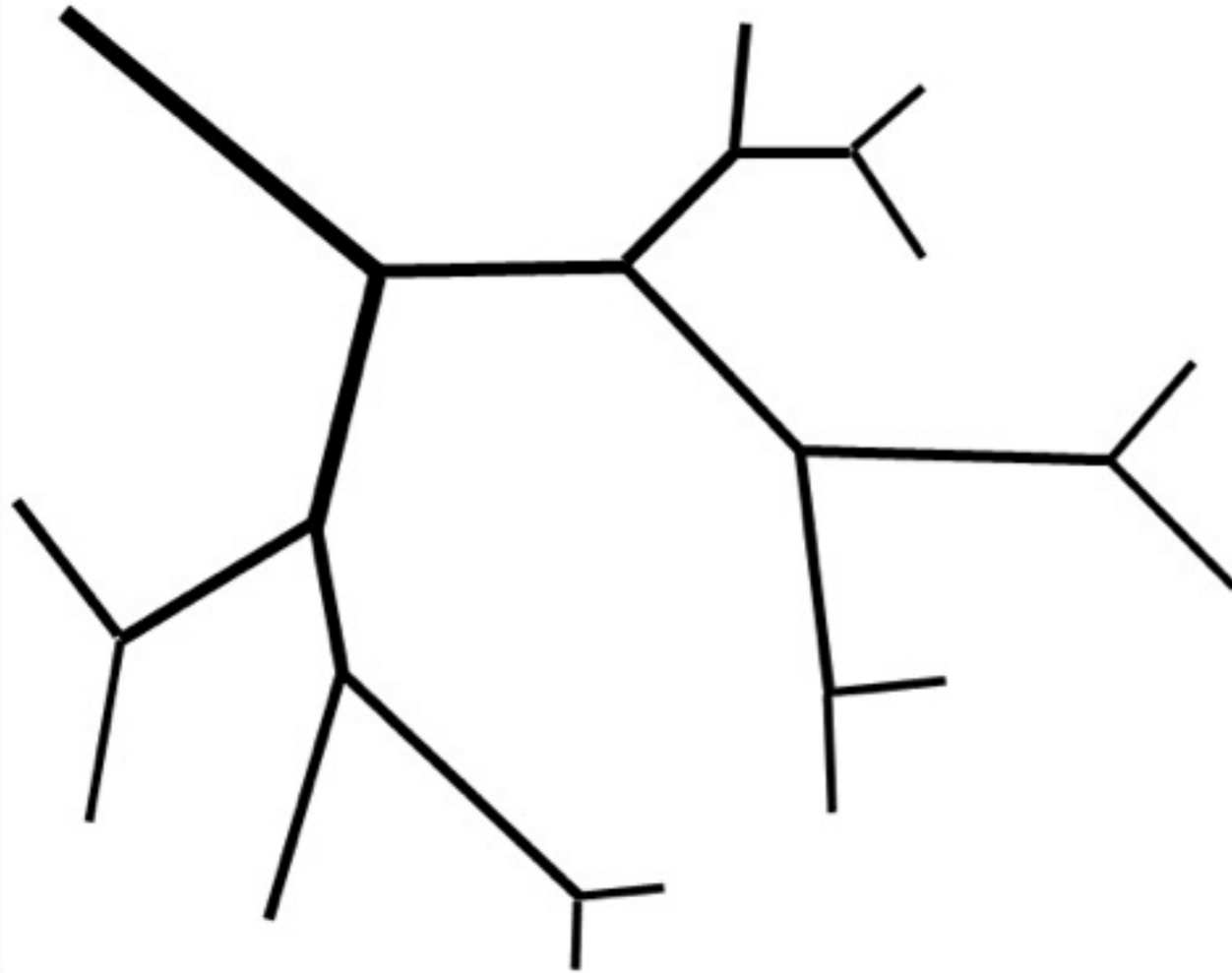
Soutenance de thèse

Propagation d'ondes dans des jonctions de fentes minces

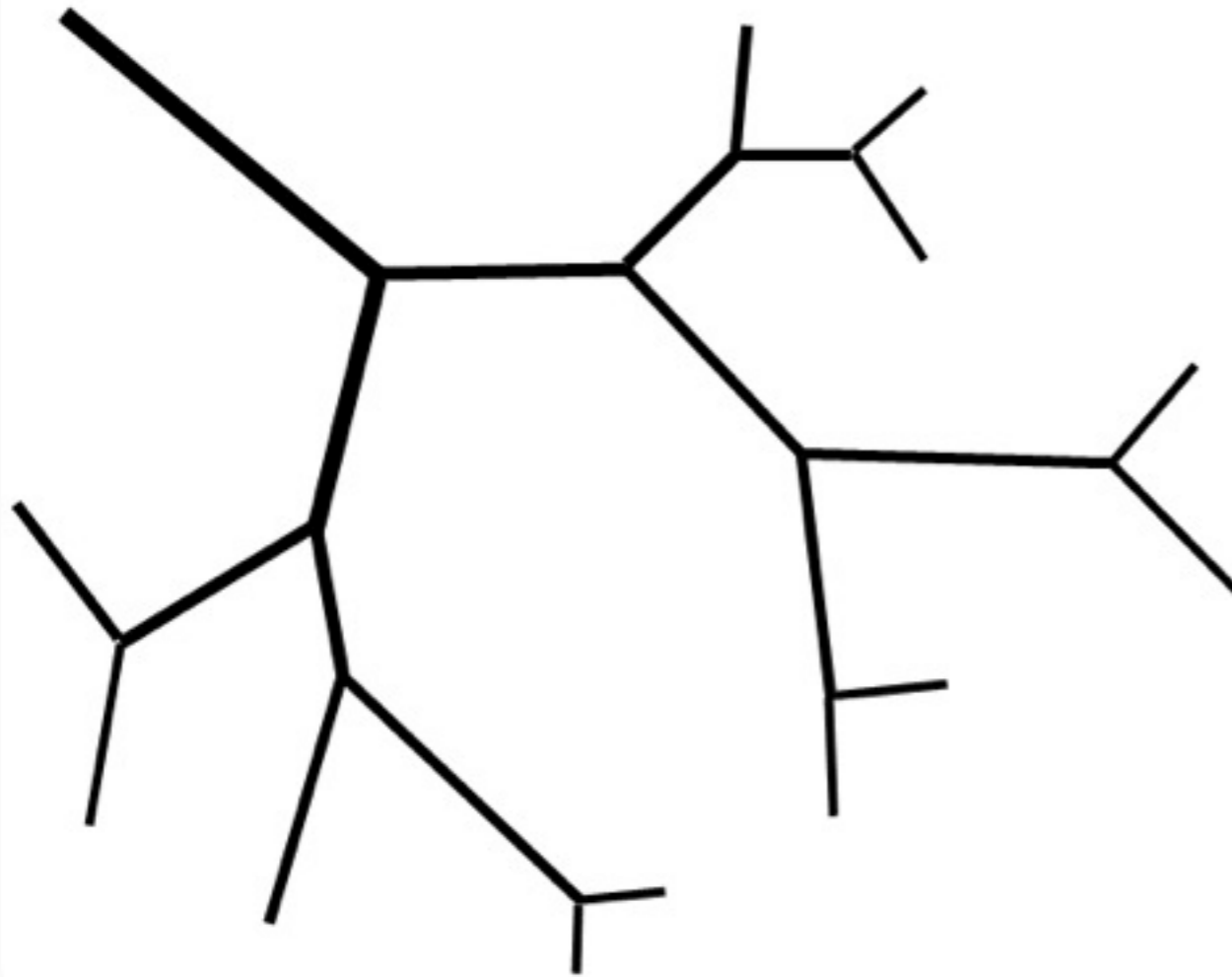
Adrien Semin

Directeurs de thèse: Patrick JOLY et Bertrand MAURY

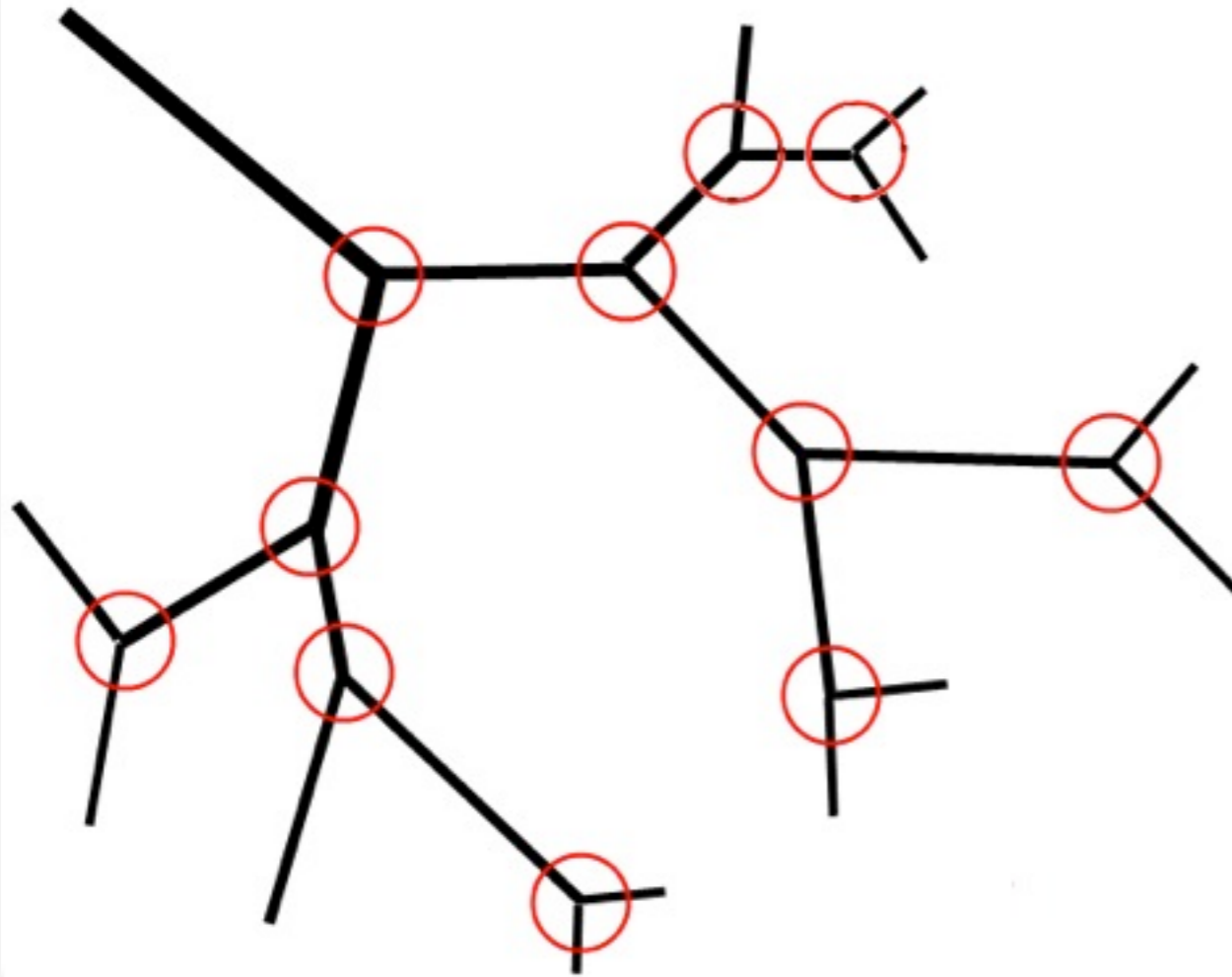




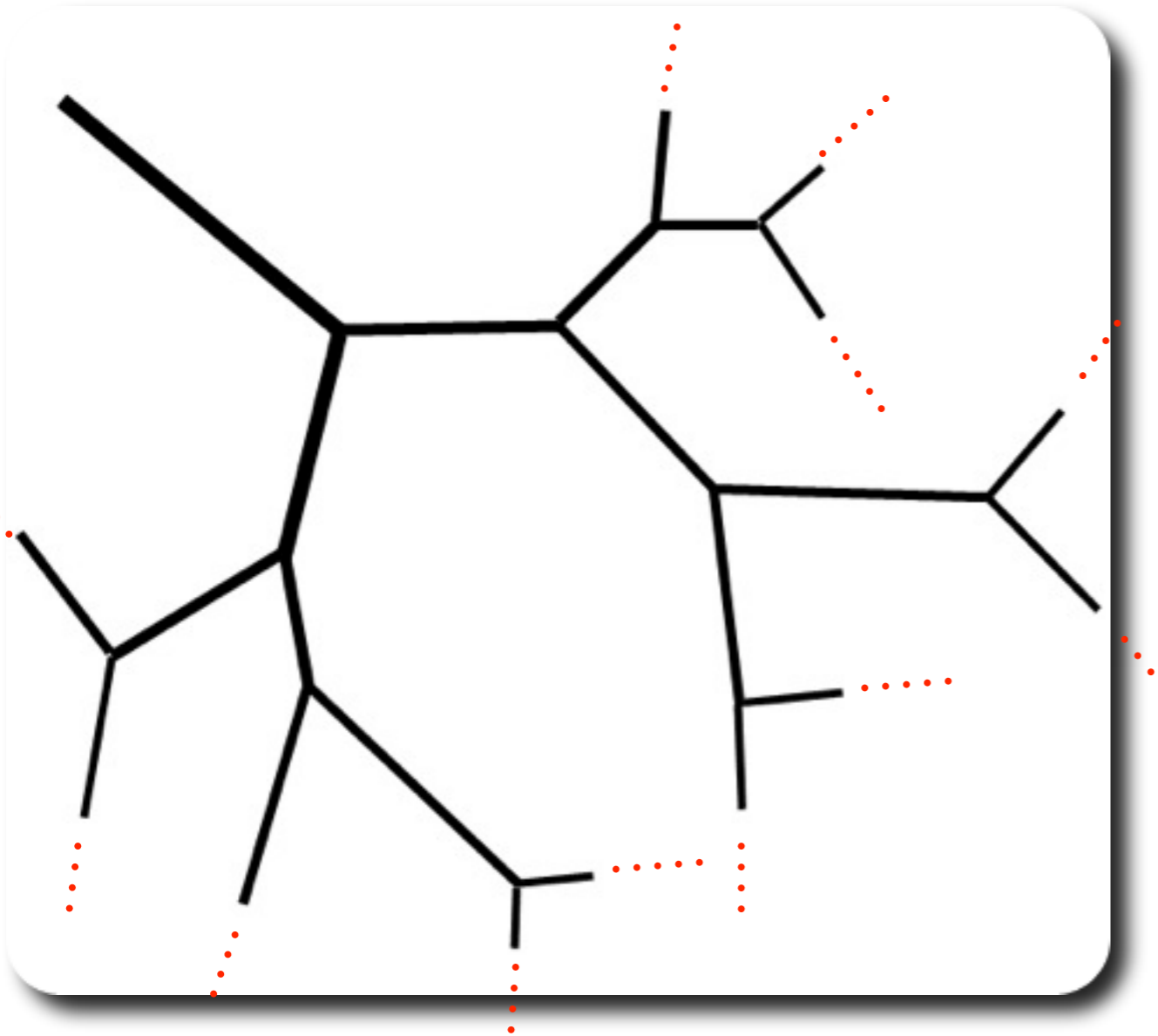
- But: étudier la propagation d'ondes dans un réseau fini ou infini de fentes minces.



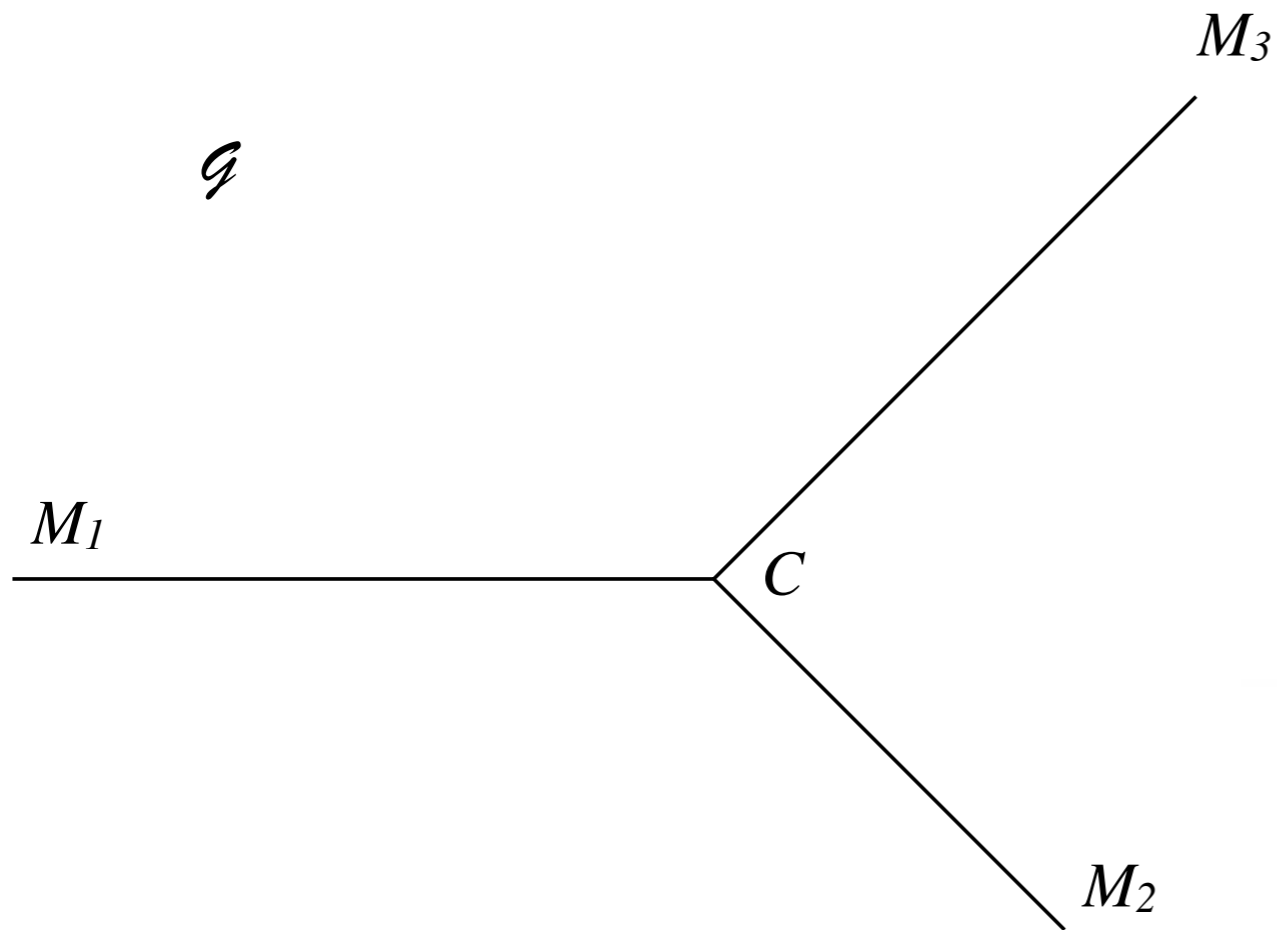
- But: étudier la propagation d'ondes dans un réseau fini ou infini de fentes minces.
- Fentes minces : les directions transverses sont petites devant la longueur d'onde.



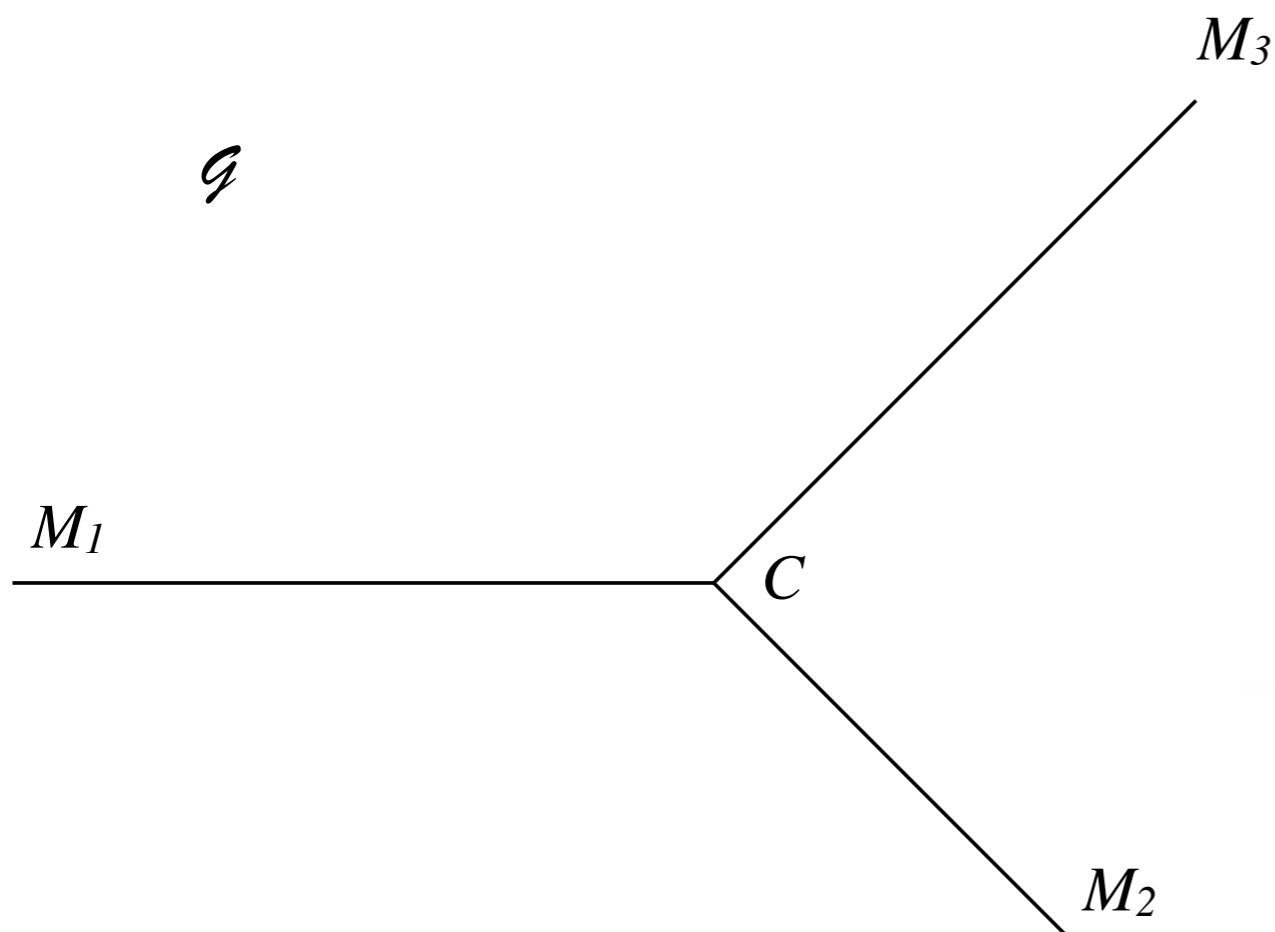
- But: étudier la propagation d'ondes dans un réseau fini ou infini de fentes minces.
- Fentes minces : les directions transverses sont petites devant la longueur d'onde.
- Problèmes:
 - Modéliser efficacement les **jonctions** (partie I de la thèse)



- But: étudier la propagation d'ondes dans un réseau fini ou infini de fentes minces.
- Fentes minces : les directions transverses sont petites devant la longueur d'onde.
- Problèmes:
 - Modéliser efficacement les **jonctions** (partie I de la thèse)
 - Traiter l'**infinité** éventuelle du réseau (partie II de la thèse)

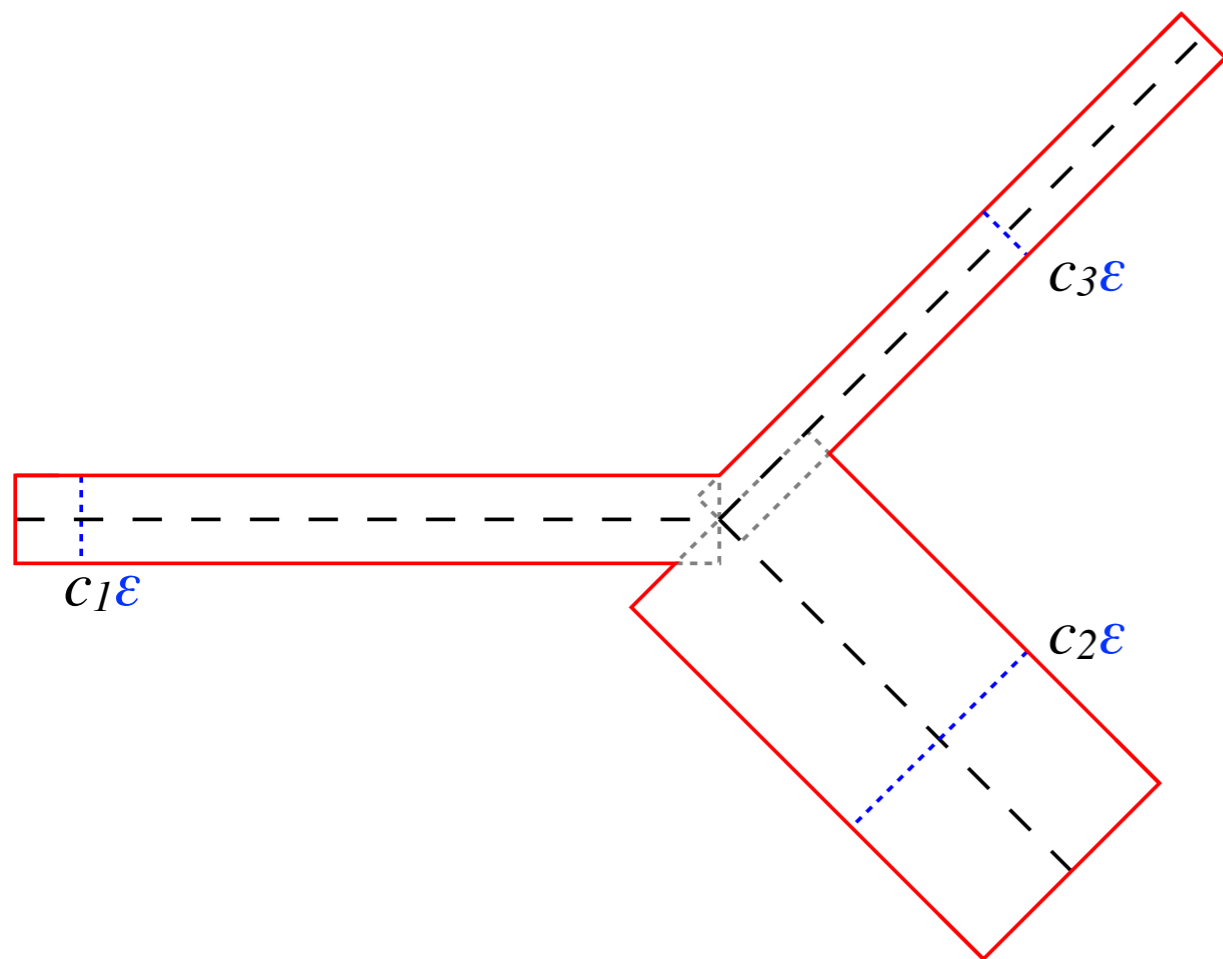


Introduction du problème: cas d'une jonction



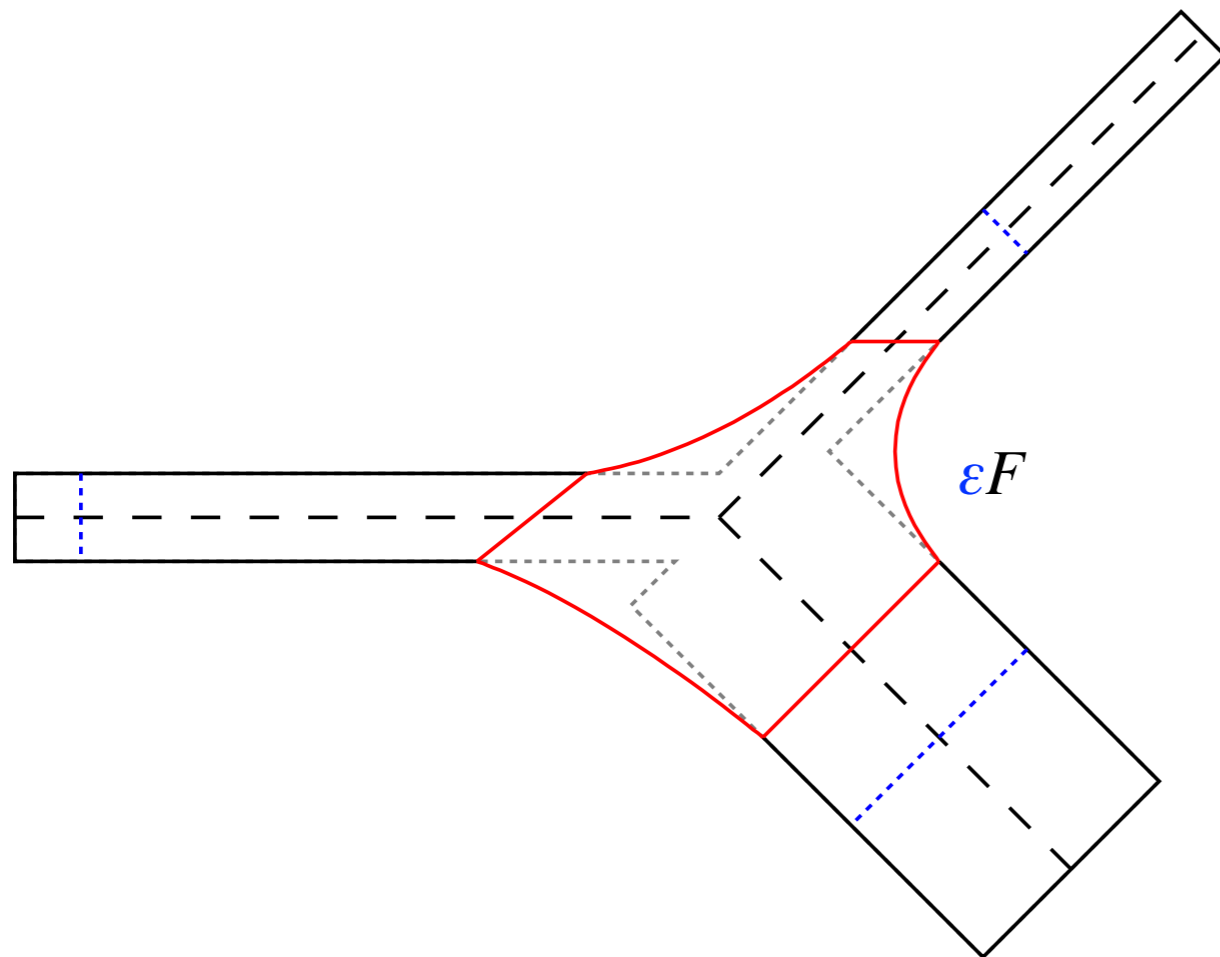
- Nous partons d'un graphe \mathcal{G} donné par N segments de longueurs respectives L_1, L_2, \dots, L_N connectés au même point C (exemple: $N = 3$);

Introduction du problème: cas d'une jonction

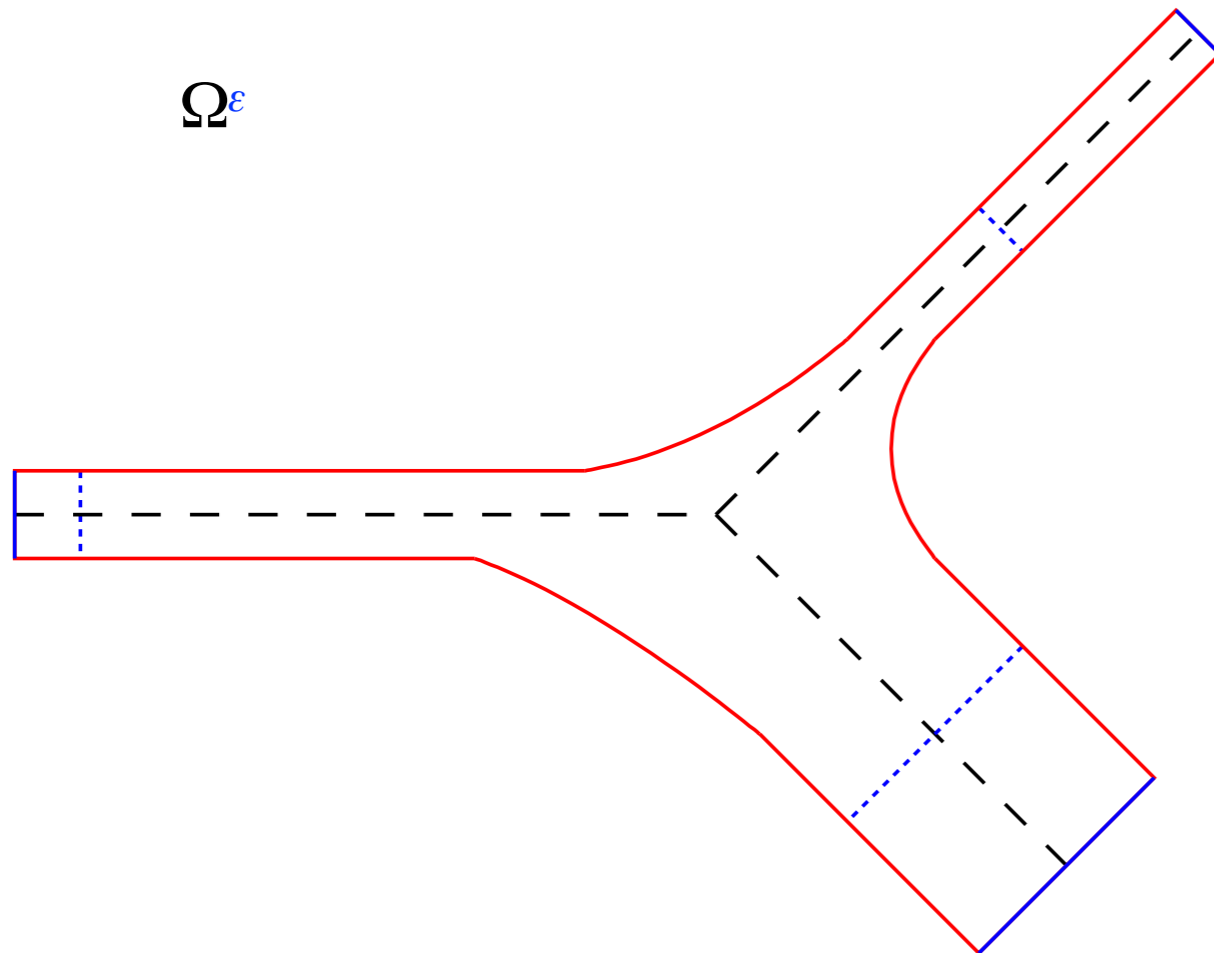


- Nous partons d'un graphe \mathcal{G} donné par N segments de longueurs respectives L_1, L_2, \dots, L_N connectés au même point C (exemple: $N = 3$);
- **Nous les étendons** de manière symétrique afin d'obtenir des rectangles d'épaisseurs respectives $c_1\varepsilon, c_2\varepsilon, \dots, c_1\varepsilon$;

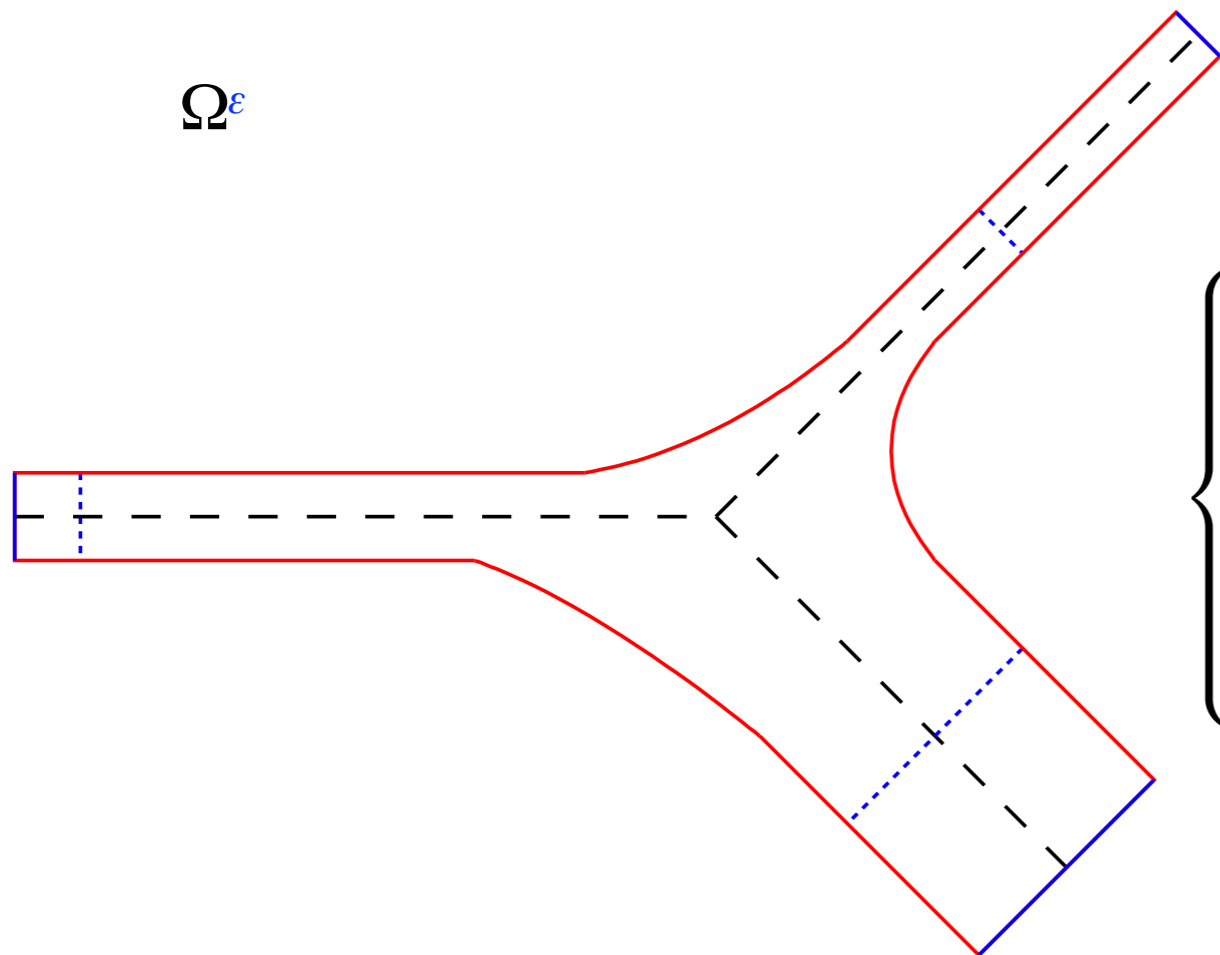
Introduction du problème: cas d'une jonction



- Nous partons d'un graphe \mathcal{G} donné par N segments de longueurs respectives L_1, L_2, \dots, L_N connectés au même point C (exemple: $N = 3$);
- **Nous les étendons** de manière symétrique afin d'obtenir des rectangles d'épaisseurs respectives $c_1\varepsilon, c_2\varepsilon, \dots, c_1\varepsilon$;
- **Nous définissons la jonction** comme un ensemble ouvert εF ;



- Nous partons d'un graphe \mathcal{G} donné par N segments de longueurs respectives L_1, L_2, \dots, L_N connectés au même point C (exemple: $N = 3$);
- **Nous les étendons** de manière symétrique afin d'obtenir des rectangles d'épaisseurs respectives $c_1\epsilon, c_2\epsilon, \dots, c_1\epsilon$;
- **Nous définissons la jonction** comme un ensemble ouvert ϵF ;
- Nous obtenons finalement un ensemble ouvert Ω^ϵ qui tend vers le graphe $\text{ID } \mathcal{G}$ lorsque $\epsilon \rightarrow 0$.



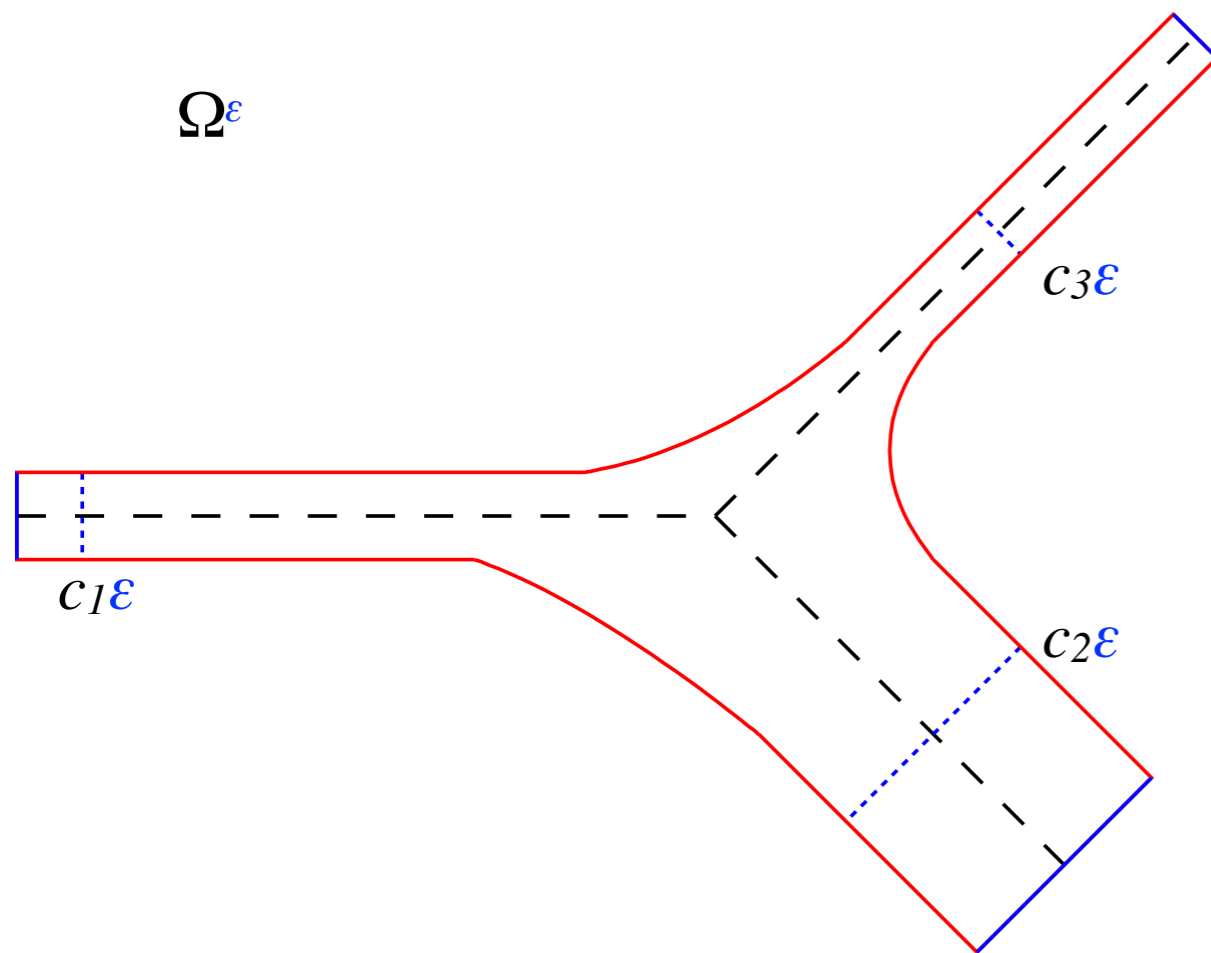
- Nous considérons le problème suivant: trouver $u^\varepsilon \in \mathbb{R}_+^* \times \Omega^\varepsilon$ telle que

$$\frac{\partial^2 u^\varepsilon}{\partial t^2} - \Delta u^\varepsilon = 0, \quad \text{dans } \mathbb{R}_+^* \times \Omega^\varepsilon$$

$$\frac{\partial u^\varepsilon}{\partial \vec{n}} = 0, \quad \text{sur } \mathbb{R}_+^* \times \partial\Omega^\varepsilon$$

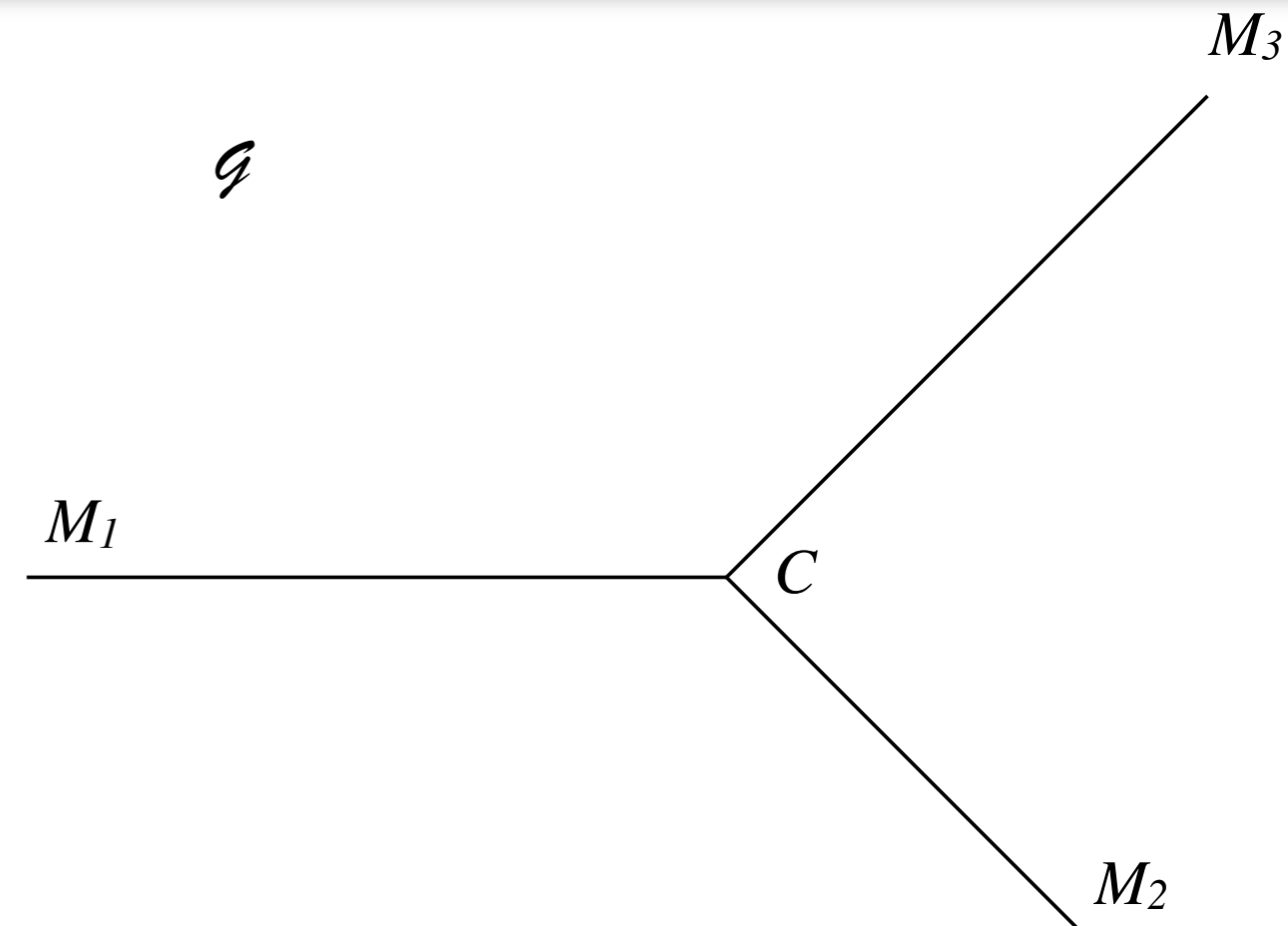
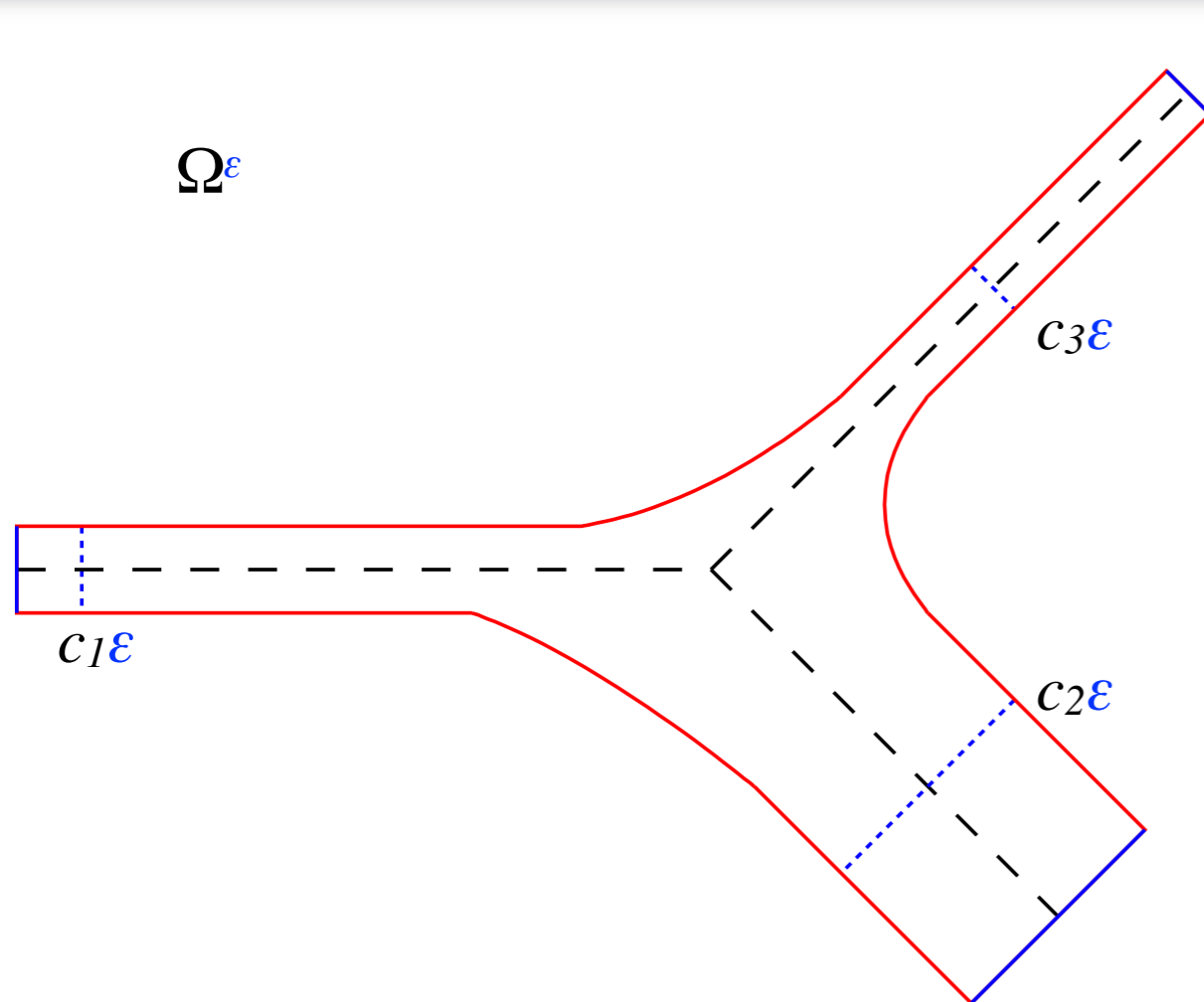
$$u = f^\varepsilon \quad \text{sur } \{0\} \times \Omega^\varepsilon \quad \frac{\partial u}{\partial t} = g^\varepsilon \quad \text{sur } \{0\} \times \Omega^\varepsilon$$

- Proposition: ce problème est bien posé.



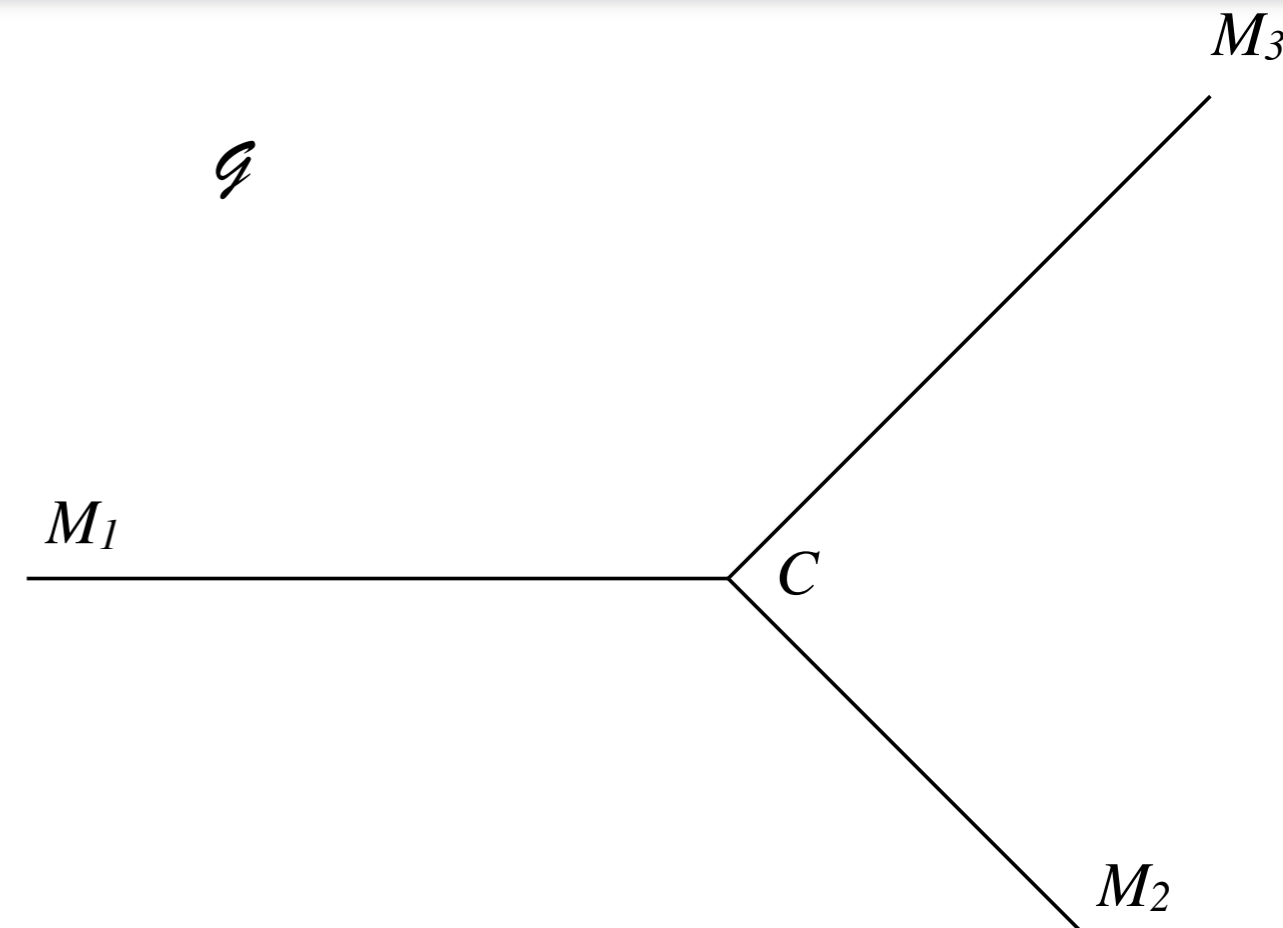
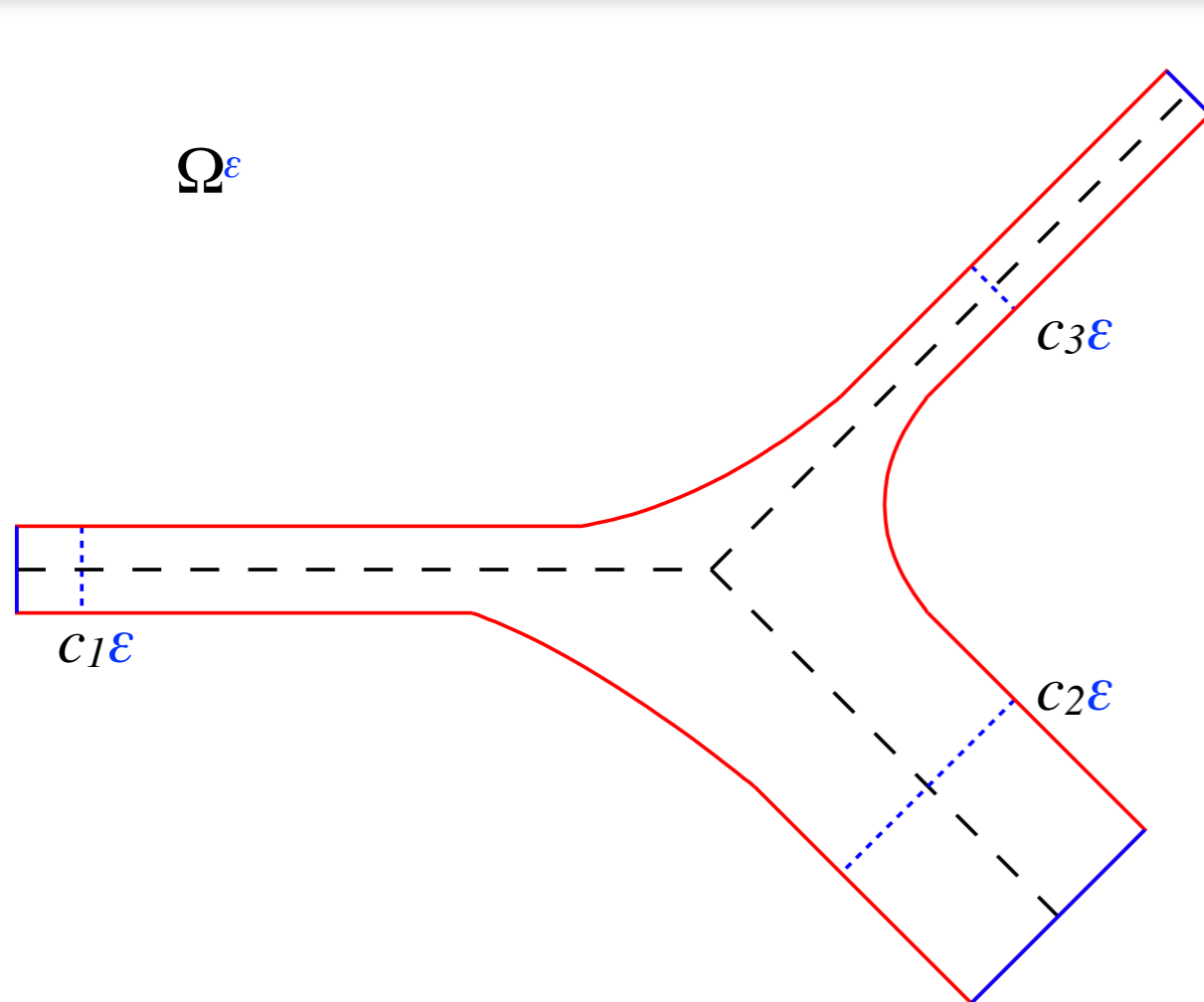
Nous avons

$$\begin{cases} \frac{\partial^2 u^\epsilon}{\partial t^2} - \Delta u^\epsilon = 0, & \text{dans } \mathbb{R}_+^* \times \Omega^\epsilon \\ \frac{\partial u^\epsilon}{\partial \vec{n}} = 0, & \text{sur } \mathbb{R}_+^* \times \partial\Omega^\epsilon \end{cases}$$



Nous avons (u_i étant la restriction de u sur la $i^{\text{ème}}$ fente)

$$\left\{ \begin{array}{l} \frac{\partial^2 u^\epsilon}{\partial t^2} - \Delta u^\epsilon = 0, \quad \text{dans } \mathbb{R}_+^* \times \Omega^\epsilon \\ \frac{\partial u^\epsilon}{\partial \vec{n}} = 0, \quad \text{sur } \mathbb{R}_+^* \times \partial\Omega^\epsilon \end{array} \right. \xRightarrow{\epsilon \rightarrow 0} \left\{ \begin{array}{l} \frac{\partial^2 u_i^0}{\partial t^2} - \Delta_{1D} u_i^0 = 0, \quad \text{dans } \mathbb{R}_+^* \times (CM_i) \\ \frac{\partial u_i^0}{\partial \vec{n}} = 0, \quad \text{sur } \mathbb{R}_+^* \times \{M_i\} \end{array} \right.$$



Nous avons (u_i étant la restriction de u sur la $i^{\text{ème}}$ fente)

$$\left\{ \begin{array}{l} \frac{\partial^2 u^\epsilon}{\partial t^2} - \Delta u^\epsilon = 0, \quad \text{dans } \mathbb{R}_+^* \times \Omega^\epsilon \\ \frac{\partial u^\epsilon}{\partial \vec{n}} = 0, \quad \text{sur } \mathbb{R}_+^* \times \partial\Omega^\epsilon \end{array} \right. \xrightarrow{\epsilon \rightarrow 0} \left\{ \begin{array}{l} \frac{\partial^2 u_i^0}{\partial t^2} - \Delta_{1D} u_i^0 = 0, \quad \text{dans } \mathbb{R}_+^* \times (CM_i) \\ \frac{\partial u_i^0}{\partial \vec{n}} = 0, \quad \text{sur } \mathbb{R}_+^* \times \{M_i\} \\ u_i^0(t, C) = u_j^0(t, C), \quad t \in \mathbb{R}_+^* \\ \sum_{i=1}^N c_i \frac{\partial u_i^0}{\partial \vec{n}}(t, C) = 0, \quad t \in \mathbb{R}_+^* \end{array} \right.$$

Loi de Kirchhoff

- La solution du problème d'onde ID est continue aux nœuds du graphe et la somme des dérivées normales à chaque nœud s'annule.

- La solution du problème d'onde ID est continue aux nœuds du graphe et la somme des dérivées normales à chaque nœud s'annule.
- Ces conditions sont appelées ainsi en référence aux travaux de Kirchhoff.

- La solution du problème d'onde ID est continue aux nœuds du graphe et la somme des dérivées normales à chaque nœud s'annule.
- Ces conditions sont appelées ainsi en référence aux travaux de Kirchhoff.
- La justification du modèle semble être très récente:

J. Rubinstein, M. Schatzman, *Variational problems on multiply connected thin strips*. Arch. Ration. Mech. Anal. 160 (2001), no. 4, pp. 271--308 and 309--324.

P. Kuchment, *Graph models for waves in thin structures*, Waves Random Media, 12(2002), no 4, pp R1--R24

- La solution du problème d'onde ID est continue aux nœuds du graphe et la somme des dérivées normales à chaque nœud s'annule.
- Ces conditions sont appelées ainsi en référence aux travaux de Kirchhoff.
- La justification du modèle semble être très récente:

J. Rubinstein, M. Schatzman, *Variational problems on multiply connected thin strips*. Arch. Ration. Mech. Anal. 160 (2001), no. 4, pp. 271--308 and 309--324.

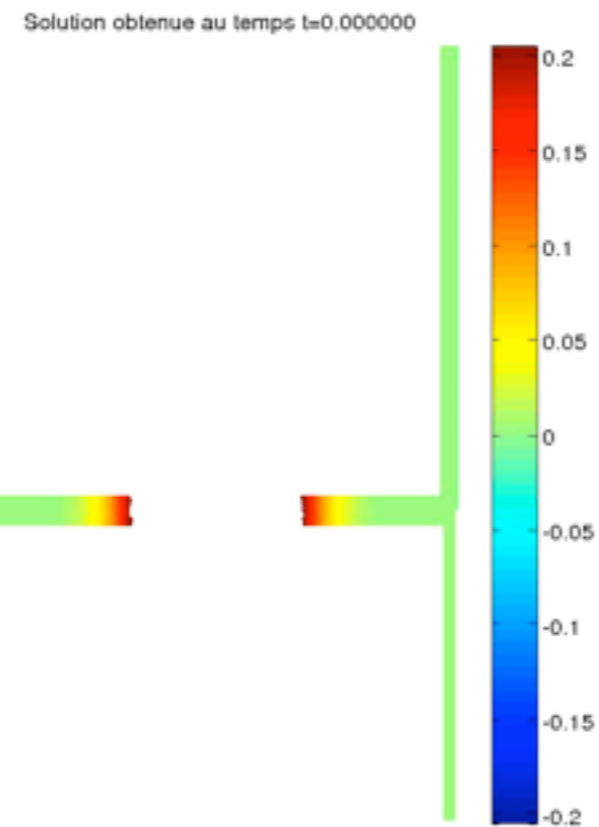
P. Kuchment, *Graph models for waves in thin structures*, Waves Random Media, 12(2002), no 4, pp R1--R24

- Le modèle limite fournit une première approximation de la solution, mais il existe des cas non-pathologiques pour lesquels ce modèle limite ne suffit pas.

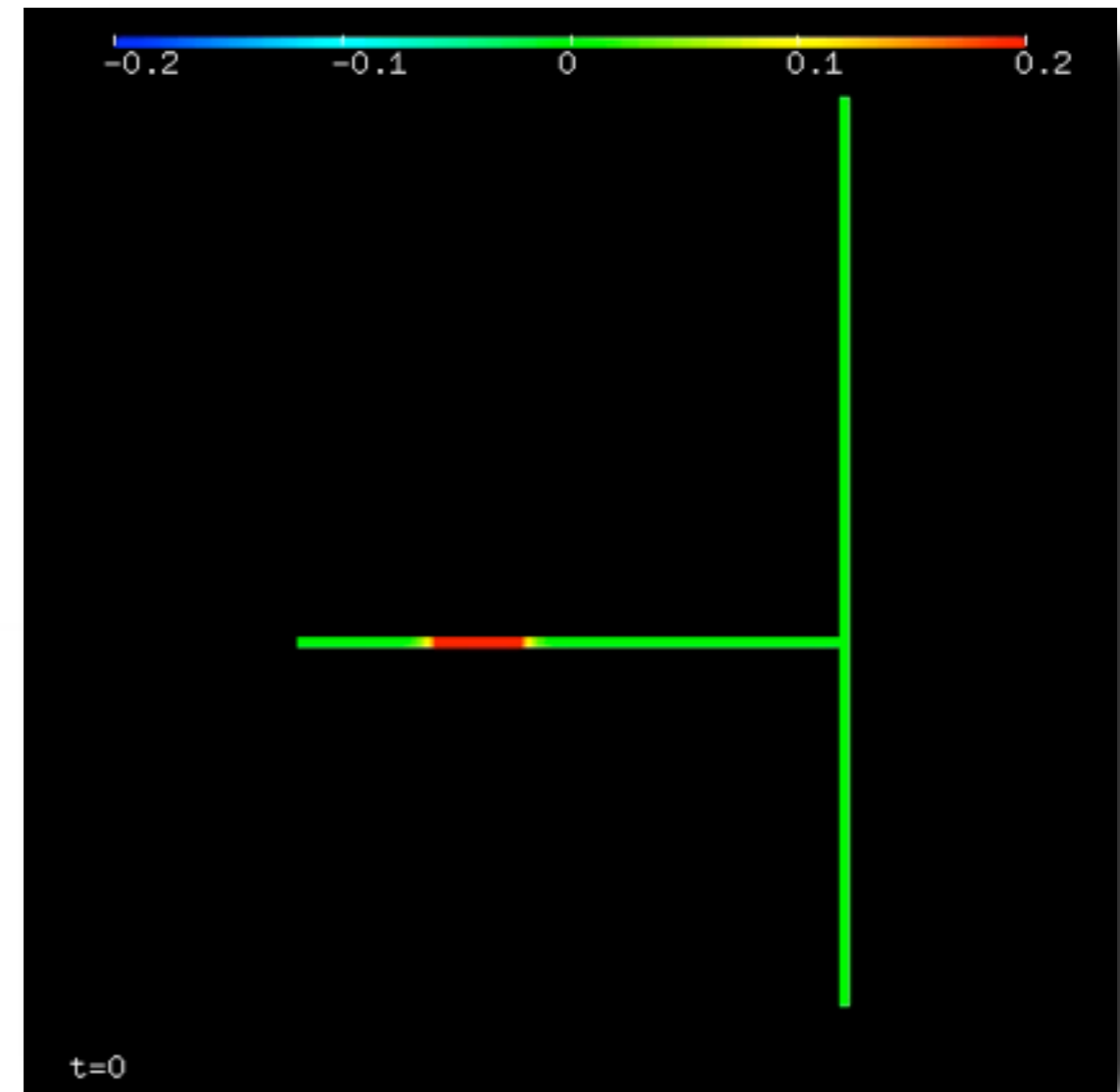
- Expérience numérique: 3 fentes, avec $c_1=1$, $c_2=0.4$ et $c_3=0.6$.
- Données de Cauchy à supports inclus dans la première fente.

- Expérience numérique: 3 fentes, avec $c_1=1$, $c_2=0.4$ et $c_3=0.6$.
- Données de Cauchy à supports inclus dans la première fente.

Résolution 2D exacte - script Matlab

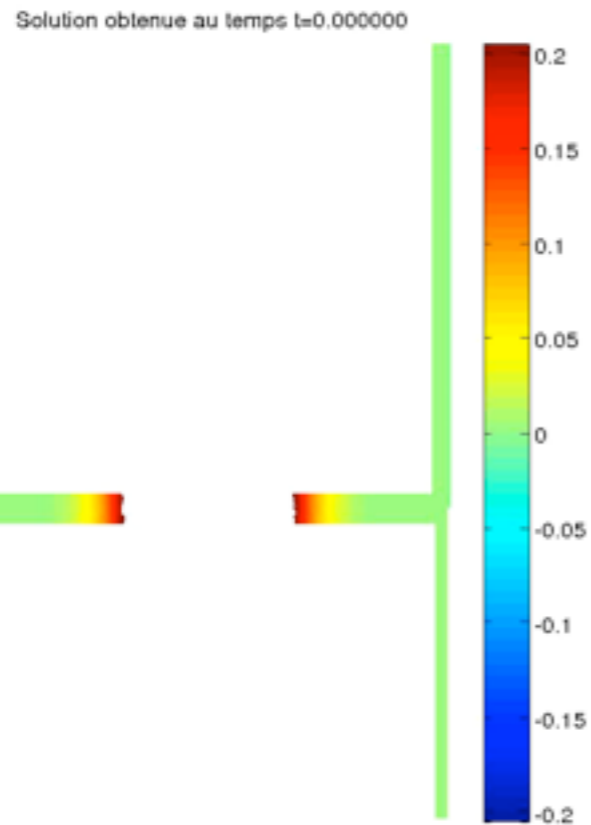


Résolution 1D du problème limite - code NetWaves

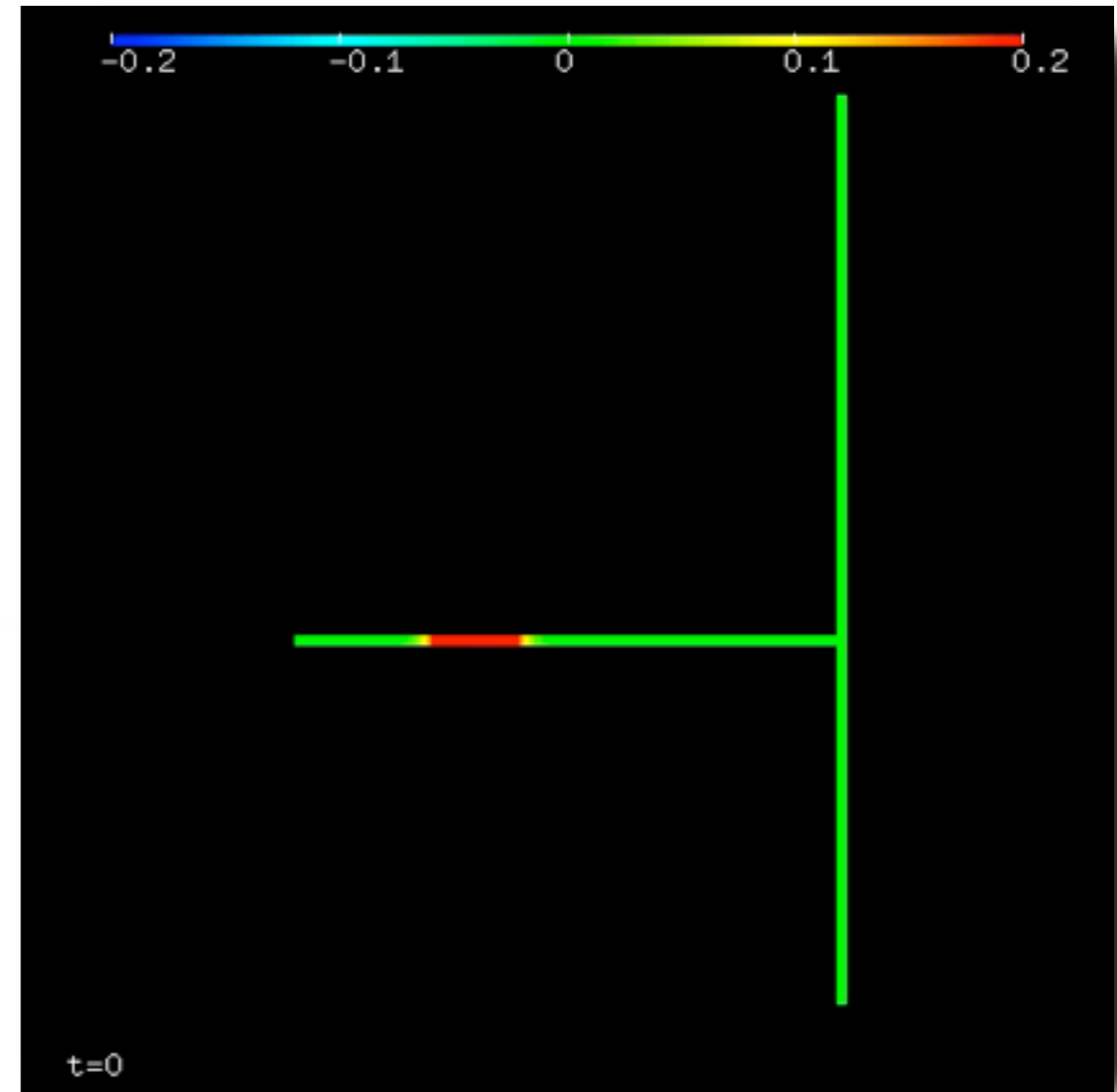


- Expérience numérique: 3 fentes, avec $c_1=1$, $c_2=0.4$ et $c_3=0.6$.
- Données de Cauchy à supports inclus dans la première fente.

Résolution 2D exacte - script Matlab



Résolution 1D du problème limite - code NetWaves



- Réflexion observée sur la solution du problème exact, PAS sur la solution du problème limite \Rightarrow définition de conditions **améliorées** de **Kirchhoff**.

- La littérature sur les développements asymptotiques raccordés est conséquente, mais nous pouvons en première approximation distinguer deux écoles (avec très peu de références croisées):

Un outil: les développements asymptotiques

- La littérature sur les développements asymptotiques raccordés est conséquente, mais nous pouvons en première approximation distinguer deux écoles (avec très peu de références croisées):
 - L'école britannique

D. G. Crighton et al, *Modern methods in Analytical Acoustics*. Lectures Notes, Springer Verlag, 1229. An Asymptotic Analysis.

Un outil: les développements asymptotiques

- La littérature sur les développements asymptotiques raccordés est conséquente, mais nous pouvons en première approximation distinguer deux écoles (avec très peu de références croisées):
 - L'école britannique
 - L'école russe

D. G. Crighton et al, *Modern methods in Analytical Acoustics*. Lectures Notes, Springer Verlag, 1229. An Asymptotic Analysis.

A. M. Il'in, *Matching of Asymptotic Expansions of Boundary value Problems*. Translations of Mathematical Monographs., 162(1992), translated from Russian by V. Michalin.

Un outil: les développements asymptotiques

- La littérature sur les développements asymptotiques raccordés est conséquente, mais nous pouvons en première approximation distinguer deux écoles (avec très peu de références croisées):
 - L'école britannique
 - L'école russe

D. G. Crighton et al, *Modern methods in Analytical Acoustics*. Lectures Notes, Springer Verlag, 1229. An Asymptotic Analysis.

A. M. Il'in, *Matching of Asymptotic Expansions of Boundary value Problems*. Translations of Mathematical Monographs., 162(1992), translated from Russian by V. Michalin.

- Au sein de l'EPI POems, nous retrouvons également des travaux sur les développements asymptotiques:

P. Joly and S. Tordeux, *Matching of asymptotic expansions for wave propagation in media with thin slots I: the asymptotic expansion*. Multiscale Modeling and Simulation: a SIAM Interdisciplinary Journal, 2006, 5(1): pp 304-336.

P. Joly and A. Semin, *Construction and Analysis of Improved Kirchhoff Conditions for acoustic wave propagation in a junction of thin slots*. ESAIM Proceedings, 25(2008): pp 44-67.

- La littérature sur les développements asymptotiques raccordés est conséquente, mais nous pouvons en première approximation distinguer deux écoles (avec très peu de références croisées):

- L'école britannique

- L'école russe

D. G. Crighton et al, *Modern methods in Analytical Acoustics*. Lectures Notes, Springer Verlag, 1229. An Asymptotic Analysis.

A. M. Il'in, *Matching of Asymptotic Expansions of Boundary value Problems*. Translations of Mathematical Monographs., 162(1992), translated from Russian by V. Michalin.

- Au sein de l'EPI POems, nous retrouvons également des travaux sur les développements asymptotiques:

P. Joly and S. Tordeux, *Matching of asymptotic expansions for wave propagation in media with thin slots I: the asymptotic expansion*. Multiscale Modeling and Simulation: a SIAM Interdisciplinary Journal, 2006, 5(1): pp 304-336.

P. Joly and A. Semin, *Construction and Analysis of Improved Kirchhoff Conditions for acoustic wave propagation in a junction of thin slots*. ESAIM Proceedings, 25(2008): pp 44-67.

- La stratégie globale pour les développements asymptotiques raccordés est:

Un outil: les développements asymptotiques

- La littérature sur les développements asymptotiques raccordés est conséquente, mais nous pouvons en première approximation distinguer deux écoles (avec très peu de références croisées):

- L'école britannique

- L'école russe

D. G. Crighton et al, *Modern methods in Analytical Acoustics*. Lectures Notes, Springer Verlag, 1229. An Asymptotic Analysis.

A. M. Il'in, *Matching of Asymptotic Expansions of Boundary value Problems*. Translations of Mathematical Monographs., 162(1992), translated from Russian by V. Michalin.

- Au sein de l'EPI POems, nous retrouvons également des travaux sur les développements asymptotiques:

P. Joly and S. Tordeux, *Matching of asymptotic expansions for wave propagation in media with thin slots I: the asymptotic expansion*. Multiscale Modeling and Simulation: a SIAM Interdisciplinary Journal, 2006, 5(1): pp 304-336.

P. Joly and A. Semin, *Construction and Analysis of Improved Kirchhoff Conditions for acoustic wave propagation in a junction of thin slots*. ESAIM Proceedings, 25(2008): pp 44-67.

- La stratégie globale pour les développements asymptotiques raccordés est:
- Découpage géométrique avec recouvrement,

- La littérature sur les développements asymptotiques raccordés est conséquente, mais nous pouvons en première approximation distinguer deux écoles (avec très peu de références croisées):
 - L'école britannique
 - L'école russe

D. G. Crighton et al, *Modern methods in Analytical Acoustics*. Lectures Notes, Springer Verlag, 1229. An Asymptotic Analysis.

A. M. Il'in, *Matching of Asymptotic Expansions of Boundary value Problems*. Translations of Mathematical Monographs., 162(1992), translated from Russian by V. Michalin.

- Au sein de l'EPI POems, nous retrouvons également des travaux sur les développements asymptotiques:

P. Joly and S. Tordeux, *Matching of asymptotic expansions for wave propagation in media with thin slots I: the asymptotic expansion*. Multiscale Modeling and Simulation: a SIAM Interdisciplinary Journal, 2006, 5(1): pp 304-336.

P. Joly and A. Semin, *Construction and Analysis of Improved Kirchhoff Conditions for acoustic wave propagation in a junction of thin slots*. ESAIM Proceedings, 25(2008): pp 44-67.

- La stratégie globale pour les développements asymptotiques raccordés est:
 - Découpage géométrique avec recouvrement,
 - Écriture d'ansatz et injection des ansatz dans le problème primal,

- La littérature sur les développements asymptotiques raccordés est conséquente, mais nous pouvons en première approximation distinguer deux écoles (avec très peu de références croisées):
 - L'école britannique
 - L'école russe

D. G. Crighton et al, *Modern methods in Analytical Acoustics*. Lectures Notes, Springer Verlag, 1229. An Asymptotic Analysis.

A. M. Il'in, *Matching of Asymptotic Expansions of Boundary value Problems*. Translations of Mathematical Monographs., 162(1992), translated from Russian by V. Michalin.

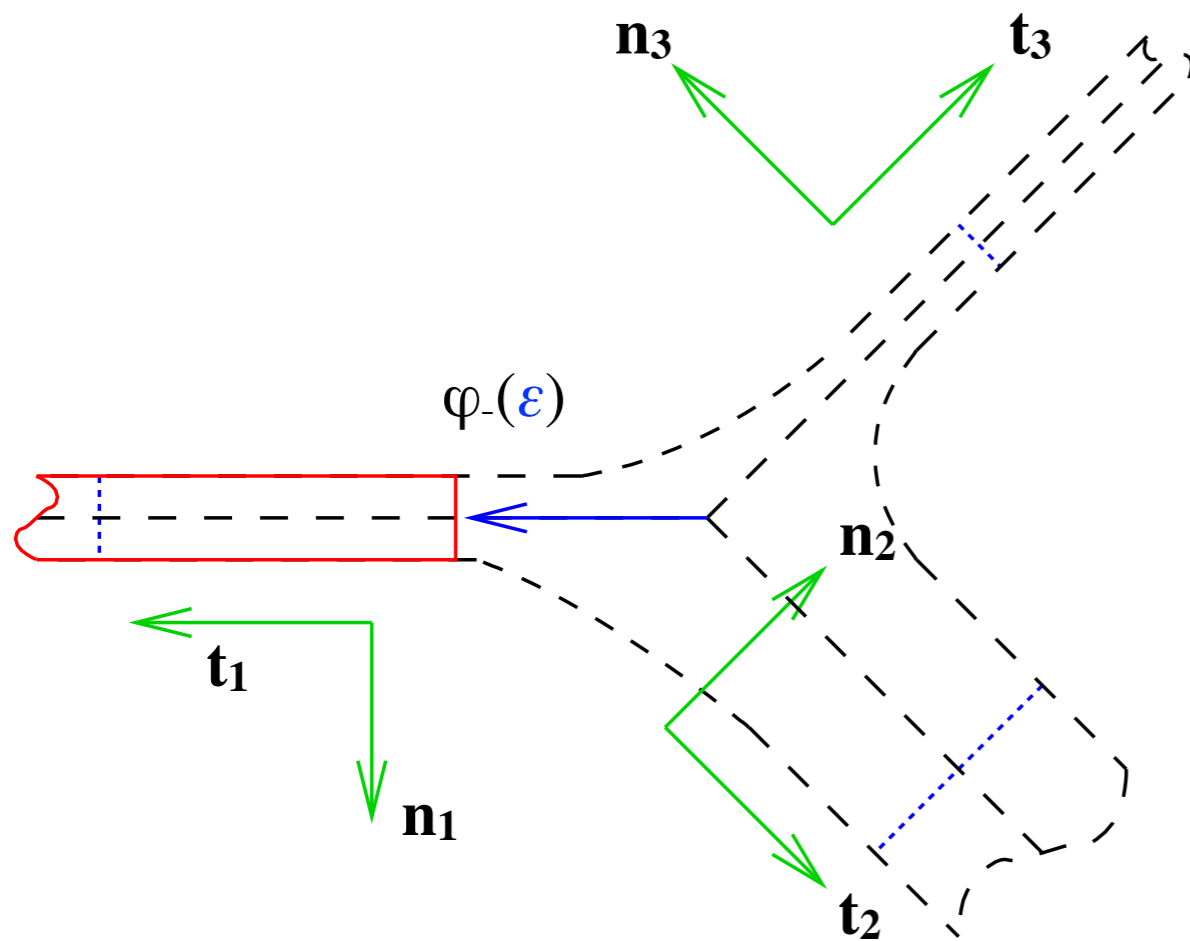
- Au sein de l'EPI POems, nous retrouvons également des travaux sur les développements asymptotiques:

P. Joly and S. Tordeux, *Matching of asymptotic expansions for wave propagation in media with thin slots I: the asymptotic expansion*. Multiscale Modeling and Simulation: a SIAM Interdisciplinary Journal, 2006, 5(1): pp 304-336.

P. Joly and A. Semin, *Construction and Analysis of Improved Kirchhoff Conditions for acoustic wave propagation in a junction of thin slots*. ESAIM Proceedings, 25(2008): pp 44-67.

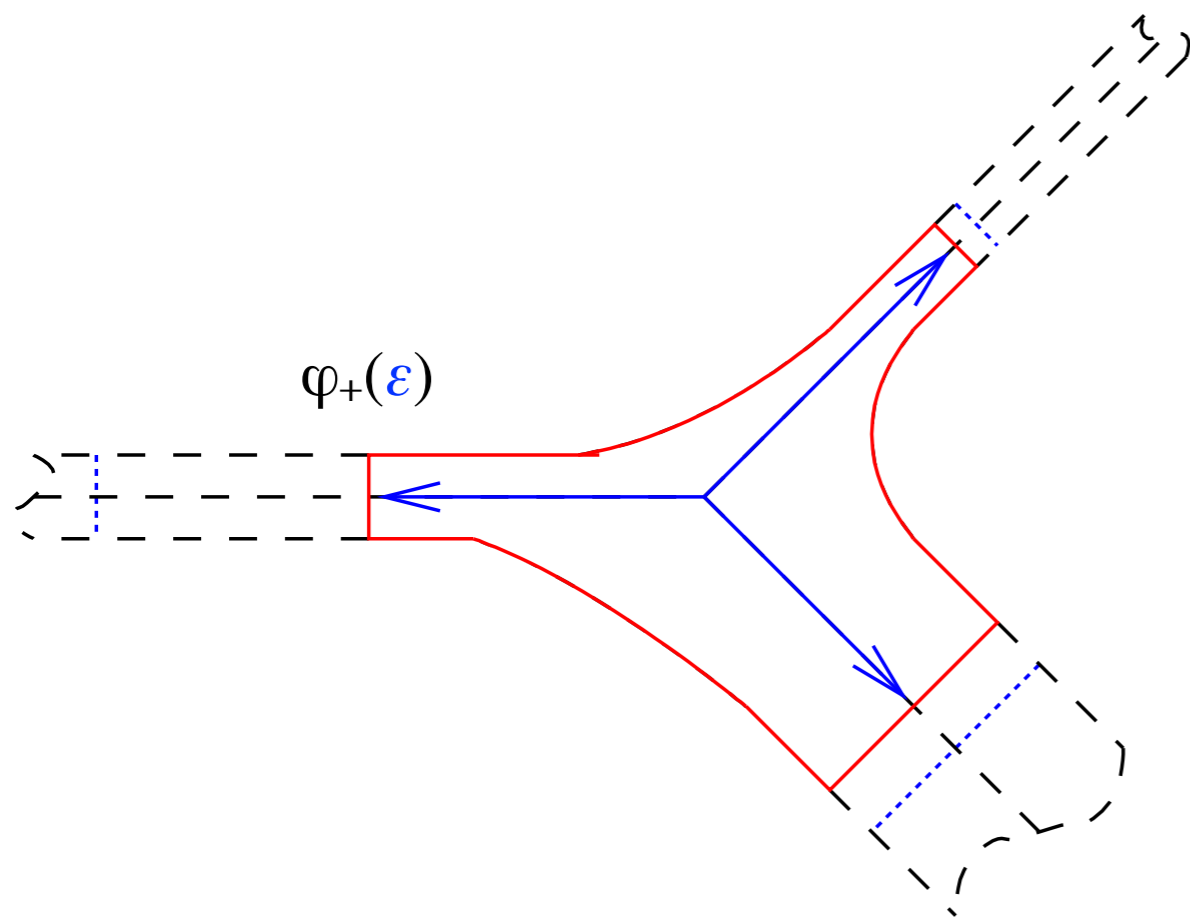
- La stratégie globale pour les développements asymptotiques raccordés est:
 - Découpage géométrique avec recouvrement,
 - Écriture d'ansatz et injection des ansatz dans le problème primal,
 - Écriture de conditions de raccords et justification *a posteriori* des ansatz.

- Nous prenons deux fonctions $\varphi_-(\varepsilon)$ et $\varphi_+(\varepsilon)$ telles que $\varphi_{\pm}(\varepsilon) \rightarrow 0$ et $\varphi_{\pm}(\varepsilon)/\varepsilon \rightarrow \infty$ lorsque $\varepsilon \rightarrow 0$.



- Nous prenons deux fonctions $\varphi_-(\varepsilon)$ et $\varphi_+(\varepsilon)$ telles que $\varphi_{\pm}(\varepsilon) \rightarrow 0$ et $\varphi_{\pm}(\varepsilon)/\varepsilon \rightarrow \infty$ lorsque $\varepsilon \rightarrow 0$.
- Nous définissons chaque fente $\Omega_i(\varepsilon)$, pour $1 \leq i \leq N$, comme étant

$$\Omega_i(\varepsilon) = \left\{ \mathbf{x} \in \Omega^\varepsilon / \mathbf{x} \cdot \mathbf{t}_i > \varphi_-(\varepsilon) \text{ et } |\mathbf{x} \cdot \mathbf{n}_i| < \frac{\varepsilon c_i}{2} \right\}$$

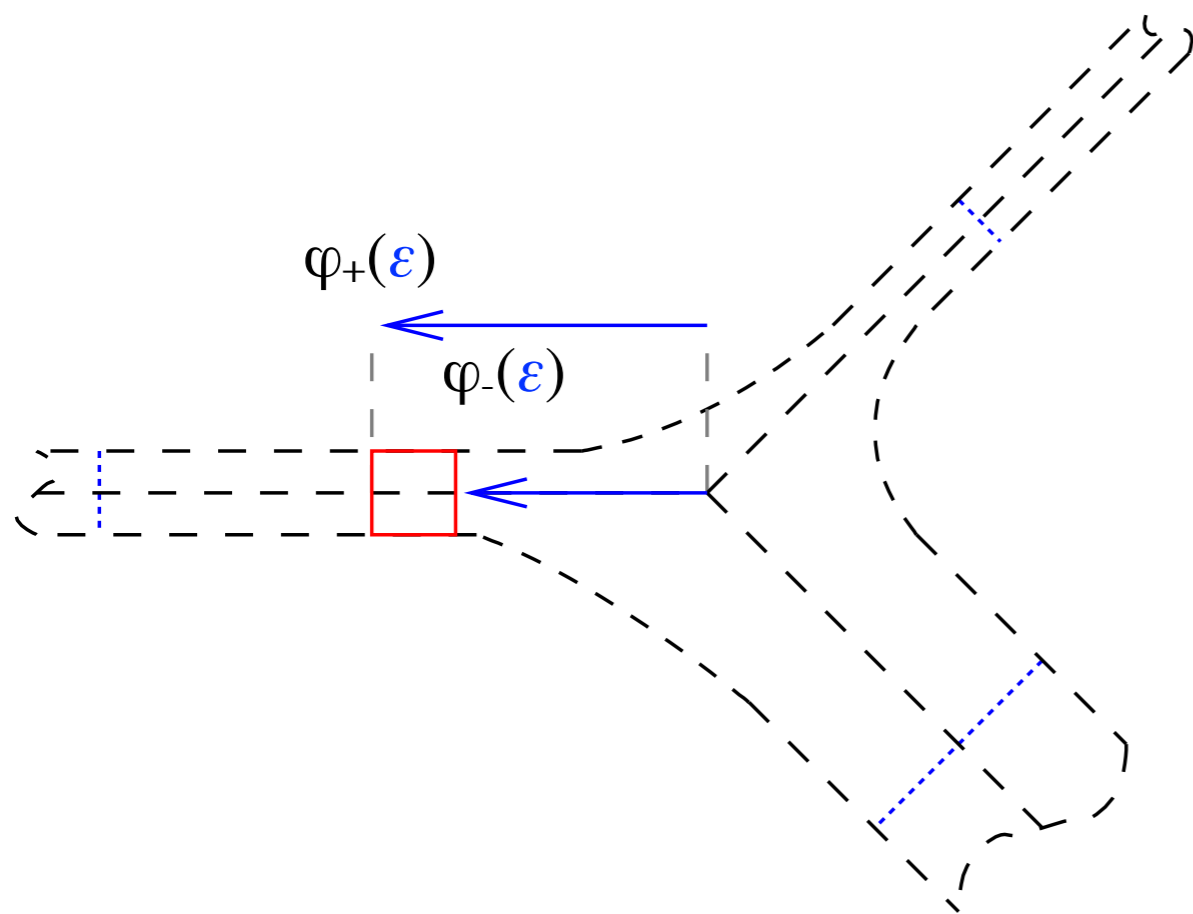


- Nous prenons deux fonctions $\varphi_-(\varepsilon)$ et $\varphi_+(\varepsilon)$ telles que $\varphi_{\pm}(\varepsilon) \rightarrow 0$ et $\varphi_{\pm}(\varepsilon)/\varepsilon \rightarrow \infty$ lorsque $\varepsilon \rightarrow 0$.
- Nous définissons chaque fente $\Omega_i(\varepsilon)$, pour $1 \leq i \leq N$, comme étant

$$\Omega_i(\varepsilon) = \left\{ \mathbf{x} \in \Omega^\varepsilon / \mathbf{x} \cdot \mathbf{t}_i > \varphi_-(\varepsilon) \text{ et } |\mathbf{x} \cdot \mathbf{n}_i| < \frac{\varepsilon c_i}{2} \right\}$$

- Nous définissons la jonction $\Omega_J(\varepsilon)$ comme étant

$$\Omega_J(\varepsilon) = \Omega^\varepsilon \setminus \bigcup_{i=1}^N \left\{ \mathbf{x} \in \Omega^\varepsilon / \mathbf{x} \cdot \mathbf{t}_i > \varphi_+(\varepsilon) \text{ et } |\mathbf{x} \cdot \mathbf{n}_i| < \frac{\varepsilon c_i}{2} \right\}$$



- Nous prenons deux fonctions $\varphi_-(\epsilon)$ et $\varphi_+(\epsilon)$ telles que $\varphi_{\pm}(\epsilon) \rightarrow 0$ et $\varphi_{\pm}(\epsilon)/\epsilon \rightarrow \infty$ lorsque $\epsilon \rightarrow 0$.
- Nous définissons chaque fente $\Omega_i(\epsilon)$, pour $1 \leq i \leq N$, comme étant

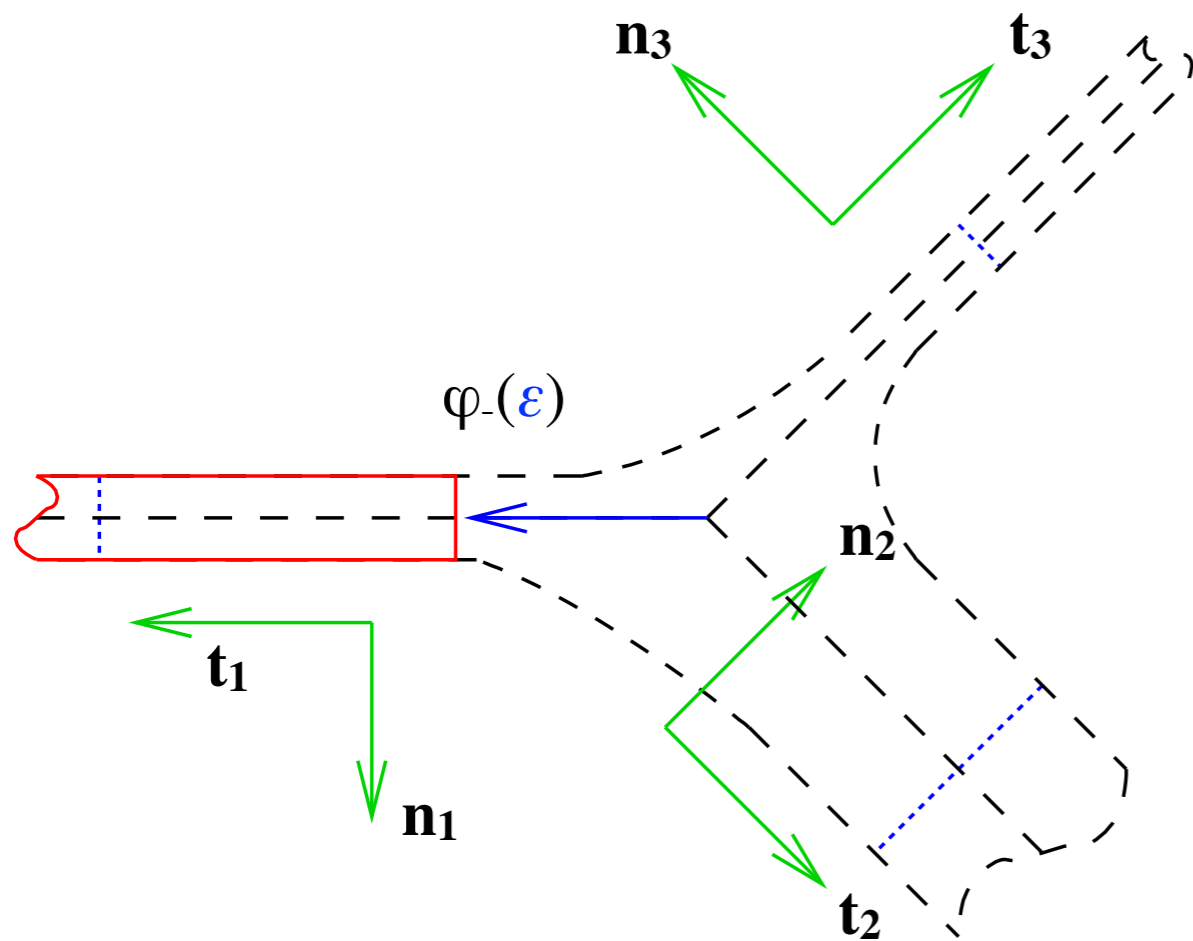
$$\Omega_i(\epsilon) = \left\{ \mathbf{x} \in \Omega^\epsilon / \mathbf{x} \cdot \mathbf{t}_i > \varphi_-(\epsilon) \text{ et } |\mathbf{x} \cdot \mathbf{n}_i| < \frac{\epsilon C_i}{2} \right\}$$

- Nous définissons la jonction $\Omega_J(\epsilon)$ comme étant

$$\Omega_J(\epsilon) = \Omega^\epsilon \setminus \bigcup_{i=1}^N \left\{ \mathbf{x} \in \Omega^\epsilon / \mathbf{x} \cdot \mathbf{t}_i > \varphi_+(\epsilon) \text{ et } |\mathbf{x} \cdot \mathbf{n}_i| < \frac{\epsilon C_i}{2} \right\}$$

- Pour $1 \leq i \leq N$, le $i^{\text{ème}}$ recouvrement $O_i(\epsilon)$ est donné par

$$\begin{aligned} O_i(\epsilon) &= \Omega_i(\epsilon) \cap \Omega_J(\epsilon) \\ &= \left\{ \mathbf{x} \in \Omega^\epsilon / \varphi_-(\epsilon) < \mathbf{x} \cdot \mathbf{t}_i < \varphi_+(\epsilon) \right\} \end{aligned}$$



- Changement de variables:

$$s_i = \mathbf{x} \cdot \mathbf{t}_i$$

$$\nu_i = \frac{1}{\varepsilon} \mathbf{x} \cdot \mathbf{n}_i$$

- Ansatz

$$u^\varepsilon = \sum_{k=0}^{\infty} \varepsilon^k u_i^k(t, s_i, \nu_i) + o(\varepsilon)^\infty$$

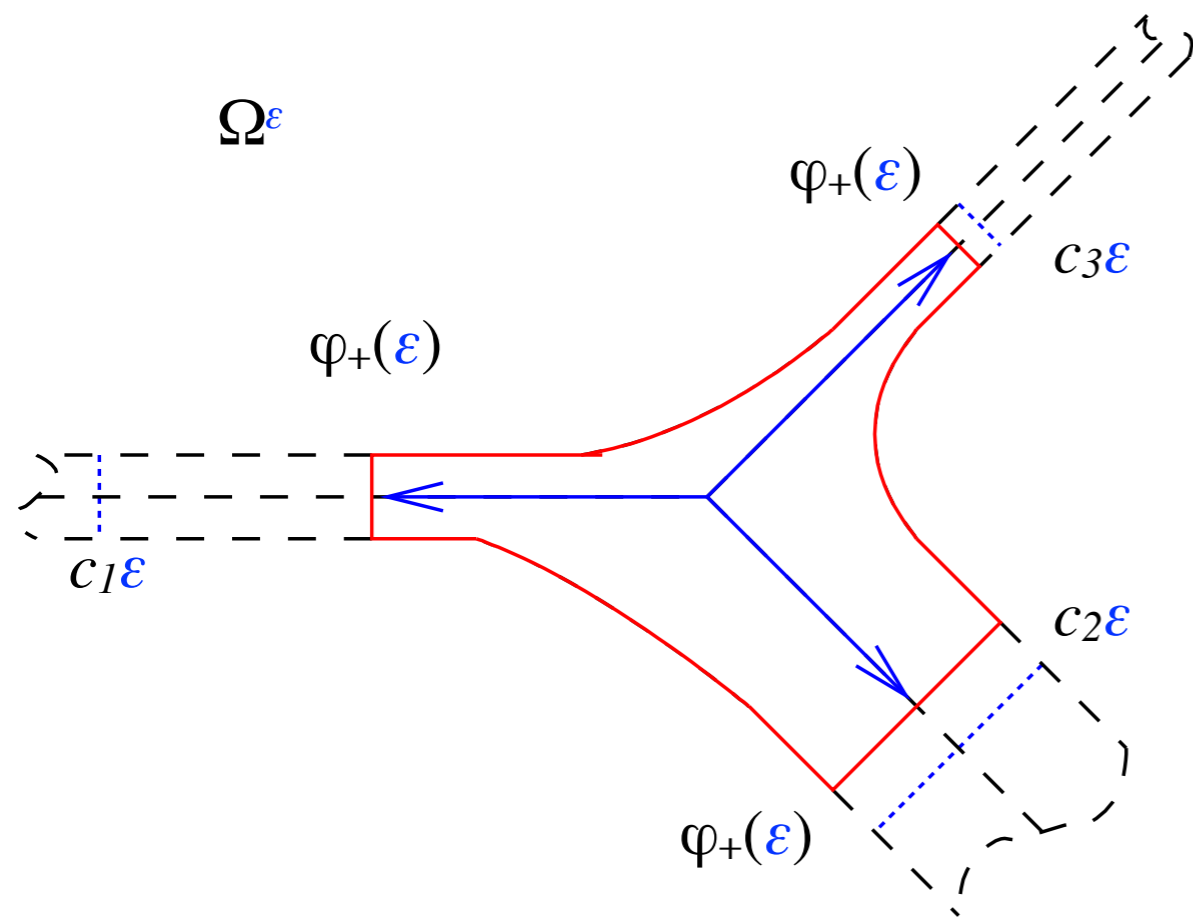
- Résultats obtenus (après injection):

- chaque fonction u_i^k ne dépend pas de la variable ν_i ,

- chaque fonction u_i^k satisfait l'équation d'onde 1D suivante:

$$\frac{\partial^2 u_i^k}{\partial t^2} - \frac{\partial^2 u_i^k}{\partial s_i^2} = 0$$

$$\left\{ \begin{array}{l} \frac{\partial^2 u^\varepsilon}{\partial t^2} - \Delta u^\varepsilon = 0, \quad \text{dans } \mathbb{R}_+^* \times \Omega^\varepsilon \\ \frac{\partial u^\varepsilon}{\partial \vec{n}} = 0, \quad \text{sur } \mathbb{R}_+^* \times \partial\Omega^\varepsilon \\ u = f^\varepsilon \quad \text{sur } \{0\} \times \Omega^\varepsilon \quad \frac{\partial u}{\partial t} = g^\varepsilon \quad \text{sur } \{0\} \times \Omega^\varepsilon \end{array} \right.$$



- Changement de variable:

$$\hat{\mathbf{x}} = \varepsilon^{-1} \mathbf{x}$$

- Ansatz

$$u^\varepsilon(t, \mathbf{x}) = \sum_{k=0}^{\infty} \varepsilon^k U^k(t, \hat{\mathbf{x}}) + o(\varepsilon)^\infty$$

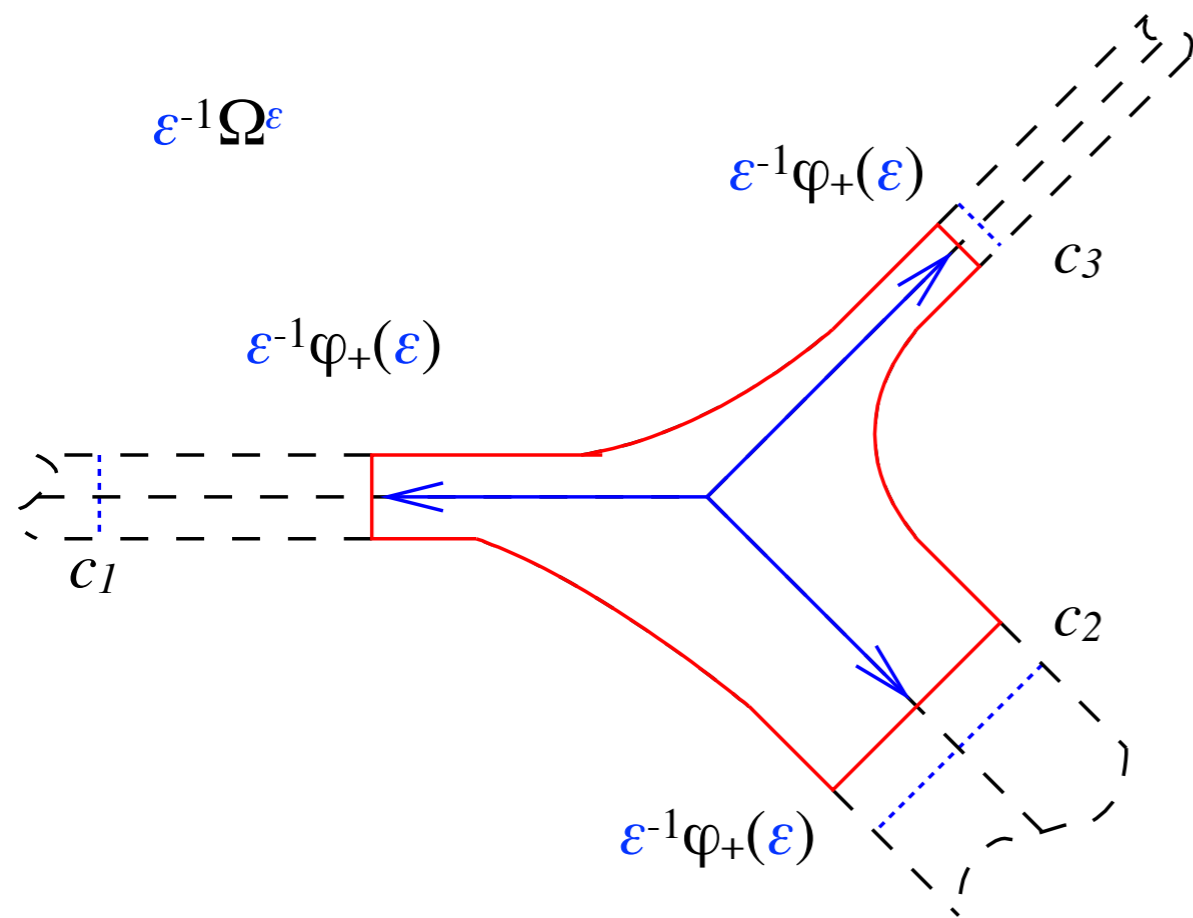
- Résultats obtenus (après injection):

- les fonctions $U^0(t, \cdot)$ et $U^1(t, \cdot)$ sont harmoniques,
- les fonctions $U^k(t, \cdot)$, pour $k \geq 2$, sont solutions de l'EDP suivante:

$$\Delta U^k(t, \cdot) = \frac{\partial^2 U^{k-2}}{\partial t^2}(t, \cdot)$$

- + condition de Neumann homogène au bord latéral de la jonction.

$$\left\{ \begin{array}{l} \frac{\partial^2 u^\varepsilon}{\partial t^2} - \Delta u^\varepsilon = 0, \quad \text{dans } \mathbb{R}_+^* \times \Omega^\varepsilon \\ \frac{\partial u^\varepsilon}{\partial \vec{n}} = 0, \quad \text{sur } \mathbb{R}_+^* \times \partial\Omega^\varepsilon \\ u = f^\varepsilon \quad \text{sur } \{0\} \times \Omega^\varepsilon \quad \frac{\partial u}{\partial t} = g^\varepsilon \quad \text{sur } \{0\} \times \Omega^\varepsilon \end{array} \right.$$



- Changement de variable:

$$\hat{\mathbf{x}} = \varepsilon^{-1} \mathbf{x}$$

- Ansatz

$$u^\varepsilon(t, \mathbf{x}) = \sum_{k=0}^{\infty} \varepsilon^k U^k(t, \hat{\mathbf{x}}) + o(\varepsilon)^\infty$$

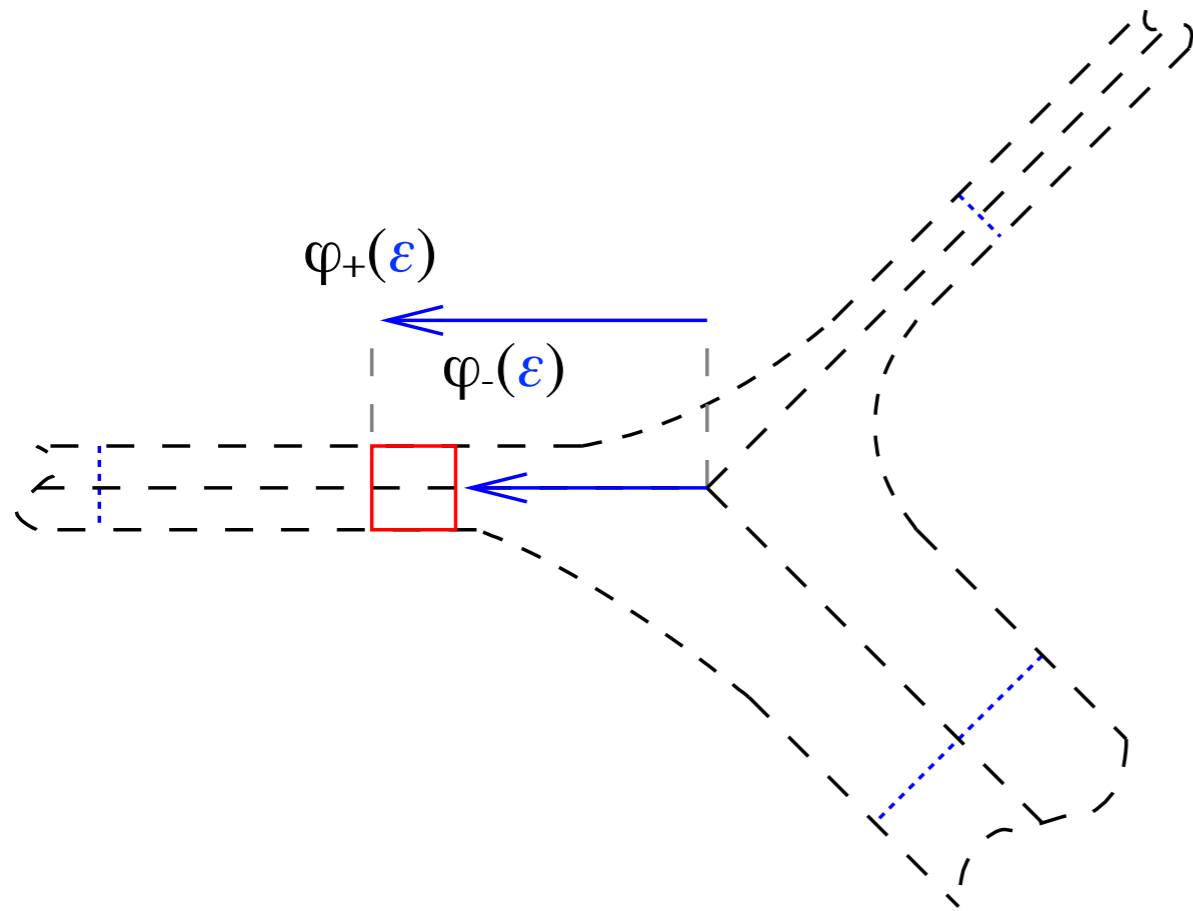
- Résultats obtenus (après injection):

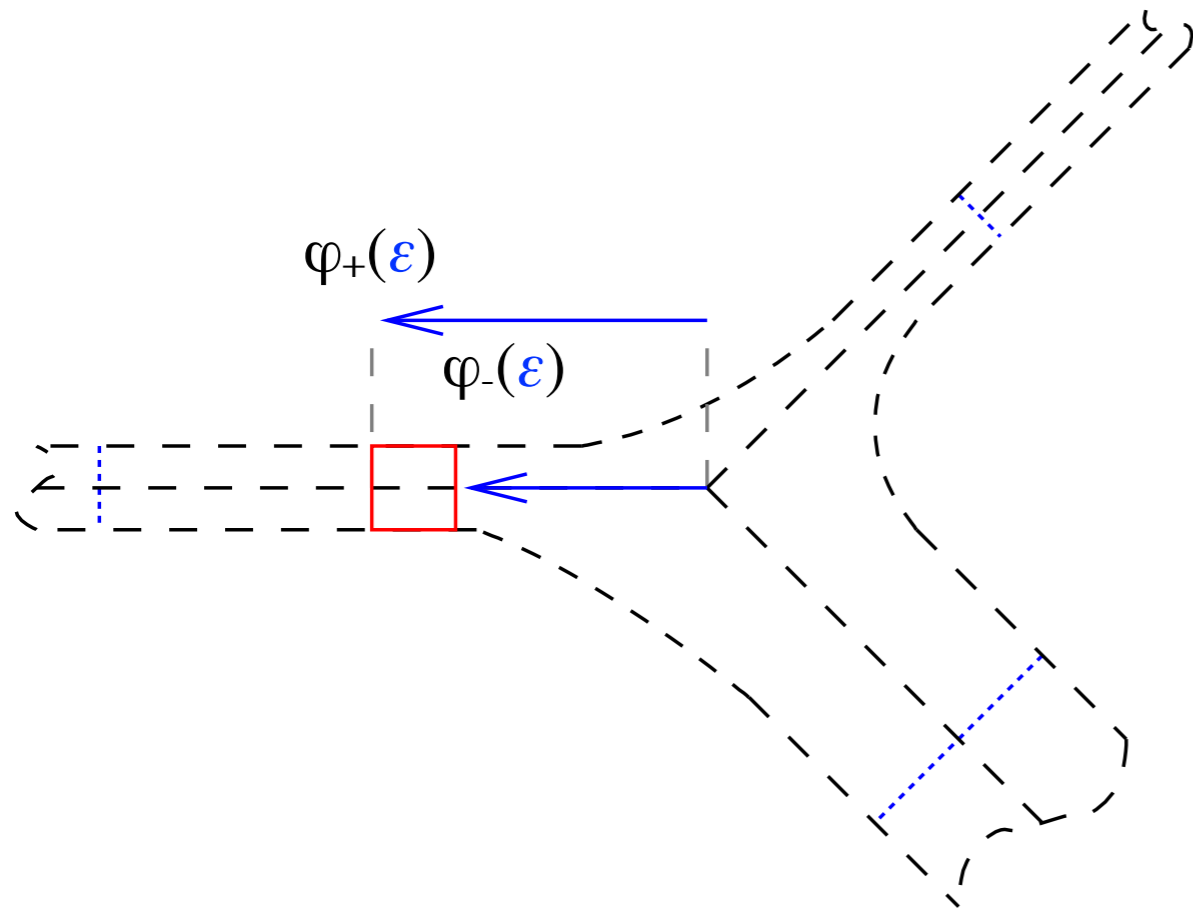
- les fonctions $U^0(t, \cdot)$ et $U^1(t, \cdot)$ sont harmoniques,
- les fonctions $U^k(t, \cdot)$, pour $k \geq 2$, sont solutions de l'EDP suivante:

$$\Delta U^k(t, \cdot) = \frac{\partial^2 U^{k-2}}{\partial t^2}(t, \cdot)$$

- + condition de Neumann homogène au bord latéral de la jonction.

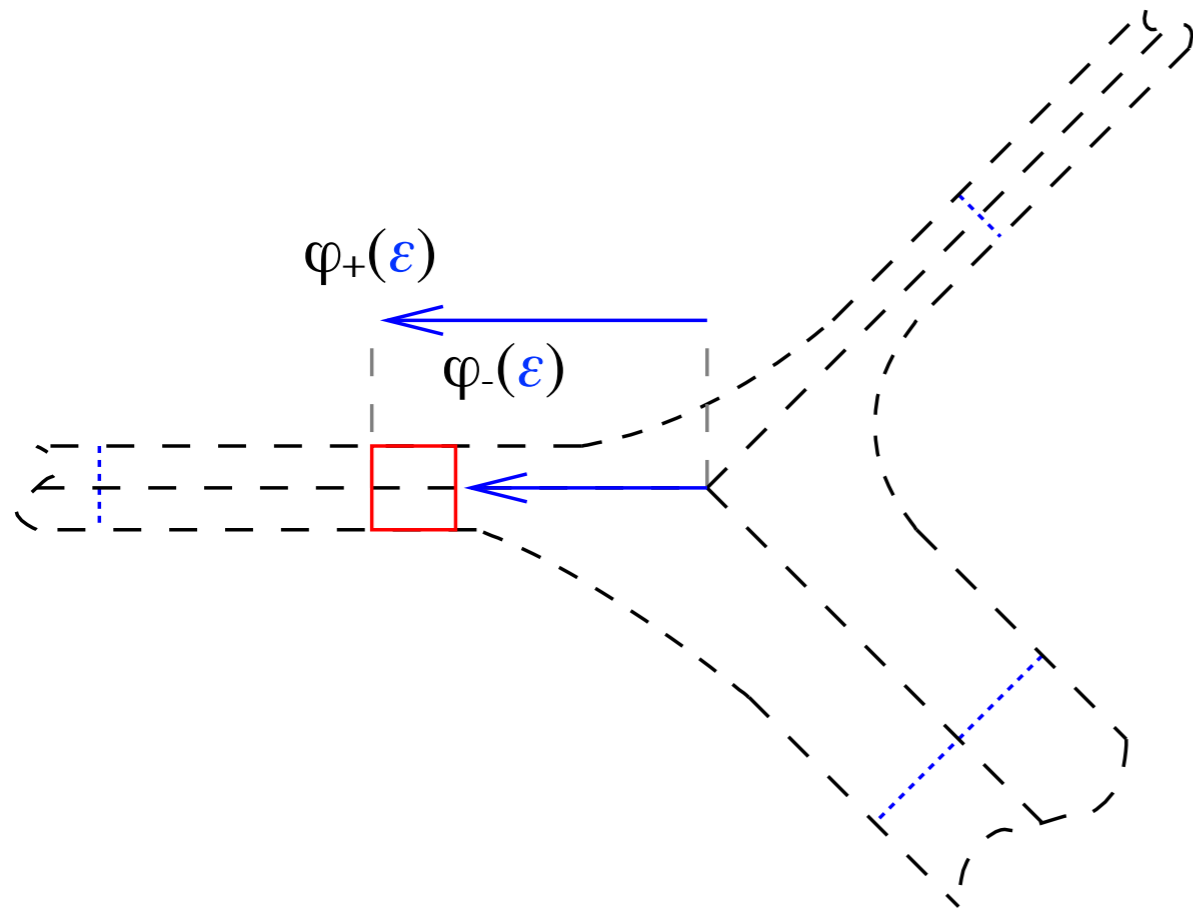
$$\left\{ \begin{array}{l} \frac{\partial^2 u^\varepsilon}{\partial t^2} - \Delta u^\varepsilon = 0, \quad \text{dans } \mathbb{R}_+^* \times \Omega^\varepsilon \\ \frac{\partial u^\varepsilon}{\partial \vec{n}} = 0, \quad \text{sur } \mathbb{R}_+^* \times \partial\Omega^\varepsilon \\ u = f^\varepsilon \quad \text{sur } \{0\} \times \Omega^\varepsilon \quad \frac{\partial u}{\partial t} = g^\varepsilon \quad \text{sur } \{0\} \times \Omega^\varepsilon \end{array} \right.$$





- Sur le domaine de raccord $O_i(\varepsilon)$, nous avons deux ansatz:

$$\begin{aligned}
 u^\varepsilon(t, \mathbf{x}) &= \sum_{k=0}^{\infty} \varepsilon^k u_i^k(t, \mathbf{x} \cdot \mathbf{t}_i) + o(\varepsilon)^\infty \\
 &= \sum_{k=0}^{\infty} \varepsilon^k U^k(t, \varepsilon^{-1} \mathbf{x}) + o(\varepsilon)^\infty
 \end{aligned}$$

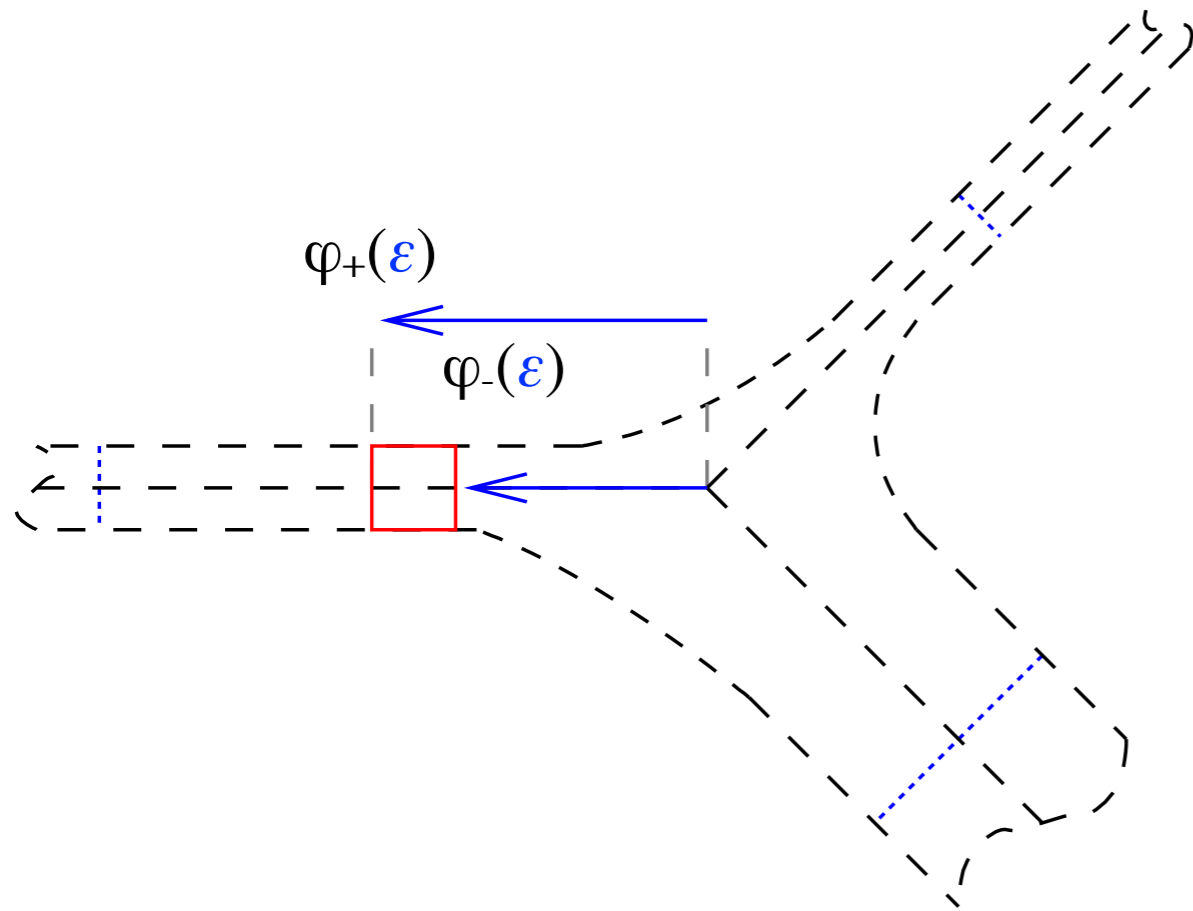


- Sur le domaine de raccord $O_i(\varepsilon)$, nous avons deux ansatz:

$$\begin{aligned}
 u^\varepsilon(t, \mathbf{x}) &= \sum_{k=0}^{\infty} \varepsilon^k u_i^k(t, \mathbf{x} \cdot \mathbf{t}_i) + o(\varepsilon)^\infty \\
 &= \sum_{k=0}^{\infty} \varepsilon^k U^k(t, \varepsilon^{-1} \mathbf{x}) + o(\varepsilon)^\infty
 \end{aligned}$$

- Ces deux ansatz doivent être égaux.

⇒ Permet de relier les fonctions u_i^k et les fonctions U^k



- Sur le domaine de raccord $O_i(\varepsilon)$, nous avons deux ansatz:

$$u^\varepsilon(t, \mathbf{x}) = \sum_{k=0}^{\infty} \varepsilon^k u_i^k(t, \mathbf{x} \cdot \mathbf{t}_i) + o(\varepsilon)^\infty$$

$$= \sum_{k=0}^{\infty} \varepsilon^k U^k(t, \varepsilon^{-1} \mathbf{x}) + o(\varepsilon)^\infty$$

- Ces deux ansatz doivent être égaux.

⇒ Permet de relier les fonctions u_i^k et les fonctions U^k

Théorème [Joly-Semin 2009]

Il existe $N+1$ uniques familles de fonctions (u_i^k) et (U^k) satisfaisant

$$\frac{\partial^2 u_i^k}{\partial t^2} - \frac{\partial^2 u_i^k}{\partial s_i^2} = 0$$

$$\Delta U^k(t, \cdot) = \frac{\partial^2 U^{k-2}}{\partial t^2}(t, \cdot)$$

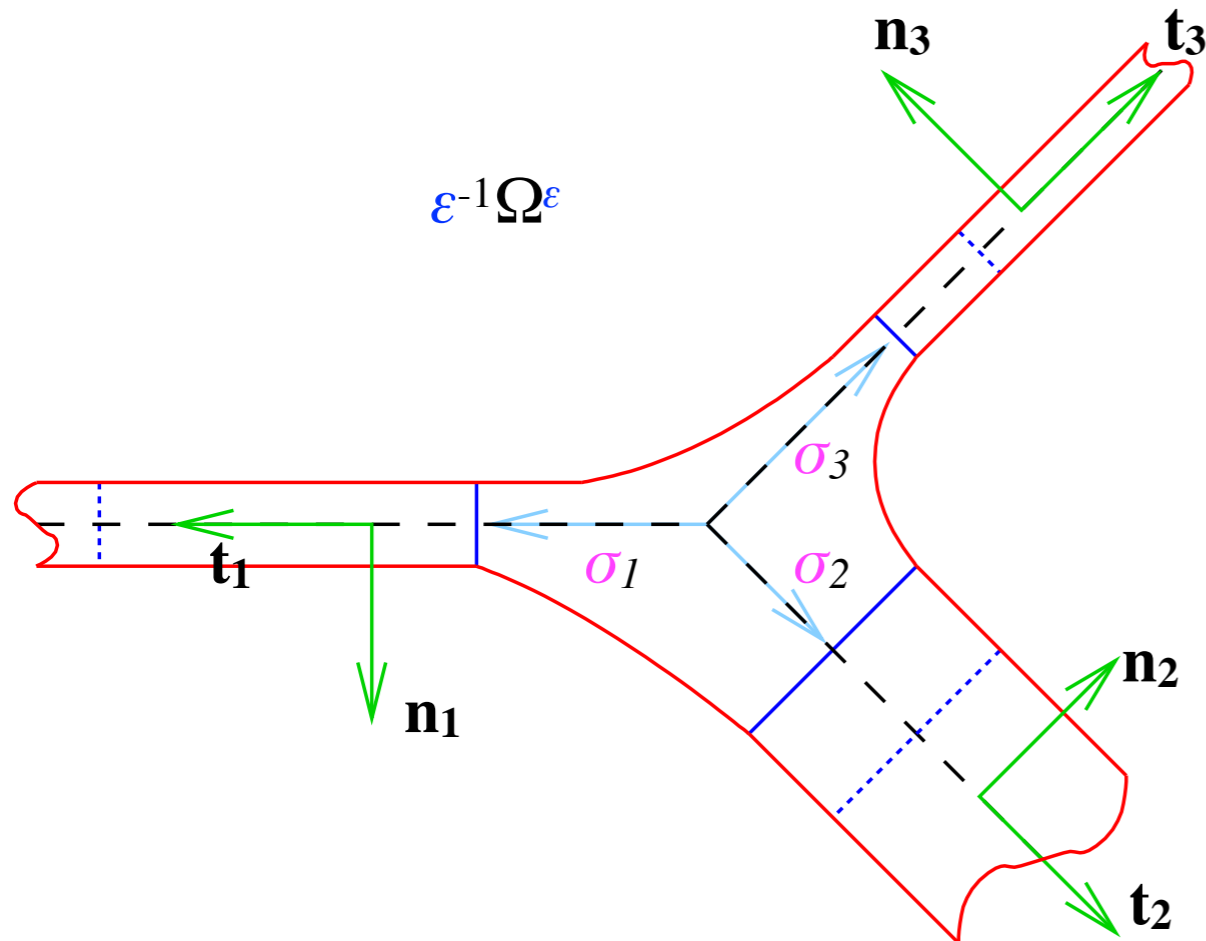
raccord

- Stratégie:

- Stratégie:
- Les fonctions U^k étant définies sur un domaine infini, restreindre ce domaine en utilisant des opérateurs non-locaux Dirichlet-to-Neumann.

- Stratégie:
 - Les fonctions U^k étant définies sur un domaine infini, restreindre ce domaine en utilisant des opérateurs non-locaux Dirichlet-to-Neumann.
 - À partir des informations sur les fonctions u_i^k et U^k , faire apparaître les u_i^k comme des données de Dirichlet ou de Neumann du problème que satisfait U^k .

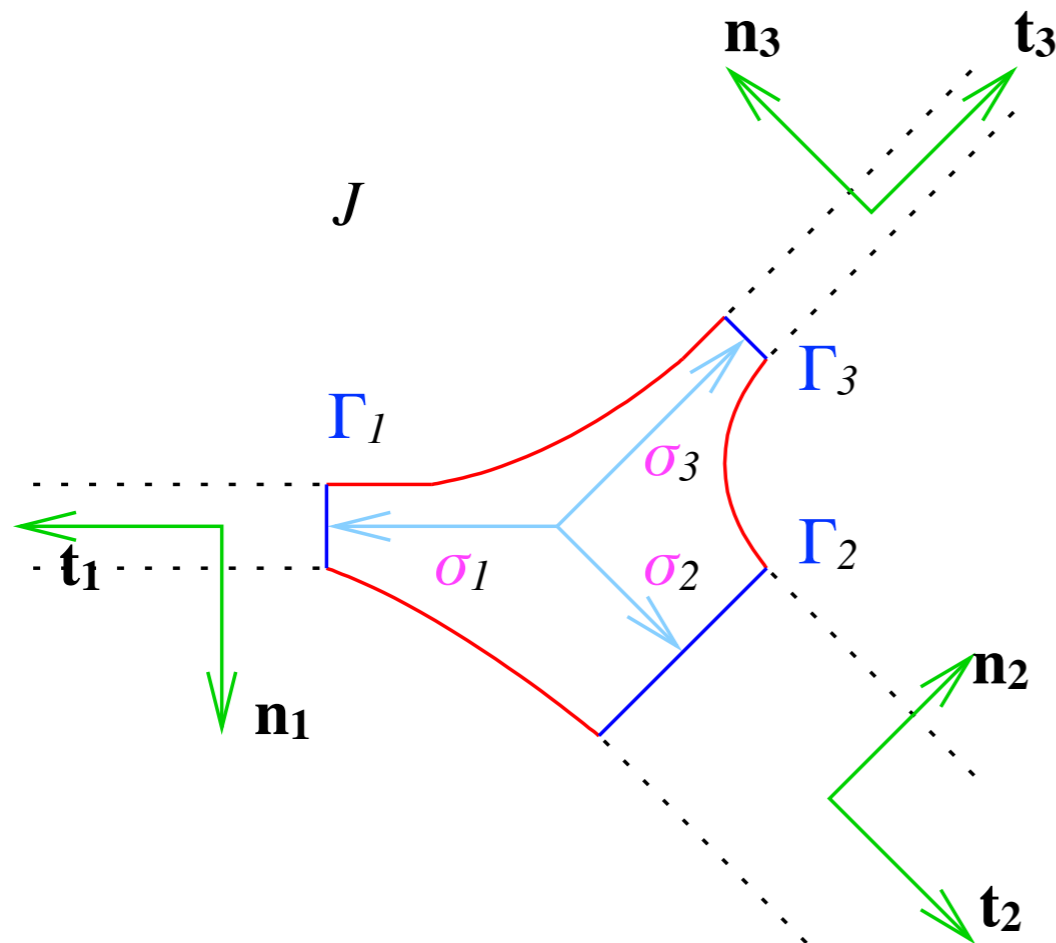
- Stratégie:
 - Les fonctions U^k étant définies sur un domaine infini, restreindre ce domaine en utilisant des opérateurs non-locaux Dirichlet-to-Neumann.
 - À partir des informations sur les fonctions u_i^k et U^k , faire apparaître les u_i^k comme des données de Dirichlet ou de Neumann du problème que satisfait U^k .
 - En déduire des conditions de transmission sur les u_i^k qui ne font plus intervenir la résolution des U^k .



- Sur le domaine $\varepsilon^{-1}\Omega^\varepsilon$, nous introduisons, pour la $i^{\text{ème}}$ fente, σ_i comme le plus petit réel tel que

$$\forall \mathbf{x} \in \varepsilon^{-1}\Omega^\varepsilon \text{ tel que}$$

$$\mathbf{x} \cdot \mathbf{t}_i > \sigma_i, \text{ nous avons } 2|\mathbf{x} \cdot \mathbf{n}_i| < c_i$$



- Sur le domaine $\varepsilon^{-1}\Omega^\varepsilon$, nous introduisons, pour la $i^{\text{ème}}$ fente, σ_i comme le plus petit réel tel que

$$\forall \mathbf{x} \in \varepsilon^{-1}\Omega^\varepsilon \text{ tel que}$$

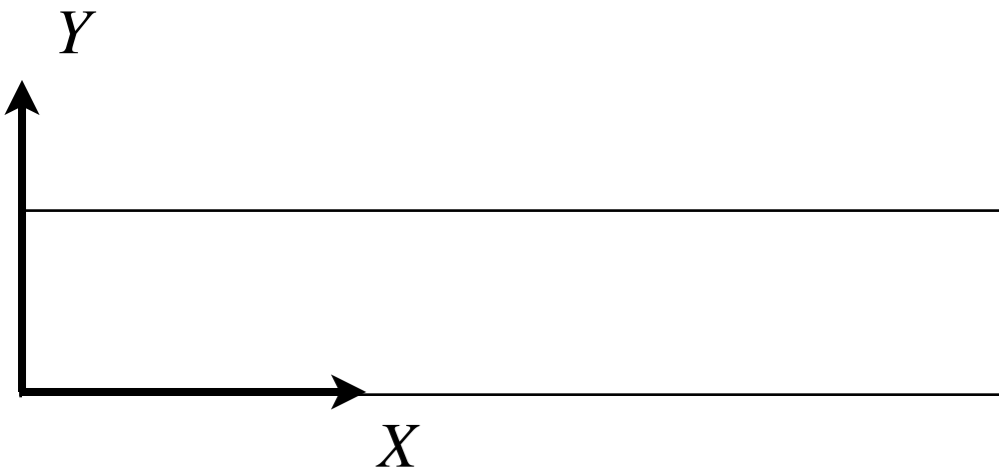
$$\mathbf{x} \cdot \mathbf{t}_i > \sigma_i, \text{ nous avons } 2|\mathbf{x} \cdot \mathbf{n}_i| < c_i$$

- Nous définissons alors la jonction **canonique** J en retirant les «rectangles» donnés ci-dessus.

- Nous définissons alors le $i^{\text{ème}}$ bord tronqué Γ_i comme

$$\Gamma_i = \{ \mathbf{x} \in \bar{J} \text{ tel que}$$

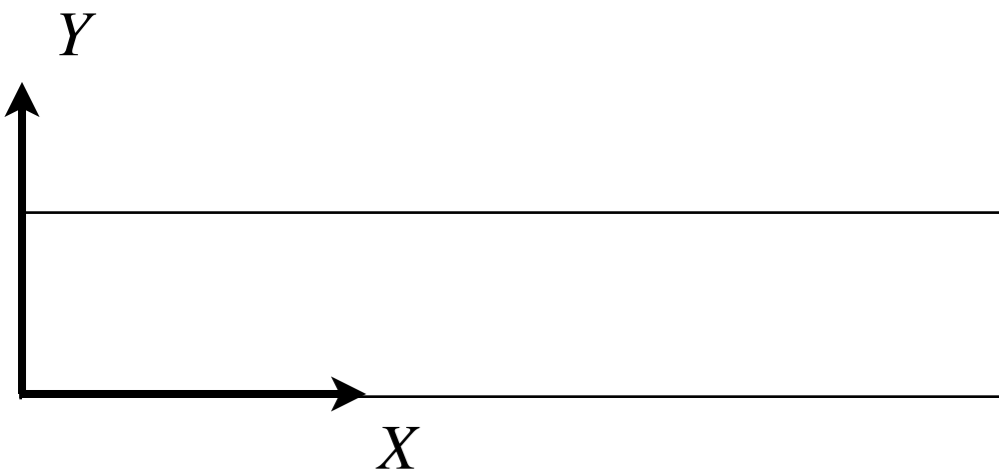
$$\mathbf{x} \cdot \mathbf{t}_i = \sigma_i \text{ et } 2|\mathbf{x} \cdot \mathbf{n}_i| < c_i \}$$

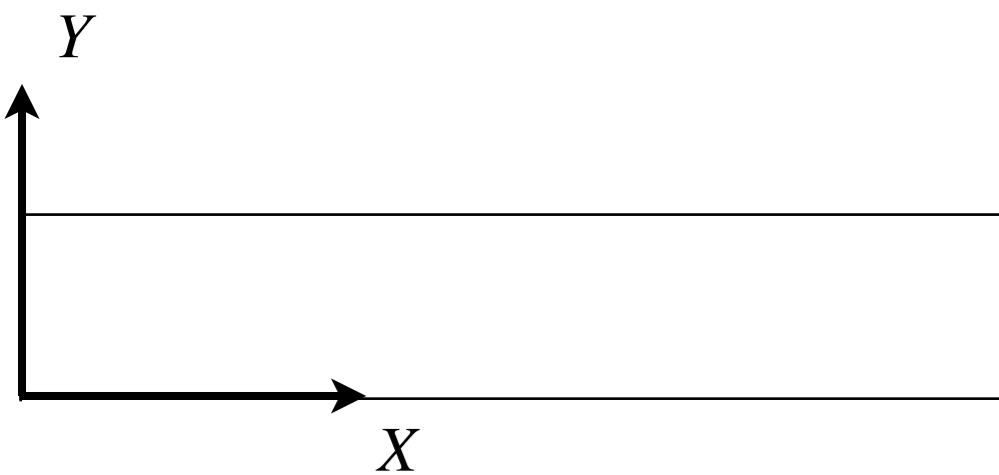


- Nous regardons le problème suivant:

Trouver $U \in H_{loc}^1(]0, +\infty[\times]0, 1[)$ tel que

$$\left\{ \begin{array}{l} \Delta U = 0, \text{ dans }]0, +\infty[\times]0, 1[\\ \frac{\partial U}{\partial Y} = 0, \text{ sur }]0, +\infty[\times \{0, 1\} \\ \lim_{X \rightarrow \infty} U(X, Y) - \alpha X - \beta = 0, (\alpha, \beta) \in \mathbb{R} \end{array} \right.$$





- Nous regardons le problème suivant:

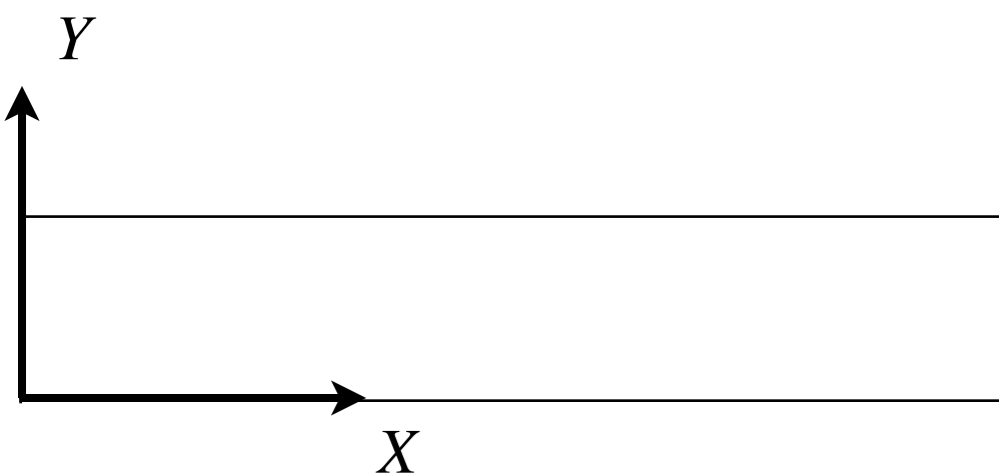
Trouver $U \in H_{loc}^1(]0, +\infty[\times]0, 1[)$ tel que

$$\left\{ \begin{array}{l} \Delta U = 0, \text{ dans }]0, +\infty[\times]0, 1[\\ \frac{\partial U}{\partial Y} = 0, \text{ sur }]0, +\infty[\times \{0, 1\} \\ \lim_{X \rightarrow \infty} U(X, Y) - \alpha X - \beta = 0, (\alpha, \beta) \in \mathbb{R} \end{array} \right.$$

- Nous pouvons alors écrire U et sa dérivée suivant X sous la forme:

$$U(X, Y) = \alpha X + \beta + \sum_{p \geq 1} \cos(p\pi Y) \exp(-p\pi X)$$

$$\frac{\partial U}{\partial X}(X, Y) = \alpha - \sum_{p \geq 1} p\pi \cos(p\pi Y) \exp(-p\pi X)$$



- Nous regardons le problème suivant:

Trouver $U \in H_{loc}^1(]0, +\infty[\times]0, 1[)$ tel que

$$\left\{ \begin{array}{l} \Delta U = 0, \text{ dans }]0, +\infty[\times]0, 1[\\ \frac{\partial U}{\partial Y} = 0, \text{ sur }]0, +\infty[\times \{0, 1\} \\ \lim_{X \rightarrow \infty} U(X, Y) - \alpha X - \beta = 0, (\alpha, \beta) \in \mathbb{R} \end{array} \right.$$

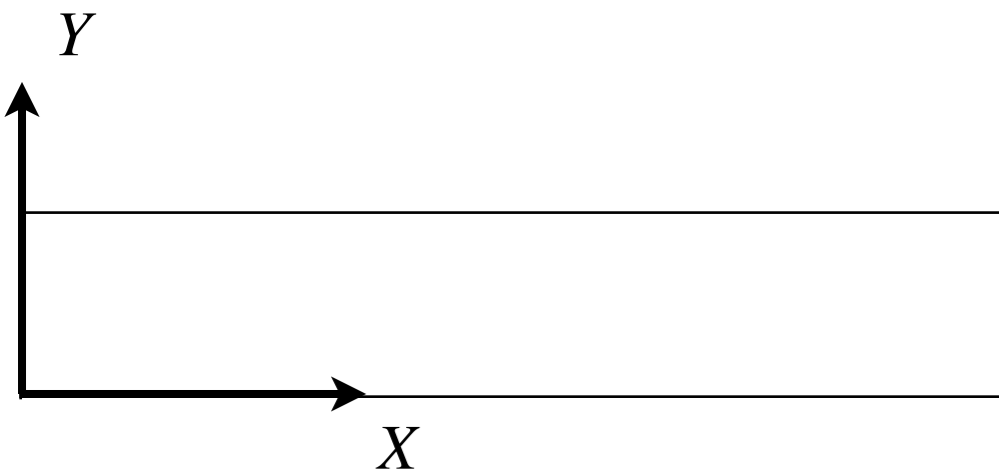
- Nous pouvons alors écrire U et sa dérivée suivant X sous la forme:

$$U(X, Y) = \alpha X + \beta + \sum_{p \geq 1} \cos(p\pi Y) \exp(-p\pi X)$$

$$\frac{\partial U}{\partial X}(X, Y) = \alpha - \sum_{p \geq 1} p\pi \cos(p\pi Y) \exp(-p\pi X)$$

- L'intégration de U suivant le $p^{\text{ème}}$ mode nous donne:

$$\int_0^1 U(X, Y) \cos(p\pi Y) = \frac{1}{2} \exp(-p\pi X)$$



- Nous regardons le problème suivant:

Trouver $U \in H_{loc}^1(]0, +\infty[\times]0, 1[)$ tel que

$$\left\{ \begin{array}{l} \Delta U = 0, \text{ dans }]0, +\infty[\times]0, 1[\\ \frac{\partial U}{\partial Y} = 0, \text{ sur }]0, +\infty[\times \{0, 1\} \\ \lim_{X \rightarrow \infty} U(X, Y) - \alpha X - \beta = 0, (\alpha, \beta) \in \mathbb{R} \end{array} \right.$$

- Nous pouvons alors écrire U et sa dérivée suivant X sous la forme:

$$U(X, Y) = \alpha X + \beta + \sum_{p \geq 1} \cos(p\pi Y) \exp(-p\pi X)$$

$$\frac{\partial U}{\partial X}(X, Y) = \alpha - \sum_{p > 1} p\pi \cos(p\pi Y) \exp(-p\pi X)$$

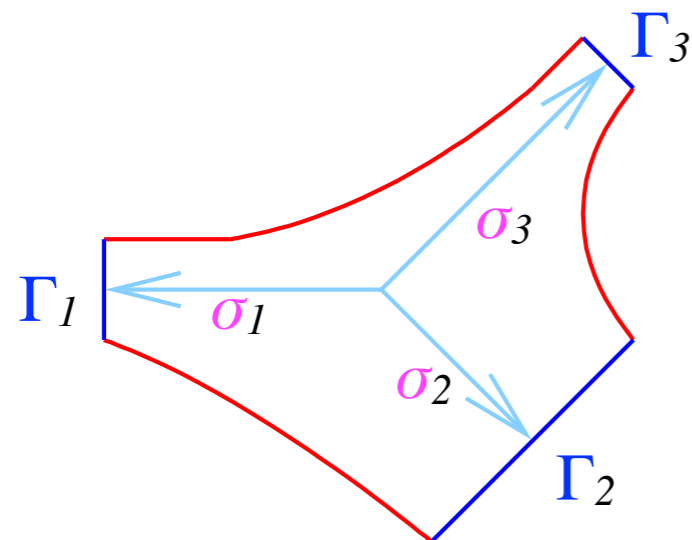
- L'intégration de U suivant le $p^{\text{ème}}$ mode nous donne:

$$\int_0^1 U(X, Y) \cos(p\pi Y) dY = \frac{1}{2} \exp(-p\pi X)$$

$$\frac{\partial U}{\partial X}(X, Y) + \sum_{p \geq 1} 2p\pi \left(\int_0^1 U(X, Z) \cos(p\pi Z) dZ \right) \cos(p\pi Y) = \alpha$$

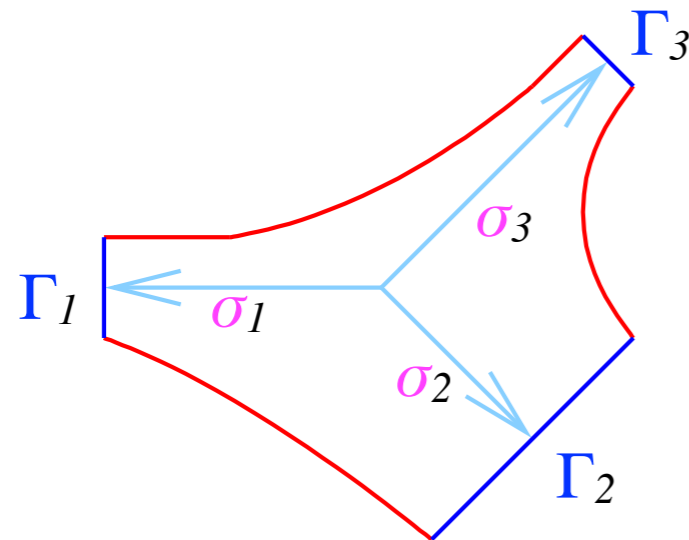
$$\frac{\partial U}{\partial X} + T U = \alpha$$

Problème satisfait par la fonction U^0



- En appelant T_k l'opérateur de troncature T défini sur le bord Γ_k , nous voyons que $U^0(t, \bullet)$ est solution du problème:

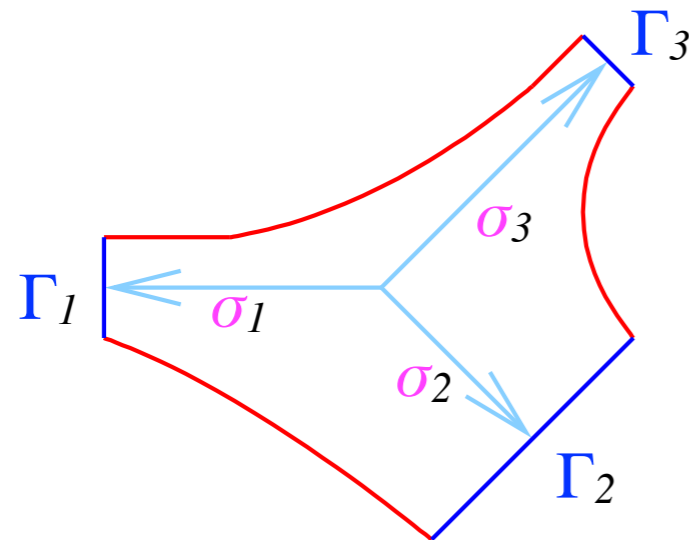
Problème satisfait par la fonction U^0



- En appelant T_k l'opérateur de troncature T défini sur le bord Γ_k , nous voyons que $U^0(t, \cdot)$ est solution du problème:

$$\begin{cases} \Delta U^0(t, \cdot) = 0 \text{ dans } J \\ \partial_{\vec{n}} U^0(t, \cdot) = 0 \text{ sur } \partial J \setminus \cup \Gamma_k \\ c_k \partial_{\vec{n}} U^0(t, \cdot) + T_k U^0 = 0 \text{ sur } \Gamma_k \end{cases}$$

Problème satisfait par la fonction U^0

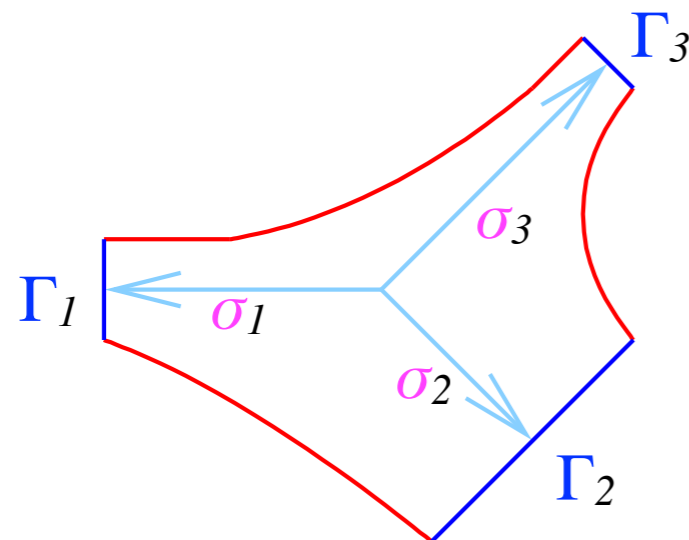


- En appelant T_k l'opérateur de troncature T défini sur le bord Γ_k , nous voyons que $U^0(t, \cdot)$ est solution du problème:

$$\begin{cases} \Delta U^0(t, \cdot) = 0 & \text{dans } J \\ \partial_{\vec{n}} U^0(t, \cdot) = 0 & \text{sur } \partial J \setminus \cup \Gamma_k \\ c_k \partial_{\vec{n}} U^0(t, \cdot) + T_k U^0 = 0 & \text{sur } \Gamma_k \end{cases}$$

- Nous avons la condition de raccord de Dirichlet

$$\int_{\Gamma_k} U^0(t, \cdot) = u_k^0(t, 0)$$



- En appelant T_k l'opérateur de troncature T défini sur le bord Γ_k , nous voyons que $U^0(t, \bullet)$ est solution du problème:

$$\begin{cases} \Delta U^0(t, \cdot) = 0 \text{ dans } J \\ \partial_{\vec{n}} U^0(t, \cdot) = 0 \text{ sur } \partial J \setminus \cup \Gamma_k \\ c_k \partial_{\vec{n}} U^0(t, \cdot) + T_k U^0 = 0 \text{ sur } \Gamma_k \end{cases}$$

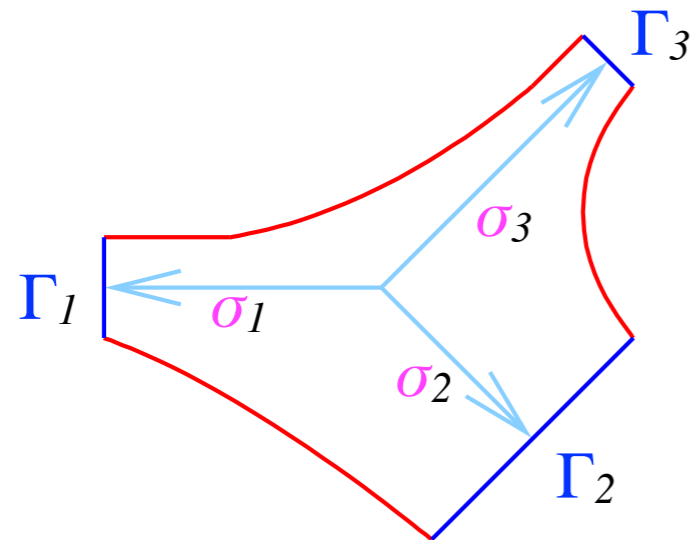
- Nous avons la condition de raccord de Dirichlet

$$\int_{\Gamma_k} U^0(t, \cdot) = u_k^0(t, 0)$$

Proposition

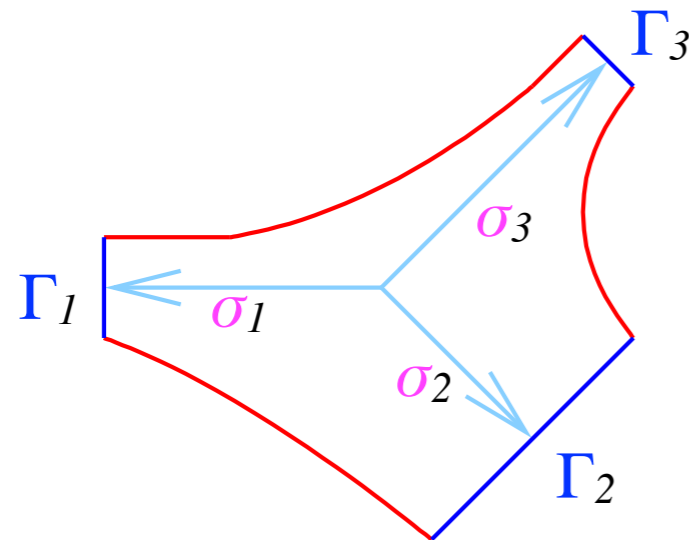
La fonction $U^0(t, \bullet)$ est une fonction constante, et nous retrouvons la continuité de la fonction u^0 au nœud du graphe.

Problème satisfait par la fonction U^1



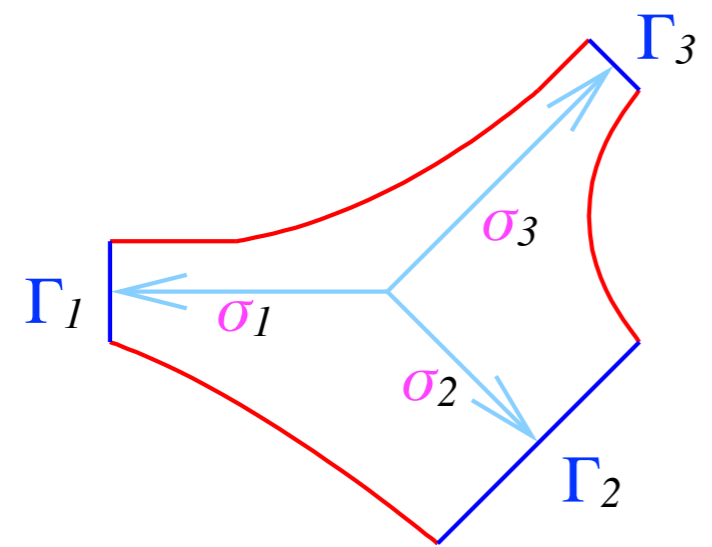
- En appelant T_k l'opérateur de troncature T défini sur le bord Γ_k , nous voyons que $U^1(t, \bullet)$ est solution du problème:

Problème satisfait par la fonction U^1



- En appelant T_k l'opérateur de troncature T défini sur le bord Γ_k , nous voyons que $U^1(t, \bullet)$ est solution du problème:

$$\left\{ \begin{array}{l} \Delta U^1(t, \cdot) = 0 \text{ dans } J \\ \partial_{\vec{n}} U^1(t, \cdot) = 0 \text{ sur } \partial J \setminus \cup \Gamma_k \\ c_k \partial_{\vec{n}} U^1(t, \cdot) + T_k U^1 = c_k \frac{\partial u^0}{\partial s_k}(t, 0) \text{ sur } \Gamma_k \end{array} \right.$$

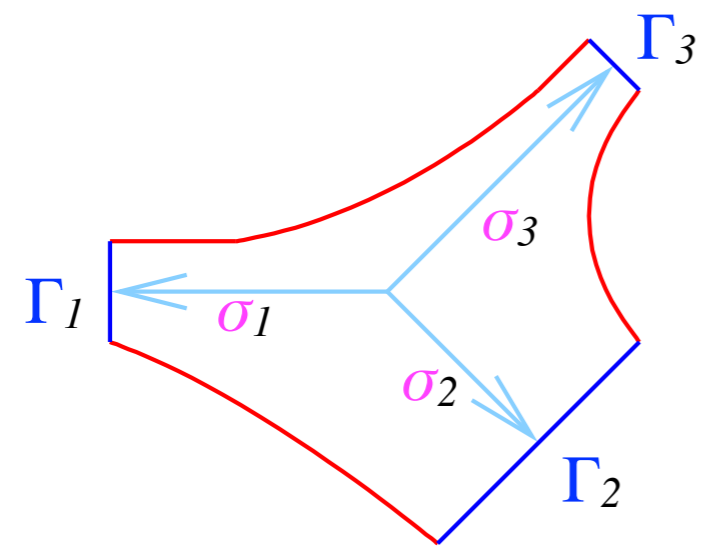


- En appelant T_k l'opérateur de troncature T défini sur le bord Γ_k , nous voyons que $U^1(t, \bullet)$ est solution du problème:

$$\left\{ \begin{array}{l} \Delta U^1(t, \cdot) = 0 \text{ dans } J \\ \partial_{\vec{n}} U^1(t, \cdot) = 0 \text{ sur } \partial J \setminus \cup \Gamma_k \\ c_k \partial_{\vec{n}} U^1(t, \cdot) + T_k U^1 = c_k \frac{\partial u^0}{\partial s_k}(t, 0) \text{ sur } \Gamma_k \end{array} \right.$$

- Nous avons la condition de raccord de Dirichlet

$$\int_{\Gamma_k} U^1(t, \cdot) = u_k^1(t, 0) + \sigma_k \frac{\partial u_k^0}{\partial s_k}(t, 0)$$



- En appelant T_k l'opérateur de troncature T défini sur le bord Γ_k , nous voyons que $U^1(t, \bullet)$ est solution du problème:

$$\left\{ \begin{array}{l} \Delta U^1(t, \cdot) = 0 \text{ dans } J \\ \partial_{\vec{n}} U^1(t, \cdot) = 0 \text{ sur } \partial J \setminus \cup \Gamma_k \\ c_k \partial_{\vec{n}} U^1(t, \cdot) + T_k U^1 = c_k \frac{\partial u^0}{\partial s_k}(t, 0) \text{ sur } \Gamma_k \end{array} \right.$$

- Nous avons la condition de raccord de Dirichlet

$$\int_{\Gamma_k} U^1(t, \cdot) = u_k^1(t, 0) + \sigma_k \frac{\partial u_k^0}{\partial s_k}(t, 0)$$

Proposition

La condition de compatibilité sur la fonction $U^1(t, \bullet)$ nous impose alors

$$\sum_{k=1}^N c_k \frac{\partial u_k^0}{\partial s_k}(t, 0) = 0$$

Problème satisfait par la fonction U^1

- Nous appelons P la matrice $(N-1) \times N$ définie par

$$P = \begin{pmatrix} -1 & 1 & 0 & \dots & \dots & 0 \\ 0 & -1 & 1 & 0 & & 0 \\ \vdots & \ddots & \ddots & \ddots & \ddots & \vdots \\ 0 & & 0 & -1 & 1 & 0 \\ 0 & \dots & \dots & 0 & -1 & 1 \end{pmatrix}$$

Problème satisfait par la fonction U^1

- Nous appelons P la matrice $(N-1) \times N$ définie par

$$P = \begin{pmatrix} -1 & 1 & 0 & \dots & \dots & 0 \\ 0 & -1 & 1 & 0 & & 0 \\ \vdots & \ddots & \ddots & \ddots & \ddots & \vdots \\ 0 & & 0 & -1 & 1 & 0 \\ 0 & \dots & \dots & 0 & -1 & 1 \end{pmatrix}$$

- La relation de la proposition précédente peut se réécrire sous la forme

$$\sum_{k=1}^N c_k \frac{\partial u_k^0}{\partial s_k}(t, 0) = 0 \quad \Longleftrightarrow \quad \left[c_1 \frac{\partial u_1^0}{\partial s_1}(t, 0), \dots, c_N \frac{\partial u_N^0}{\partial s_N}(t, 0) \right] \cdot [1, \dots, 1] = 0$$

- Nous appelons P la matrice $(N-1) \times N$ définie par

$$P = \begin{pmatrix} -1 & 1 & 0 & \dots & \dots & 0 \\ 0 & -1 & 1 & 0 & & 0 \\ \vdots & \ddots & \ddots & \ddots & \ddots & \vdots \\ 0 & & 0 & -1 & 1 & 0 \\ 0 & \dots & \dots & 0 & -1 & 1 \end{pmatrix}$$

- La relation de la proposition précédente peut se réécrire sous la forme

$$\sum_{k=1}^N c_k \frac{\partial u_k^0}{\partial s_k}(t, 0) = 0 \quad \iff \quad \left[c_1 \frac{\partial u_k^0}{\partial s_k}(t, 0), \dots, c_N \frac{\partial u_N^0}{\partial s_k}(t, 0) \right] \cdot [1, \dots, 1] = 0$$

- Nous en déduisons que le vecteur $\left[c_1 \frac{\partial u_k^0}{\partial s_k}(t, 0), \dots, c_N \frac{\partial u_N^0}{\partial s_k}(t, 0) \right]$ vérifie:

$$\left[c_1 \frac{\partial u_k^0}{\partial s_k}(t, 0), \dots, c_N \frac{\partial u_N^0}{\partial s_k}(t, 0) \right] \in (\text{Ker } P)^\perp = \text{Im } P^T$$

$$\left[c_1 \frac{\partial u_k^0}{\partial s_k}(t, 0), \dots, c_N \frac{\partial u_N^0}{\partial s_k}(t, 0) \right] = P^T [\gamma_1(t), \dots, \gamma_{N-1}(t)]$$

- Nous appelons P la matrice $(N-1) \times N$ définie par

$$P = \begin{pmatrix} -1 & 1 & 0 & \dots & \dots & 0 \\ 0 & -1 & 1 & 0 & & 0 \\ \vdots & \ddots & \ddots & \ddots & \ddots & \vdots \\ 0 & & 0 & -1 & 1 & 0 \\ 0 & \dots & \dots & 0 & -1 & 1 \end{pmatrix}$$

- La relation de la proposition précédente peut se réécrire sous la forme

$$\sum_{k=1}^N c_k \frac{\partial u_k^0}{\partial s_k}(t, 0) = 0 \quad \iff \quad \left[c_1 \frac{\partial u_k^0}{\partial s_k}(t, 0), \dots, c_N \frac{\partial u_N^0}{\partial s_k}(t, 0) \right] \cdot [1, \dots, 1] = 0$$

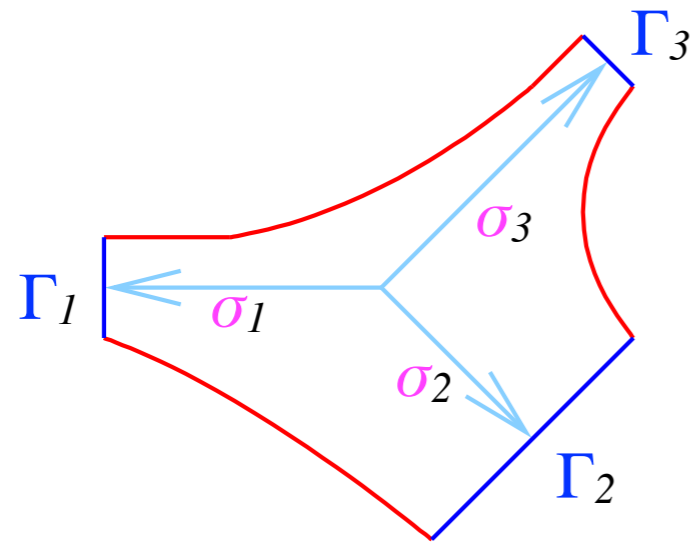
- Nous en déduisons que le vecteur $\left[c_1 \frac{\partial u_k^0}{\partial s_k}(t, 0), \dots, c_N \frac{\partial u_N^0}{\partial s_k}(t, 0) \right]$ vérifie:

$$\left[c_1 \frac{\partial u_k^0}{\partial s_k}(t, 0), \dots, c_N \frac{\partial u_N^0}{\partial s_k}(t, 0) \right] \in (\text{Ker } P)^\perp = \text{Im } P^T$$

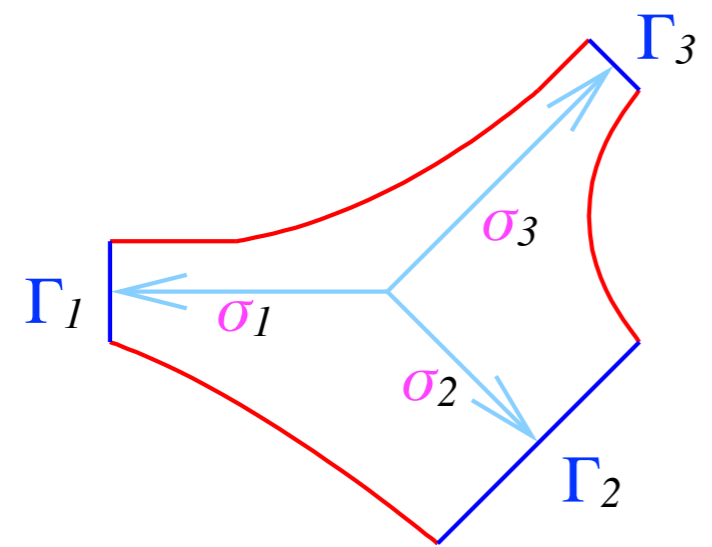
$$\left[c_1 \frac{\partial u_k^0}{\partial s_k}(t, 0), \dots, c_N \frac{\partial u_N^0}{\partial s_k}(t, 0) \right] = P^T [\gamma_1(t), \dots, \gamma_{N-1}(t)]$$

- Nous allons nous servir de ce résultat pour décomposer la fonction $U^1(t, \bullet)$ en décomposant la condition au bord satisfaite par $U^1(t, \bullet)$.

Problème satisfait par la fonction U^1

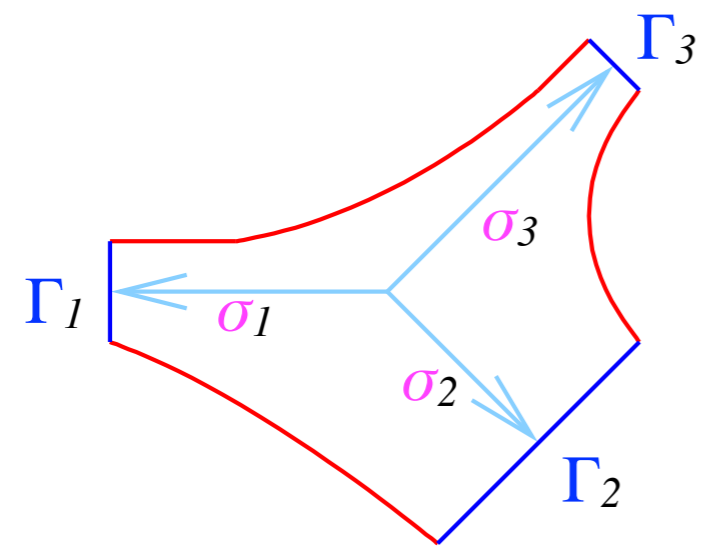


- Nous introduisons alors une collection de fonctions $(W_i \in H^1(J))_{1 \leq i \leq N-1}$ telles que



- Nous introduisons alors une collection de fonctions $(W_i \in H^1(J))_{1 \leq i \leq N-1}$ telles que

$$\left\{ \begin{array}{l} \Delta W_i = 0 \text{ dans } J \\ \partial_{\vec{n}} W_i = 0 \text{ sur } \partial J \setminus \cup \Gamma_k \\ c_k \partial_{\vec{n}} W_i + T_k W_i = 0 \text{ sur } \Gamma_k, k \neq \{i, i+1\} \\ c_i \partial_{\vec{n}} W_i + T_i W_i = -1 \text{ sur } \Gamma_i \\ c_{i+1} \partial_{\vec{n}} W_i + T_{i+1} W_i = +1 \text{ sur } \Gamma_{i+1} \\ \int_J W_i = 0 \end{array} \right.$$

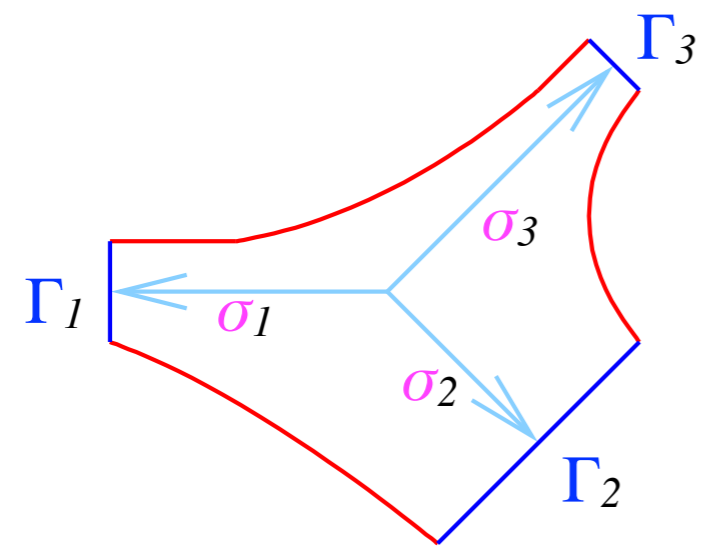


- Nous introduisons alors une collection de fonctions $(W_i \in H^1(J))_{1 \leq i \leq N-1}$ telles que

$$\left\{ \begin{array}{l} \Delta W_i = 0 \text{ dans } J \\ \partial_{\vec{n}} W_i = 0 \text{ sur } \partial J \setminus \cup \Gamma_k \\ c_k \partial_{\vec{n}} W_i + T_k W_i = 0 \text{ sur } \Gamma_k, k \neq \{i, i+1\} \\ c_i \partial_{\vec{n}} W_i + T_i W_i = -1 \text{ sur } \Gamma_i \\ c_{i+1} \partial_{\vec{n}} W_i + T_{i+1} W_i = +1 \text{ sur } \Gamma_{i+1} \\ \int_J W_i = 0 \end{array} \right.$$

Proposition

La famille de problèmes $(W_i \in H^1(J))$ est bien définie dans $H^1(J)$.



- Nous introduisons alors une collection de fonctions $(W_i \in H^1(J))_{1 \leq i \leq N-1}$ telles que

$$\left\{ \begin{array}{l} \Delta W_i = 0 \text{ dans } J \\ \partial_{\vec{n}} W_i = 0 \text{ sur } \partial J \setminus \cup \Gamma_k \\ c_k \partial_{\vec{n}} W_i + T_k W_i = 0 \text{ sur } \Gamma_k, k \neq \{i, i+1\} \\ c_i \partial_{\vec{n}} W_i + T_i W_i = -1 \text{ sur } \Gamma_i \\ c_{i+1} \partial_{\vec{n}} W_i + T_{i+1} W_i = +1 \text{ sur } \Gamma_{i+1} \\ \int_J W_i = 0 \end{array} \right.$$

Proposition

La famille de problèmes $(W_i \in H^1(J))$ est bien définie dans $H^1(J)$.

Proposition

Nous avons

$$U^1(t, \cdot) = \sum_{k=1}^{N-1} \gamma_k(t) W_k + \frac{1}{|J|} \int U^1(t, \cdot)$$

- Nous partons de la relation

$$U^1(t, \cdot) = \sum_{k=1}^{N-1} \gamma_k(t) W_k + \frac{1}{|J|} \int U^1(t, \cdot)$$

- Nous partons de la relation

$$U^1(t, \cdot) = \sum_{k=1}^{N-1} \gamma_k(t) W_k + \frac{1}{|J|} \int U^1(t, \cdot)$$

- Cette relation nous permet d'écrire alors

$$\frac{1}{c_{i+1}} \int_{\Gamma_{i+1}} U^1(t, \cdot) - \frac{1}{c_i} \int_{\Gamma_i} U^1(t, \cdot) = \sum_{k=1}^{N-1} \gamma_k(t) \left(\frac{1}{c_{i+1}} \int_{\Gamma_{i+1}} W_k - \frac{1}{c_i} \int_{\Gamma_i} W_k \right)$$

- Nous partons de la relation

$$U^1(t, \cdot) = \sum_{k=1}^{N-1} \gamma_k(t) W_k + \frac{1}{|J|} \int U^1(t, \cdot)$$

- Cette relation nous permet d'écrire alors

$$\frac{1}{c_{i+1}} \int_{\Gamma_{i+1}} U^1(t, \cdot) - \frac{1}{c_i} \int_{\Gamma_i} U^1(t, \cdot) = \sum_{k=1}^{N-1} \gamma_k(t) \left(\frac{1}{c_{i+1}} \int_{\Gamma_{i+1}} W_k - \frac{1}{c_i} \int_{\Gamma_i} W_k \right)$$

- Il est donc naturel d'introduire la matrice $K \in \mathcal{M}_{N-1}$ par

$$K_{i,j} = \frac{1}{c_{j+1}} \int_{\Gamma_{j+1}} W_i - \frac{1}{c_j} \int_{\Gamma_j} W_i$$

- Nous partons de la relation

$$U^1(t, \cdot) = \sum_{k=1}^{N-1} \gamma_k(t) W_k + \frac{1}{|J|} \int U^1(t, \cdot)$$

- Cette relation nous permet d'écrire alors

$$\frac{1}{c_{i+1}} \int_{\Gamma_{i+1}} U^1(t, \cdot) - \frac{1}{c_i} \int_{\Gamma_i} U^1(t, \cdot) = \sum_{k=1}^{N-1} \gamma_k(t) \left(\frac{1}{c_{i+1}} \int_{\Gamma_{i+1}} W_k - \frac{1}{c_i} \int_{\Gamma_i} W_k \right)$$

- Il est donc naturel d'introduire la matrice $K \in \mathcal{M}_{N-1}$ par

$$K_{i,j} = \frac{1}{c_{j+1}} \int_{\Gamma_{j+1}} W_i - \frac{1}{c_j} \int_{\Gamma_j} W_i$$

Proposition

K est une matrice symétrique définie positive.

- Nous partons de la relation

$$U^1(t, \cdot) = \sum_{k=1}^{N-1} \gamma_k(t) W_k + \frac{1}{|J|} \int U^1(t, \cdot)$$

- Cette relation nous permet d'écrire alors

$$\frac{1}{c_{i+1}} \int_{\Gamma_{i+1}} U^1(t, \cdot) - \frac{1}{c_i} \int_{\Gamma_i} U^1(t, \cdot) = \sum_{k=1}^{N-1} \gamma_k(t) \left(\frac{1}{c_{i+1}} \int_{\Gamma_{i+1}} W_k - \frac{1}{c_i} \int_{\Gamma_i} W_k \right)$$

- Il est donc naturel d'introduire la matrice $K \in \mathcal{M}_{N-1}$ par

$$K_{i,j} = \frac{1}{c_{j+1}} \int_{\Gamma_{j+1}} W_i - \frac{1}{c_j} \int_{\Gamma_j} W_i$$

- Nous rappelons la matrice P :

$$P = \begin{pmatrix} -1 & 1 & 0 & \dots & \dots & 0 \\ 0 & -1 & 1 & 0 & & 0 \\ \vdots & \ddots & \ddots & \ddots & \ddots & \vdots \\ 0 & & 0 & -1 & 1 & 0 \\ 0 & \dots & \dots & 0 & -1 & 1 \end{pmatrix}$$

Proposition

K est une matrice symétrique définie positive.

- Nous partons de la relation

$$U^1(t, \cdot) = \sum_{k=1}^{N-1} \gamma_k(t) W_k + \frac{1}{|J|} \int U^1(t, \cdot)$$

- Cette relation nous permet d'écrire alors

$$\frac{1}{c_{i+1}} \int_{\Gamma_{i+1}} U^1(t, \cdot) - \frac{1}{c_i} \int_{\Gamma_i} U^1(t, \cdot) = \sum_{k=1}^{N-1} \gamma_k(t) \left(\frac{1}{c_{i+1}} \int_{\Gamma_{i+1}} W_k - \frac{1}{c_i} \int_{\Gamma_i} W_k \right)$$

- Il est donc naturel d'introduire la matrice $K \in \mathcal{M}_{N-1}$ par

$$K_{i,j} = \frac{1}{c_{j+1}} \int_{\Gamma_{j+1}} W_i - \frac{1}{c_j} \int_{\Gamma_j} W_i$$

Proposition

K est une matrice symétrique définie positive.

- Nous rappelons la matrice P :

$$P = \begin{pmatrix} -1 & 1 & 0 & \dots & \dots & 0 \\ 0 & -1 & 1 & 0 & & 0 \\ \vdots & \ddots & \ddots & \ddots & \ddots & \vdots \\ 0 & & 0 & -1 & 1 & 0 \\ 0 & \dots & \dots & 0 & -1 & 1 \end{pmatrix}$$

- Nous définissons alors la matrice de saut $\mathcal{J} \in \mathcal{M}_N$ par

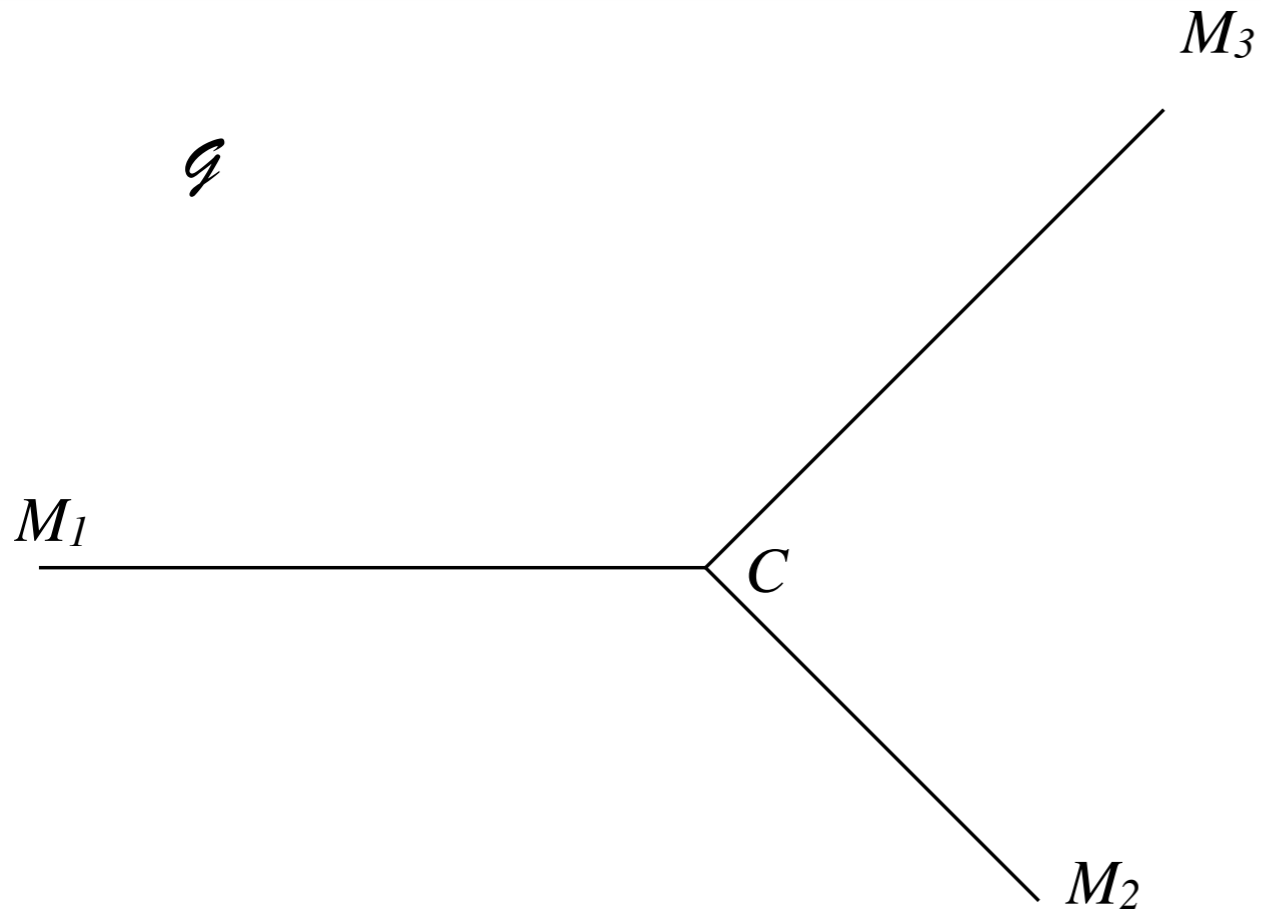
$$\mathcal{J} = P^T K^{-1} P$$

- Nous définissons la matrice $\mathcal{A} \in \mathcal{M}_N$ (matrice de moyenne) par

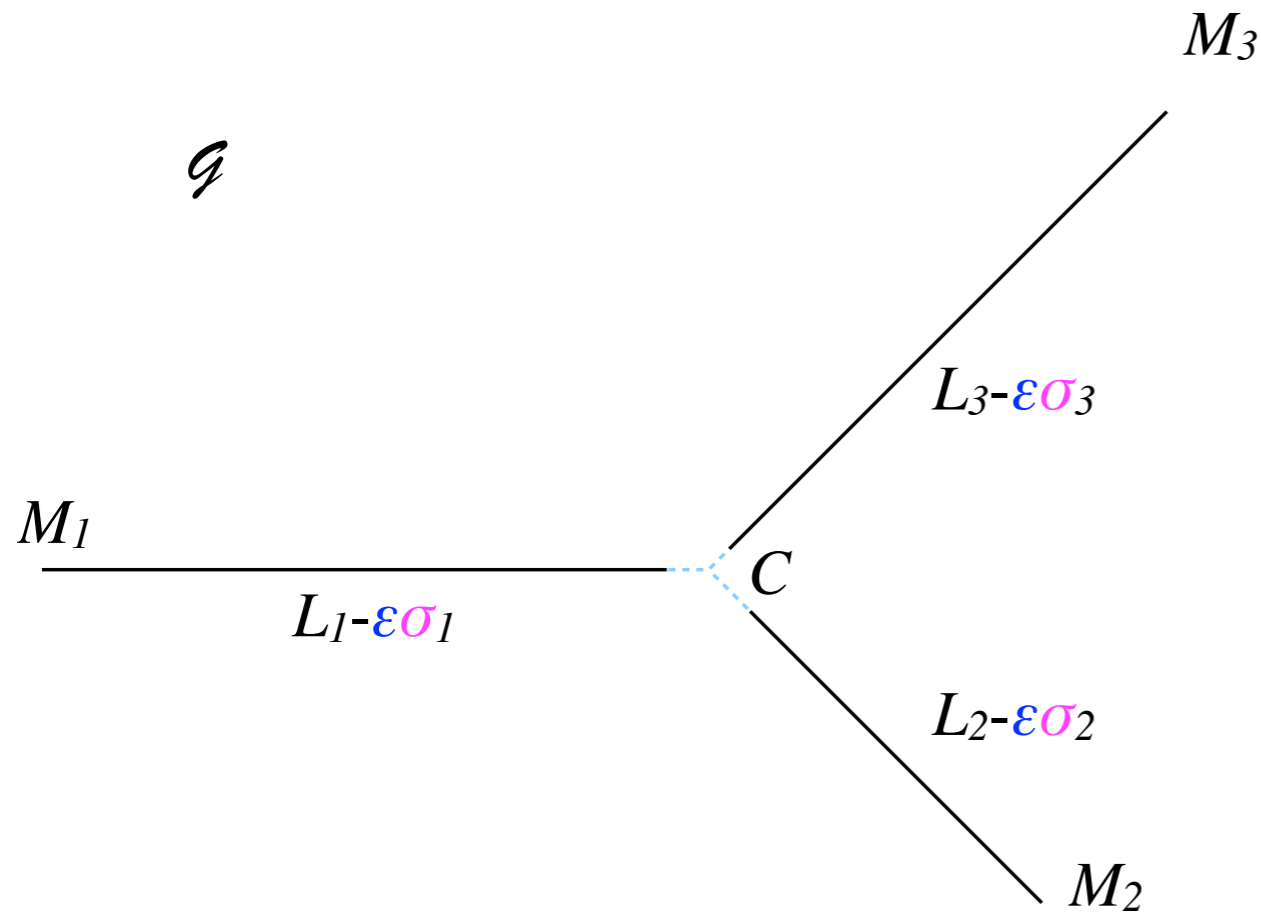
$$\mathcal{A} = \frac{|J|}{N^2} \begin{pmatrix} 1 & \dots & 1 \\ \vdots & & \vdots \\ 1 & \dots & 1 \end{pmatrix}$$

- Nous définissons la matrice $\mathcal{C} \in \mathcal{M}_N$ (matrice de poids) par

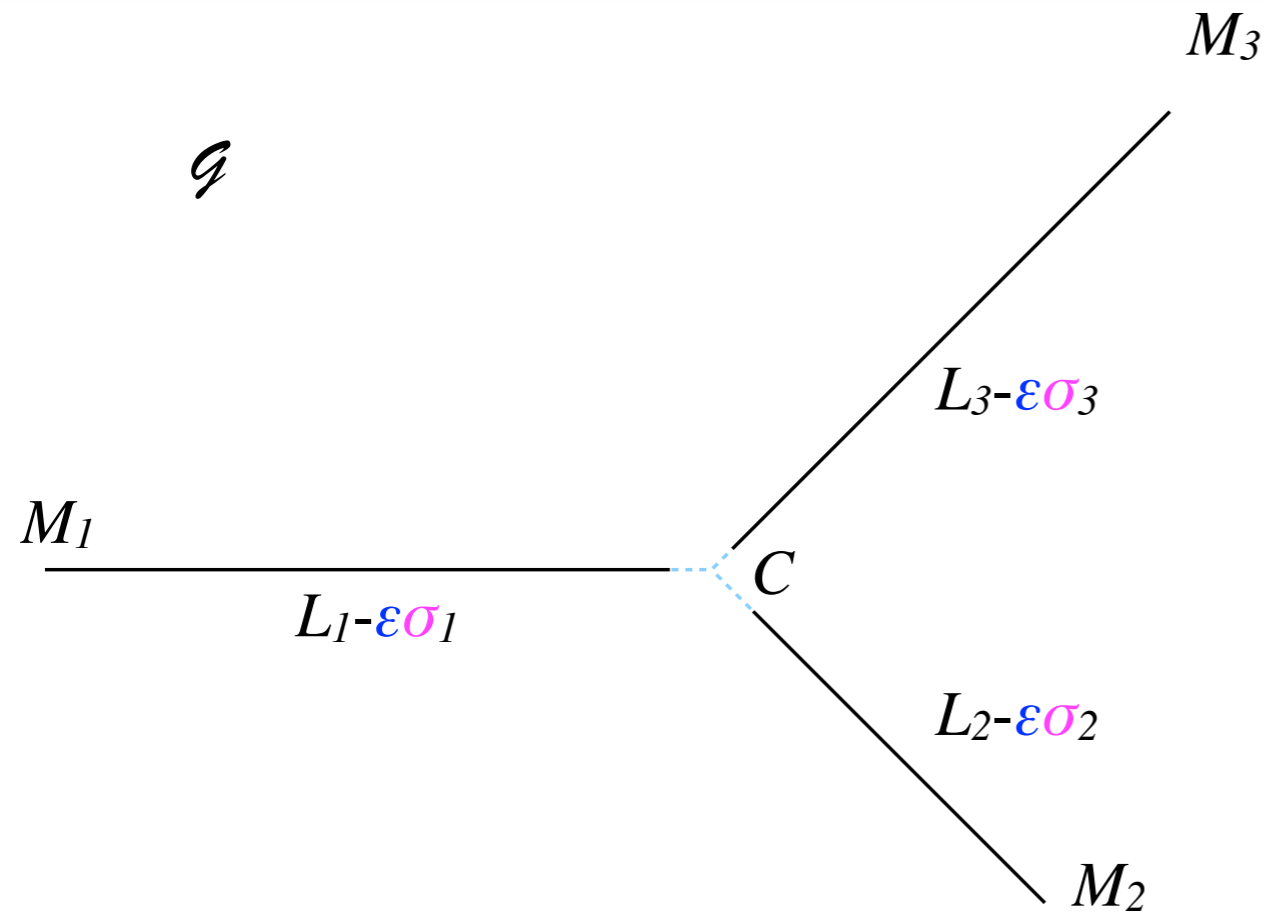
$$\mathcal{C} = \begin{pmatrix} c_1 & 0 & \dots & \dots & 0 \\ 0 & c_2 & \ddots & & \vdots \\ \vdots & \ddots & \ddots & \ddots & \vdots \\ \vdots & & \ddots & c_{N-1} & 0 \\ 0 & \dots & \dots & 0 & c_N \end{pmatrix}$$



- Nous paramétrons chaque segment (CM_i) par son **abscisse curviligne** s_i (avec $s_i = 0$ au point C).



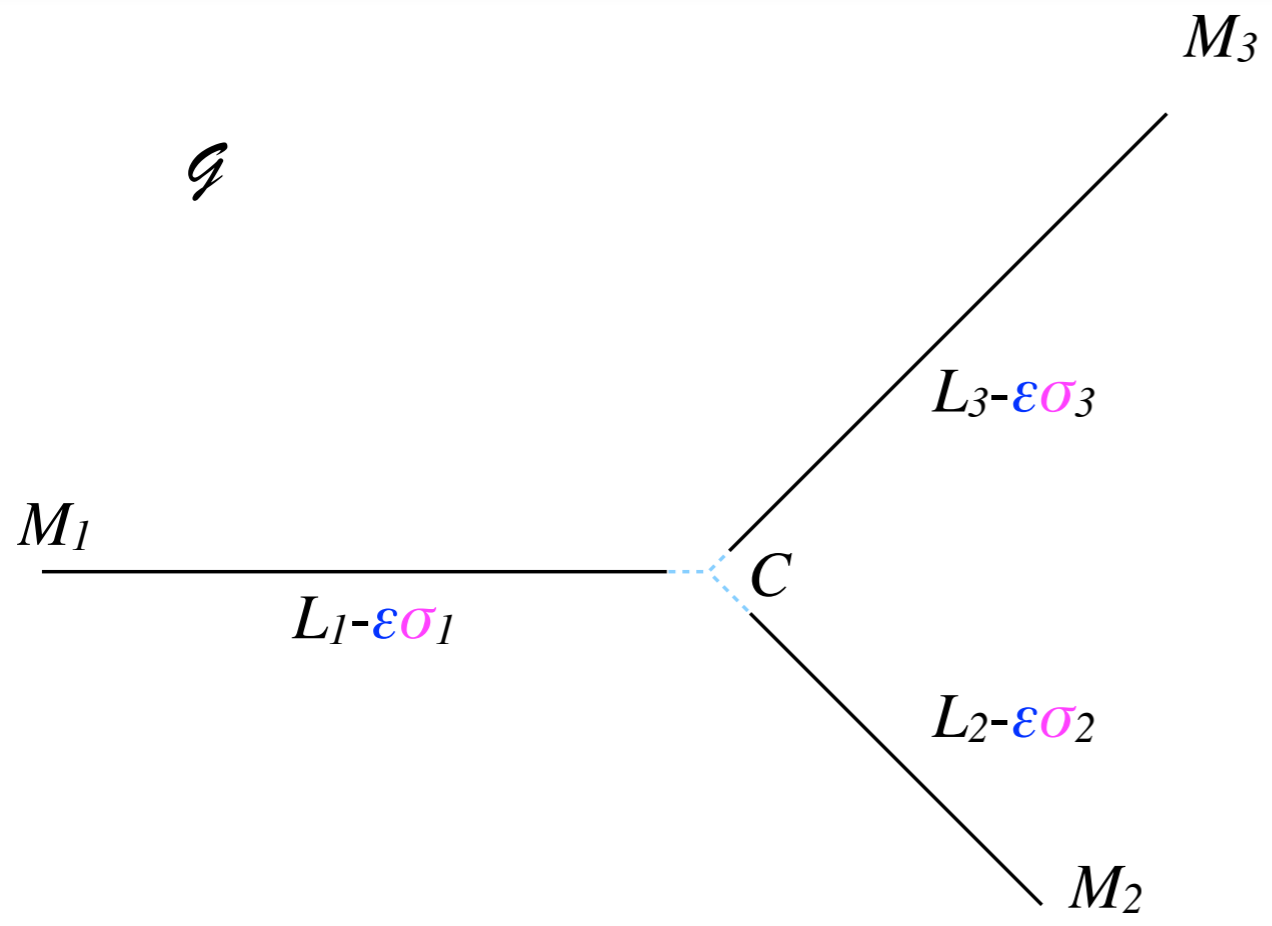
- Nous paramétrons chaque segment (CM_i) par son **abscisse curviligne** s_i (avec $s_i = 0$ au point C).
- Sur le segment (CM_i) , nous introduisons le point $N_i(\epsilon)$ d'abscisse curviligne $\epsilon \sigma_i$ (nous avons tracé en pointillés bleus le segment $(CN_i(\epsilon))$).



- Nous paramétrons chaque segment (CM_i) par son **abscisse curviligne** s_i (avec $s_i = 0$ au point C).
- Sur le segment (CM_i) , nous introduisons le point $N_i(\varepsilon)$ d'abscisse curviligne $\varepsilon\sigma_i$ (nous avons tracé en pointillés bleus le segment $(CN_i(\varepsilon))$).

- Nous résolvons alors le problème suivant :

$$\left\{ \begin{array}{l} \frac{\partial^2 \tilde{u}_i^\varepsilon}{\partial t^2} - \Delta_{1D} \tilde{u}_i^\varepsilon = 0 \text{ dans } \mathbb{R}_+ \times (N_i^\varepsilon M_i) \\ \frac{\partial \tilde{u}_i^\varepsilon}{\partial n} = 0 \text{ sur } \mathbb{R}_+ \times \{M_i\} \end{array} \right.$$



- Nous paramétrons chaque segment (CM_i) par son **abscisse curviligne** s_i (avec $s_i = 0$ au point C).
- Sur le segment (CM_i) , nous introduisons le point $N_i(\epsilon)$ d'abscisse curviligne $\epsilon\sigma_i$ (nous avons tracé en pointillés bleus le segment $(CN_i(\epsilon))$).

● Nous résolvons alors le problème suivant :

$$\left\{ \begin{array}{l} \frac{\partial^2 \tilde{u}_i^\epsilon}{\partial t^2} - \Delta_{1D} \tilde{u}_i^\epsilon = 0 \text{ dans } \mathbb{R}_+ \times (N_i^\epsilon M_i) \\ \frac{\partial \tilde{u}_i^\epsilon}{\partial n} = 0 \text{ sur } \mathbb{R}_+ \times \{M_i\} \\ \mathcal{C} \partial_s U^\epsilon(t) = \left(\frac{1}{\epsilon} \mathcal{J} + \epsilon \mathcal{A} \frac{\partial^2}{\partial t^2} \right) U^\epsilon(t) \end{array} \right.$$

avec $\left\{ \begin{array}{l} U^\epsilon(t) = (\tilde{u}_i^\epsilon(t, \epsilon\sigma_i)) \\ \partial_s U^\epsilon(t) = \left(\frac{\partial \tilde{u}_i^\epsilon}{\partial s_i}(t, \epsilon\sigma_i) \right) \end{array} \right.$

- Nous rappelons ici la forme des conditions améliorées de Kirchhoff:

$$(\star) \quad \mathcal{C} \partial_s U^\varepsilon(t) = \left(\frac{1}{\varepsilon} \mathcal{J} + \varepsilon \mathcal{A} \frac{\partial^2}{\partial t^2} \right) U^\varepsilon(t)$$

- Nous rappelons ici la forme des conditions améliorées de Kirchhoff:

$$(\star) \quad \mathcal{C} \partial_s U^\varepsilon(t) = \left(\frac{1}{\varepsilon} \mathcal{J} + \varepsilon \mathcal{A} \frac{\partial^2}{\partial t^2} \right) U^\varepsilon(t)$$

- Nous multiplions (\star) par ε et nous prenons la limite formelle lorsque $\varepsilon \rightarrow 0$, ce qui nous donne en notant $\mathbb{1} = (1, 1, \dots, 1)^T$:

$$\mathcal{J} U^0(t) = 0 \quad \Rightarrow \quad U^0(t) = u^0(t) \mathbb{1}$$

- Nous rappelons ici la forme des conditions améliorées de Kirchhoff:

$$(\star) \quad \mathcal{C} \partial_s U^\varepsilon(t) = \left(\frac{1}{\varepsilon} \mathcal{J} + \varepsilon \mathcal{A} \frac{\partial^2}{\partial t^2} \right) U^\varepsilon(t)$$

- Nous multiplions (\star) par ε et nous prenons la limite formelle lorsque $\varepsilon \rightarrow 0$, ce qui nous donne en notant $\mathbb{1} = (1, 1, \dots, 1)^T$:

$$\mathcal{J} U^0(t) = 0 \quad \Rightarrow \quad U^0(t) = u^0(t) \mathbb{1}$$

- Nous multiplions (\star) à gauche par $\mathbb{1}^T$ et nous utilisons la relation $\mathbb{1}^T \mathcal{J} = 0$ pour avoir:

$$(\star\star) \quad \mathbb{1}^T \mathcal{C} \partial_s U^\varepsilon(t) = \varepsilon \mathbb{1}^T \mathcal{A} \frac{\partial^2}{\partial t^2} U^\varepsilon(t)$$

- Nous rappelons ici la forme des conditions améliorées de Kirchhoff:

$$(\star) \quad \mathcal{C} \partial_s U^\varepsilon(t) = \left(\frac{1}{\varepsilon} \mathcal{J} + \varepsilon \mathcal{A} \frac{\partial^2}{\partial t^2} \right) U^\varepsilon(t)$$

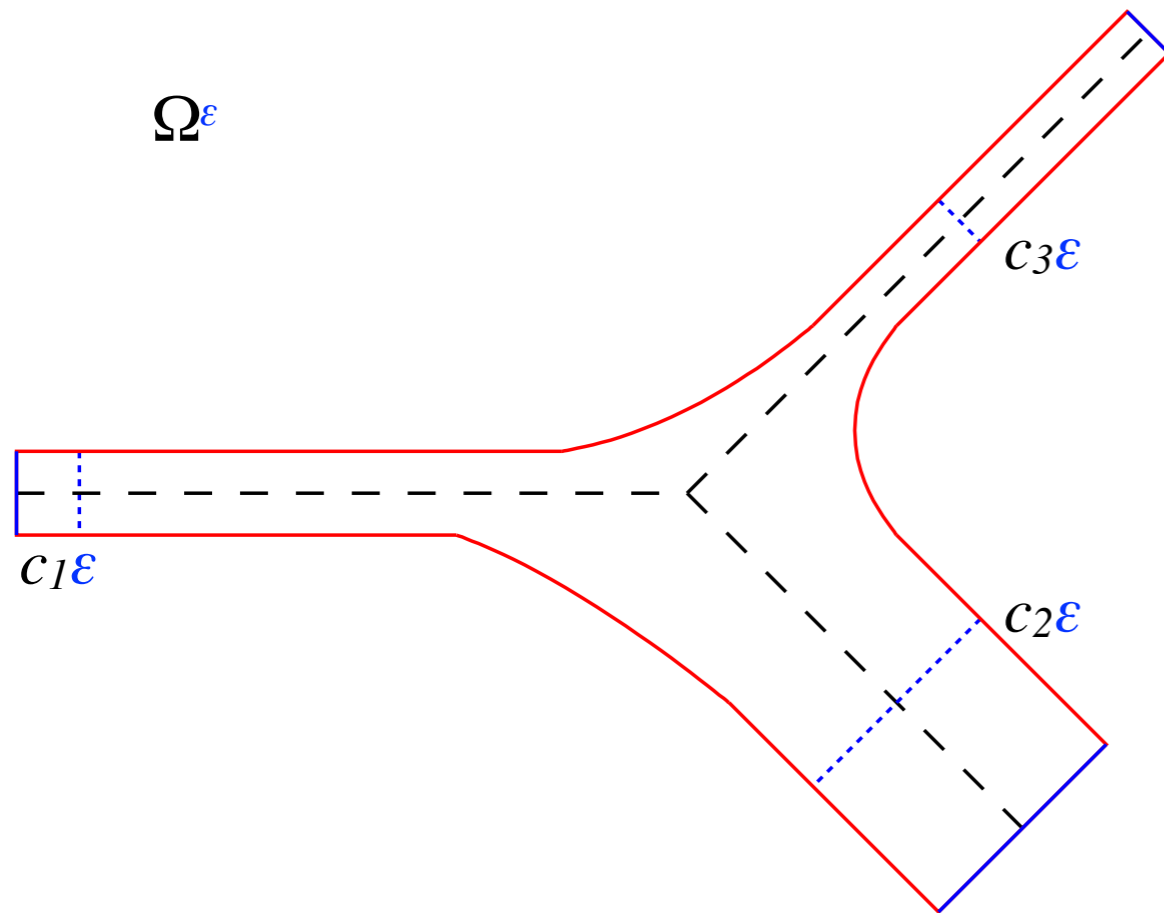
- Nous multiplions (\star) par ε et nous prenons la limite formelle lorsque $\varepsilon \rightarrow 0$, ce qui nous donne en notant $\mathbb{1} = (1, 1, \dots, 1)^T$:

$$\mathcal{J} U^0(t) = 0 \quad \Rightarrow \quad U^0(t) = u^0(t) \mathbb{1}$$

- Nous multiplions (\star) à gauche par $\mathbb{1}^T$ et nous utilisons la relation $\mathbb{1}^T \mathcal{J} = 0$ pour avoir:

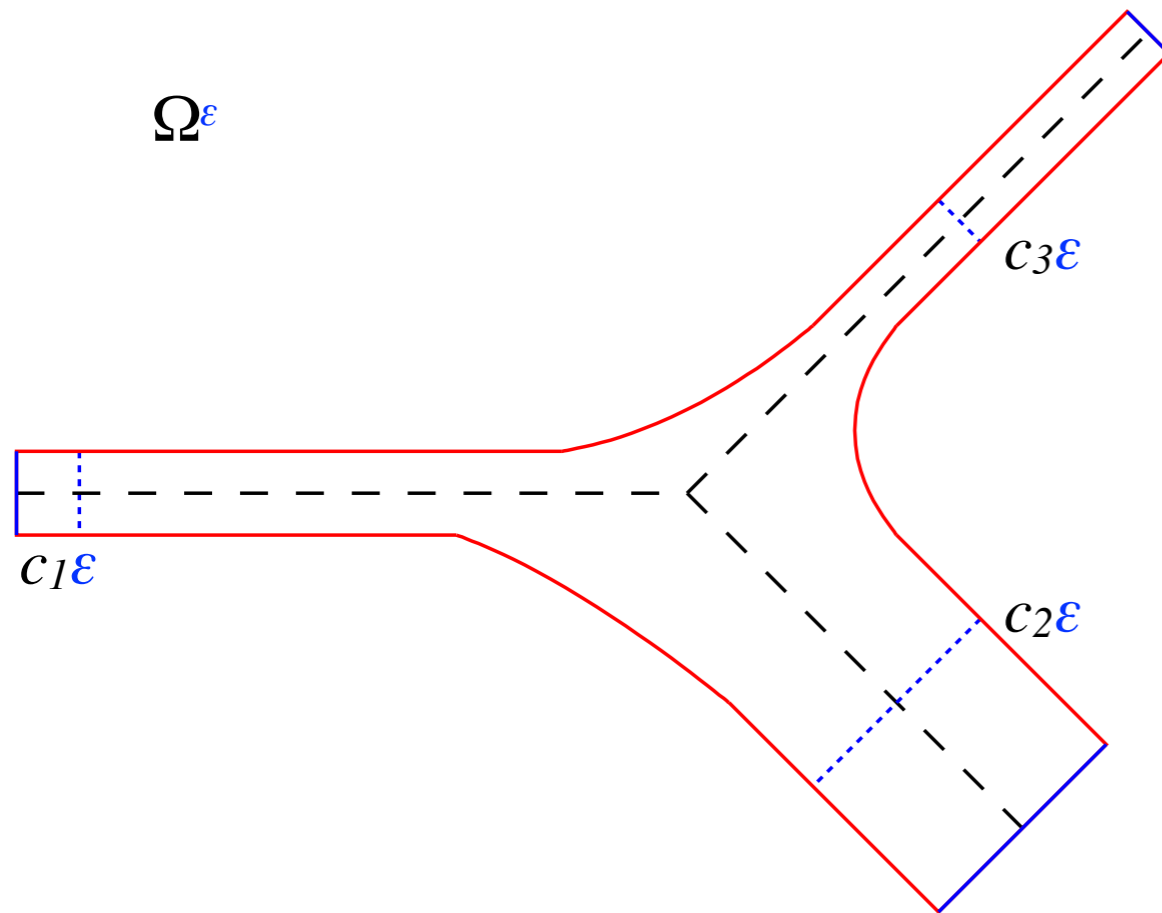
$$(\star\star) \quad \mathbb{1}^T \mathcal{C} \partial_s U^\varepsilon(t) = \varepsilon \mathbb{1}^T \mathcal{A} \frac{\partial^2}{\partial t^2} U^\varepsilon(t)$$

- En prenant la limite formelle dans $(\star\star)$ lorsque $\varepsilon \rightarrow 0$, nous avons $\mathbb{1}^T \mathcal{C} \partial_s U^0(t) = 0$.



- Pour ε_0 donné, nous définissons l'énergie canonique sur le $i^{\text{ème}}$ segment:

$$\mathcal{E}_i^{\varepsilon_0}(t, v) = \int_{\varepsilon_0 \sigma_i}^{L_i} \left| \frac{\partial v}{\partial t}(t, s') \right|^2 + \left| \frac{\partial v}{\partial s_i}(t, s') \right|^2 ds'$$

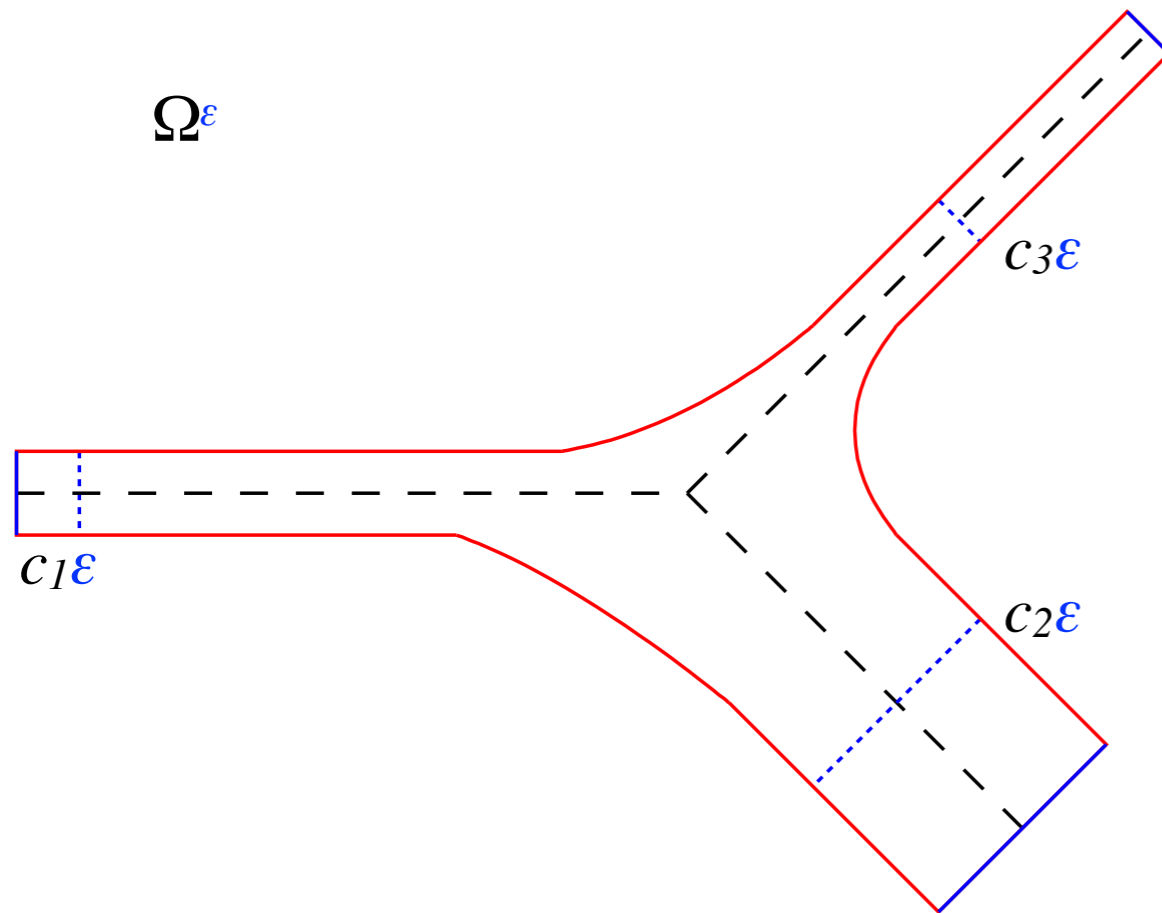


- Pour ε_0 donné, nous définissons l'énergie canonique sur le $i^{\text{ème}}$ segment:

$$\mathcal{E}_i^{\varepsilon_0}(t, v) = \int_{\varepsilon_0 \sigma_i}^{L_i} \left| \frac{\partial v}{\partial t}(t, s') \right|^2 + \left| \frac{\partial v}{\partial s_i}(t, s') \right|^2 ds'$$

- Pour $\varepsilon < \varepsilon_0$, nous définissons la fonction \bar{u}_i^ε comme l'intégrale transverse normalisée de la fonction u^ε sur le $i^{\text{ème}}$ segment:

$$\bar{u}_i^\varepsilon(t, s_i) = \frac{1}{c_i \varepsilon} \int_{\mathbf{x} \cdot \mathbf{t}_i = s_i} u^\varepsilon(t, \mathbf{x}) d\sigma(\mathbf{x})$$



- Pour ε_0 donné, nous définissons l'énergie canonique sur le $i^{\text{ème}}$ segment:

$$\mathcal{E}_i^{\varepsilon_0}(t, v) = \int_{\varepsilon_0 \sigma_i}^{L_i} \left| \frac{\partial v}{\partial t}(t, s') \right|^2 + \left| \frac{\partial v}{\partial s_i}(t, s') \right|^2 ds'$$

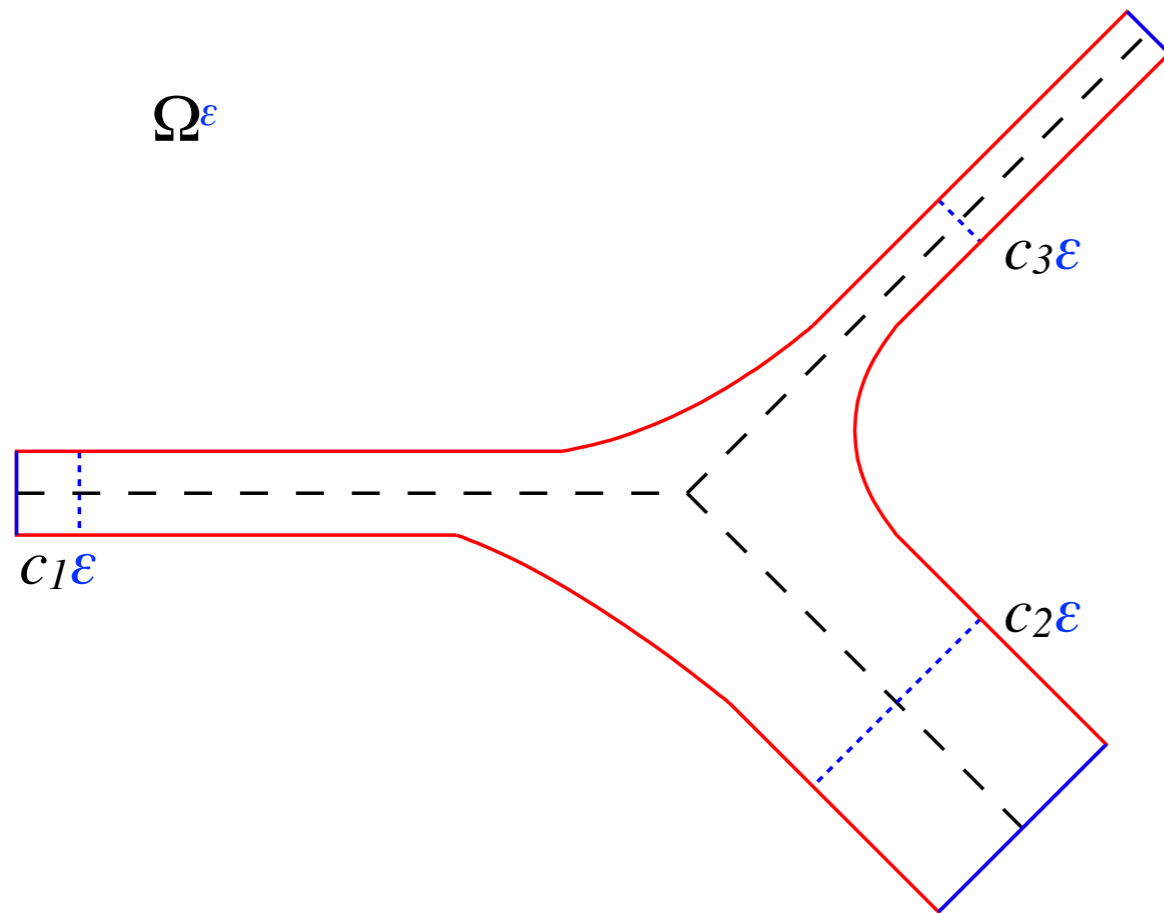
- Pour $\varepsilon < \varepsilon_0$, nous définissons la fonction \bar{u}_i^ε comme l'intégrale transverse normalisée de la fonction u^ε sur le $i^{\text{ème}}$ segment:

$$\bar{u}_i^\varepsilon(t, s_i) = \frac{1}{c_i \varepsilon} \int_{\mathbf{x} \cdot \mathbf{t}_i = s_i} u^\varepsilon(t, \mathbf{x}) d\sigma(\mathbf{x})$$

Théorème

Il existe une fonction $C(t)$ ne dépendant pas de ε telle que, pour tout $\varepsilon < \varepsilon_0$,

$$\left(\sum_{i=1}^N \mathcal{E}_i^{\varepsilon_0}(t, \bar{u}_i^\varepsilon - u_i^0) \right)^{1/2} \leq C(t) \varepsilon$$



- Pour ε_0 donné, nous définissons l'énergie canonique sur le $i^{\text{ème}}$ segment:

$$\mathcal{E}_i^{\varepsilon_0}(t, v) = \int_{\varepsilon_0 \sigma_i}^{L_i} \left| \frac{\partial v}{\partial t}(t, s') \right|^2 + \left| \frac{\partial v}{\partial s_i}(t, s') \right|^2 ds'$$

- Pour $\varepsilon < \varepsilon_0$, nous définissons la fonction \bar{u}_i^ε comme l'intégrale transverse normalisée de la fonction u^ε sur le $i^{\text{ème}}$ segment:

$$\bar{u}_i^\varepsilon(t, s_i) = \frac{1}{c_i \varepsilon} \int_{\mathbf{x} \cdot \mathbf{t}_i = s_i} u^\varepsilon(t, \mathbf{x}) d\sigma(\mathbf{x})$$

Théorème

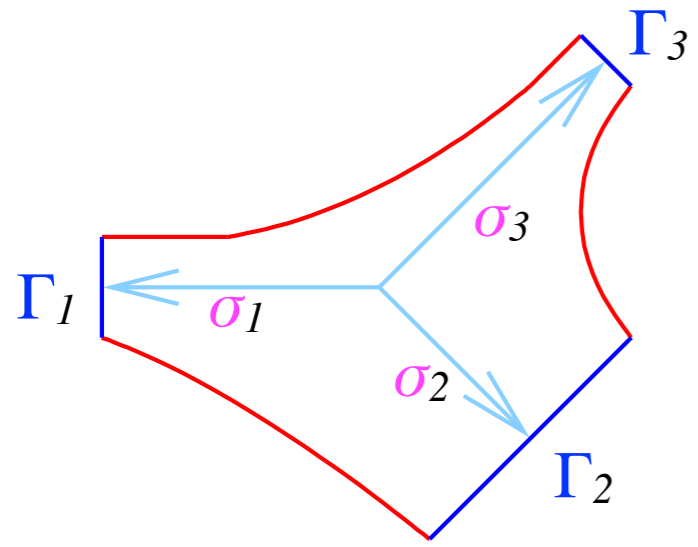
Il existe une fonction $C(t)$ ne dépendant pas de ε telle que, pour tout $\varepsilon < \varepsilon_0$,

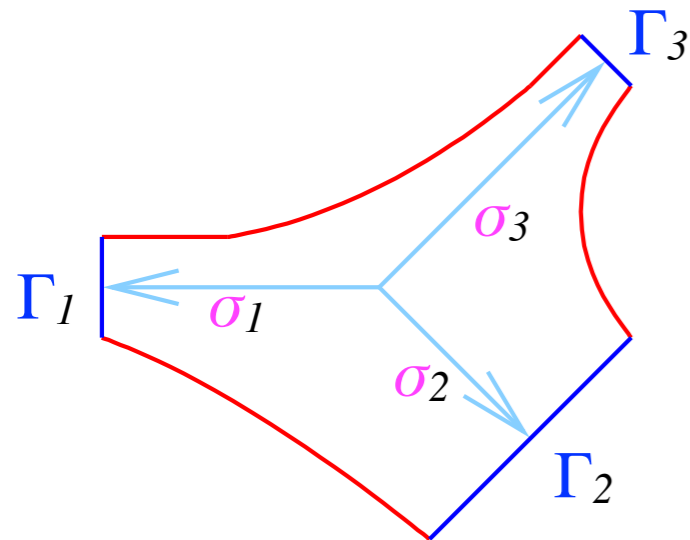
$$\left(\sum_{i=1}^N \mathcal{E}_i^{\varepsilon_0}(t, \bar{u}_i^\varepsilon - u_i^0) \right)^{1/2} \leq C(t) \varepsilon$$

Théorème

Il existe une fonction $C'(t)$ ne dépendant pas de ε telle que, pour tout $\varepsilon < \varepsilon_0$,

$$\left(\sum_{i=1}^N \mathcal{E}_i^{\varepsilon_0}(t, \bar{u}_i^\varepsilon - \tilde{u}_i^\varepsilon) \right)^{1/2} \leq C'(t) \varepsilon^2$$

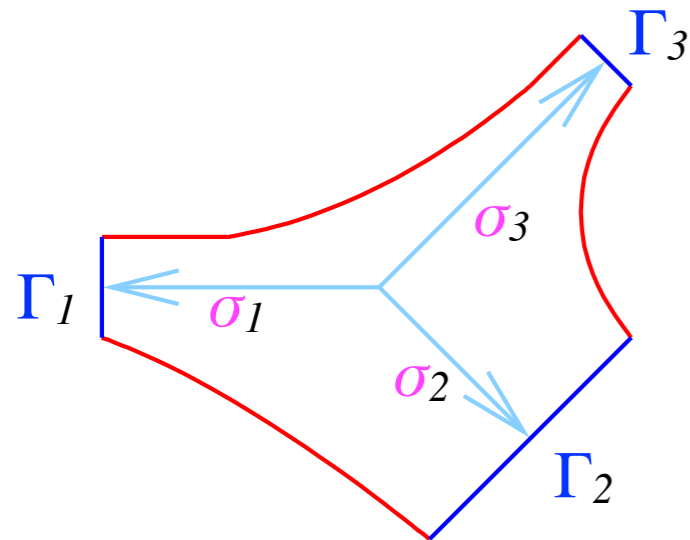




- Nous rappelons ici le problème satisfait par la fonction W_i , sous formulation variationnelle:

Trouver $W_i \in H^1(J)$ telle que, $\forall V \in H^1(J)$,

$$\int_J \nabla W_i \cdot \nabla V + \sum_{k=1}^N \int_{\Gamma_k} V T_k W_i = \frac{1}{c_{i+1}} \int_{\Gamma_{i+1}} V - \frac{1}{c_i} \int_{\Gamma_i} V$$



- Nous rappelons ici le problème satisfait par la fonction W_i , sous formulation variationnelle:

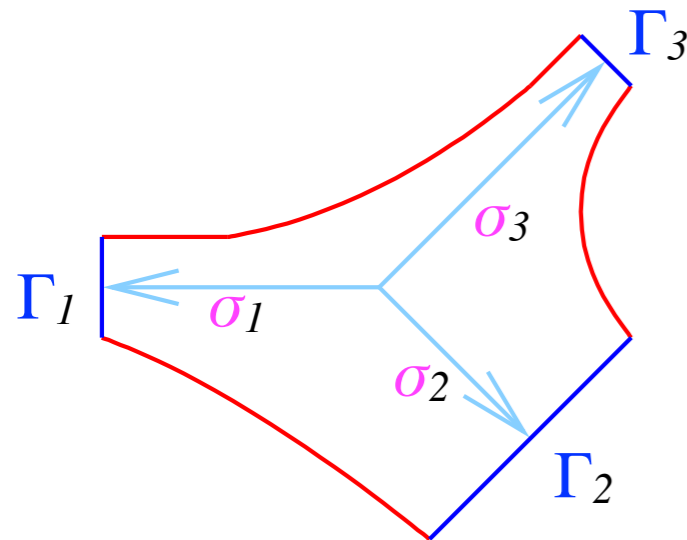
Trouver $W_i \in H^1(J)$ telle que, $\forall V \in H^1(J)$,

$$\int_J \nabla W_i \cdot \nabla V + \sum_{k=1}^N \int_{\Gamma_k} V T_k W_i = \frac{1}{c_{i+1}} \int_{\Gamma_{i+1}} V - \frac{1}{c_i} \int_{\Gamma_i} V$$

- Nous appelons l'opérateur T_k^P la troncature de l'opérateur T_k à P termes, et nous résolvons à la place le problème suivant:

Trouver $W_i^P \in H^1(J)$ telle que, $\forall V \in H^1(J)$,

$$\int_J \nabla W_i^P \cdot \nabla V + \sum_{k=1}^N \int_{\Gamma_k} V T_k^P W_i^P = \frac{1}{c_{i+1}} \int_{\Gamma_{i+1}} V - \frac{1}{c_i} \int_{\Gamma_i} V$$



- Nous rappelons ici le problème satisfait par la fonction W_i , sous formulation variationnelle:

Trouver $W_i \in H^1(J)$ telle que, $\forall V \in H^1(J)$,

$$\int_J \nabla W_i \cdot \nabla V + \sum_{k=1}^N \int_{\Gamma_k} V T_k W_i = \frac{1}{c_{i+1}} \int_{\Gamma_{i+1}} V - \frac{1}{c_i} \int_{\Gamma_i} V$$

- Nous appelons l'opérateur T_k^P la troncature de l'opérateur T_k à P termes, et nous résolvons à la place le problème suivant:

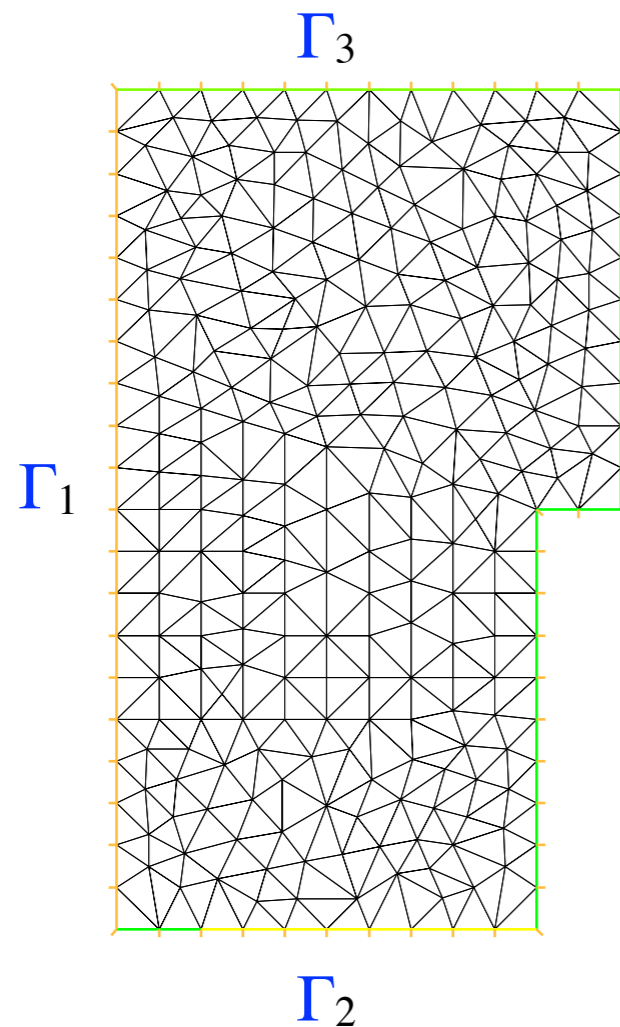
Trouver $W_i^P \in H^1(J)$ telle que, $\forall V \in H^1(J)$,

$$\int_J \nabla W_i^P \cdot \nabla V + \sum_{k=1}^N \int_{\Gamma_k} V T_k^P W_i^P = \frac{1}{c_{i+1}} \int_{\Gamma_{i+1}} V - \frac{1}{c_i} \int_{\Gamma_i} V$$

Proposition

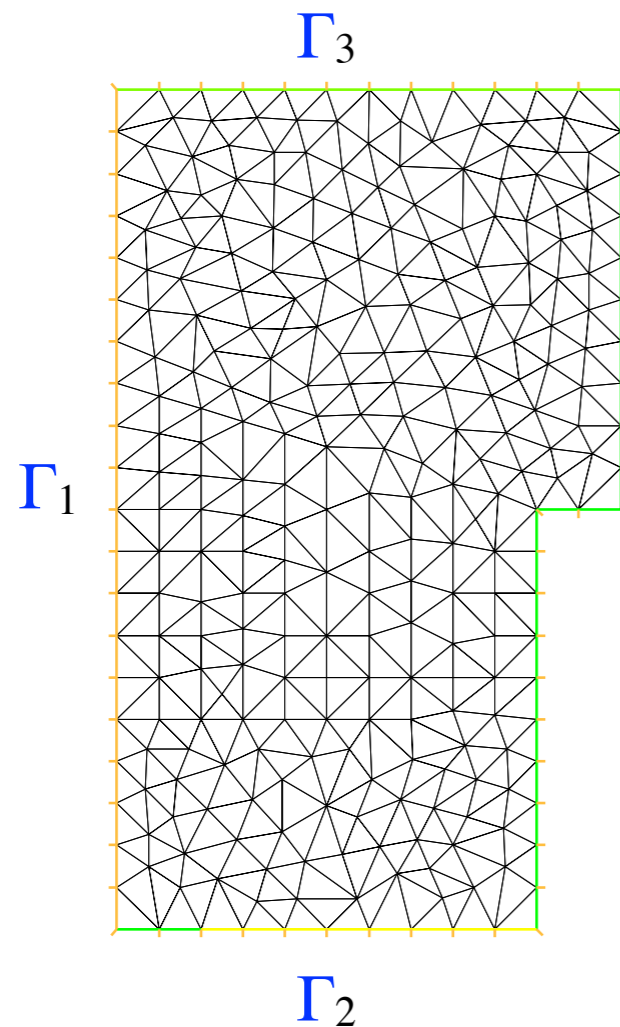
$$\lim_{P \rightarrow \infty} \|W_i - W_i^P\|_{H^1(J)} = 0$$

- Nous reprenons la jonction ayant servi pour la première simulation numérique.

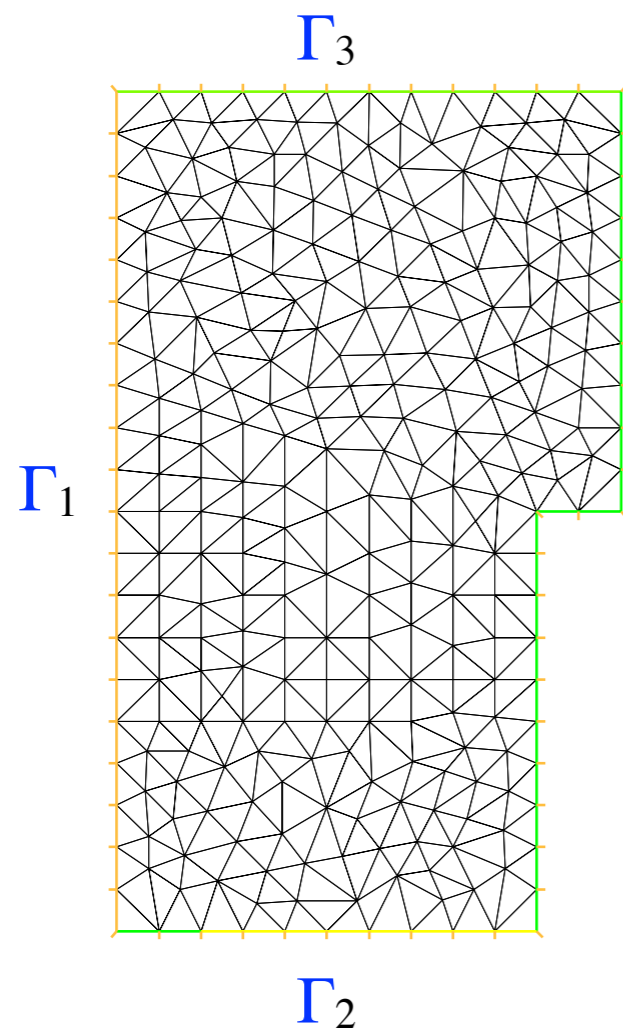


Calcul des fonctions W_i

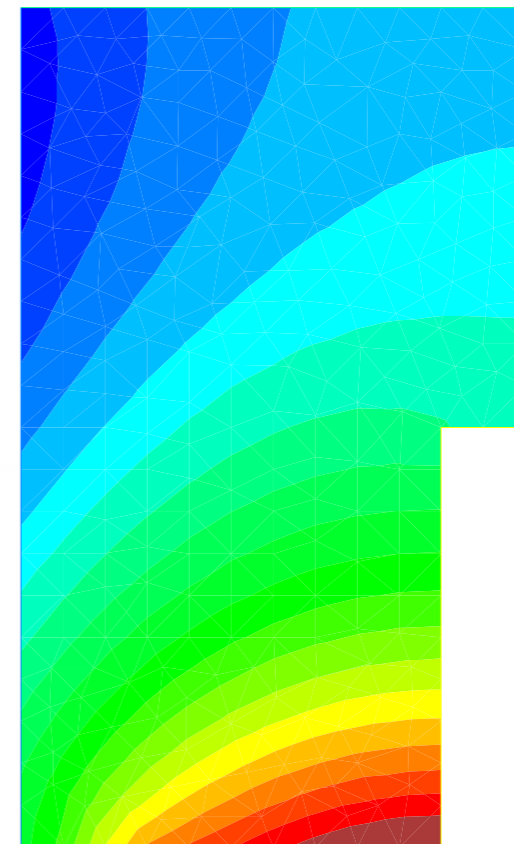
- Nous reprenons la jonction ayant servi pour la première simulation numérique.
- Le calcul de W_i est réalisé à l'aide d'un script FreeFem++ (<http://www.freefem.org/ff++/>)



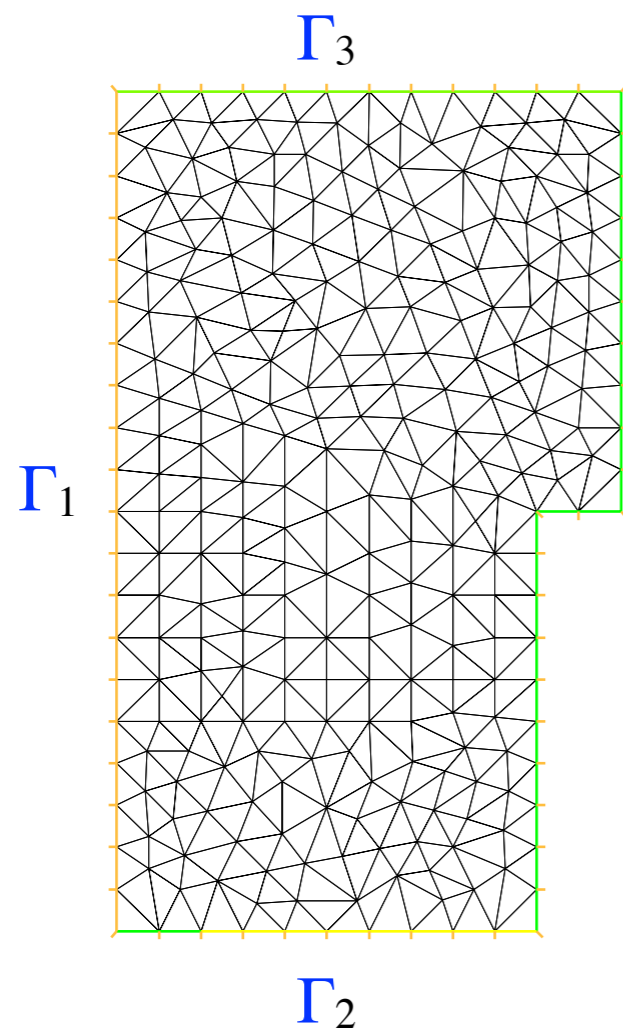
- Nous reprenons la jonction ayant servi pour la première simulation numérique.
- Le calcul de W_i est réalisé à l'aide d'un script FreeFem++ (<http://www.freefem.org/ff++/>)



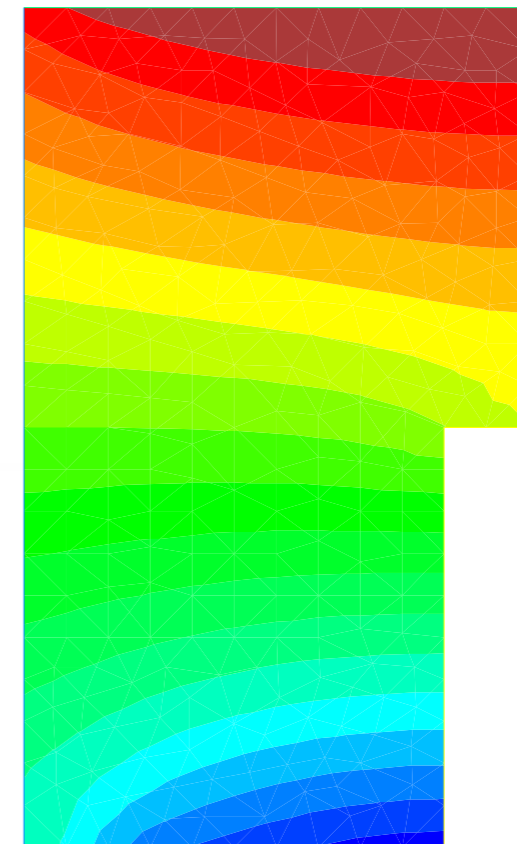
Calcul de la fonction W_1

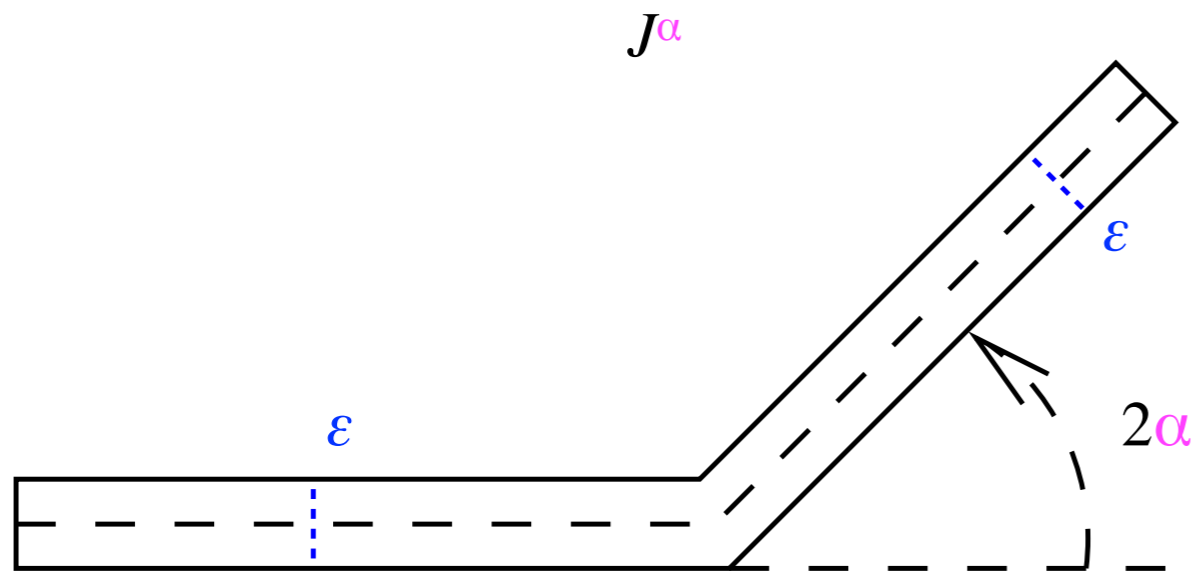


- Nous reprenons la jonction ayant servi pour la première simulation numérique.
- Le calcul de W_i est réalisé à l'aide d'un script FreeFem++ (<http://www.freefem.org/ff++/>)



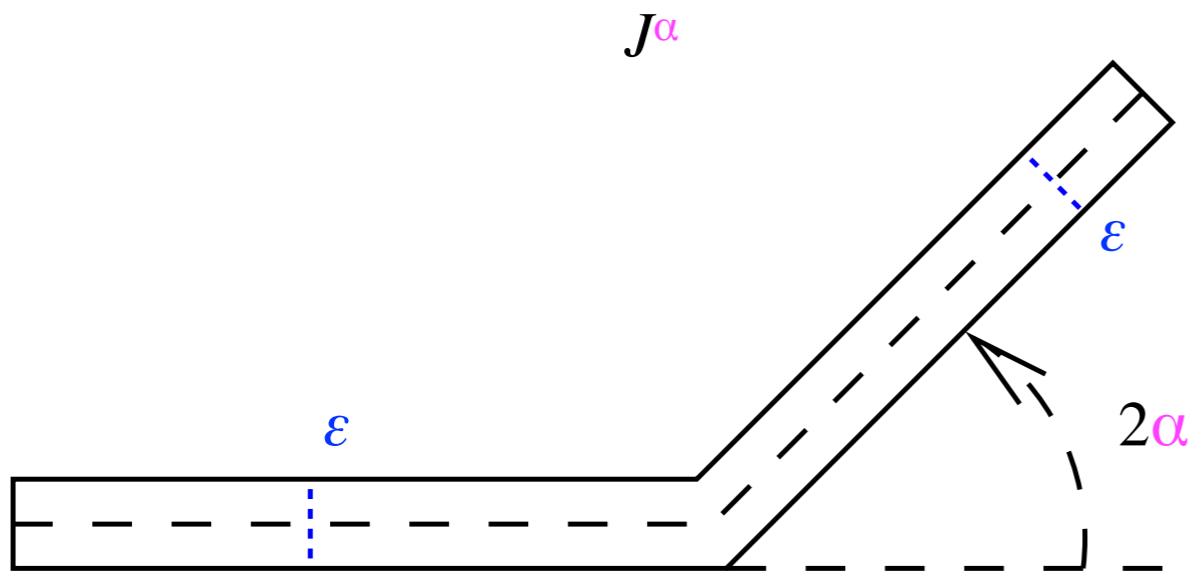
Calcul de la fonction W_2



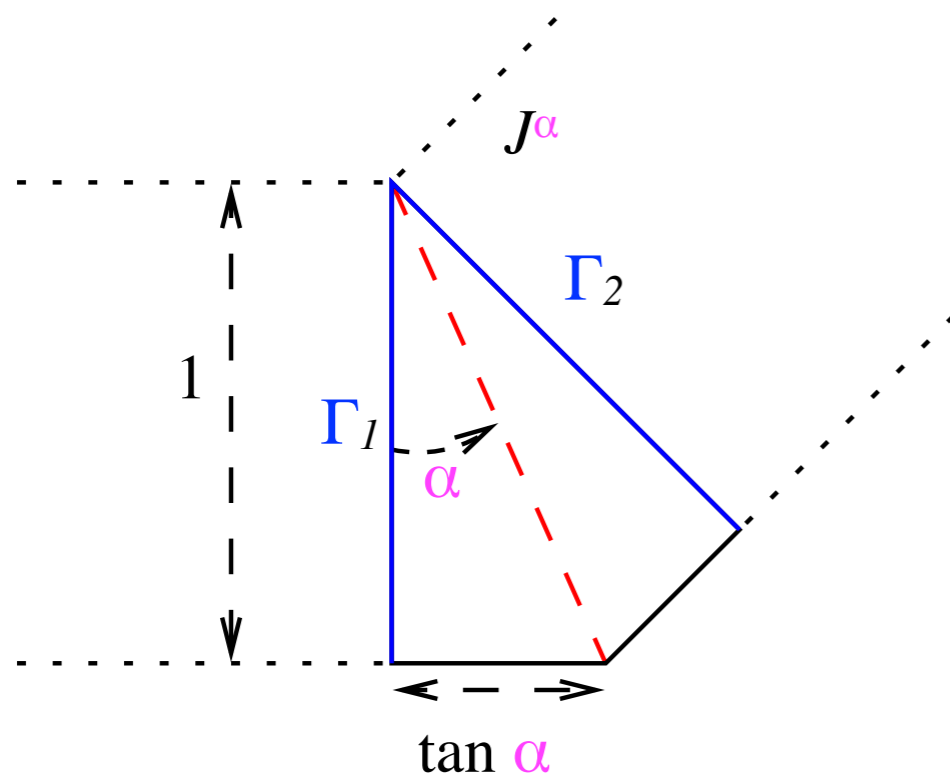


Cas particulier d'une jonction de deux fentes

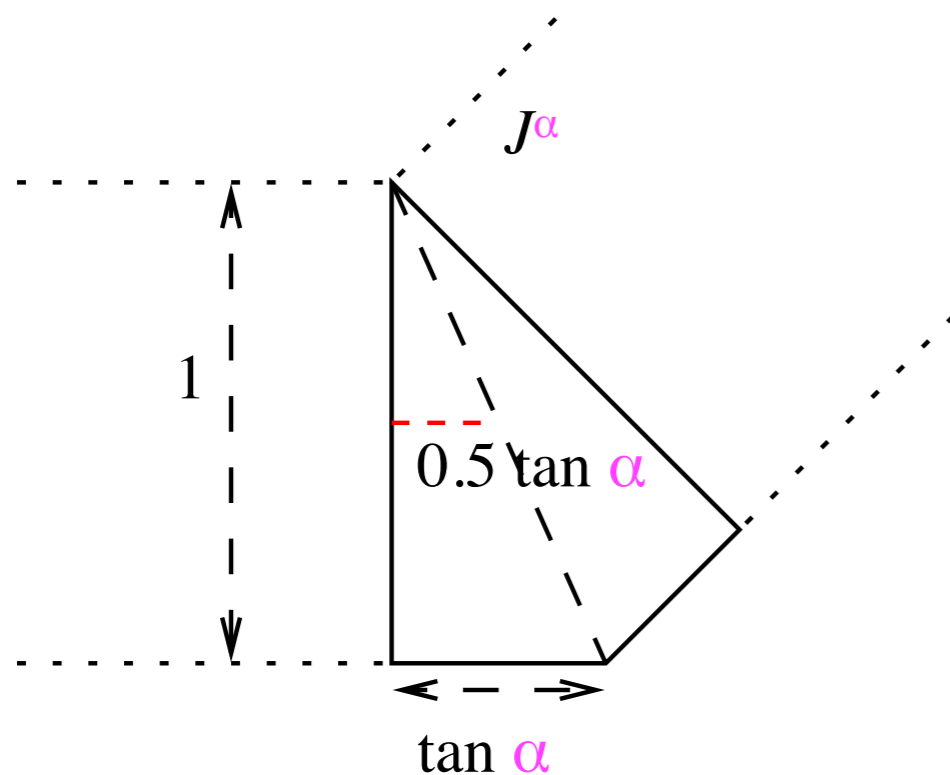
- Nous considérons une jonction de deux fentes de même épaisseur ε faisant un angle de 2α .



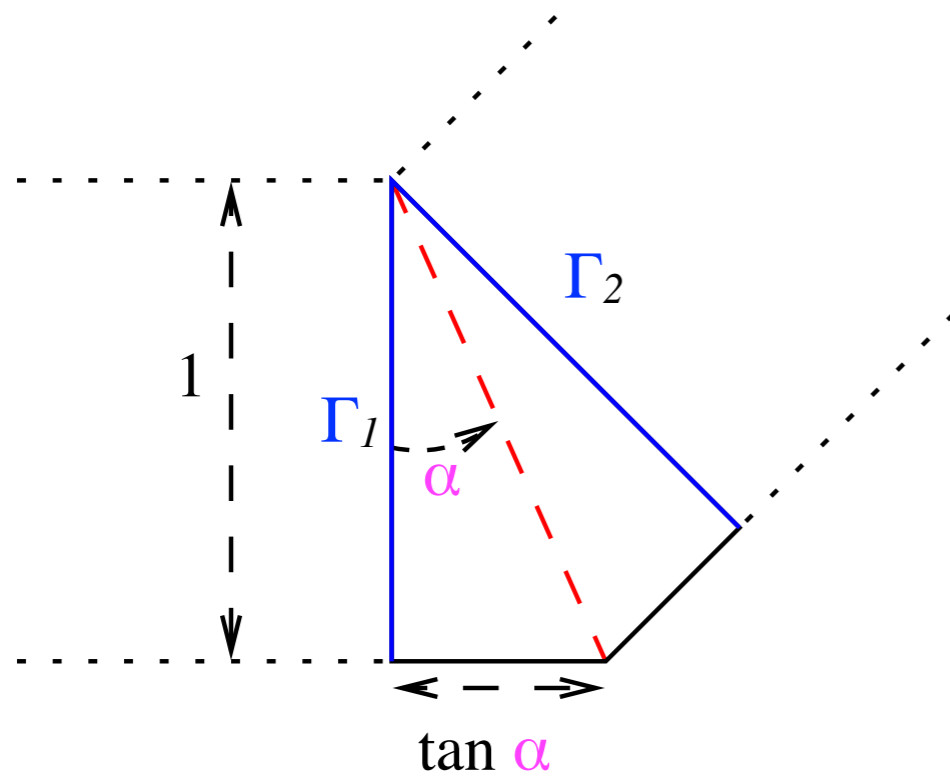
Cas particulier d'une jonction de deux fentes



- Nous considérons une jonction de deux fentes de même épaisseur ε faisant un angle de 2α .
- La jonction canonique est une réunion de deux triangles rectangles. Ce domaine possède un axe de symétrie.

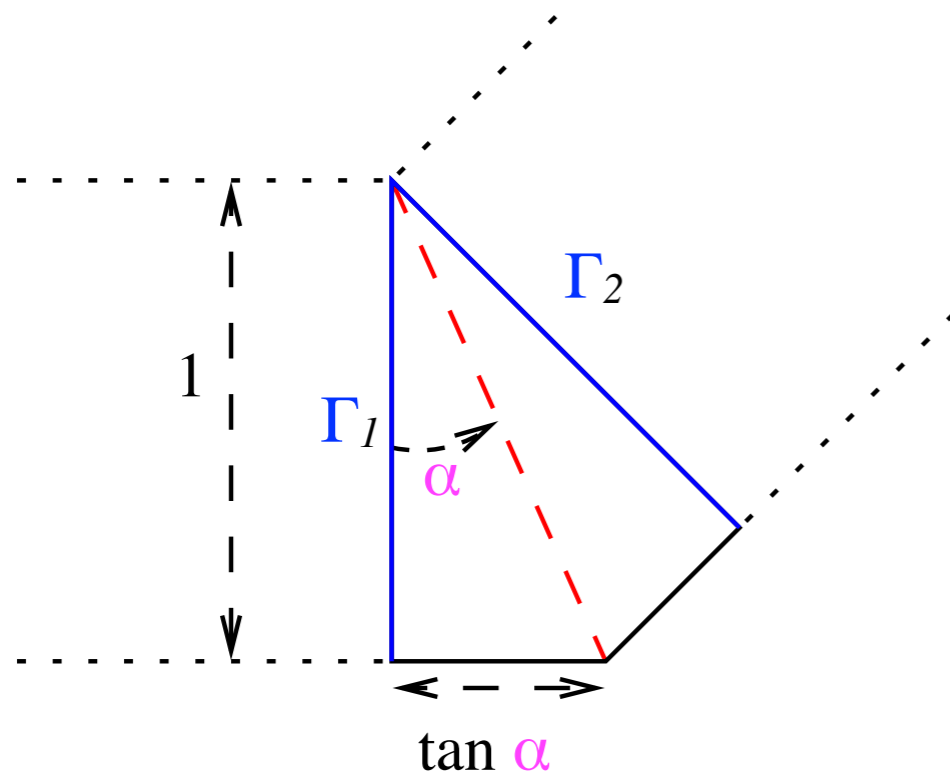


- Nous considérons une jonction de deux fentes de même épaisseur ε faisant un angle de 2α .
- La jonction canonique est une réunion de deux triangles rectangles. Ce domaine possède un axe de symétrie.
- Les conditions améliorées de Kirchhoff seront écrites en prenant
$$\sigma_1 = \sigma_2 = 0.5 \tan \alpha.$$

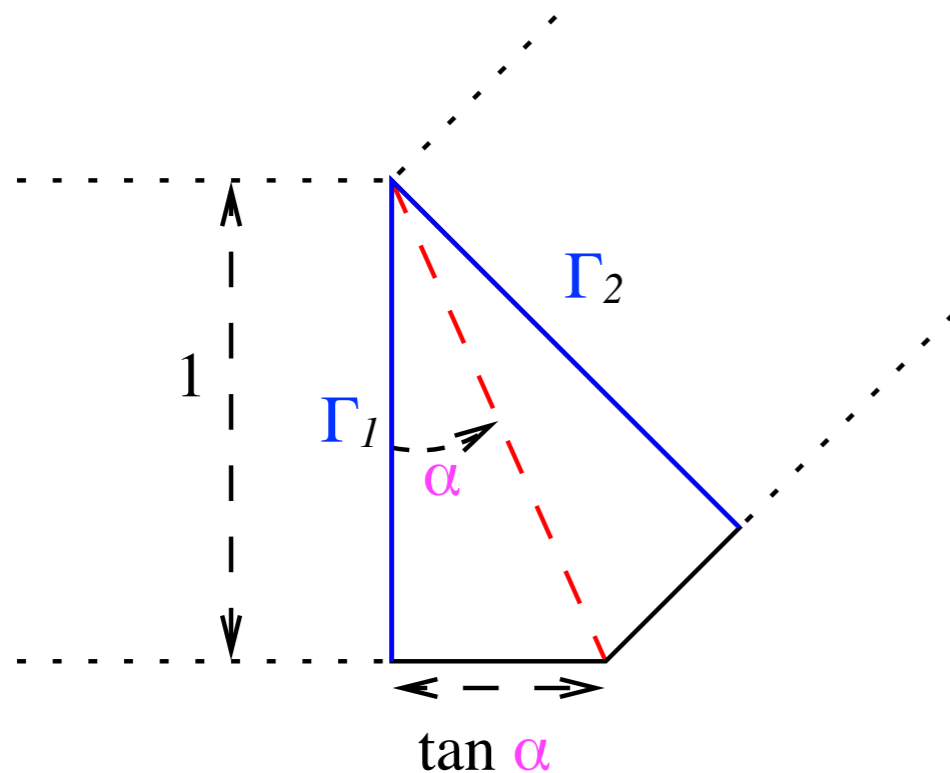


Cas particulier d'une jonction de deux fentes

- Le nombre de jonctions est égal à 2, nous avons un seul problème de Laplace à résoudre.



- Le nombre de jonctions est égal à 2, nous avons un seul problème de Laplace à résoudre.
- Nous regardons le problème suivant :



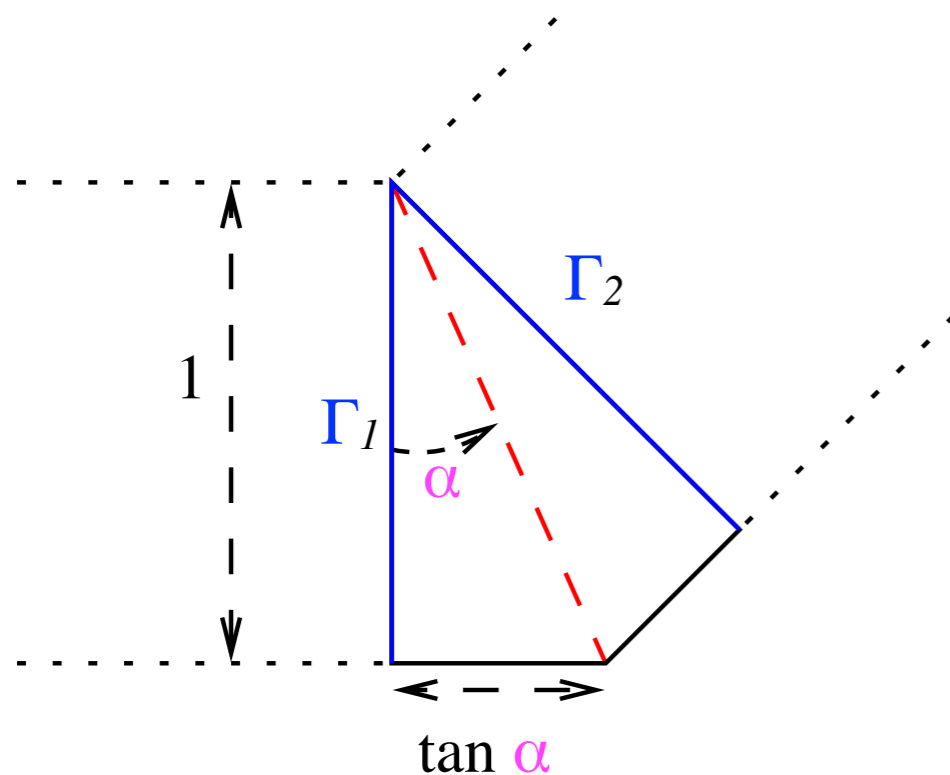
Trouver $W^\alpha \in H^1(J^\alpha)$ telle que

$$\left\{ \begin{array}{l} \Delta W^\alpha = 0 \text{ dans } J^\alpha \\ \nabla W^\alpha \cdot \vec{n} + T_1 W^\alpha = -1 \text{ sur } \Gamma_1 \\ \nabla W^\alpha \cdot \vec{n} + T_2 W^\alpha = 1 \text{ sur } \Gamma_2 \\ \nabla W^\alpha \cdot \vec{n} = 0 \text{ sur } \partial J^\alpha \setminus (\Gamma_1 \cup \Gamma_2) \\ \int_{J^\alpha} W^\alpha = 0 \end{array} \right.$$

- Le nombre de jonctions est égal à 2, nous avons un seul problème de Laplace à résoudre.
- Nous regardons le problème suivant :

Trouver $W^\alpha \in H^1(J^\alpha)$ telle que

$$\left\{ \begin{array}{l} \Delta W^\alpha = 0 \text{ dans } J^\alpha \\ \nabla W^\alpha \cdot \vec{n} + T_1 W^\alpha = -1 \text{ sur } \Gamma_1 \\ \nabla W^\alpha \cdot \vec{n} + T_2 W^\alpha = 1 \text{ sur } \Gamma_2 \\ \nabla W^\alpha \cdot \vec{n} = 0 \text{ sur } \partial J^\alpha \setminus (\Gamma_1 \cup \Gamma_2) \\ \int_{J^\alpha} W^\alpha = 0 \end{array} \right.$$



- Nous construisons alors la «matrice» K de la manière suivante :

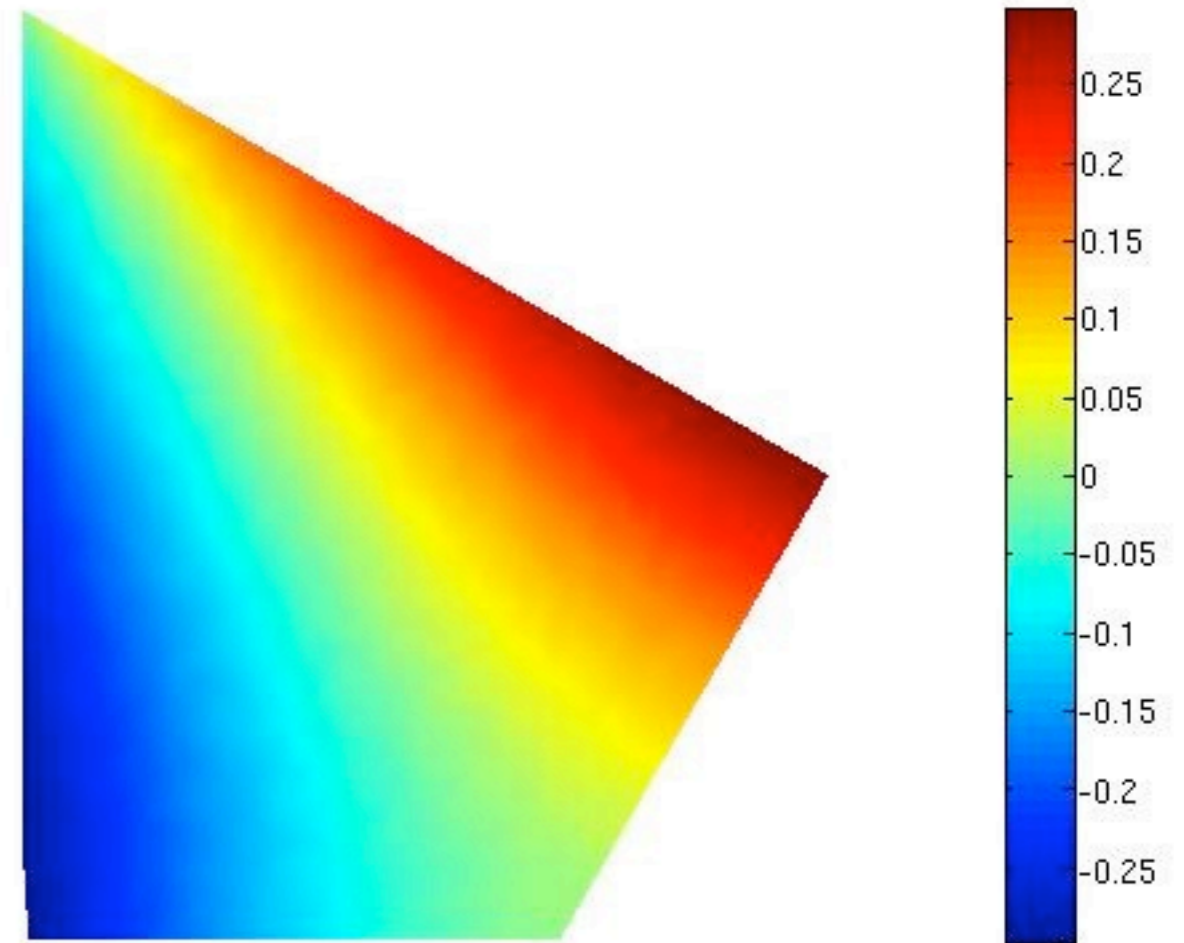
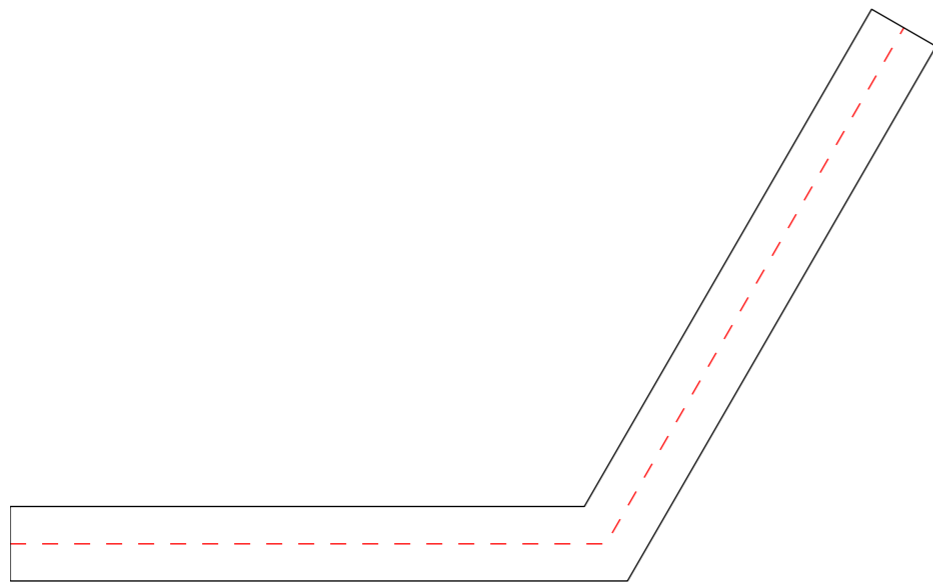
$$K = K(\alpha) = \int_{\Gamma_2} W^\alpha - \int_{\Gamma_1} W^\alpha$$

- Le calcul de W^α est réalisé à l'aide d'un script FreeFem++

Cas particulier d'une jonction de deux fentes

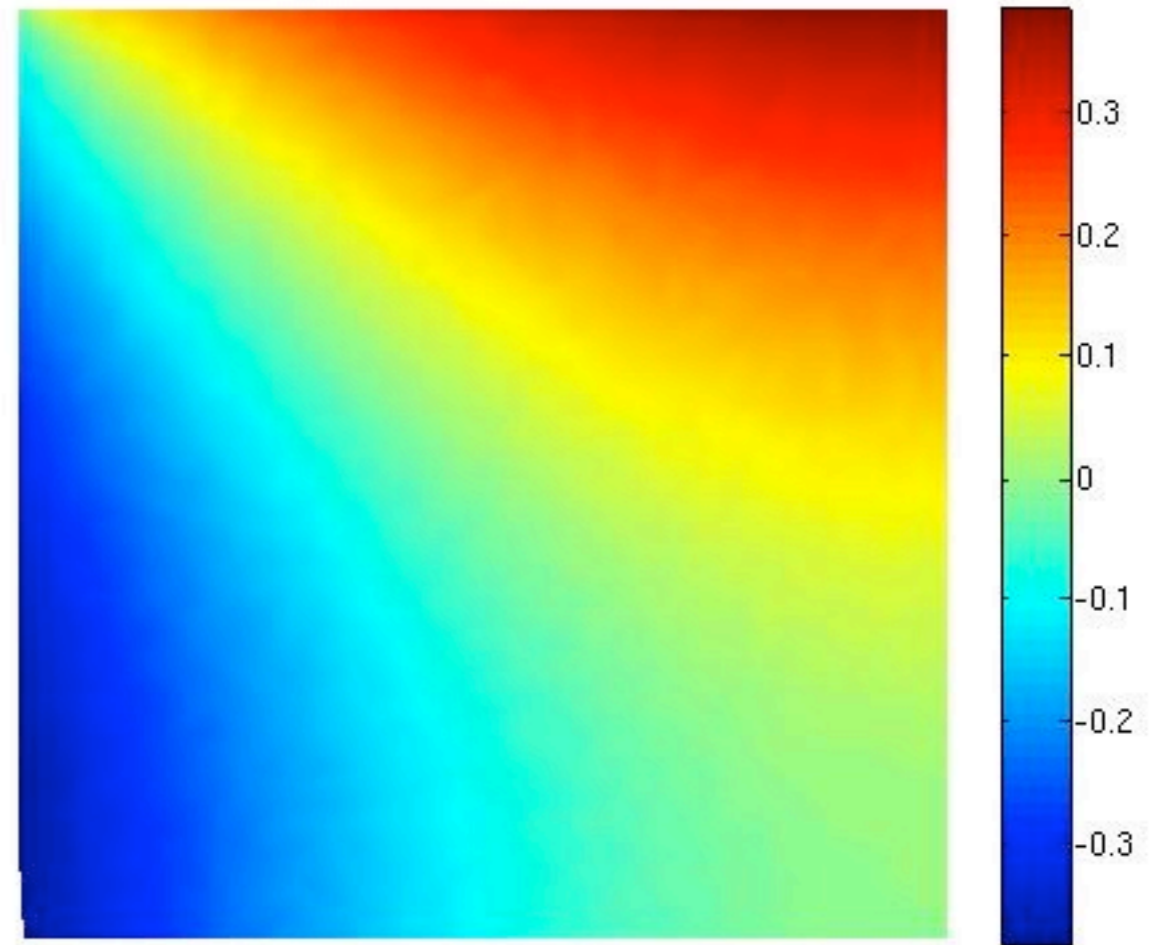
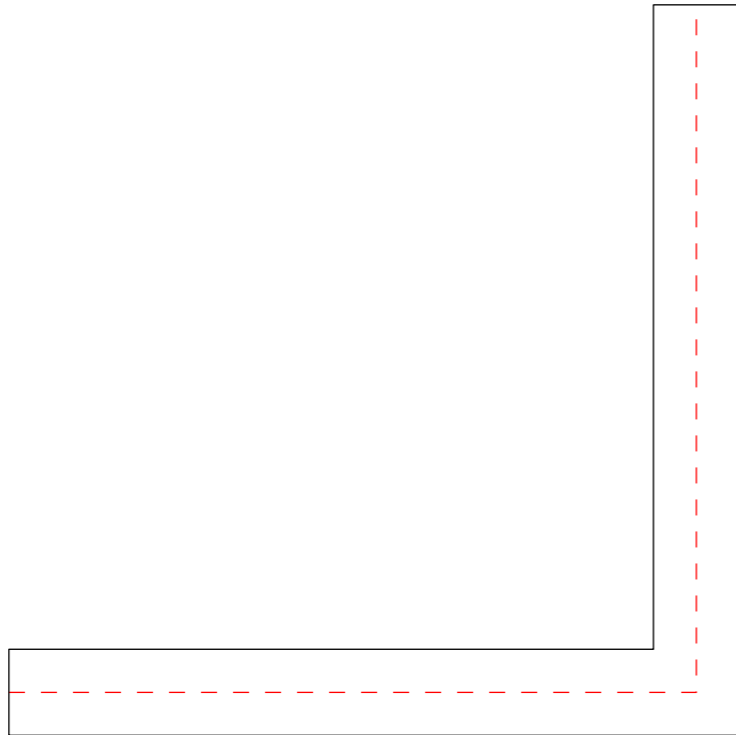
- Le calcul de W^α est réalisé à l'aide d'un script FreeFem++
- Le calcul est réalisé sur un maillage indépendant de α (le problème devient donc α -dépendant),

- Le calcul de W^α est réalisé à l'aide d'un script FreeFem++
- Le calcul est réalisé sur un maillage indépendant de α (le problème devient donc α -dépendant),



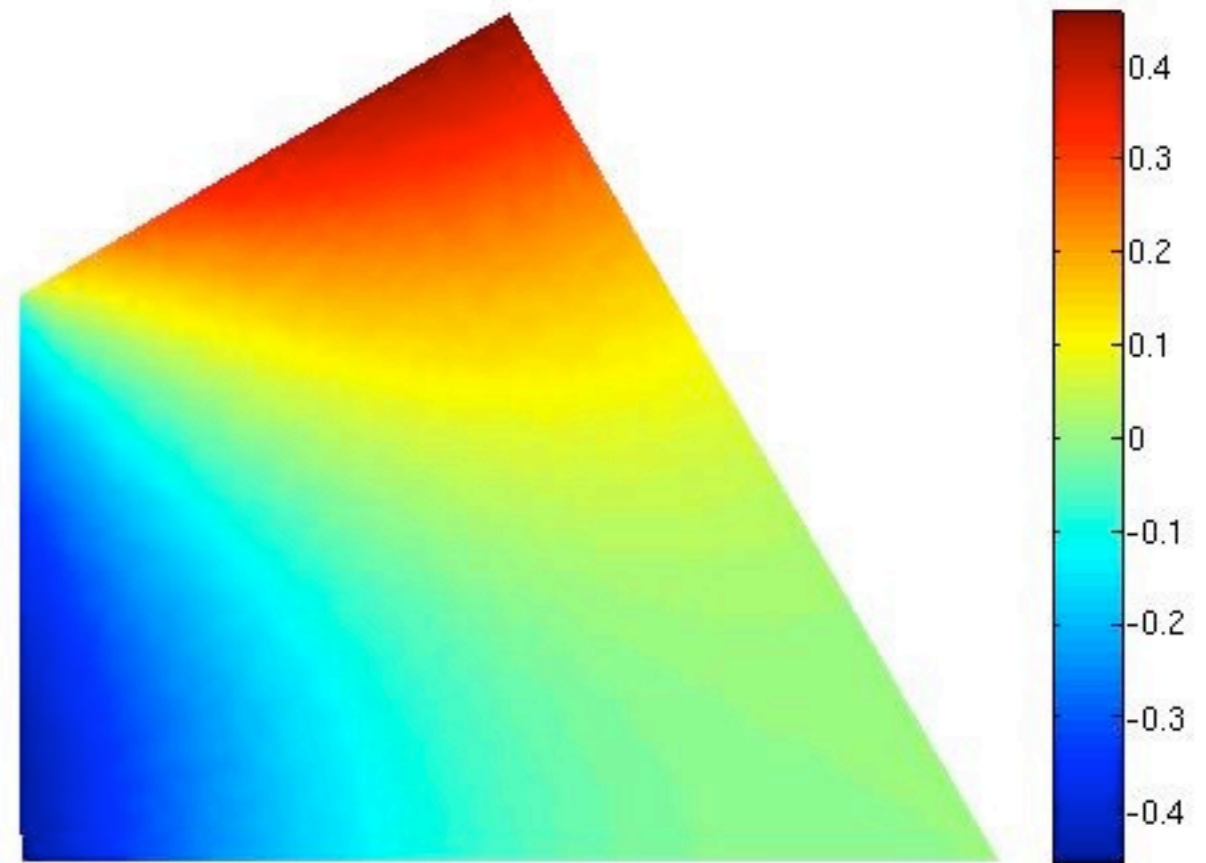
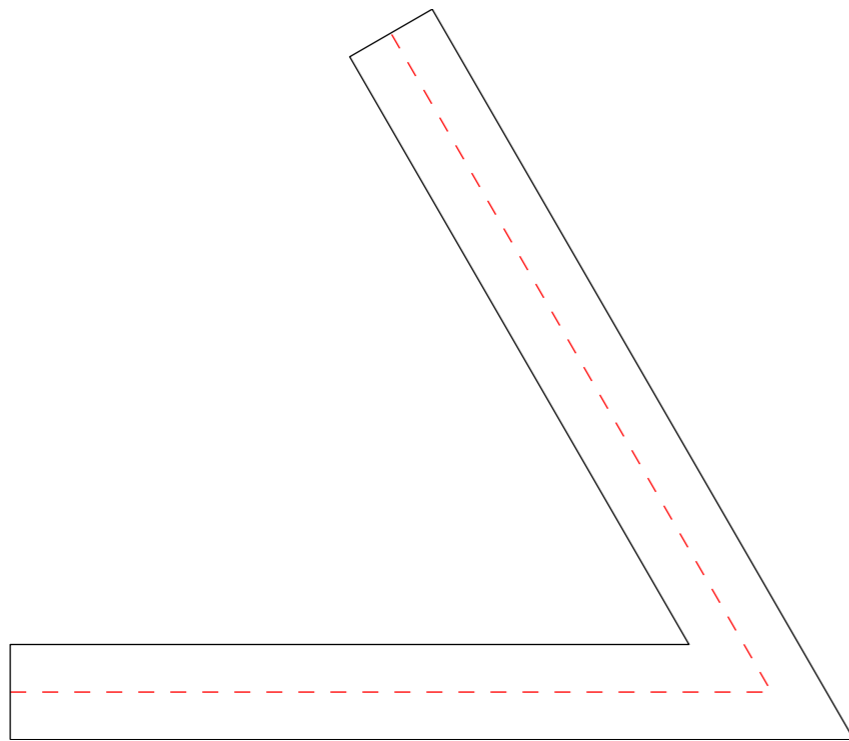
- Calcul de W^α , pour $\alpha = \pi/6$.

- Le calcul de W^α est réalisé à l'aide d'un script FreeFem++
- Le calcul est réalisé sur un maillage indépendant de α (le problème devient donc α -dépendant),



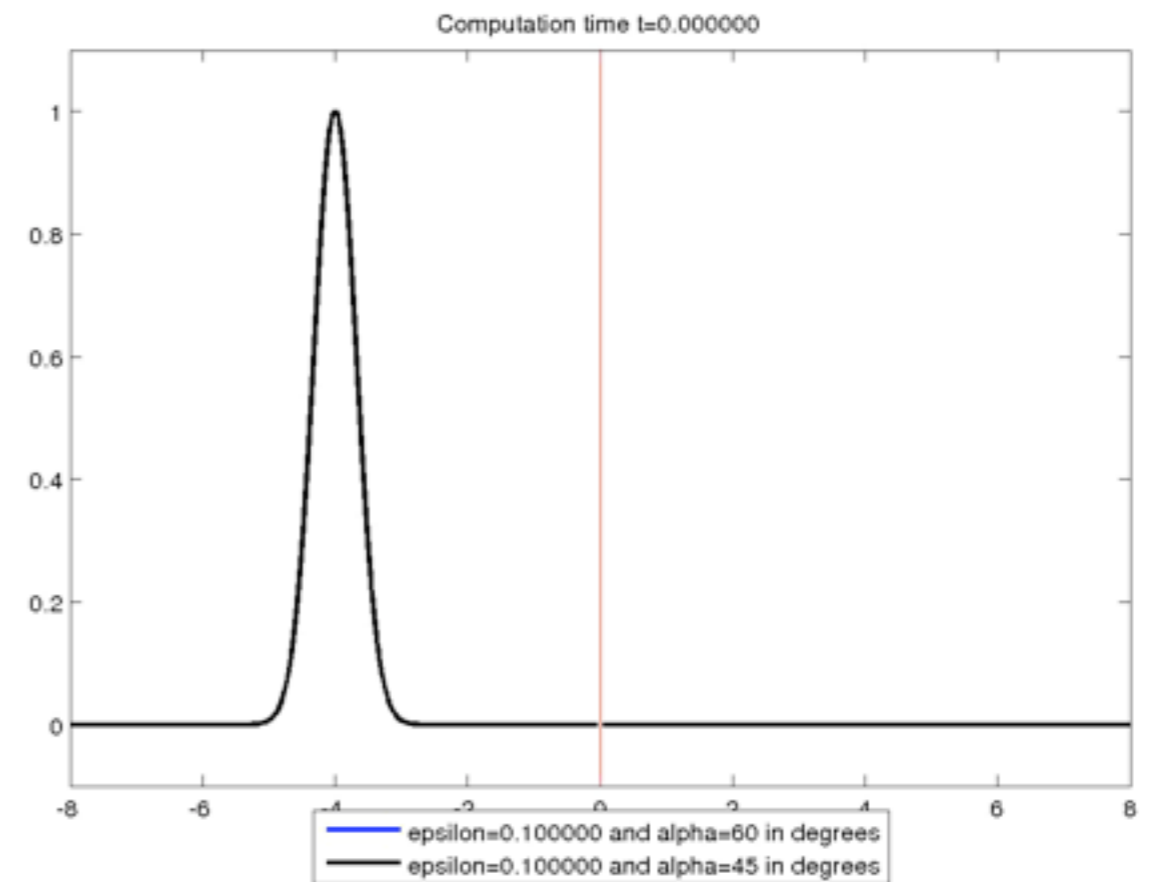
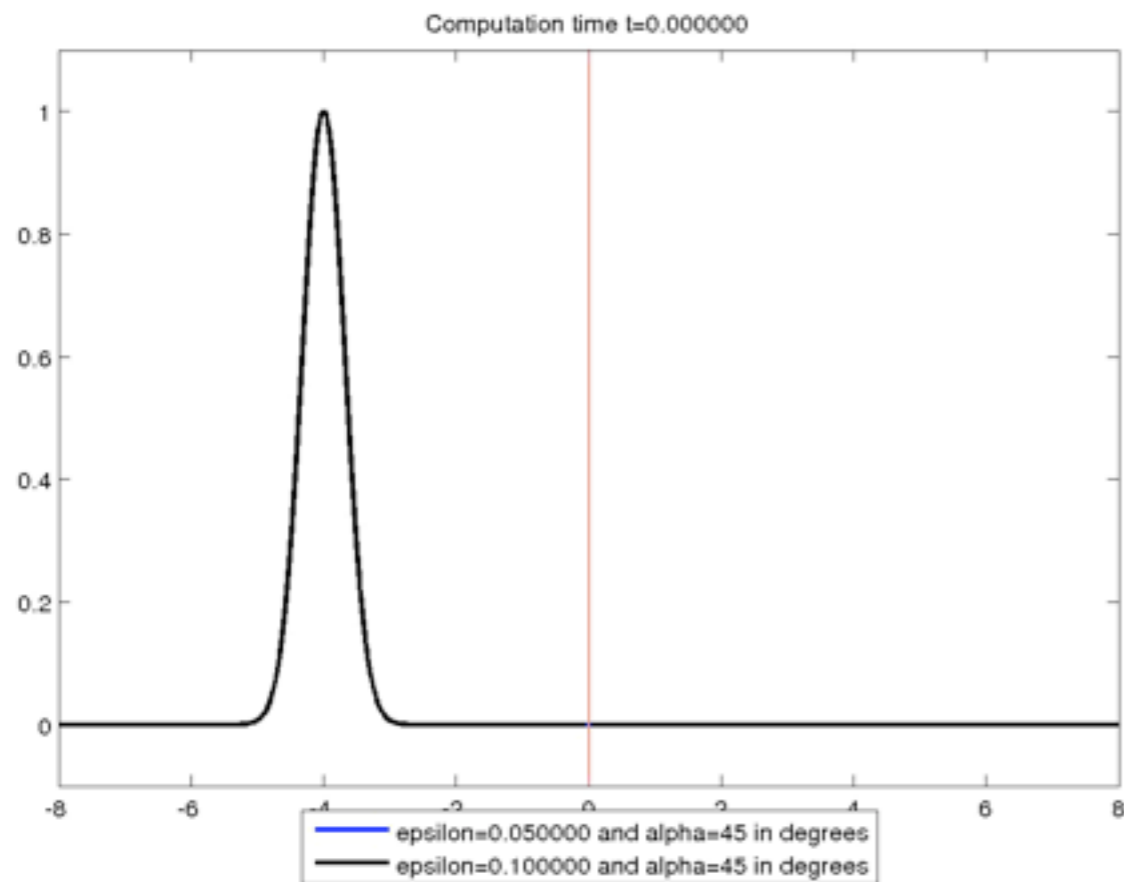
- Calcul de W^α , pour $\alpha = \pi/4$.

- Le calcul de W^α est réalisé à l'aide d'un script FreeFem++
- Le calcul est réalisé sur un maillage indépendant de α (le problème devient donc α -dépendant),

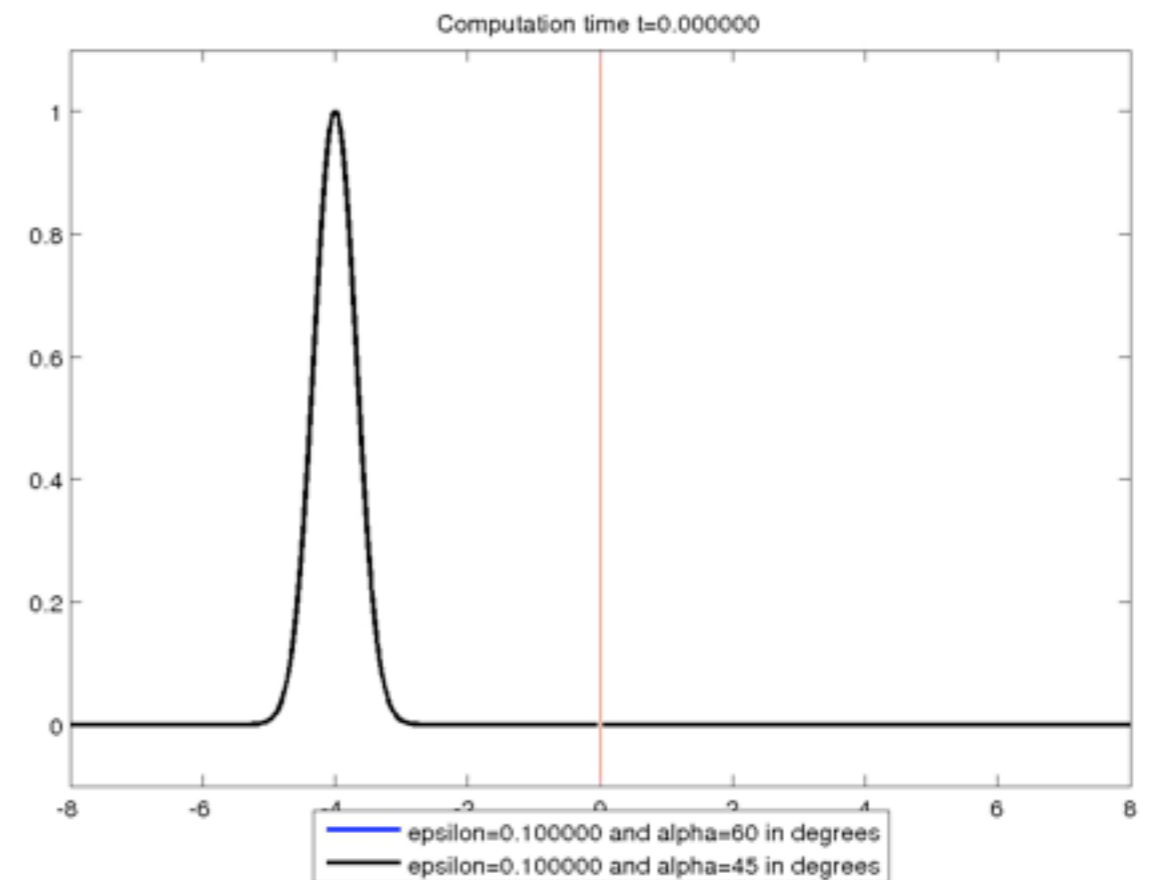
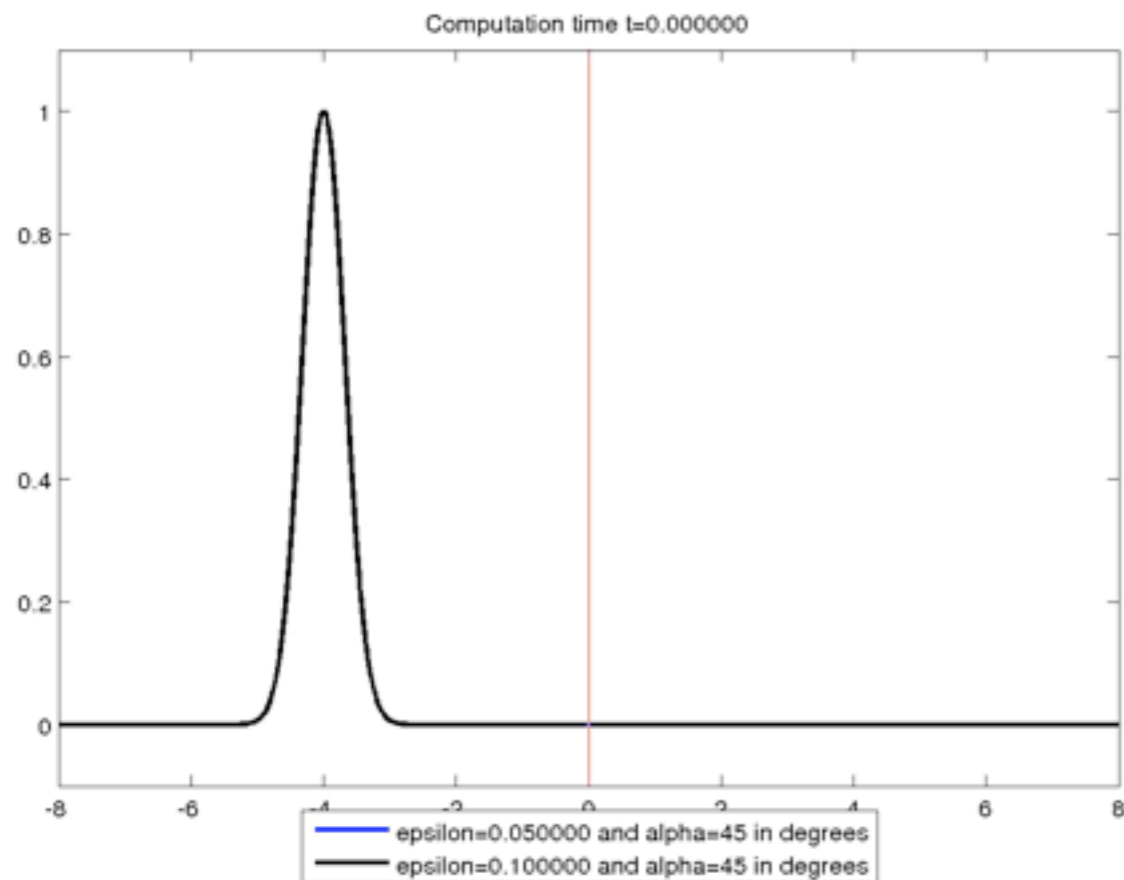


- Calcul de W^α , pour $\alpha = \pi/3$.

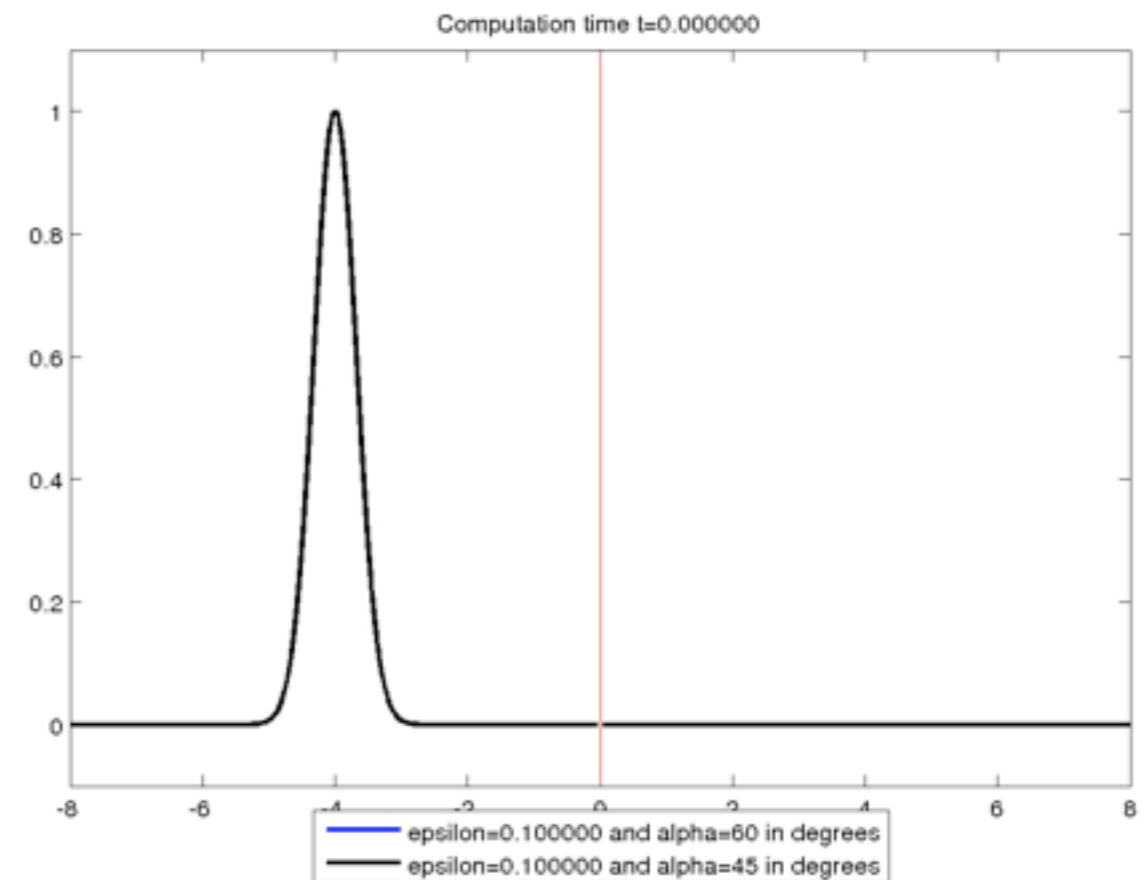
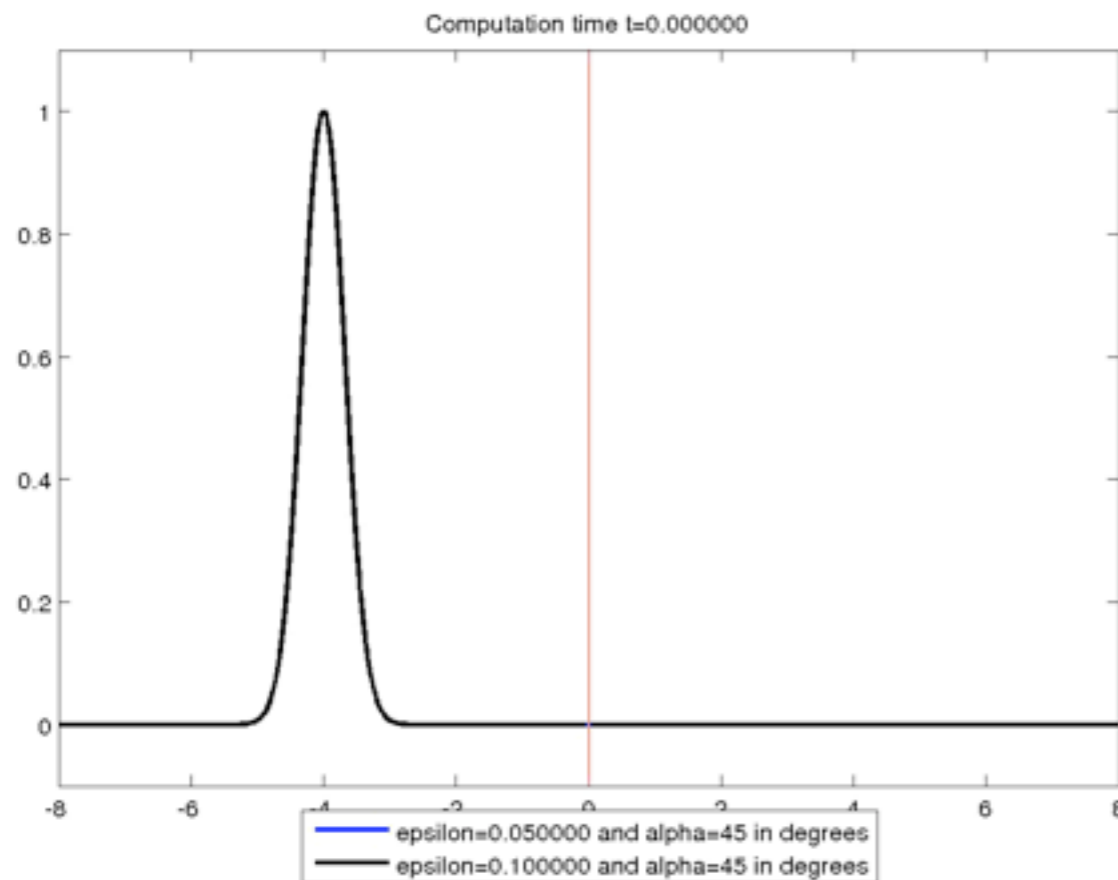
- Les simulations ont été réalisées avec le code numérique Netwaves (développé durant ma thèse - <https://gforge.inria.fr/projects/netwaves>).



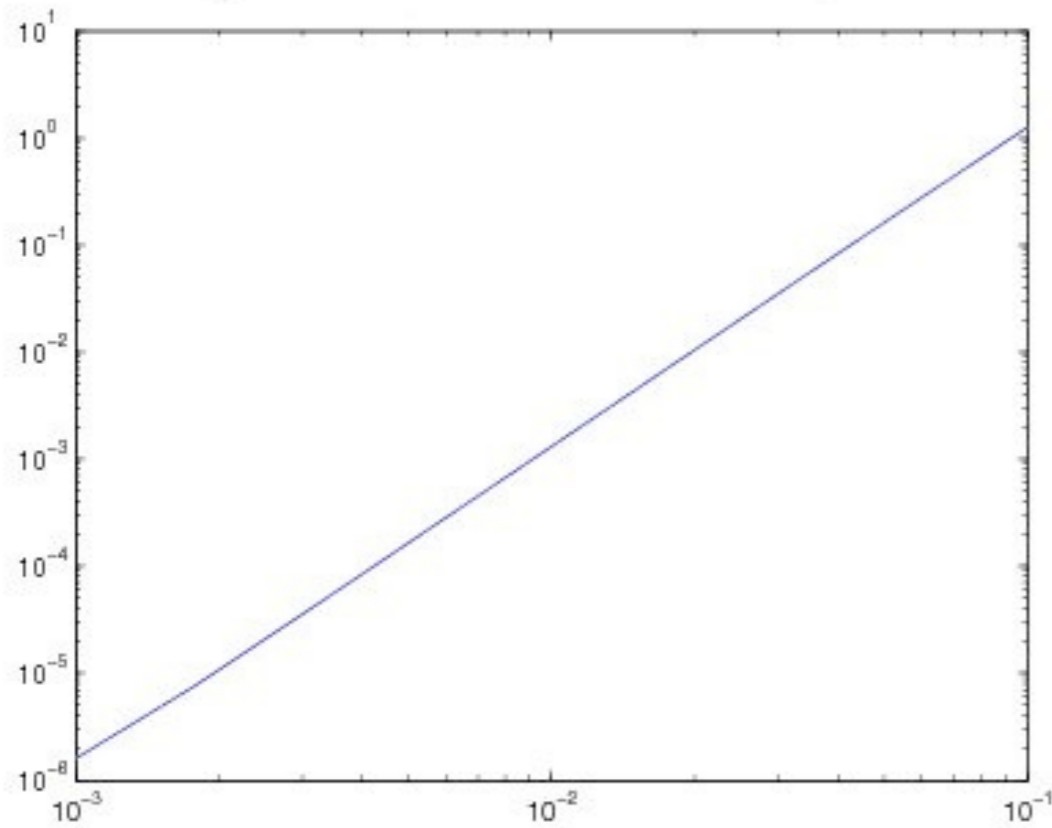
- Les simulations ont été réalisées avec le code numérique Netwaves (développé durant ma thèse - <https://gforge.inria.fr/projects/netwaves>).
- Simulation: α est donné, et nous prenons différentes valeurs de ε .



- Les simulations ont été réalisées avec le code numérique Netwaves (développé durant ma thèse - <https://gforge.inria.fr/projects/netwaves>).
- Simulation: α est donné, et nous prenons différentes valeurs de ε .
- Simulation: ε est donné, et nous prenons différentes valeurs de α .

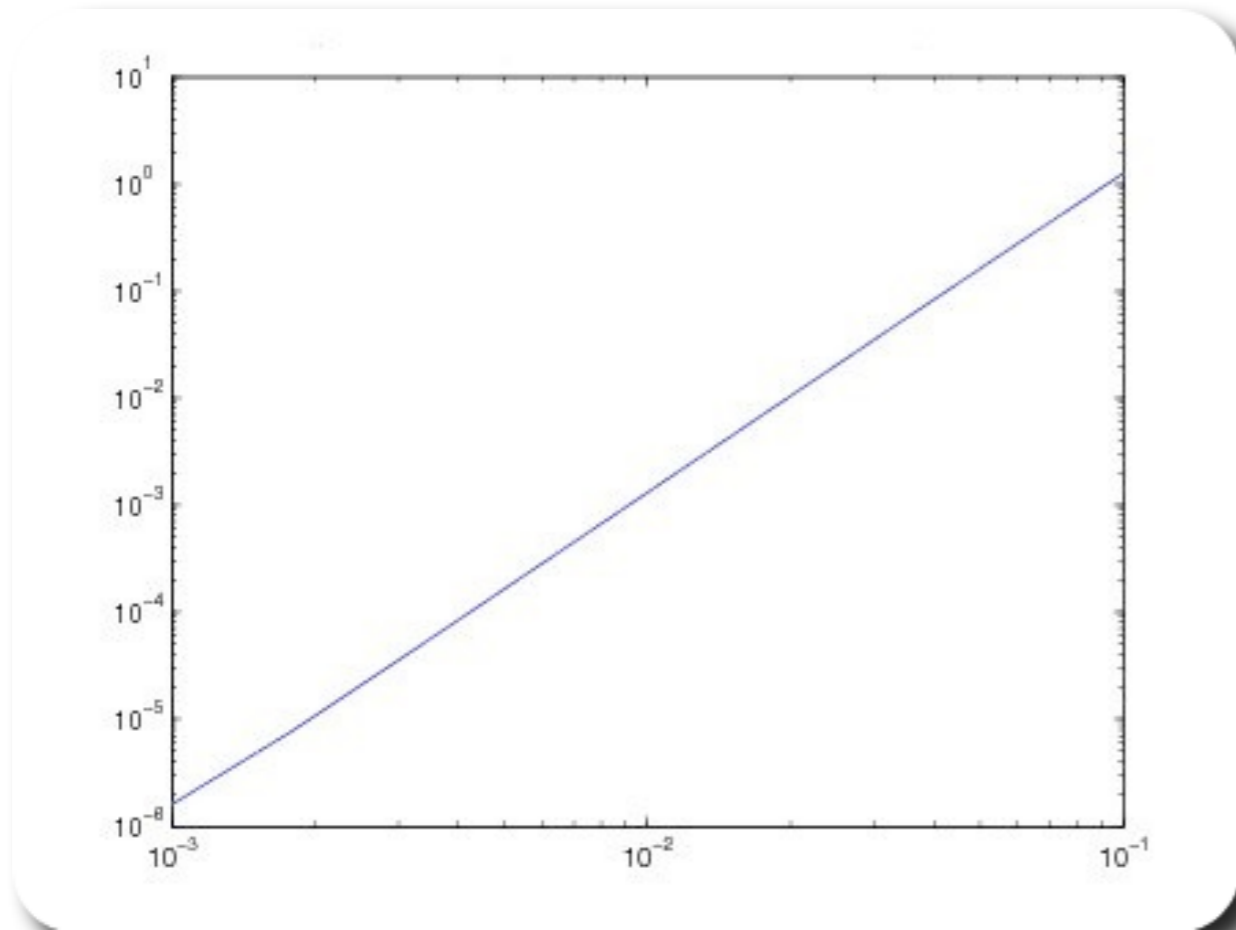


- Les résultats théoriques montrent que l'erreur entre la solution du problème exact et la solution du problème approché est en ε^2 .



Tracé de $(\mathcal{E}^\varepsilon(T, \bar{u}^\varepsilon - \tilde{u}^\varepsilon))^{1/2}$ par rapport à ε

- Les résultats théoriques montrent que l'erreur entre la solution du problème exact et la solution du problème approché est en ε^2 .
- Les résultats numériques montrent que cette erreur est en ε^3 .



Tracé de $(\mathcal{E}^\varepsilon(T, \bar{u}^\varepsilon - \tilde{u}^\varepsilon))^{1/2}$ par rapport à ε

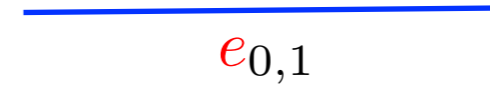
- Les résultats théoriques montrent que l'erreur entre la solution du problème exact et la solution du problème approché est en ε^2 .
- Les résultats numériques montrent que cette erreur est en ε^3 .
- En fait, pour certaines configurations de géométries (jonctions avec axes de symétrie), l'erreur est en ε^3 .

Passage à un réseau infini - géométrie

- Nous considérons Σ un segment générateur de longueur 1.

$$e_{0,1} = \Sigma$$

Exemple pour $p=2$.



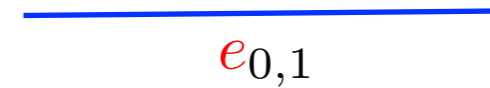
Passage à un réseau infini - géométrie

- Nous considérons Σ un segment générateur de longueur 1.

$$e_{0,1} = \Sigma$$

- Nous prenons aussi p similitudes strictement contractantes s_i de rapport respectif $\alpha_i < 1$.

Exemple pour $p=2$.



Passage à un réseau infini - géométrie

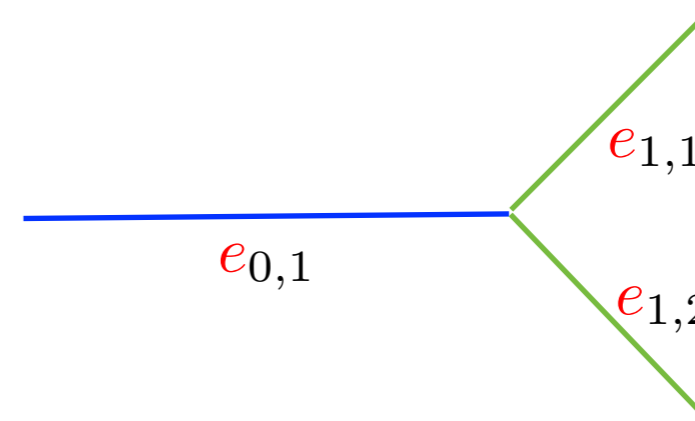
- Nous considérons Σ un segment générateur de longueur 1.

$$e_{0,1} = \Sigma$$

- Nous prenons aussi p similitudes strictement contractantes s_i de rapport respectif $\alpha_i < 1$.
- Nous définissons alors les branches du réseau infini de la manière suivante:

$$e_{1,k} = s_k(e_{0,1}), \quad 1 \leq k \leq p$$

Exemple pour $p=2$.



Passage à un réseau infini - géométrie

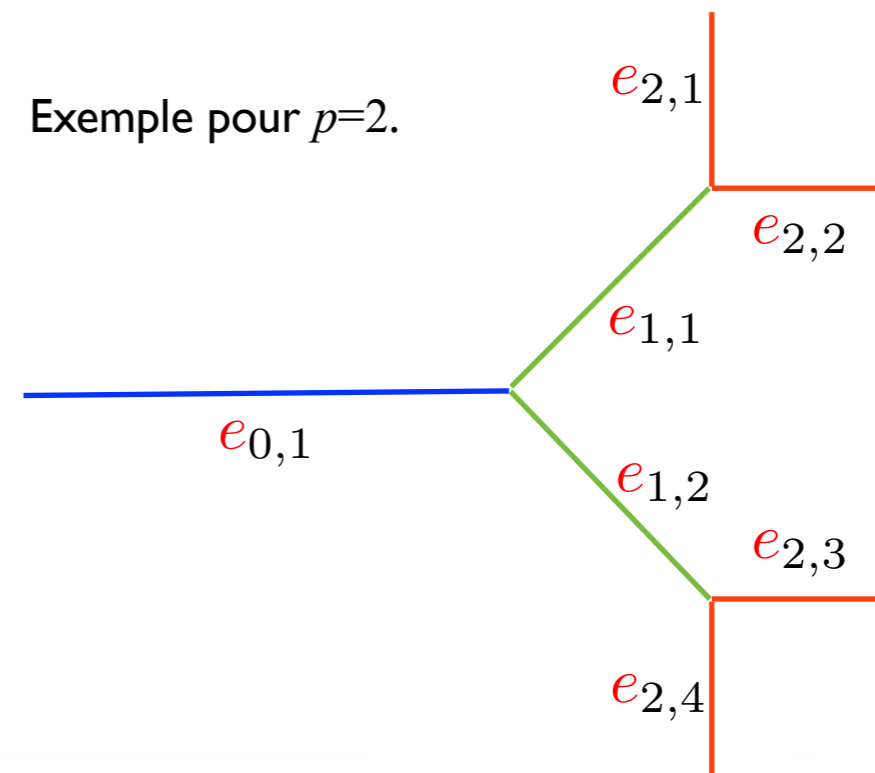
- Nous considérons Σ un segment générateur de longueur 1.

$$e_{0,1} = \Sigma$$

- Nous prenons aussi p similitudes strictement contractantes s_i de rapport respectif $\alpha_i < 1$.
- Nous définissons alors les branches du réseau infini de la manière suivante:

$$e_{1,k} = s_k(e_{0,1}), \quad 1 \leq k \leq p$$

$$e_{n+1,p(j-1)+k} = s_k(e_{n,j}), \quad 1 \leq j \leq p^n, \quad 1 \leq k \leq p$$



Passage à un réseau infini - géométrie

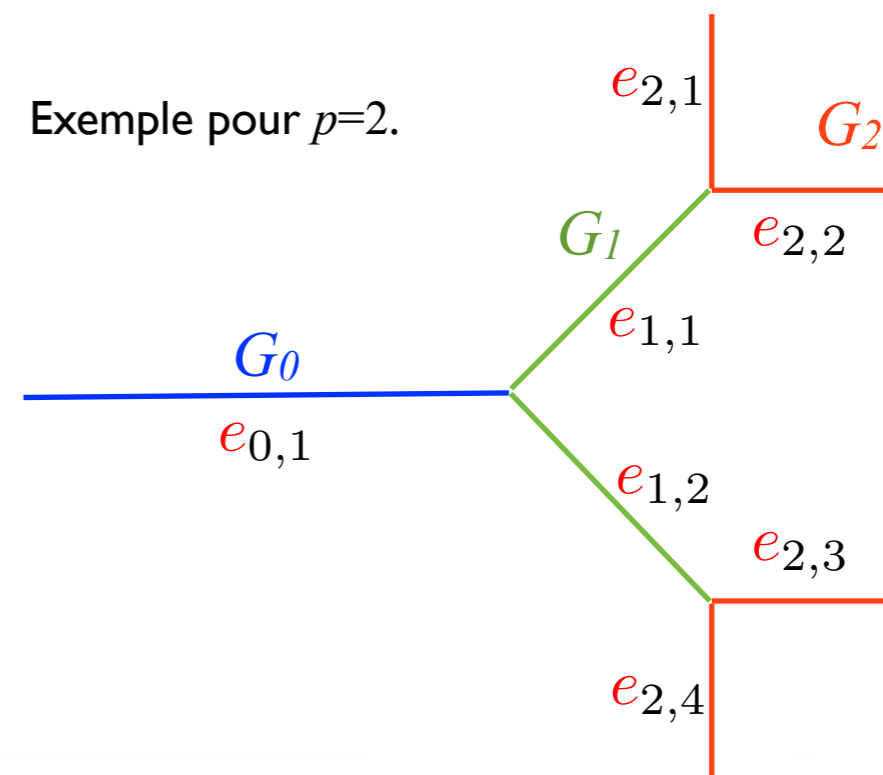
- Nous considérons Σ un segment générateur de longueur 1.

$$e_{0,1} = \Sigma$$

- Nous prenons aussi p similitudes strictement contractantes s_i de rapport respectif $\alpha_i < 1$.
- Nous définissons alors les branches du réseau infini de la manière suivante:

$$e_{1,k} = s_k(e_{0,1}), \quad 1 \leq k \leq p$$

$$e_{n+1,p(j-1)+k} = s_k(e_{n,j}), \quad 1 \leq j \leq p^n, \quad 1 \leq k \leq p$$



$$G_n = \bigcup_{j=1}^{p^n} e_{n,j}$$

Passage à un réseau infini - géométrie

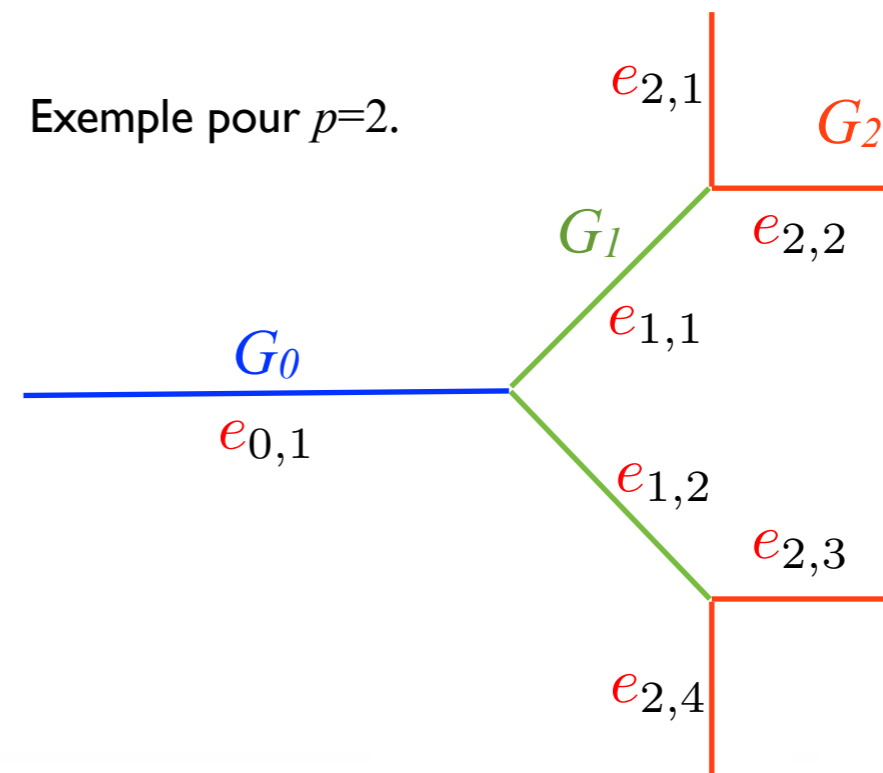
- Nous considérons Σ un segment générateur de longueur 1.

$$e_{0,1} = \Sigma$$

- Nous prenons aussi p similitudes strictement contractantes s_i de rapport respectif $\alpha_i < 1$.
- Nous définissons alors les branches du réseau infini de la manière suivante:

$$e_{1,k} = s_k(e_{0,1}), \quad 1 \leq k \leq p$$

$$e_{n+1,p(j-1)+k} = s_k(e_{n,j}), \quad 1 \leq j \leq p^n, \quad 1 \leq k \leq p$$



$$G_n = \bigcup_{j=1}^{p^n} e_{n,j}$$

$$\mathcal{T}_n = \bigcup_{m=0}^n G_m$$

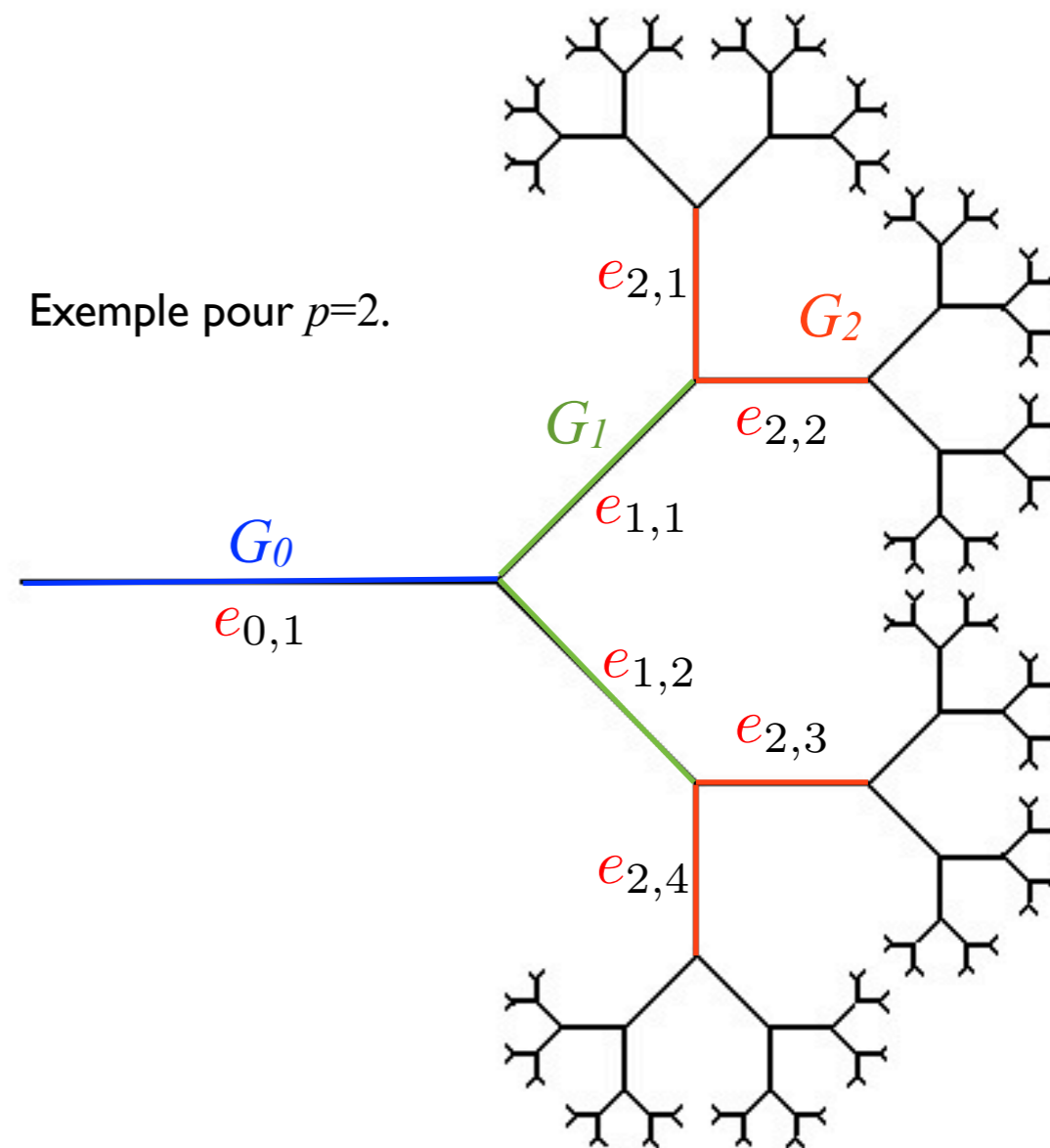
- Nous considérons Σ un segment générateur de longueur 1.

$$e_{0,1} = \Sigma$$

- Nous prenons aussi p similitudes strictement contractantes s_i de rapport respectif $\alpha_i < 1$.
- Nous définissons alors les branches du réseau infini de la manière suivante:

$$e_{1,k} = s_k(e_{0,1}), \quad 1 \leq k \leq p$$

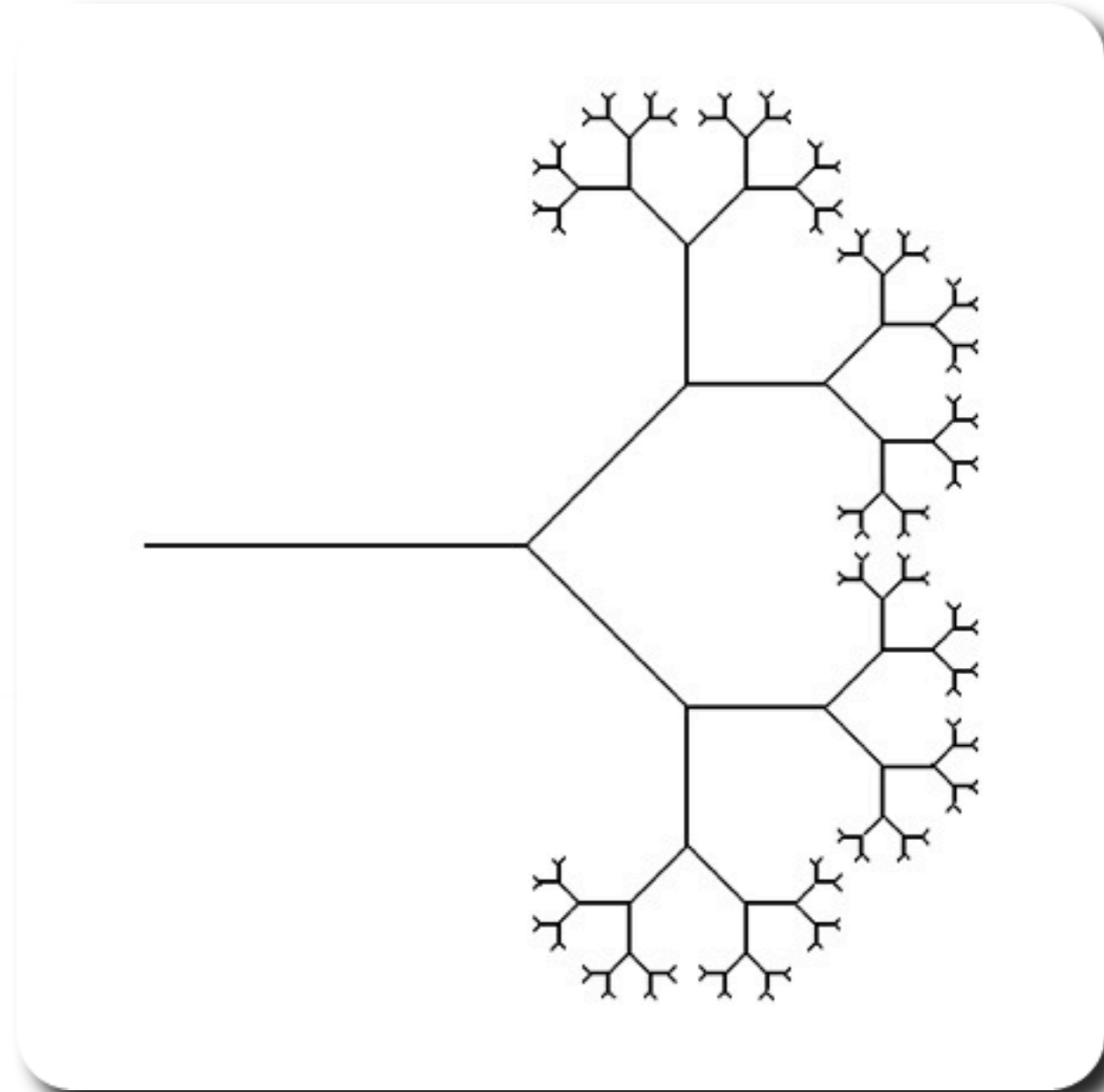
$$e_{n+1,p(j-1)+k} = s_k(e_{n,j}), \quad 1 \leq j \leq p^n, \quad 1 \leq k \leq p$$



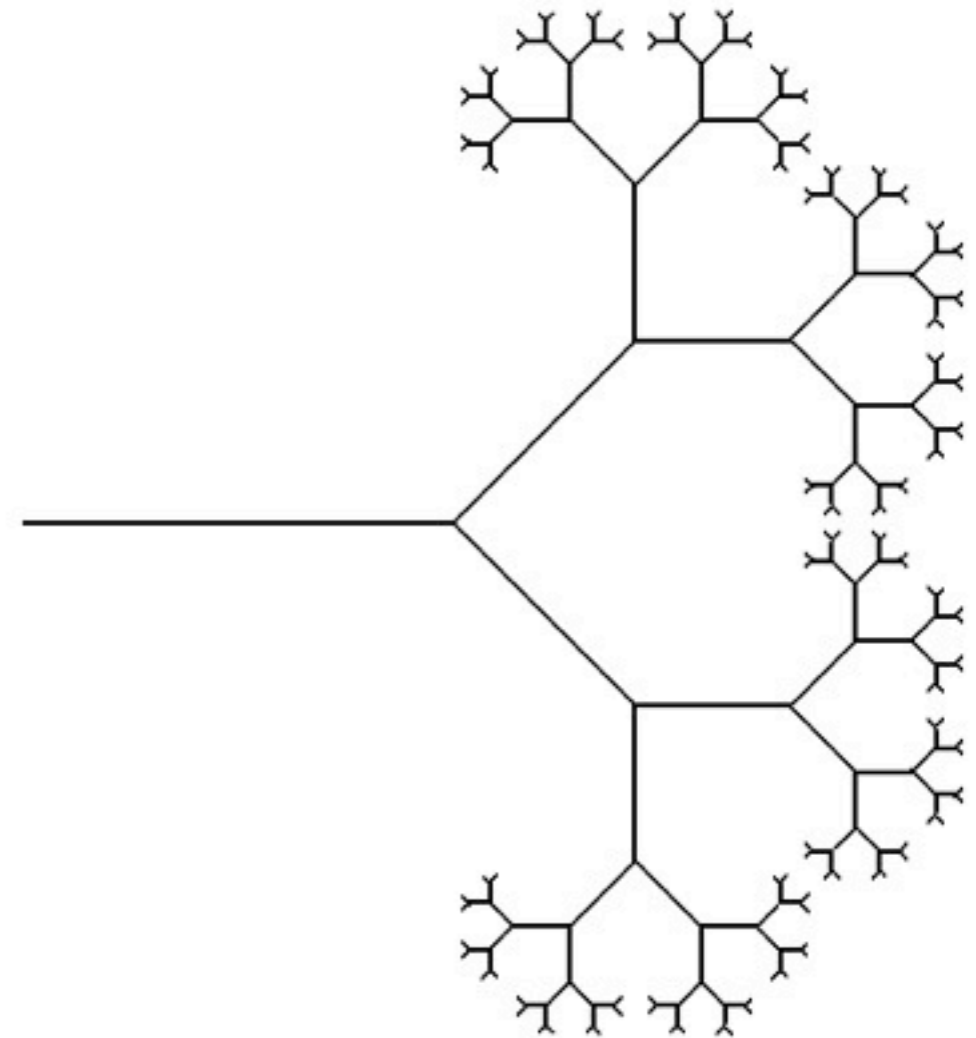
$$G_n = \bigcup_{j=1}^{p^n} e_{n,j}$$

$$\mathcal{T}_n = \bigcup_{m=0}^n G_m$$

$$\mathcal{T} = \bigcup_{n=0}^{\infty} \mathcal{T}_n$$

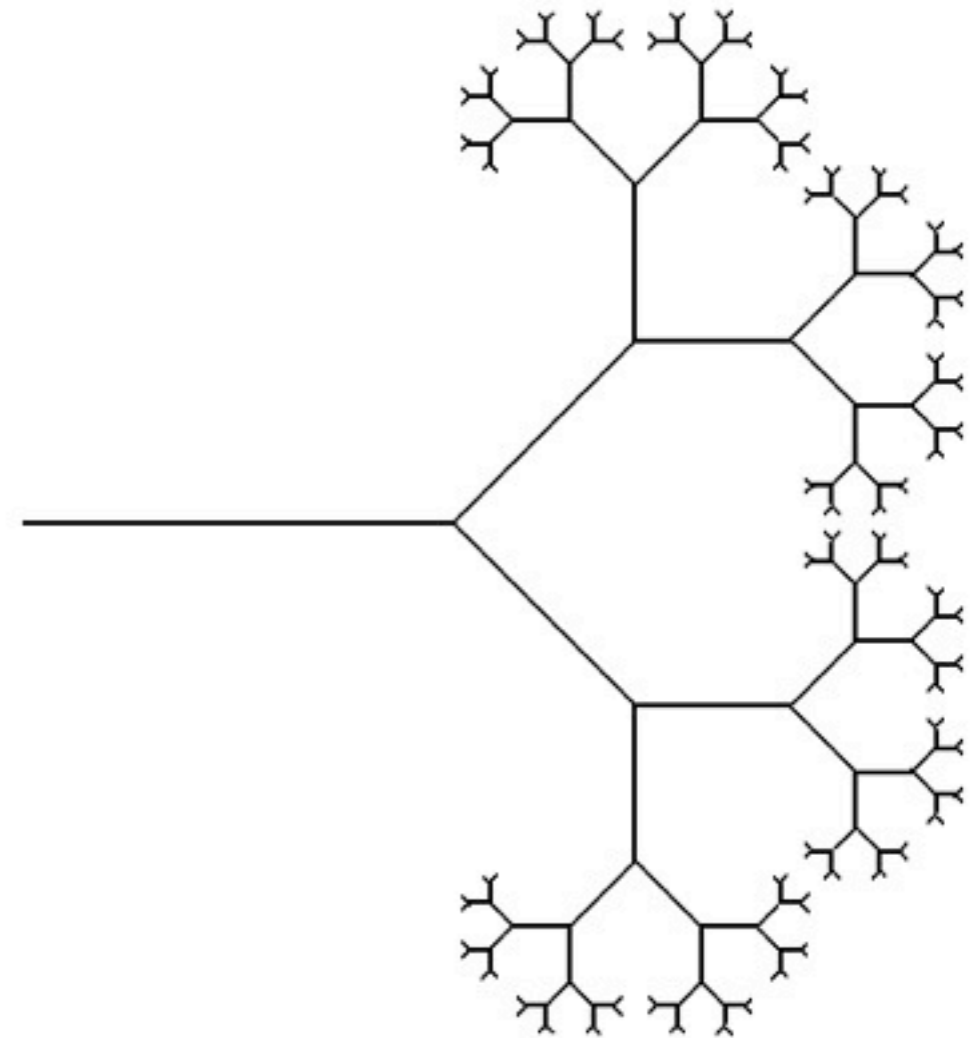


- Définir proprement l'équation d'onde sur cet arbre infini.



Passage à un réseau infini - buts

- Définir proprement l'équation d'onde sur cet arbre infini.
- Remplacer la résolution de l'équation sur cet arbre par un opérateur DtN vivant à l'entrée de l'arbre.



- Nous reprenons le problème d'équation d'ondes, avec conditions de Kirchhoff standard:

$$\left\{ \begin{array}{l} \frac{\partial^2 u_i^0}{\partial t^2} - \Delta_{\mathbf{1D}} u_i^0 = 0, \quad \text{dans } \mathbb{R}_+^* \times (CM_i) \\ \frac{\partial u_i^0}{\partial \vec{n}} = 0, \quad \text{sur } \mathbb{R}_+^* \times \{M_i\} \\ u_i^0(t, C) = u_j^0(t, C), \quad t \in \mathbb{R}_+^* \\ \sum_{i=1}^N c_i \frac{\partial u_i^0}{\partial \vec{n}}(t, C) = 0, \quad t \in \mathbb{R}_+^* \end{array} \right.$$

- Nous reprenons le problème d'équation d'ondes, avec conditions de Kirchhoff standard:

$$\left\{ \begin{array}{l} \frac{\partial^2 u_i^0}{\partial t^2} - \Delta_{\mathbf{1D}} u_i^0 = 0, \quad \text{dans } \mathbb{R}_+^* \times (CM_i) \\ \frac{\partial u_i^0}{\partial \vec{n}} = 0, \quad \text{sur } \mathbb{R}_+^* \times \{M_i\} \\ u_i^0(t, C) = u_j^0(t, C), \quad t \in \mathbb{R}_+^* \\ \sum_{i=1}^N c_i \frac{\partial u_i^0}{\partial \vec{n}}(t, C) = 0, \quad t \in \mathbb{R}_+^* \end{array} \right.$$

- Nous pouvons réécrire cette équation au sens des distributions sous la forme

$$\mu \partial_{t^2} u^0 - \partial_s (\mu \partial_s u^0) = 0$$

où le poids μ est une fonction définie par $\mu = c_i$ sur (CM_i) .

- Nous reprenons le problème d'équation d'ondes, avec conditions de Kirchhoff standard:

$$\left\{ \begin{array}{l} \frac{\partial^2 u_i^0}{\partial t^2} - \Delta_{1D} u_i^0 = 0, \quad \text{dans } \mathbb{R}_+^* \times (CM_i) \\ \frac{\partial u_i^0}{\partial \vec{n}} = 0, \quad \text{sur } \mathbb{R}_+^* \times \{M_i\} \\ u_i^0(t, C) = u_j^0(t, C), \quad t \in \mathbb{R}_+^* \\ \sum_{i=1}^N c_i \frac{\partial u_i^0}{\partial \vec{n}}(t, C) = 0, \quad t \in \mathbb{R}_+^* \end{array} \right.$$

- Nous pouvons réécrire cette équation au sens des distributions sous la forme

$$\mu \partial_{t^2} u^0 - \partial_s (\mu \partial_s u^0) = 0$$

où le poids μ est une fonction définie par $\mu = c_i$ sur (CM_i) .

- Nous allons nous servir de cette formulation pour écrire un problème sur un arbre infini.

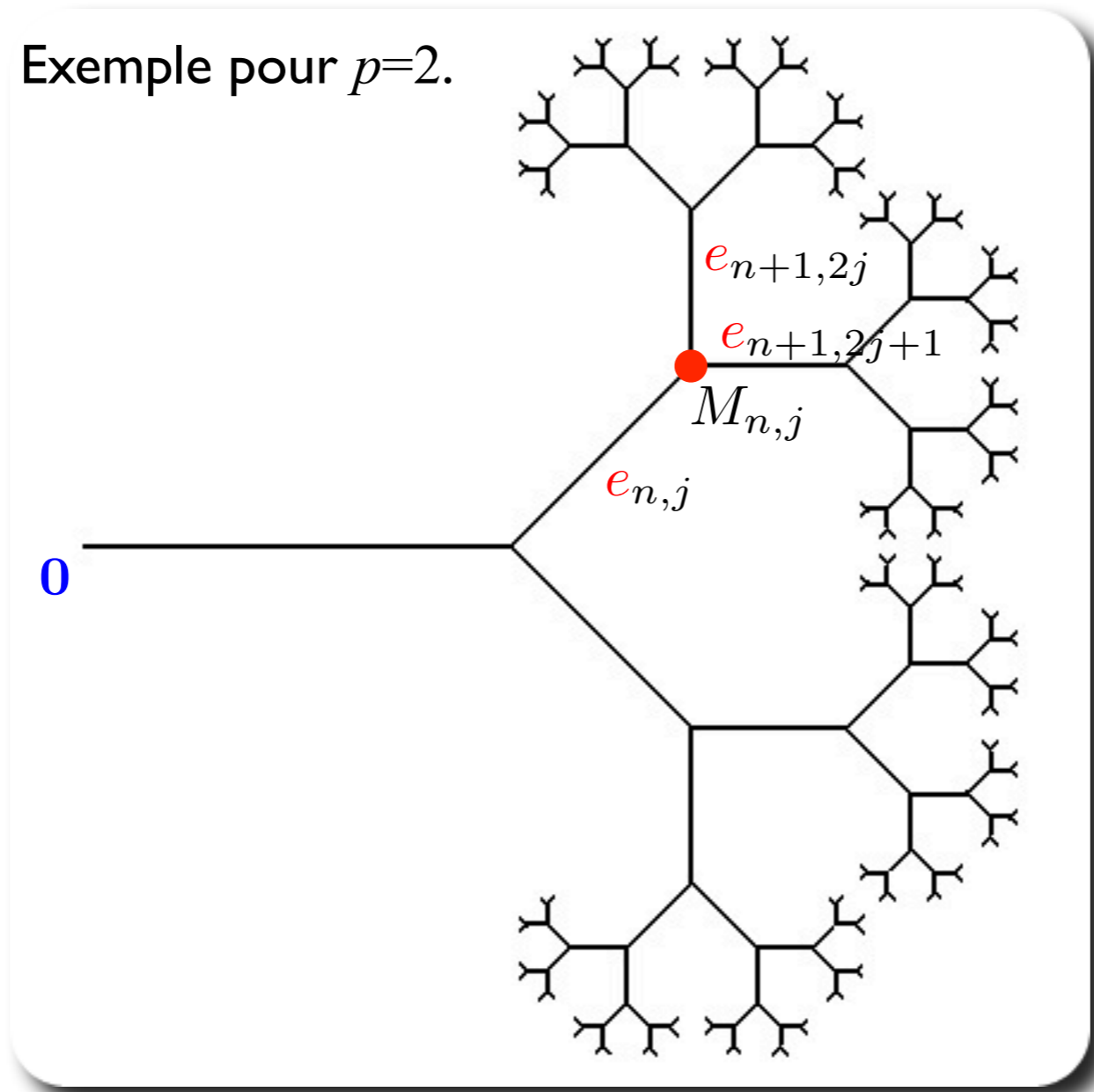
Passage à un réseau infini - poids

Soit $\mu : \mathcal{T} \rightarrow \mathbb{R}_+^*$ telle que : $\forall \mathbf{x} \in \mathcal{T}, \mu(s_i(\mathbf{x})) = \mu_i \cdot \mu(\mathbf{x})$

Passage à un réseau infini - poids

Soit $\mu : \mathcal{T} \rightarrow \mathbb{R}_+^*$ telle que : $\forall \mathbf{x} \in \mathcal{T}, \mu(s_i(\mathbf{x})) = \mu_i \cdot \mu(\mathbf{x})$

$\mu(e_{0.1}) = 1, \mu(e_{1.k}) = \mu_k, \mu(e_{n+1.p(j-1)+k}) = \mu_k \cdot \mu(e_{n.j})$

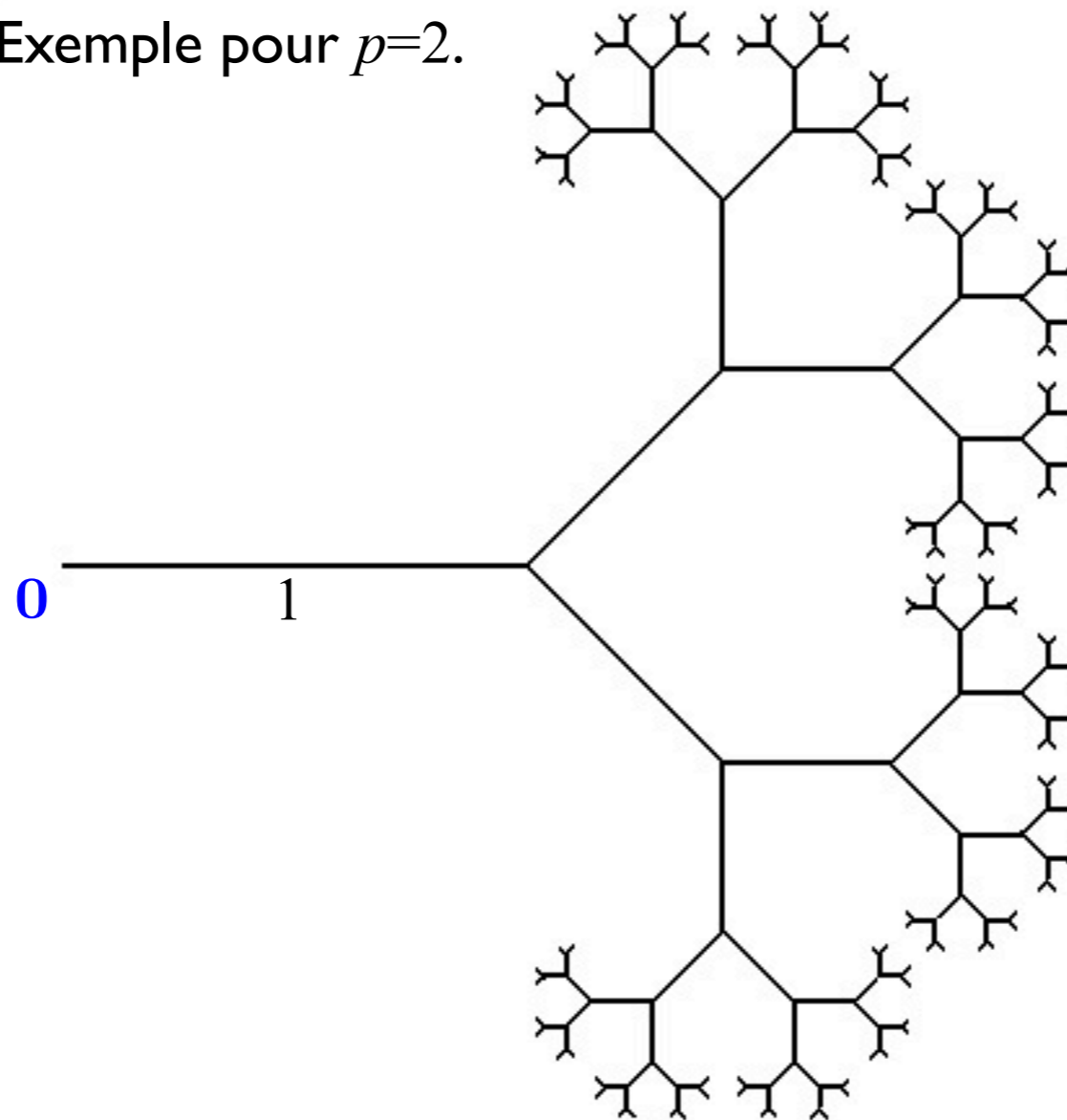


Passage à un réseau infini - poids

Soit $\mu : \mathcal{T} \rightarrow \mathbb{R}_+^*$ telle que : $\forall \mathbf{x} \in \mathcal{T}, \mu(s_i(\mathbf{x})) = \mu_i \cdot \mu(\mathbf{x})$

$\mu(e_{0.1}) = 1, \mu(e_{1.k}) = \mu_k, \mu(e_{n+1.p(j-1)+k}) = \mu_k \cdot \mu(e_{n.j})$

Exemple pour $p=2$.

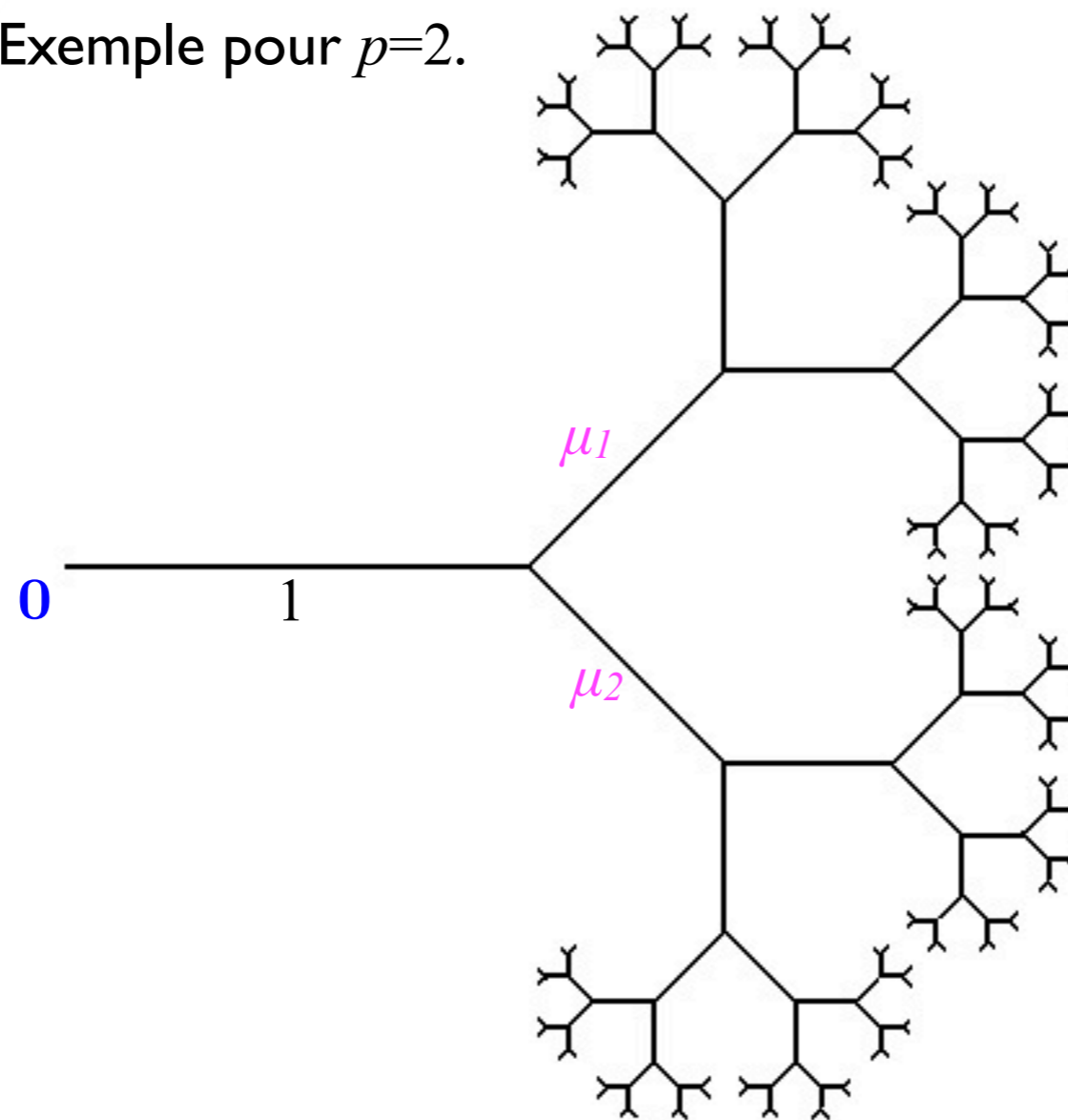


Passage à un réseau infini - poids

Soit $\mu : \mathcal{T} \rightarrow \mathbb{R}_+^*$ telle que : $\forall \mathbf{x} \in \mathcal{T}, \mu(s_i(\mathbf{x})) = \mu_i \cdot \mu(\mathbf{x})$

$\mu(e_{0.1}) = 1, \mu(e_{1.k}) = \mu_k, \mu(e_{n+1.p(j-1)+k}) = \mu_k \cdot \mu(e_{n.j})$

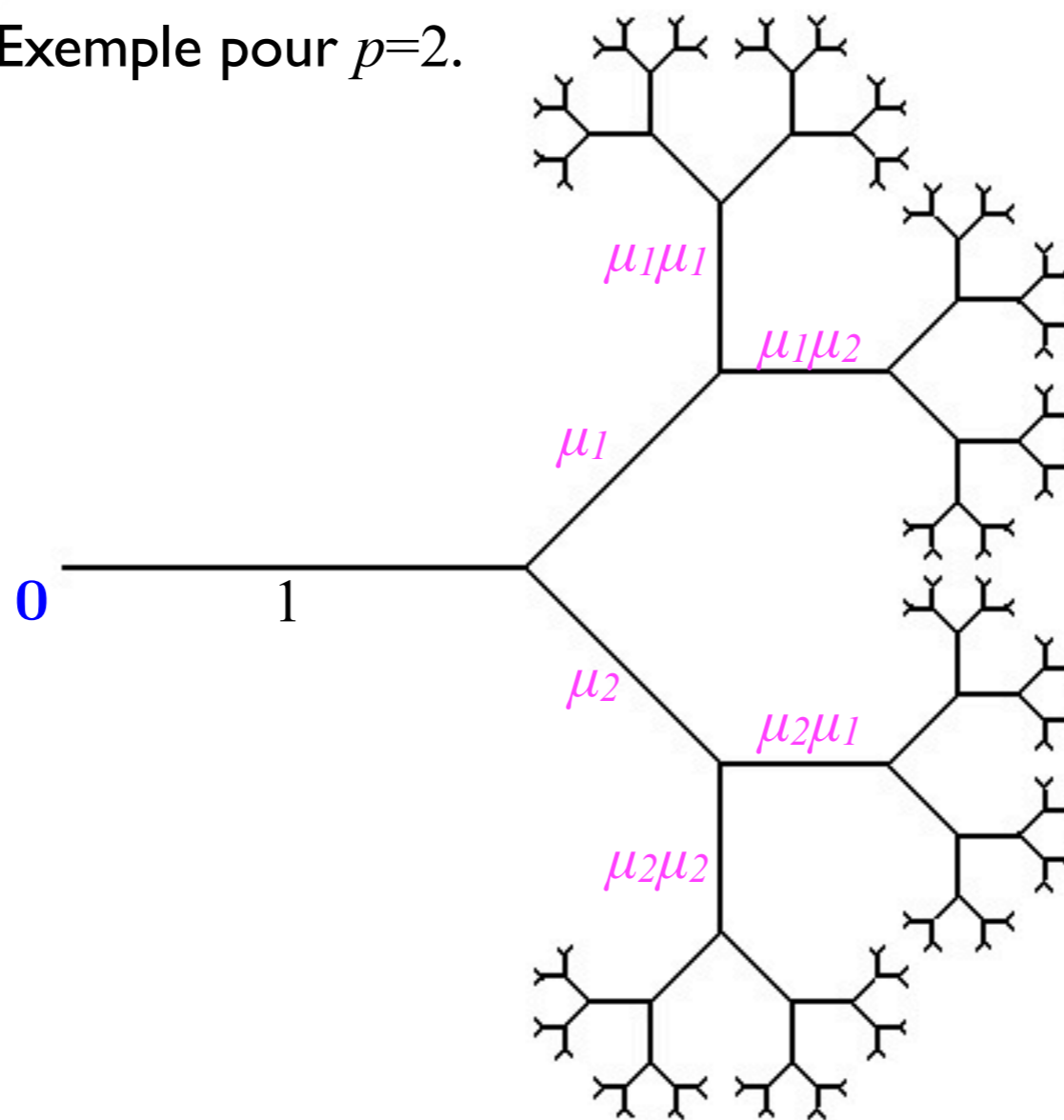
Exemple pour $p=2$.



Soit $\mu : \mathcal{T} \rightarrow \mathbb{R}_+^*$ telle que : $\forall \mathbf{x} \in \mathcal{T}, \mu(s_i(\mathbf{x})) = \mu_i \cdot \mu(\mathbf{x})$

$\mu(e_{0.1}) = 1, \mu(e_{1.k}) = \mu_k, \mu(e_{n+1.p(j-1)+k}) = \mu_k \cdot \mu(e_{n.j})$

Exemple pour $p=2$.



Équation d'onde auto-similaire

Soit $\mu : \mathcal{T} \rightarrow \mathbb{R}_+^*$ telle que : $\forall \mathbf{x} \in \mathcal{T}, \mu(s_i(\mathbf{x})) = \mu_i \cdot \mu(\mathbf{x})$

$$\mu(e_{0.1}) = 1, \mu(e_{1.k}) = \mu_k, \mu(e_{n+1.p(j-1)+k}) = \mu_k \cdot \mu(e_{n.j})$$

Soit $\mu : \mathcal{T} \rightarrow \mathbb{R}_+^*$ telle que : $\forall \mathbf{x} \in \mathcal{T}, \mu(s_i(\mathbf{x})) = \mu_i \cdot \mu(\mathbf{x})$

$\mu(e_{0.1}) = 1, \mu(e_{1.k}) = \mu_k, \mu(e_{n+1.p(j-1)+k}) = \mu_k \cdot \mu(e_{n.j})$

Exemple : le poumon humain $p = 2, \alpha_1 = \alpha_2 \simeq 0.85$

$\mu_k = \alpha_k^2 \simeq 0.72$

Soit $\mu : \mathcal{T} \rightarrow \mathbb{R}_+^*$ telle que : $\forall \mathbf{x} \in \mathcal{T}, \mu(s_i(\mathbf{x})) = \mu_i \cdot \mu(\mathbf{x})$

$\mu(e_{0.1}) = 1, \mu(e_{1.k}) = \mu_k, \mu(e_{n+1.p(j-1)+k}) = \mu_k \cdot \mu(e_{n.j})$

Exemple : le poumon humain $p = 2, \alpha_1 = \alpha_2 \simeq 0.85$
 $\mu_k = \alpha_k^2 \simeq 0.72$

Pour construire une condition DtN à l'entrée de l'arbre, nous devons résoudre

$$\begin{cases} \mu \partial_t^2 u - \partial_s (\mu \partial_s u) = 0 \text{ dans } \mathcal{T} \\ u(t, \mathbf{0}) = u_0(t) \\ + \text{condition à l'infini de } \mathcal{T} \end{cases}$$

et calculer la dérivée normale de la solution à l'entrée.

Nous utilisons la transformation de **Fourier-Laplace**

$$u(t, s) \rightarrow \mathbf{u}(\omega, s), \quad s \in \mathcal{T}$$

Nous utilisons la transformation de **Fourier-Laplace**

$$u(t, s) \rightarrow \mathbf{u}(\omega, s), \quad s \in \mathcal{T}$$

Nous obtenons alors l'équation suivante:

$$\left\{ \begin{array}{l} -\mu \omega^2 \mathbf{u} - \partial_s (\mu \partial_s \mathbf{u}) = 0 \text{ dans } \mathcal{T} \\ \mathbf{u}(\omega, \mathbf{0}) = \mathbf{u}_0(\omega) := 1 \\ + \text{condition à l'infini de } \mathcal{T} \end{array} \right.$$

Nous utilisons la transformation de **Fourier-Laplace**

$$u(t, s) \rightarrow \mathbf{u}(\omega, s), \quad s \in \mathcal{T}$$

Nous obtenons alors l'équation suivante:

$$\left\{ \begin{array}{l} -\mu \omega^2 \mathbf{u} - \partial_s (\mu \partial_s \mathbf{u}) = 0 \text{ dans } \mathcal{T} \\ \mathbf{u}(\omega, \mathbf{0}) = \mathbf{u}_0(\omega) := 1 \\ + \text{condition à l'infini de } \mathcal{T} \end{array} \right.$$

Nous allons définir la notion de condition de Dirichlet ou de Neumann à l'infini en utilisant une approche variationnelle.

Nous utilisons la transformation de **Fourier-Laplace**

$$u(t, s) \rightarrow \mathbf{u}(\omega, s), \quad s \in \mathcal{T}$$

Nous obtenons alors l'équation suivante:

$$\begin{cases} -\mu \omega^2 \mathbf{u} - \partial_s (\mu \partial_s \mathbf{u}) & = 0 \text{ dans } \mathcal{T} \\ \mathbf{u}(\omega, \mathbf{0}) & = \mathbf{u}_0(\omega) := 1 \\ & + \text{condition à l'infini de } \mathcal{T} \end{cases}$$

Nous allons définir la notion de condition de Dirichlet ou de Neumann à l'infini en utilisant une approche variationnelle.

→ Définition des espaces $H_{\mu}^1(\mathcal{T})$ (espace de Sobolev) et de $\mathcal{H}_{\mu}^1(\mathcal{T})$ (espace de Beppo-Levi) pour le problème avec condition de Neumann à l'infini.

Nous utilisons la transformation de **Fourier-Laplace**

$$u(t, s) \rightarrow \mathbf{u}(\omega, s), \quad s \in \mathcal{T}$$

Nous obtenons alors l'équation suivante:

$$\begin{cases} -\mu \omega^2 \mathbf{u} - \partial_s (\mu \partial_s \mathbf{u}) & = 0 \text{ dans } \mathcal{T} \\ \mathbf{u}(\omega, \mathbf{0}) & = \mathbf{u}_0(\omega) := 1 \\ & + \text{condition à l'infini de } \mathcal{T} \end{cases}$$

Nous allons définir la notion de condition de Dirichlet ou de Neumann à l'infini en utilisant une approche variationnelle.

→ Définition des espaces $H_{\mu}^1(\mathcal{T})$ (espace de Sobolev) et de $\mathcal{H}_{\mu}^1(\mathcal{T})$ (espace de Beppo-Levi) pour le problème avec condition de Neumann à l'infini.

→ Définition des espaces $H_{\mu,0}^1(\mathcal{T})$ (espace de Sobolev) et de $\mathcal{H}_{\mu,0}^1(\mathcal{T})$ (espace de Beppo-Levi) pour le problème avec condition de Dirichlet à l'infini.

Nous utilisons la transformation de **Fourier-Laplace**

$$u(t, s) \rightarrow \mathbf{u}(\omega, s), \quad s \in \mathcal{T}$$

Nous obtenons alors l'équation suivante:

$$\begin{cases} -\mu \omega^2 \mathbf{u} - \partial_s (\mu \partial_s \mathbf{u}) & = 0 \text{ dans } \mathcal{T} \\ \mathbf{u}(\omega, \mathbf{0}) & = \mathbf{u}_0(\omega) := 1 \\ & + \text{condition à l'infini de } \mathcal{T} \end{cases}$$

Nous allons définir la notion de condition de Dirichlet ou de Neumann à l'infini en utilisant une approche variationnelle.

→ Définition des espaces $H_{\mu}^1(\mathcal{T})$ (espace de Sobolev) et de $\mathcal{H}_{\mu}^1(\mathcal{T})$ (espace de Beppo-Levi) pour le problème avec condition de Neumann à l'infini.

→ Définition des espaces $H_{\mu,0}^1(\mathcal{T})$ (espace de Sobolev) et de $\mathcal{H}_{\mu,0}^1(\mathcal{T})$ (espace de Beppo-Levi) pour le problème avec condition de Dirichlet à l'infini.

Théorème

$$\mathcal{H}_{\mu}^1(\mathcal{T}) \neq \mathcal{H}_{\mu,0}^1(\mathcal{T}) \iff \sum_{i=1}^p \frac{\mu_i}{\alpha_i} > 1$$

Nous utilisons la transformation de **Fourier-Laplace**

$$u(t, s) \rightarrow \mathbf{u}(\omega, s), \quad s \in \mathcal{T}$$

Nous obtenons alors l'équation suivante:

$$\begin{cases} -\mu \omega^2 \mathbf{u} - \partial_s (\mu \partial_s \mathbf{u}) & = 0 \text{ dans } \mathcal{T} \\ \mathbf{u}(\omega, \mathbf{0}) & = \mathbf{u}_0(\omega) := 1 \\ & + \text{condition à l'infini de } \mathcal{T} \end{cases}$$

Nous allons définir la notion de condition de Dirichlet ou de Neumann à l'infini en utilisant une approche variationnelle.

→ Définition des espaces $H_{\mu}^1(\mathcal{T})$ (espace de Sobolev) et de $\mathcal{H}_{\mu}^1(\mathcal{T})$ (espace de Beppo-Levi) pour le problème avec condition de Neumann à l'infini.

→ Définition des espaces $H_{\mu,0}^1(\mathcal{T})$ (espace de Sobolev) et de $\mathcal{H}_{\mu,0}^1(\mathcal{T})$ (espace de Beppo-Levi) pour le problème avec condition de Dirichlet à l'infini.

Théorème

$$\mathcal{H}_{\mu}^1(\mathcal{T}) \neq \mathcal{H}_{\mu,0}^1(\mathcal{T}) \iff \sum_{i=1}^p \frac{\mu_i}{\alpha_i} > 1$$

Définition (Λ)

$$\Lambda_{\partial}(\omega) := \mathbf{u}'_{\partial}(\omega, \mathbf{0})$$

$$\Lambda_n(\omega) := \mathbf{u}'_n(\omega, \mathbf{0})$$

Définition (Λ)

$$\Lambda_{\partial}(\omega) := \mathbf{u}'_{\partial}(\omega, \mathbf{0})$$

$$\Lambda_n(\omega) := \mathbf{u}'_n(\omega, \mathbf{0})$$

L'opérateur **DtN** correspondant à l'arbre \mathcal{T} est

$$\partial_s \mathbf{u}(\omega, \mathbf{0}) = \Lambda_{\partial}(\omega) \mathbf{u}(\omega, \mathbf{0}) \quad \text{ou} \quad \partial_s \mathbf{u}(\omega, \mathbf{0}) = \Lambda_n(\omega) \mathbf{u}(\omega, \mathbf{0})$$

suivant que l'on prenne une condition de **Dirichlet** ou de **Neumann** à l'infini.

Définition (Λ)

$$\Lambda_{\partial}(\omega) := \mathbf{u}'_{\partial}(\omega, \mathbf{0}) \quad \Lambda_n(\omega) := \mathbf{u}'_n(\omega, \mathbf{0})$$

L'opérateur **DtN** correspondant à l'arbre \mathcal{T} est

$$\partial_s \mathbf{u}(\omega, \mathbf{0}) = \Lambda_{\partial}(\omega) \mathbf{u}(\omega, \mathbf{0}) \quad \text{ou} \quad \partial_s \mathbf{u}(\omega, \mathbf{0}) = \Lambda_n(\omega) \mathbf{u}(\omega, \mathbf{0})$$

suivant que l'on prenne une condition de **Dirichlet** ou de **Neumann** à l'infini.

Si la longueur de la première branche de \mathcal{T} is l , en utilisant un argument de **scalabilité**, nous avons

$$\partial_s \mathbf{u}(\omega, \mathbf{0}) = l^{-1} \Lambda_{\partial}(l\omega) \mathbf{u}(\omega, \mathbf{0}) \quad \text{ou} \quad \partial_s \mathbf{u}(\omega, \mathbf{0}) = l^{-1} \Lambda_n(l\omega) \mathbf{u}(\omega, \mathbf{0})$$

Définition (Λ)

$$\Lambda_{\partial}(\omega) := \mathbf{u}'_{\partial}(\omega, \mathbf{0}) \quad \Lambda_n(\omega) := \mathbf{u}'_n(\omega, \mathbf{0})$$

L'opérateur **DtN** correspondant à l'arbre \mathcal{T} est

$$\partial_s \mathbf{u}(\omega, \mathbf{0}) = \Lambda_{\partial}(\omega) \mathbf{u}(\omega, \mathbf{0}) \quad \text{ou} \quad \partial_s \mathbf{u}(\omega, \mathbf{0}) = \Lambda_n(\omega) \mathbf{u}(\omega, \mathbf{0})$$

suivant que l'on prenne une condition de **Dirichlet** ou de **Neumann** à l'infini.

Si la longueur de la première branche de \mathcal{T} is l , en utilisant un argument de **scalabilité**, nous avons

$$\partial_s \mathbf{u}(\omega, \mathbf{0}) = l^{-1} \Lambda_{\partial}(l\omega) \mathbf{u}(\omega, \mathbf{0}) \quad \text{ou} \quad \partial_s \mathbf{u}(\omega, \mathbf{0}) = l^{-1} \Lambda_n(l\omega) \mathbf{u}(\omega, \mathbf{0})$$

Si nous tronquons au bout de la génération n , nous obtenons une condition de la forme suivante sur chaque sous-arbre tronqué:

$$\partial_s \mathbf{u}(\omega, \mathbf{0}) = l_n^{-1} \Lambda_{\partial,n}(l_n \omega) \mathbf{u}(\omega, \mathbf{0}) \quad \text{avec} \quad l_n \leq \left(\max_{1 \leq i \leq p} \alpha_i \right)^n$$

Proposition

$$(E) \quad \Lambda(\omega) \cos(\omega) - \omega \sin(\omega) = \sum_{i=1}^p \frac{\mu_i}{\alpha_i} \left(\cos(\omega) + \Lambda(\omega) \frac{\sin(\omega)}{\omega} \right) \Lambda(\alpha_i \omega)$$

Proposition

$$(E) \quad \Lambda(\omega) \cos(\omega) - \omega \sin(\omega) = \sum_{i=1}^p \frac{\mu_i}{\alpha_i} \left(\cos(\omega) + \Lambda(\omega) \frac{\sin(\omega)}{\omega} \right) \Lambda(\alpha_i \omega)$$

Cette équation peut se mettre sous la forme

$$\Lambda(\omega) = F_{\alpha, \mu} (\Lambda(\alpha_1 \omega), \dots, \Lambda(\alpha_p \omega))$$

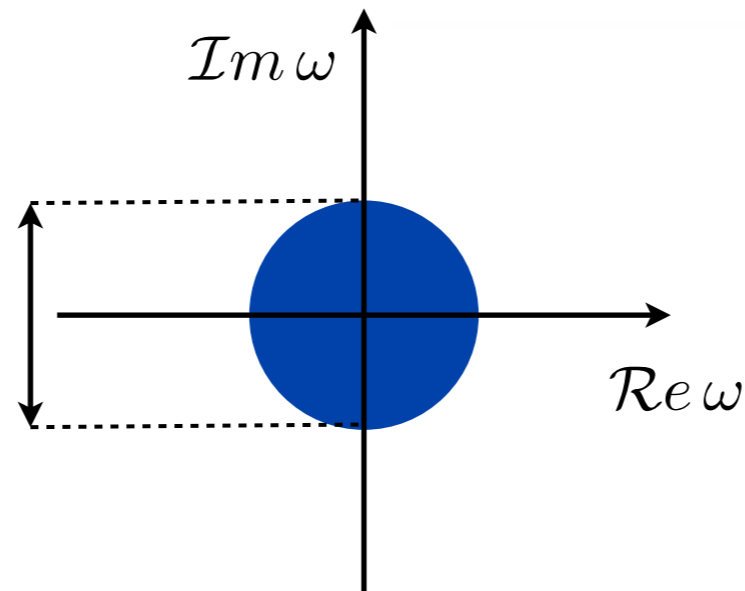
Proposition

$$(E) \quad \Lambda(\omega) \cos(\omega) - \omega \sin(\omega) = \sum_{i=1}^p \frac{\mu_i}{\alpha_i} \left(\cos(\omega) + \Lambda(\omega) \frac{\sin(\omega)}{\omega} \right) \Lambda(\alpha_i \omega)$$

Cette équation peut se mettre sous la forme

$$\Lambda(\omega) = F_{\alpha, \mu} (\Lambda(\alpha_1 \omega), \dots, \Lambda(\alpha_p \omega))$$

δ



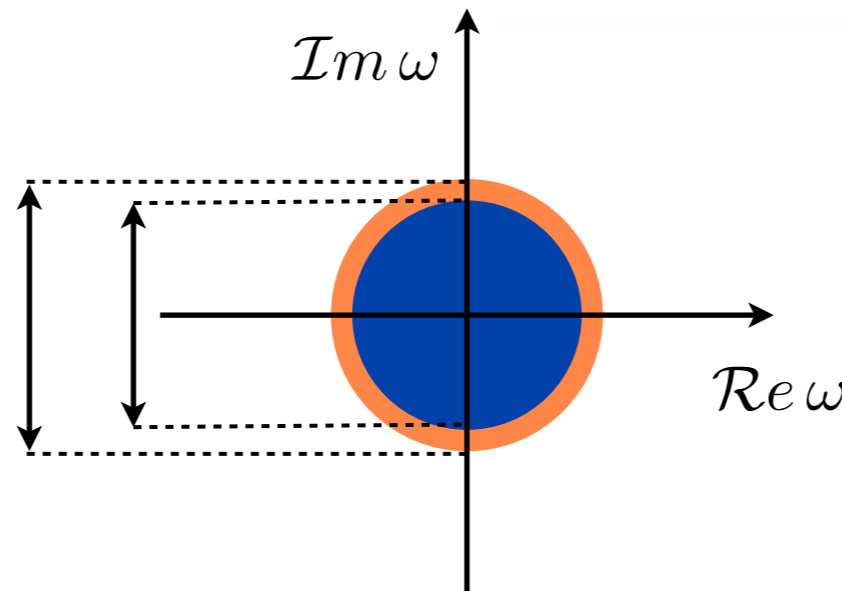
Proposition

$$(E) \quad \Lambda(\omega) \cos(\omega) - \omega \sin(\omega) = \sum_{i=1}^p \frac{\mu_i}{\alpha_i} \left(\cos(\omega) + \Lambda(\omega) \frac{\sin(\omega)}{\omega} \right) \Lambda(\alpha_i \omega)$$

Cette équation peut se mettre sous la forme

$$\Lambda(\omega) = F_{\alpha, \mu} (\Lambda(\alpha_1 \omega), \dots, \Lambda(\alpha_p \omega))$$

$\gamma \delta$



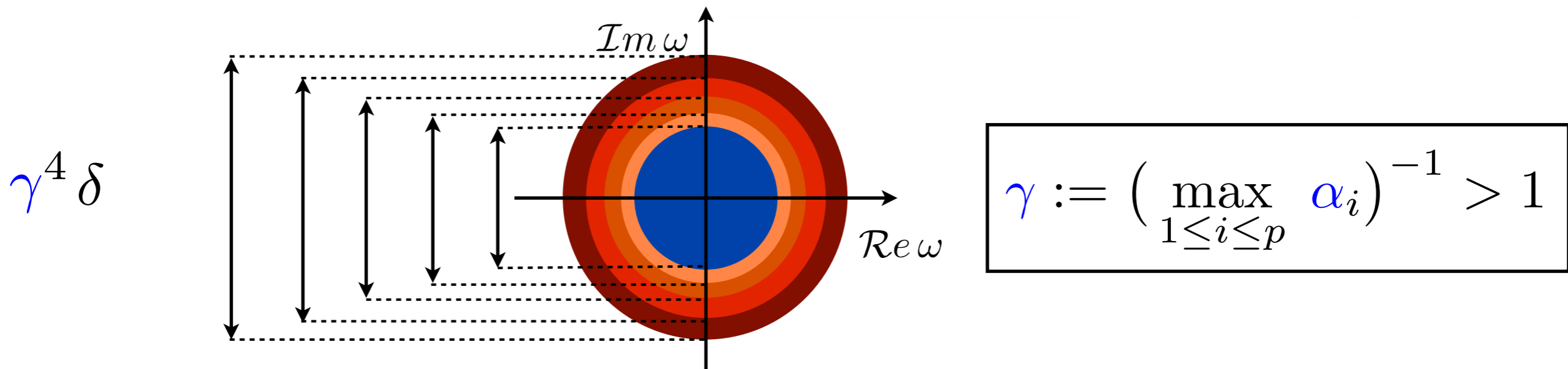
$$\gamma := \left(\max_{1 \leq i \leq p} \alpha_i \right)^{-1} > 1$$

Proposition

$$(E) \quad \Lambda(\omega) \cos(\omega) - \omega \sin(\omega) = \sum_{i=1}^p \frac{\mu_i}{\alpha_i} \left(\cos(\omega) + \Lambda(\omega) \frac{\sin(\omega)}{\omega} \right) \Lambda(\alpha_i \omega)$$

Cette équation peut se mettre sous la forme

$$\Lambda(\omega) = F_{\alpha, \mu} (\Lambda(\alpha_1 \omega), \dots, \Lambda(\alpha_p \omega))$$

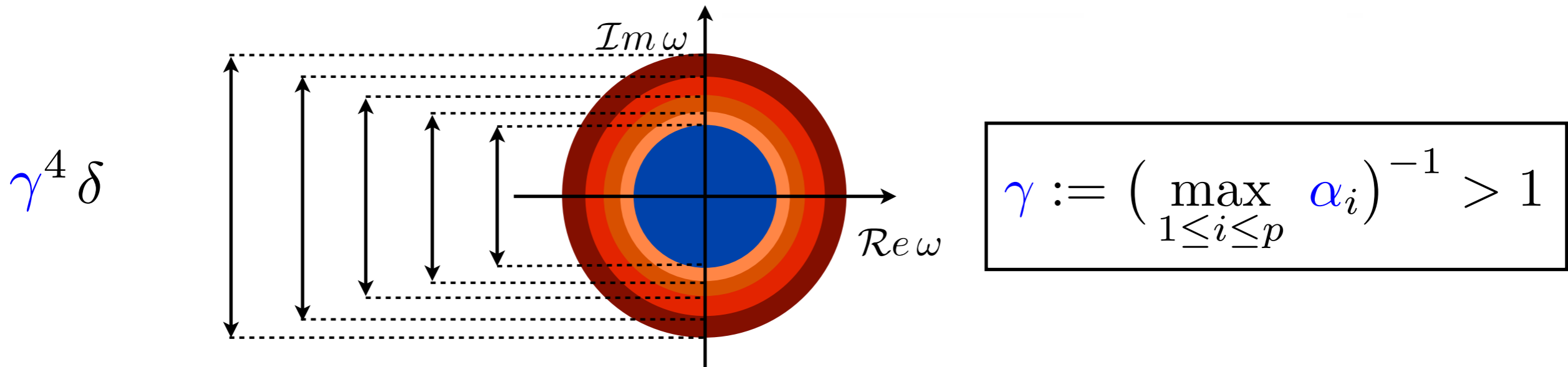


Proposition

$$(E) \quad \Lambda(\omega) \cos(\omega) - \omega \sin(\omega) = \sum_{i=1}^p \frac{\mu_i}{\alpha_i} \left(\cos(\omega) + \Lambda(\omega) \frac{\sin(\omega)}{\omega} \right) \Lambda(\alpha_i \omega)$$

Cette équation peut se mettre sous la forme

$$\Lambda(\omega) = F_{\alpha, \mu} (\Lambda(\alpha_1 \omega), \dots, \Lambda(\alpha_p \omega))$$



La fréquence $\omega = 0$ joue un rôle particulier: $\omega = \alpha_i \omega$.

Théorème

$$(E) \quad \Lambda(\omega) \cos(\omega) - \omega \sin(\omega) = \sum_{i=1}^p \frac{\mu_i}{\alpha_i} \left(\cos(\omega) + \Lambda(\omega) \frac{\sin(\omega)}{\omega} \right) \Lambda(\alpha_i \omega)$$

Théorème

$$(E) \quad \Lambda(\omega) \cos(\omega) - \omega \sin(\omega) = \sum_{i=1}^p \frac{\mu_i}{\alpha_i} \left(\cos(\omega) + \Lambda(\omega) \frac{\sin(\omega)}{\omega} \right) \Lambda(\alpha_i \omega)$$

La fonction $\Lambda_n(\omega)$ est l'unique fonction méromorphe solution de (E) telle que

$$\Lambda_n(0) = \Lambda_n = 0$$

Théorème

$$(E) \quad \Lambda(\omega) \cos(\omega) - \omega \sin(\omega) = \sum_{i=1}^p \frac{\mu_i}{\alpha_i} \left(\cos(\omega) + \Lambda(\omega) \frac{\sin(\omega)}{\omega} \right) \Lambda(\alpha_i \omega)$$

La fonction $\Lambda_n(\omega)$ est l'unique fonction méromorphe solution de (E) telle que

$$\Lambda_n(0) = \Lambda_n = 0$$

La fonction $\Lambda_\partial(\omega)$ est l'unique fonction méromorphe solution de (E) telle que

$$\Lambda_\partial(0) = \Lambda_\partial = \left(\sum_{i=1}^p \frac{\mu_i}{\alpha_i} \right)^{-1} \left(1 - \sum_{i=1}^p \frac{\mu_i}{\alpha_i} \right)$$

Théorème

$$(E) \quad \Lambda(\omega) \cos(\omega) - \omega \sin(\omega) = \sum_{i=1}^p \frac{\mu_i}{\alpha_i} \left(\cos(\omega) + \Lambda(\omega) \frac{\sin(\omega)}{\omega} \right) \Lambda(\alpha_i \omega)$$

La fonction $\Lambda_n(\omega)$ est l'unique fonction méromorphe solution de (E) telle que

$$\Lambda_n(0) = \Lambda_n = 0$$

La fonction $\Lambda_\partial(\omega)$ est l'unique fonction méromorphe solution de (E) telle que

$$\Lambda_\partial(0) = \Lambda_\partial = \left(\sum_{i=1}^p \frac{\mu_i}{\alpha_i} \right)^{-1} \left(1 - \sum_{i=1}^p \frac{\mu_i}{\alpha_i} \right)$$

Sans hypothèse de régularité, nous n'avons plus unicité de la fonction.

Calcul de Λ au voisinage de $\omega=0$.

$$(E) \quad \Lambda(\omega) \cos(\omega) - \omega \sin(\omega) = \sum_{i=1}^p \frac{\mu_i}{\alpha_i} \left(\cos(\omega) + \Lambda(\omega) \frac{\sin(\omega)}{\omega} \right) \Lambda(\alpha_i \omega)$$

Calcul de Λ au voisinage de $\omega=0$.

$$(E) \quad \Lambda(\omega) \cos(\omega) - \omega \sin(\omega) = \sum_{i=1}^p \frac{\mu_i}{\alpha_i} \left(\cos(\omega) + \Lambda(\omega) \frac{\sin(\omega)}{\omega} \right) \Lambda(\alpha_i \omega)$$

En effectuant des dérivations successives de (E) par rapport à ω , nous pouvons déterminer le développement de Taylor de $\Lambda(\omega)$, connaissant $\Lambda(0)$.

Calcul de Λ au voisinage de $\omega=0$.

$$(E) \quad \Lambda(\omega) \cos(\omega) - \omega \sin(\omega) = \sum_{i=1}^p \frac{\mu_i}{\alpha_i} \left(\cos(\omega) + \Lambda(\omega) \frac{\sin(\omega)}{\omega} \right) \Lambda(\alpha_i \omega)$$

En effectuant des dérivations successives de (E) par rapport à ω , nous pouvons déterminer le développement de Taylor de $\Lambda(\omega)$, connaissant $\Lambda(0)$.

En particulier, nous obtenons

$$(E) \quad \Lambda(\omega) \cos(\omega) - \omega \sin(\omega) = \sum_{i=1}^p \frac{\mu_i}{\alpha_i} \left(\cos(\omega) + \Lambda(\omega) \frac{\sin(\omega)}{\omega} \right) \Lambda(\alpha_i \omega)$$

En effectuant des dérivations successives de (E) par rapport à ω , nous pouvons déterminer le développement de Taylor de $\Lambda(\omega)$, connaissant $\Lambda(0)$.

En particulier, nous obtenons

$$\Lambda_\partial(\omega) = \Lambda_\partial + \omega^2 \Lambda_\partial^{(2)} + O(\omega^4)$$

$$\Lambda_\partial^{(2)} = \frac{1}{3} \frac{1 + \sum_{i=1}^p \frac{\mu_i}{\alpha_i} + \left(\sum_{i=1}^p \frac{\mu_i}{\alpha_i} \right)^2}{\left(\sum_{i=1}^p \frac{\mu_i}{\alpha_i} \right)^2 - \sum_{i=1}^p \mu_i \alpha_i}$$

$$(E) \quad \Lambda(\omega) \cos(\omega) - \omega \sin(\omega) = \sum_{i=1}^p \frac{\mu_i}{\alpha_i} \left(\cos(\omega) + \Lambda(\omega) \frac{\sin(\omega)}{\omega} \right) \Lambda(\alpha_i \omega)$$

En effectuant des dérivations successives de (E) par rapport à ω , nous pouvons déterminer le développement de Taylor de $\Lambda(\omega)$, connaissant $\Lambda(0)$.

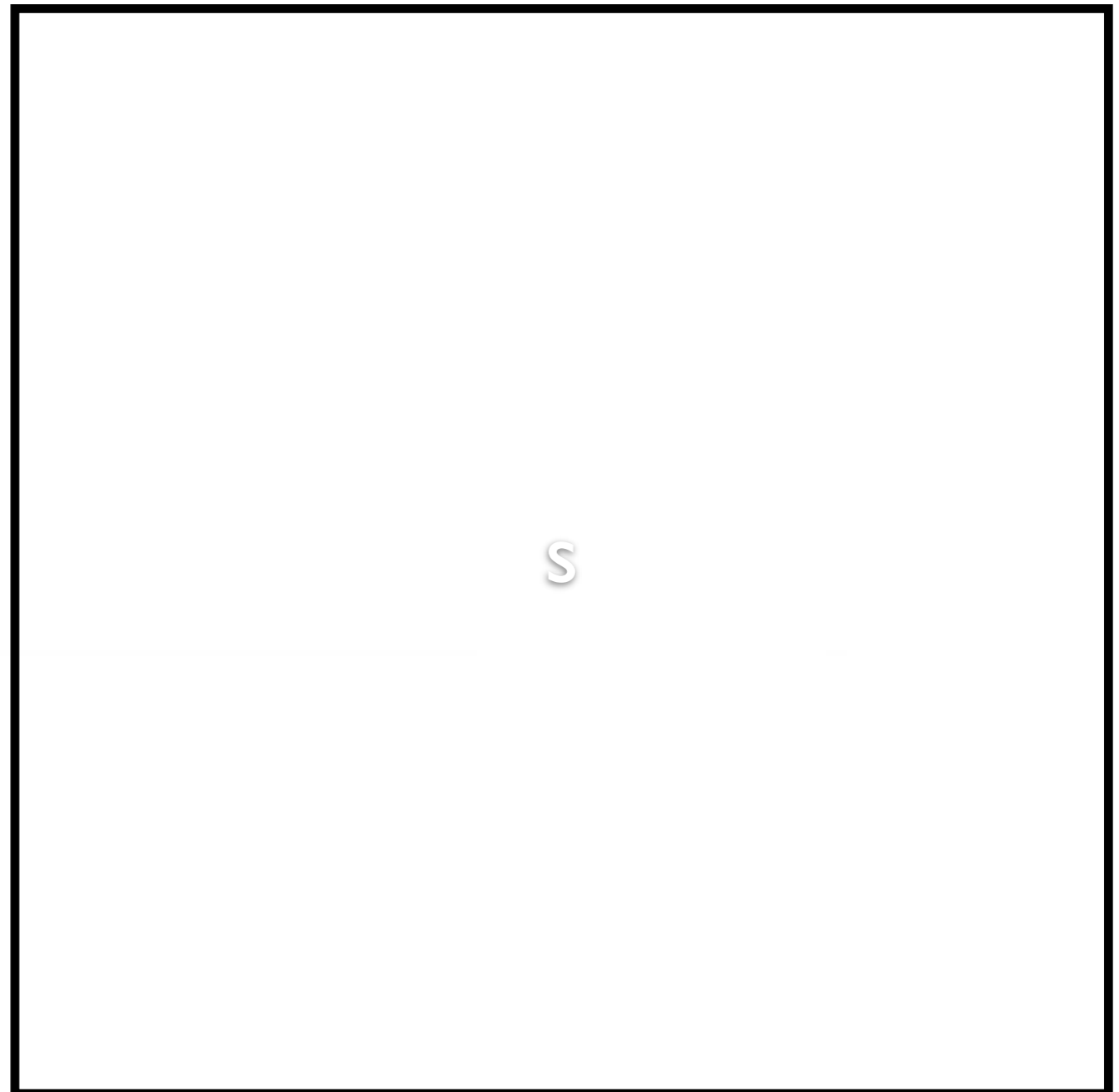
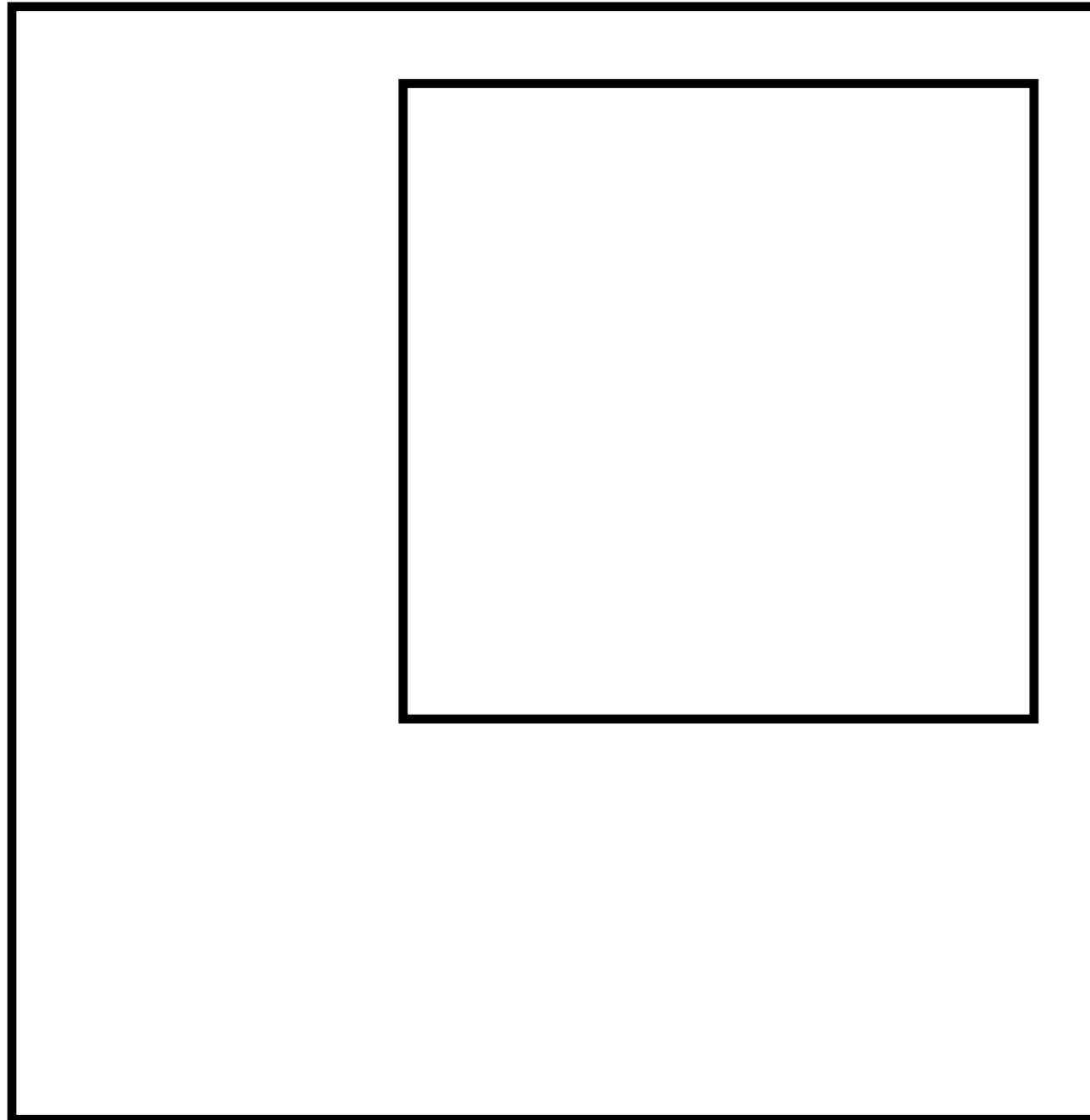
En particulier, nous obtenons

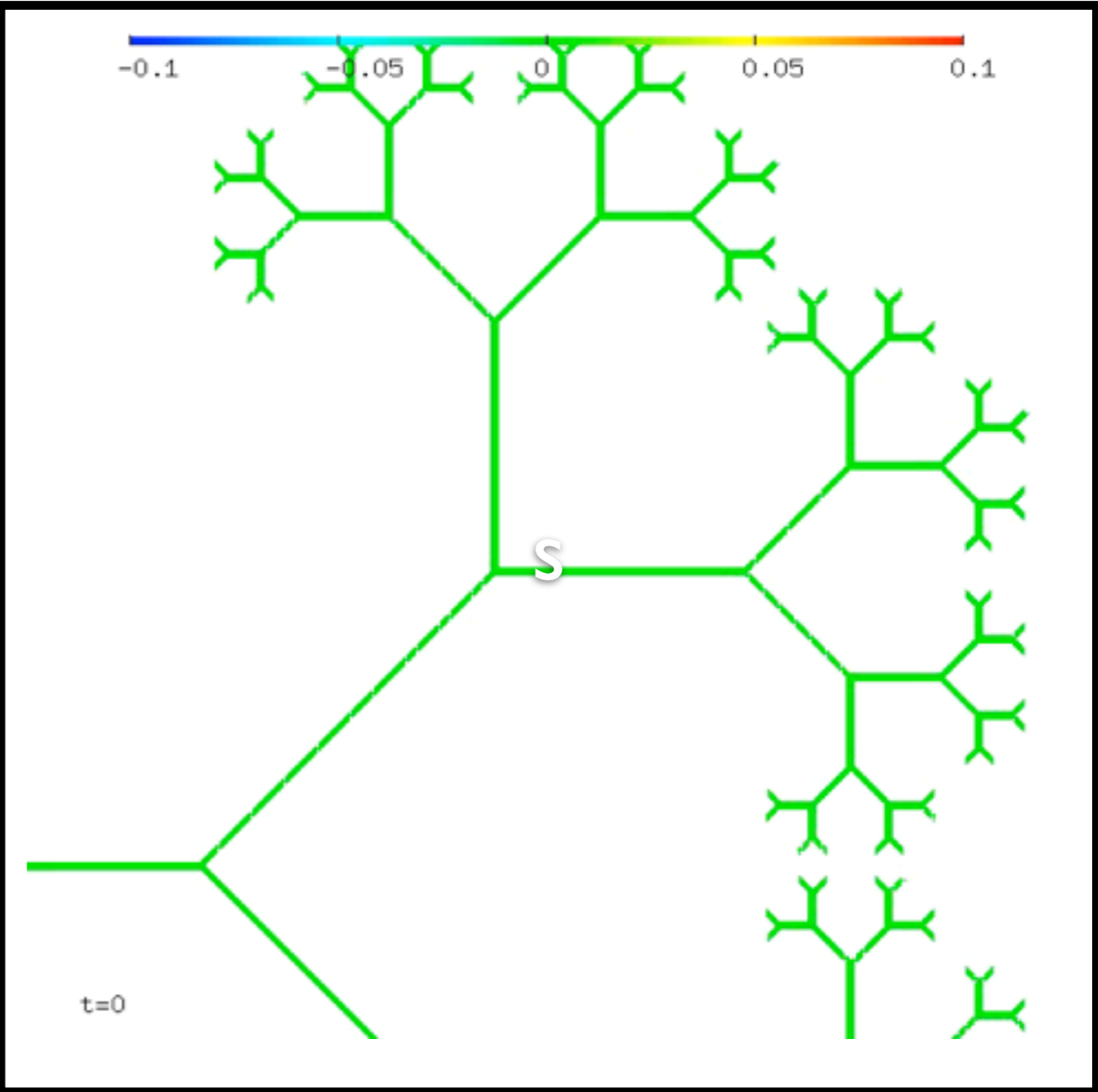
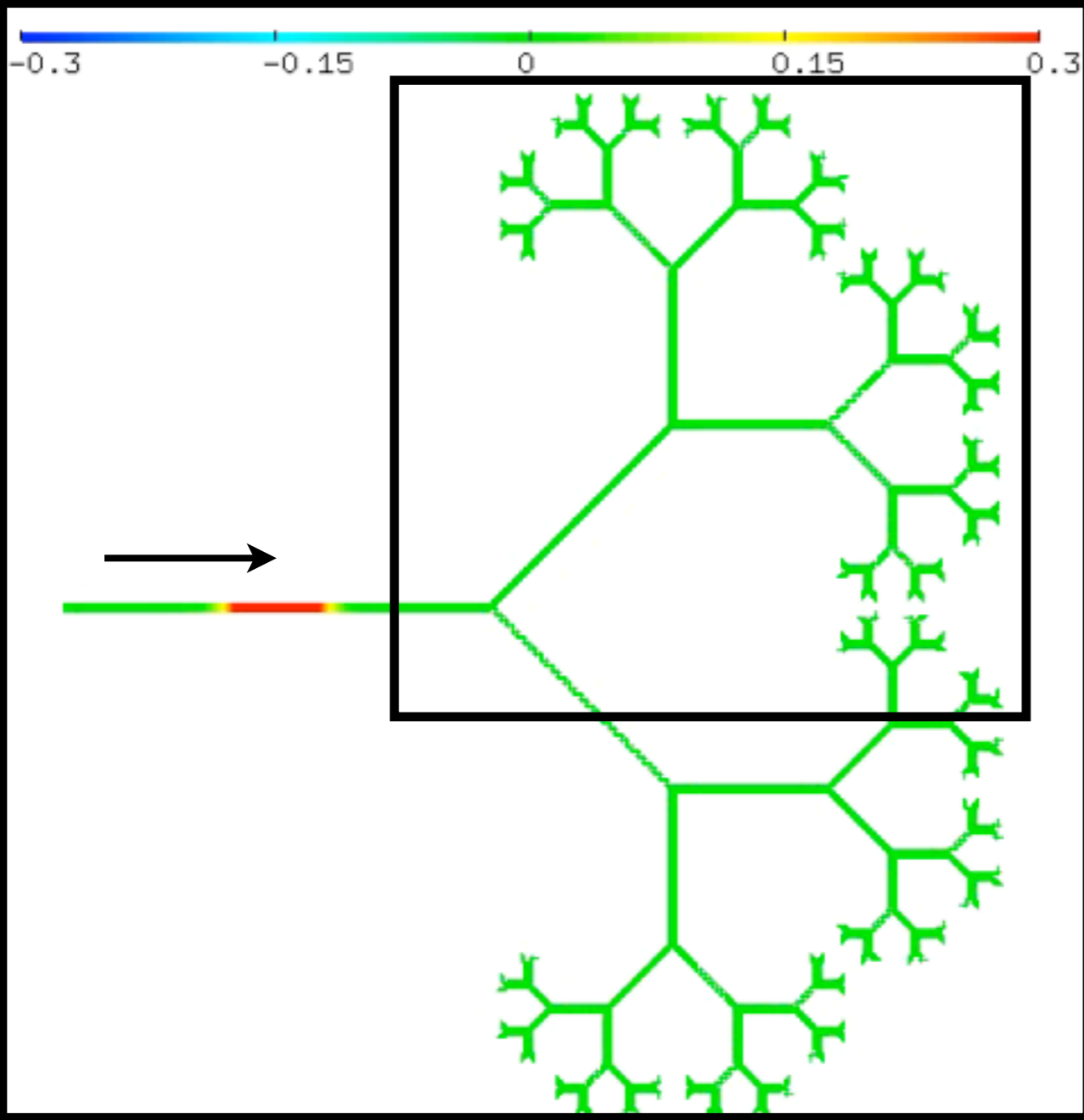
$$\Lambda_d(\omega) = \Lambda_d + \omega^2 \Lambda_d^{(2)} + O(\omega^4)$$

$$\Lambda_n(\omega) = \Lambda_n + \omega^2 \Lambda_n^{(2)} + O(\omega^4)$$

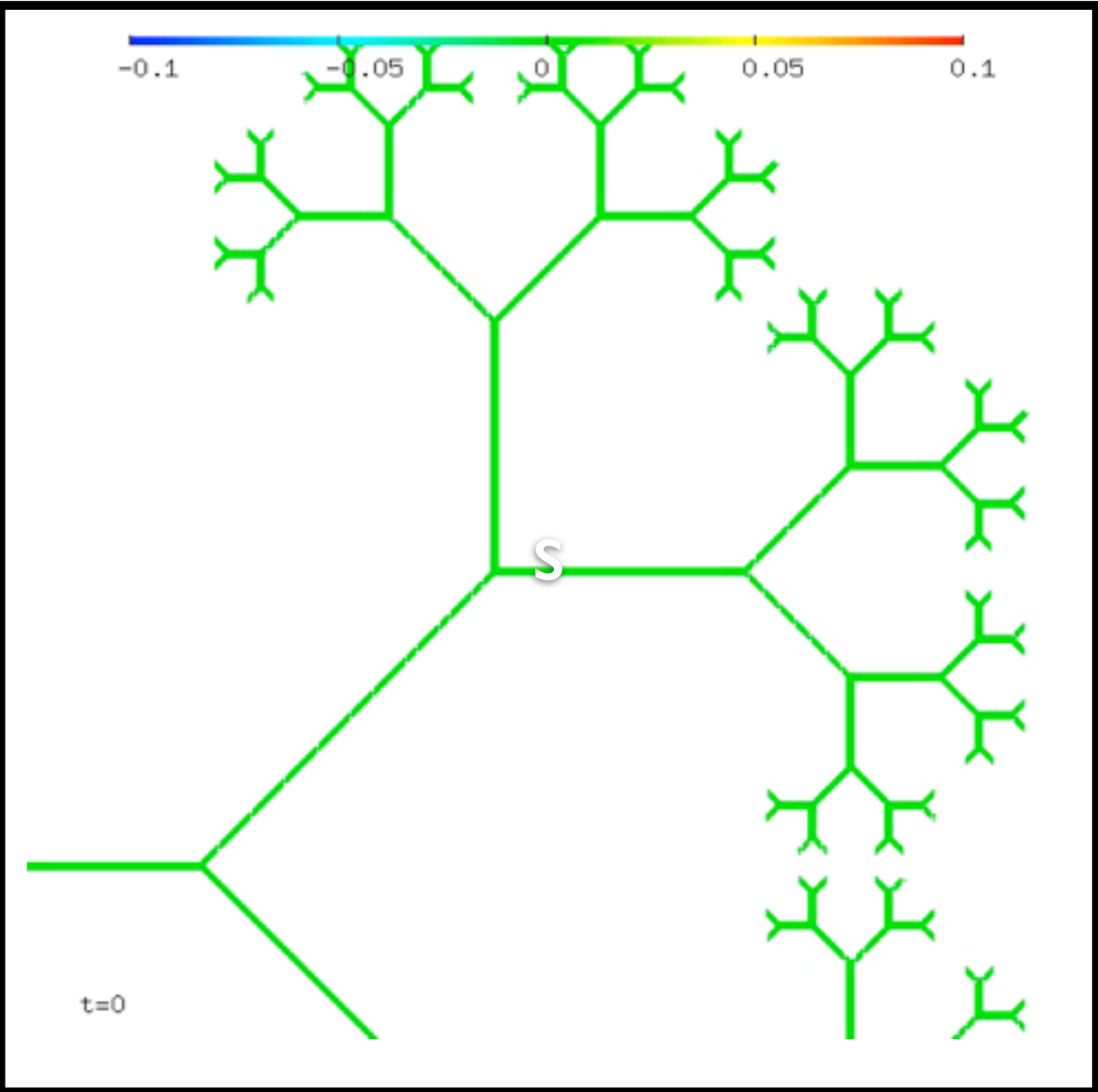
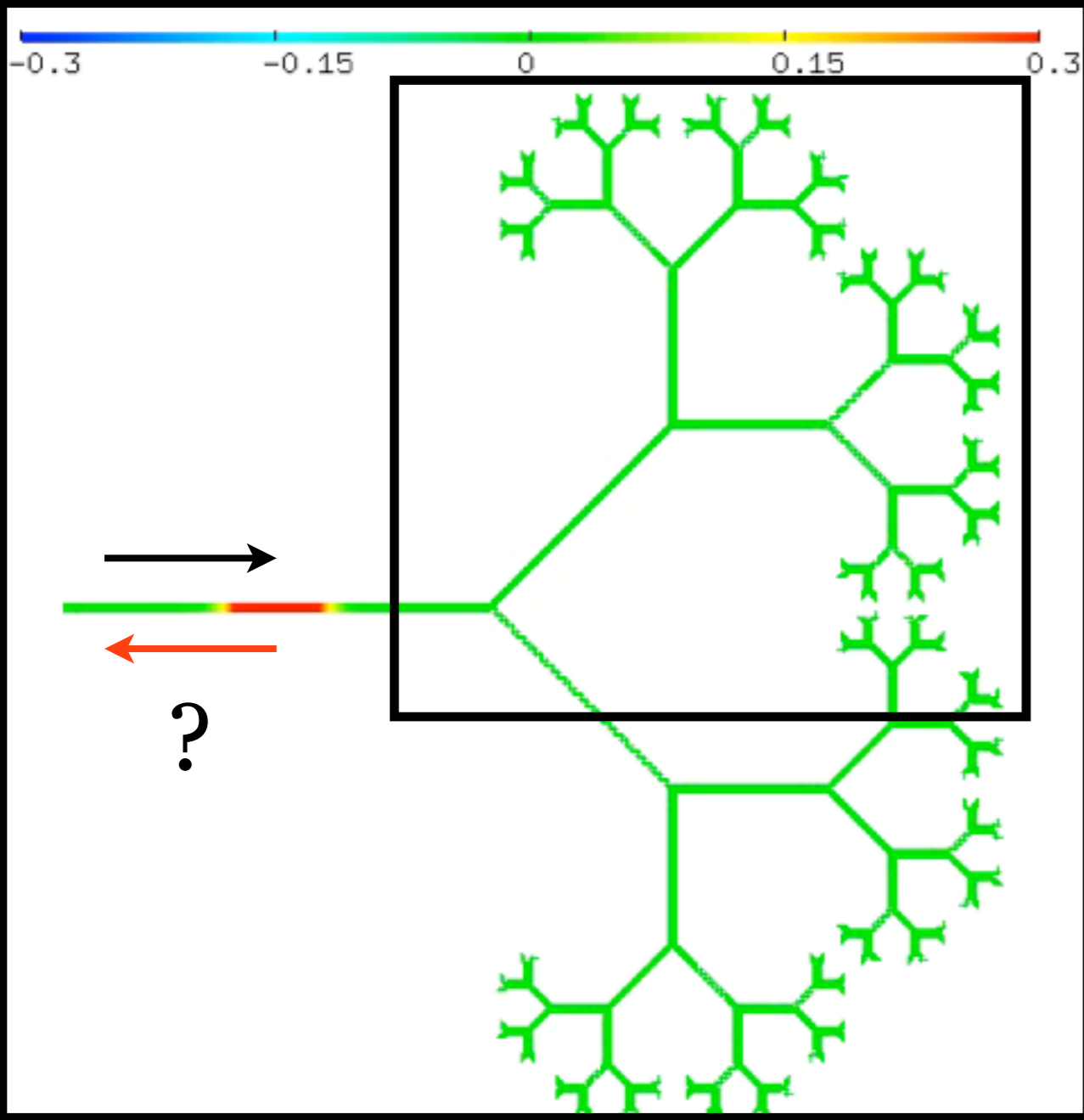
$$\Lambda_d^{(2)} = \frac{1}{3} \frac{1 + \sum_{i=1}^p \frac{\mu_i}{\alpha_i} + \left(\sum_{i=1}^p \frac{\mu_i}{\alpha_i} \right)^2}{\left(\sum_{i=1}^p \frac{\mu_i}{\alpha_i} \right)^2 - \sum_{i=1}^p \mu_i \alpha_i}$$

$$\Lambda_n^{(2)} = \left(1 - \sum_{i=1}^p \mu_i \alpha_i \right)^{-1}$$

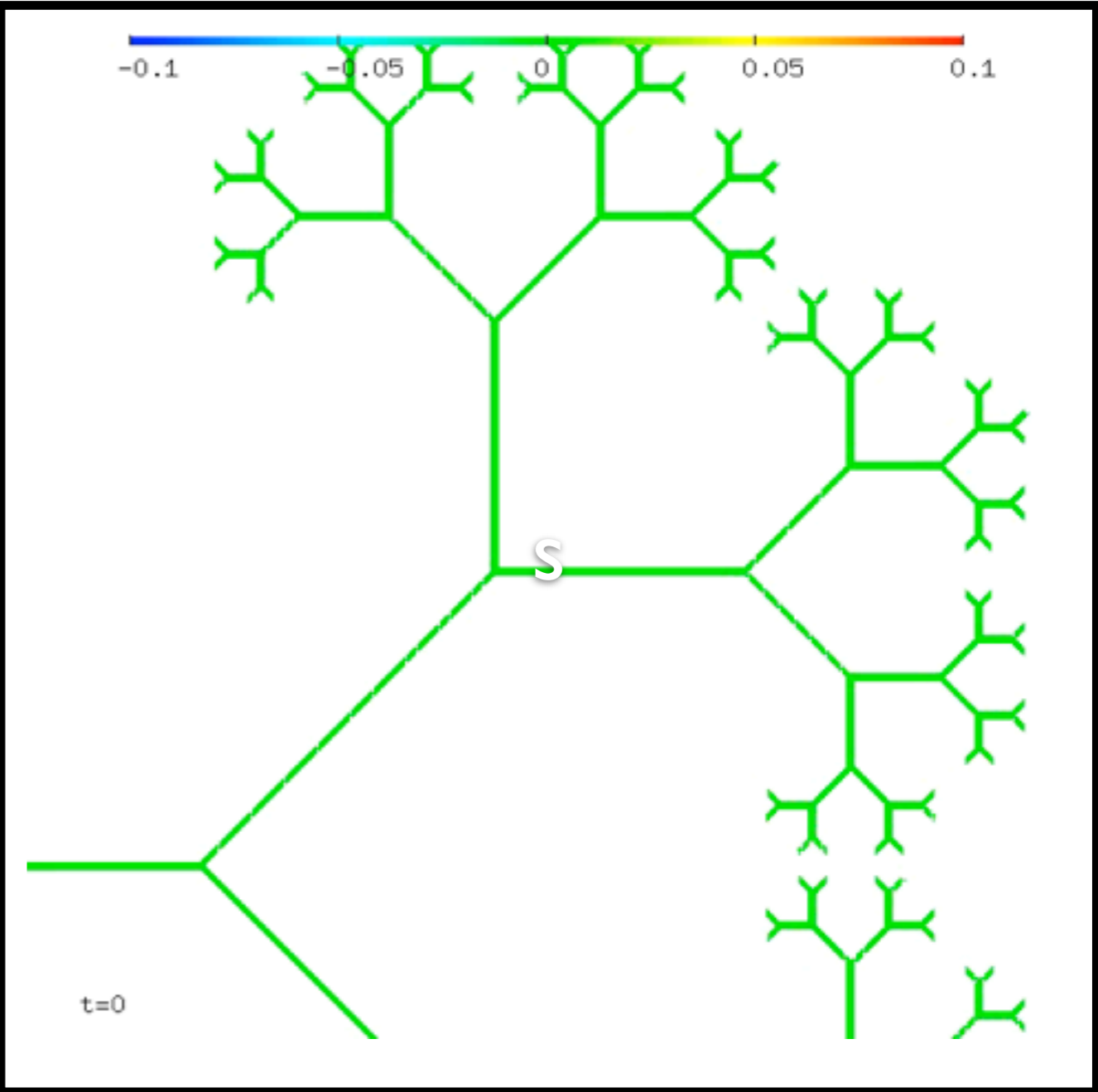
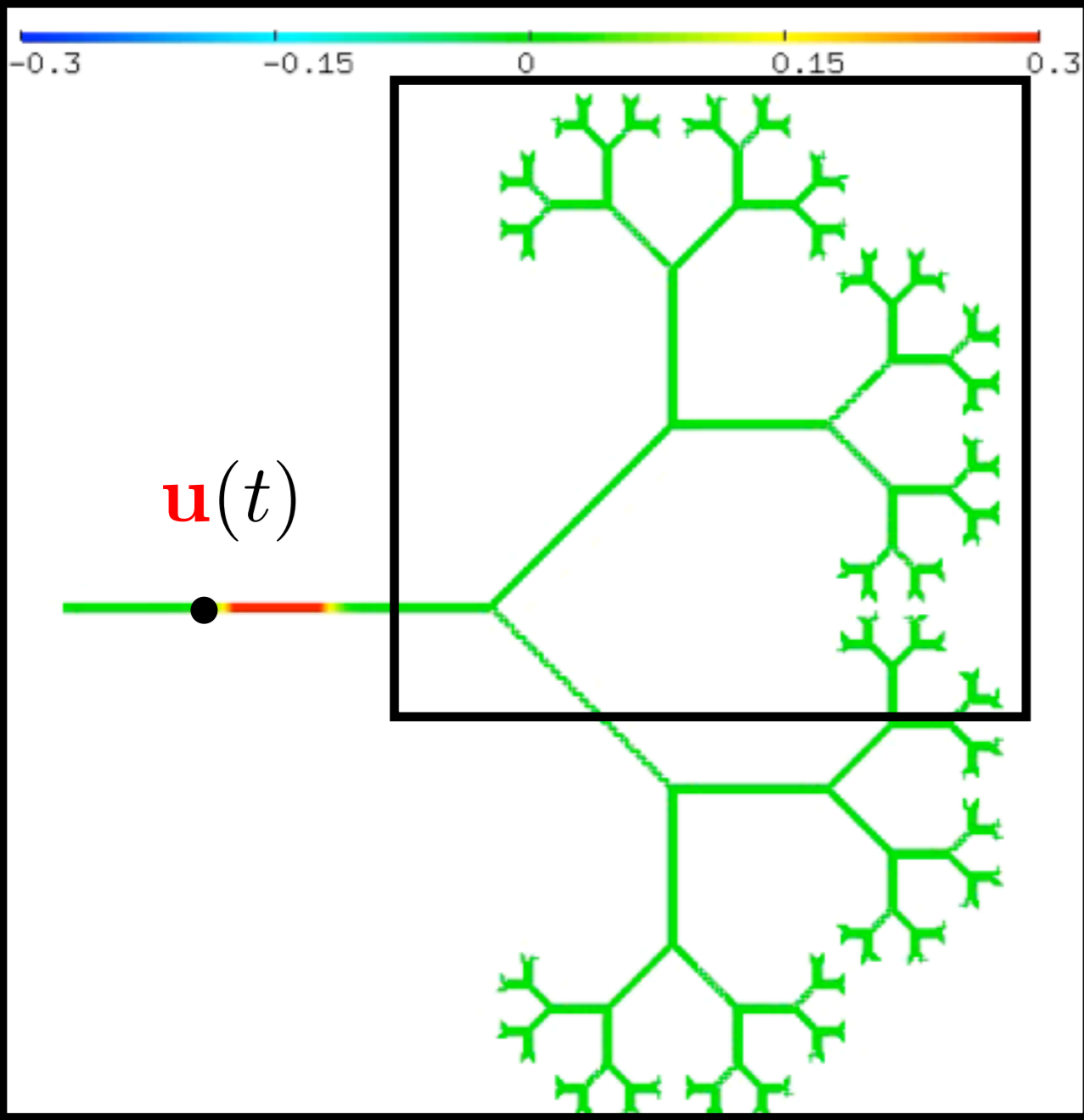




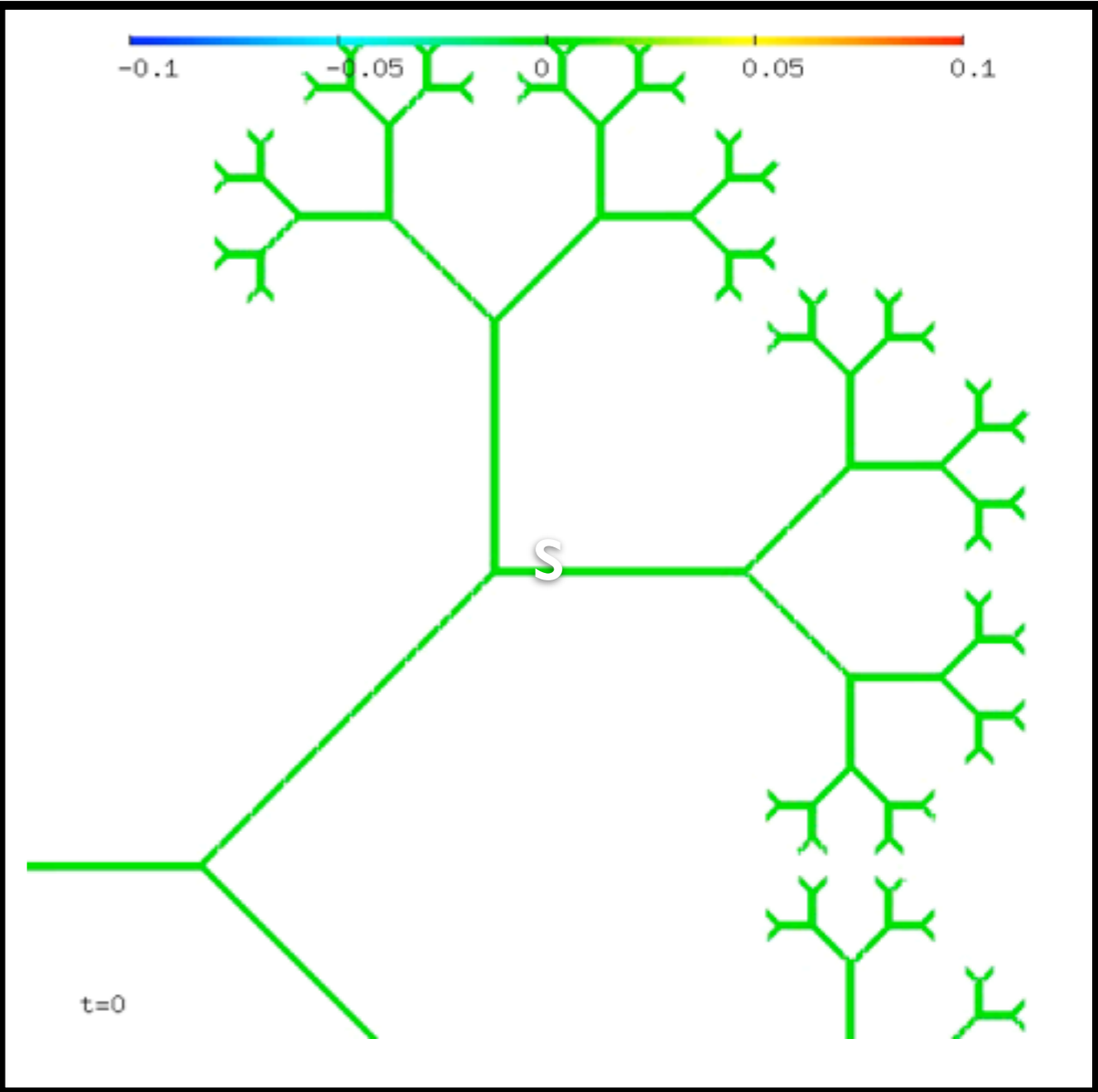
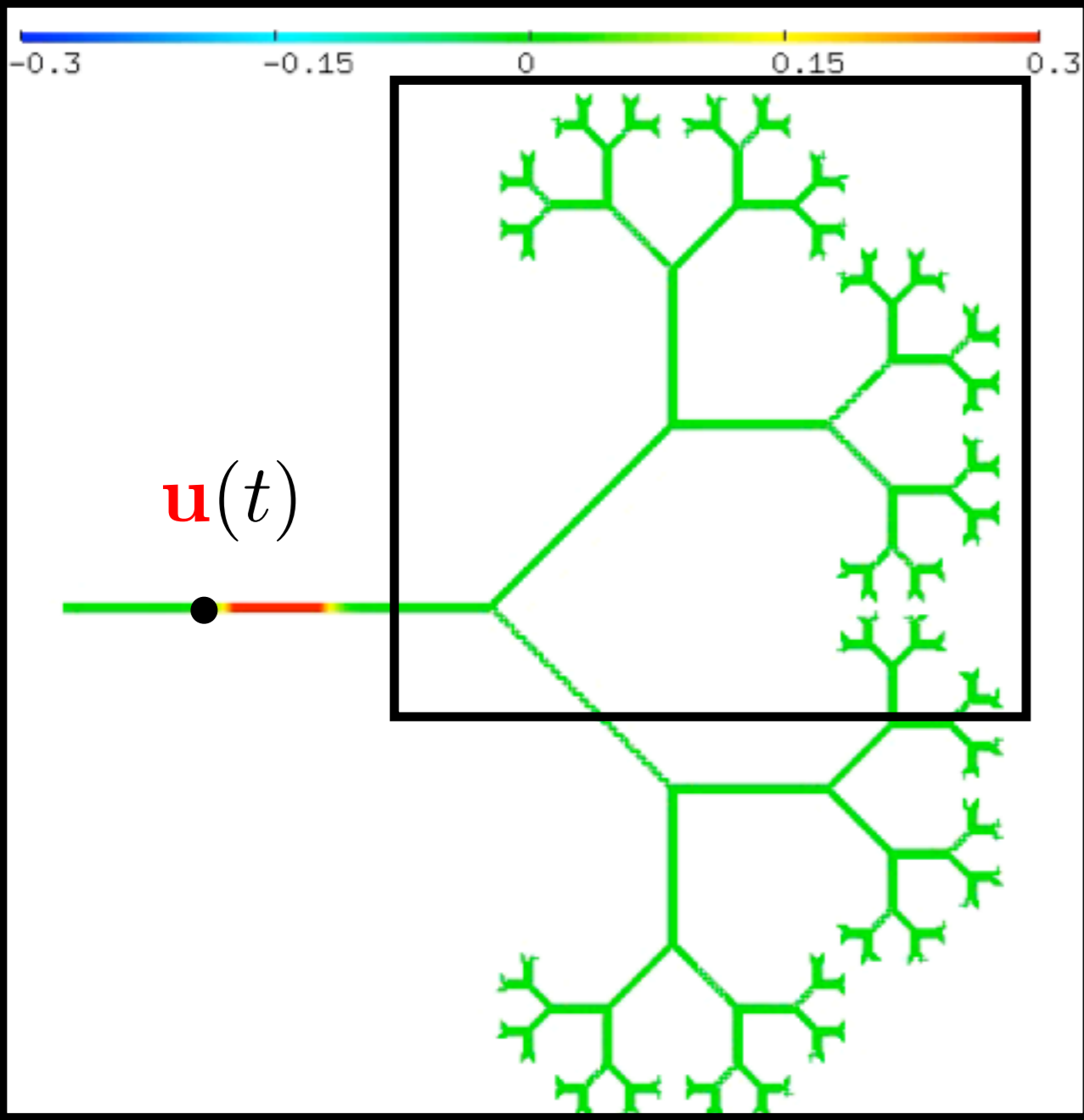
t=0



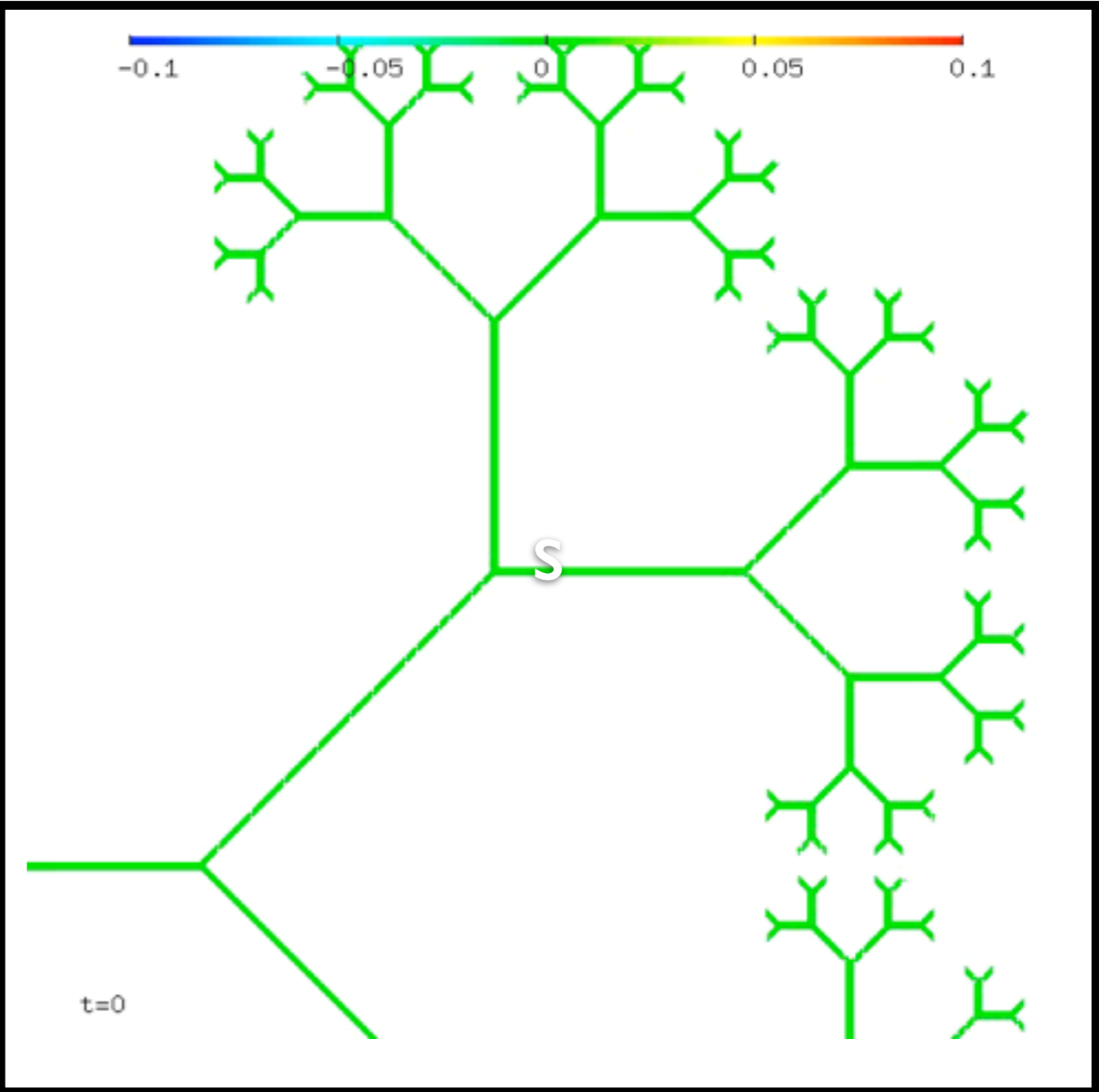
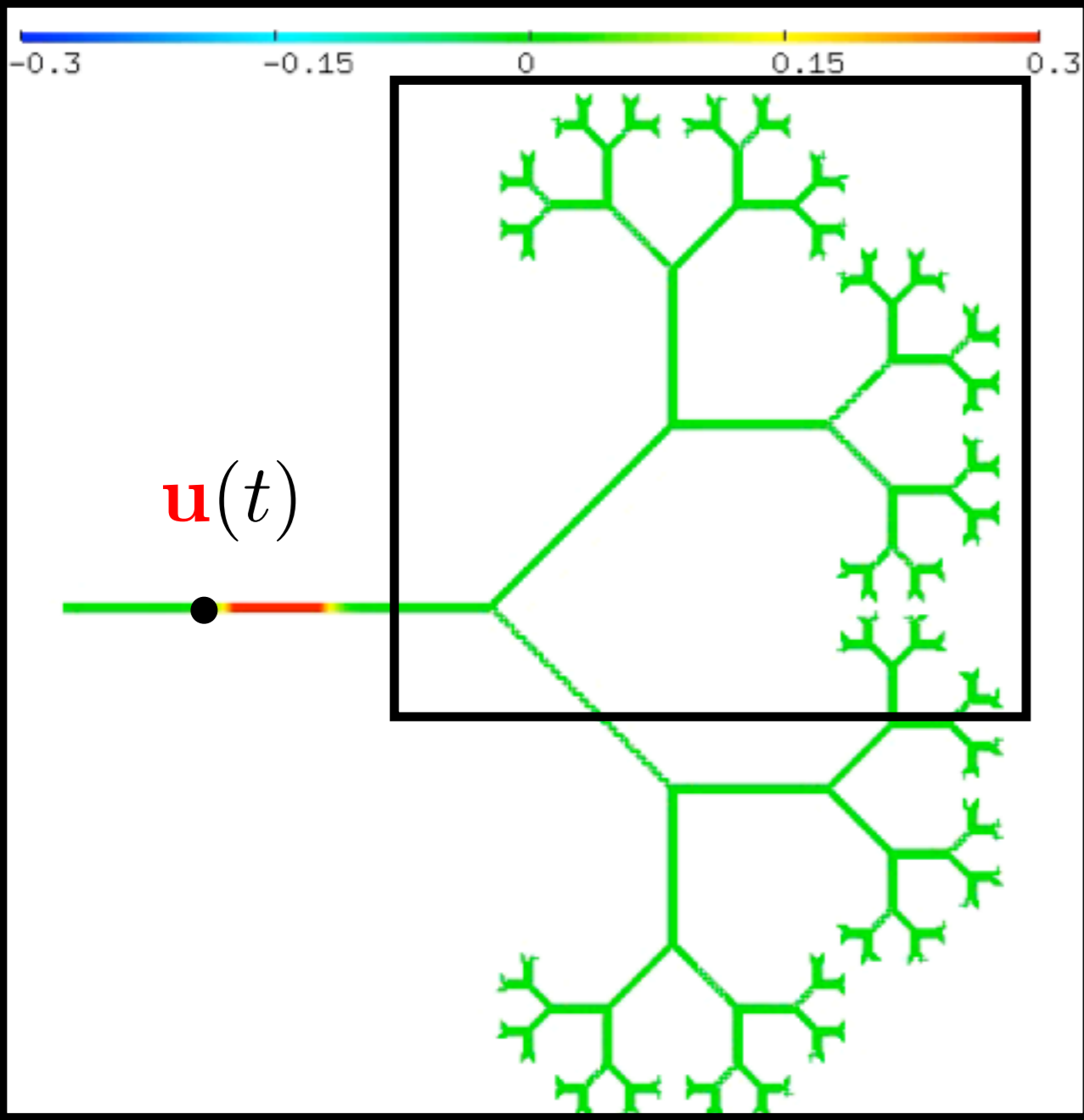
t=0



$t=0$



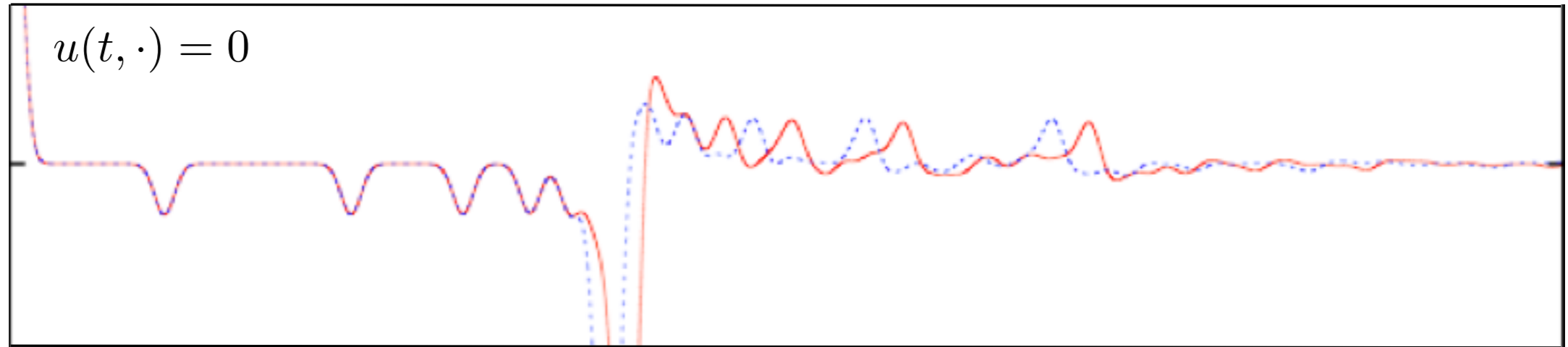
t=0



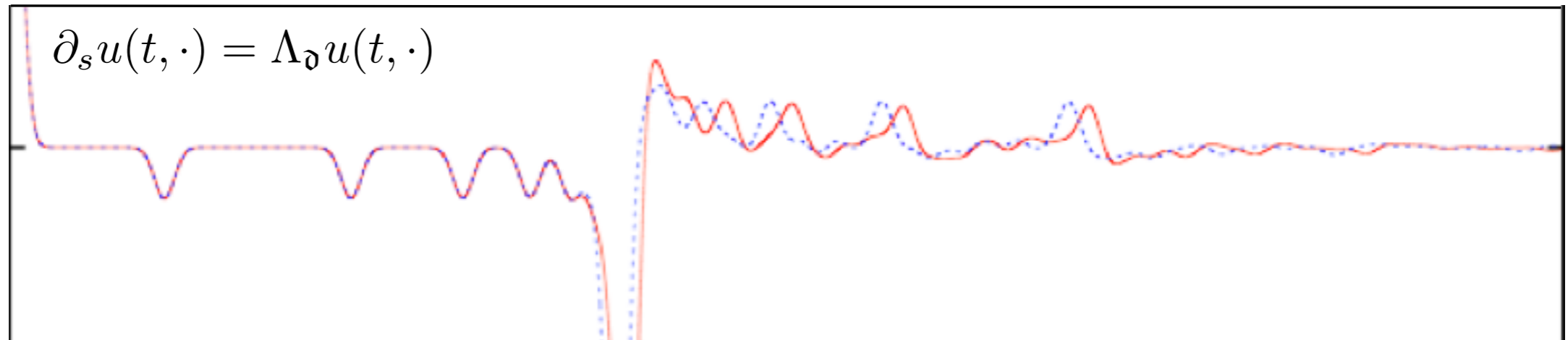
La solution de référence a été calculée sur 20 générations.

(Une semaine !)

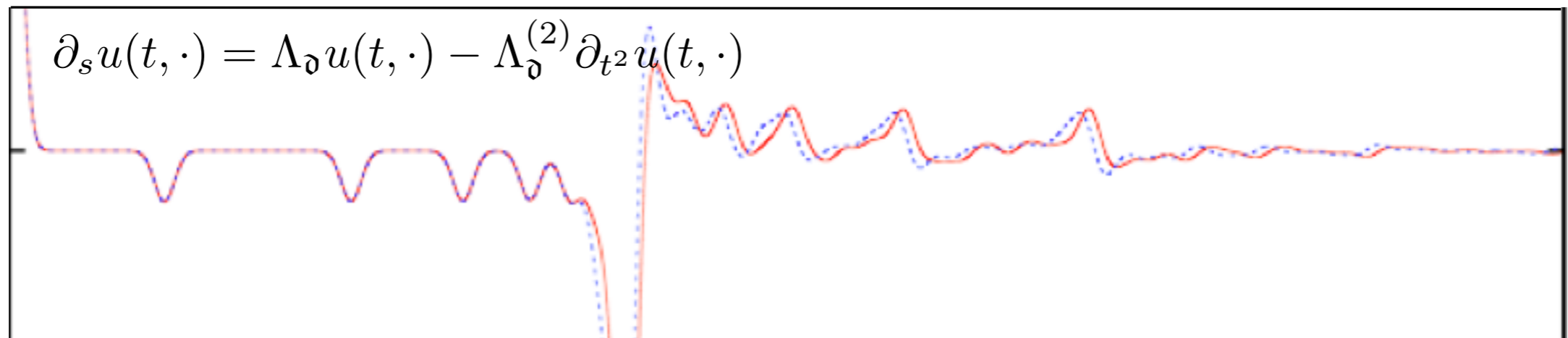
Ordre 0



Ordre 1

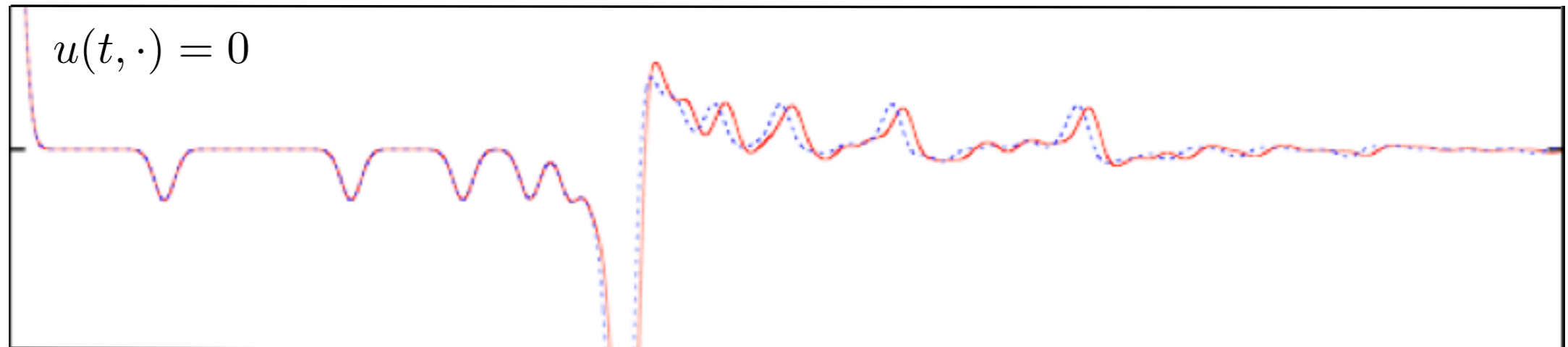


Ordre 2

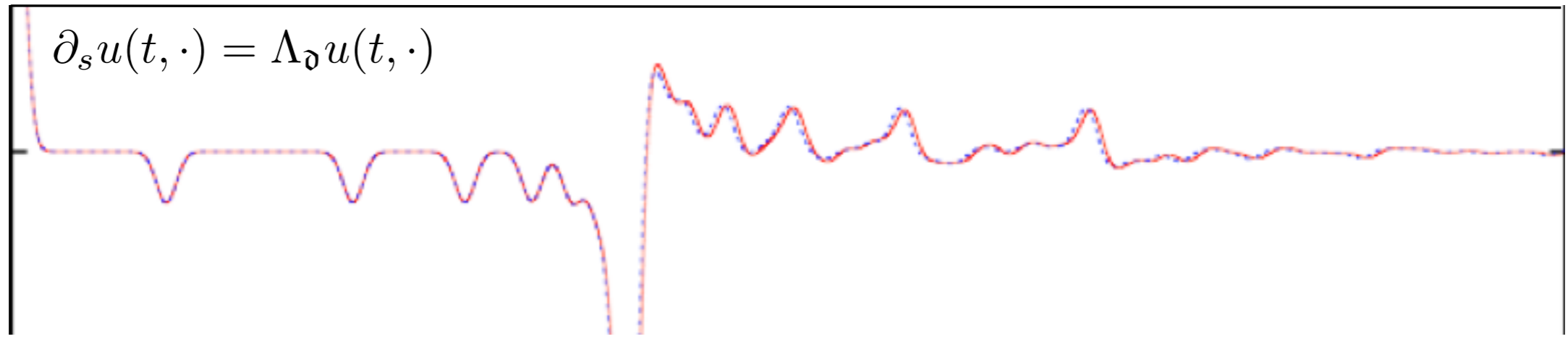


Troncature à la génération 7

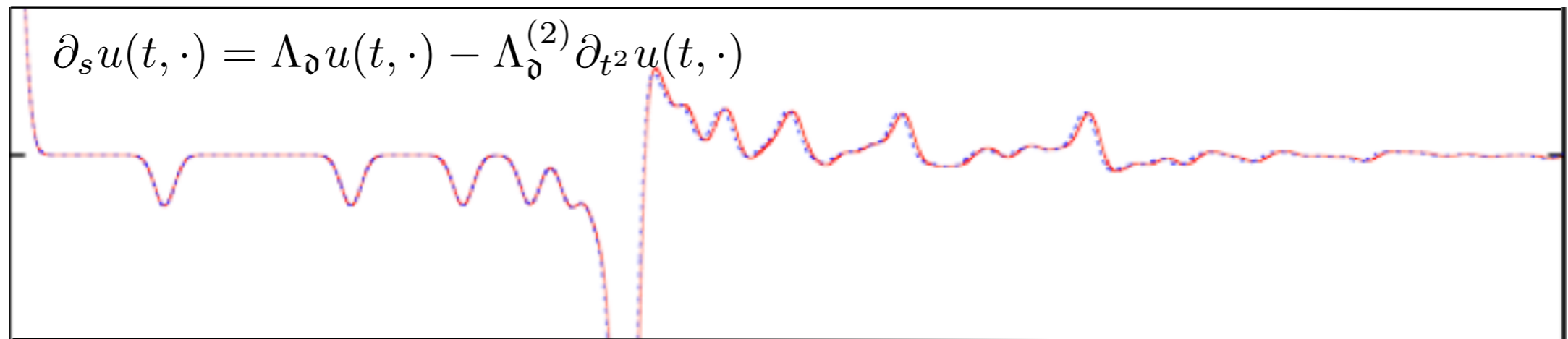
Ordre 0



Ordre 1



Ordre 2



Troncature à la génération 9

Nombre de générations	Dirichet	Condition d'ordre 1	Condition d'ordre 2	Gain ordre 1	Gain ordre 2	Nombre de d.d.l.
5	0.429	0.320	1.23×10^{-1}	1.34	3.05	198598
6	0.370	0.205	5.01×10^{-2}	1.80	7.35	258318
7	0.217	0.075	1.37×10^{-2}	2.89	15.83	329982
8	0.083	0.018	2.72×10^{-3}	4.53	30.5	415978
9	0.023	0.0031	3.84×10^{-4}	7.47	59.9	519174

Erreur L^2 relative entre le sismogramme de la solution exacte et le sismogramme de la solution approchée. Le nombre de degrés de liberté pour la solution exacte est de l'ordre de 10^8 points.

Nombre de générations	Dirichet	Condition d'ordre 1	Condition d'ordre 2	Gain ordre 1	Gain ordre 2	Nombre de d.d.l.
5	0.429	0.320	1.23×10^{-1}	1.34	3.05	198598
6	0.370	0.205	5.01×10^{-2}	1.80	7.35	258318
7	0.217	0.075	1.37×10^{-2}	2.89	15.83	329982
8	0.083	0.018	2.72×10^{-3}	4.53	30.5	415978
9	0.023	0.0031	3.84×10^{-4}	7.47	59.9	519174

Erreur L^2 relative entre le sismogramme de la solution exacte et le sismogramme de la solution approchée. Le nombre de degrés de liberté pour la solution exacte est de l'ordre de 10^8 points.

Nombre de générations	Dirichet	Condition d'ordre 1	Condition d'ordre 2	Gain ordre 1	Gain ordre 2	Nombre de d.d.l.
5	0.429	0.320	1.23×10^{-1}	1.34	3.05	198598
6	0.370	0.205	5.01×10^{-2}	1.80	7.35	258318
7	0.217	0.075	1.37×10^{-2}	2.89	15.83	329982
8	0.083	0.018	2.72×10^{-3}	4.53	30.5	415978
9	0.023	0.0031	3.84×10^{-4}	7.47	59.9	519174

Erreur L^2 relative entre le sismogramme de la solution exacte et le sismogramme de la solution approchée. Le nombre de degrés de liberté pour la solution exacte est de l'ordre de 10^8 points.

Nombre de générations	Dirichet	Condition d'ordre 1	Condition d'ordre 2	Gain ordre 1	Gain ordre 2	Nombre de d.d.l.
5	0.429	0.320	1.23×10^{-1}	1.34	3.05	198598
6	0.370	0.205	5.01×10^{-2}	1.80	7.35	258318
7	0.217	0.075	1.37×10^{-2}	2.89	15.83	329982
8	0.083	0.018	2.72×10^{-3}	4.53	30.5	415978
9	0.023	0.0031	3.84×10^{-4}	7.47	59.9	519174

Erreur L^2 relative entre le sismogramme de la solution exacte et le sismogramme de la solution approchée. Le nombre de degrés de liberté pour la solution exacte est de l'ordre de 10^8 points.

- Cas d'une jonction de fentes minces (2D)

- Cas d'une jonction de fentes minces (2D)
- La théorie a complètement été justifiée, aussi bien dans le cas harmonique que dans le cas temporel.

P. Joly and A. Semin, *Construction and Analysis of Improved Kirchhoff Conditions for acoustic wave propagation in a junction of thin slots*. ESAIM Proceedings, 25(2008): pp 44-67.

P. Joly and A. Semin, *Study of propagation of acoustic waves in junction of thin slots*. INRIA Research Report, vol RR-7265, pp R1-R59, April 2010.

- Cas d'une jonction de fentes minces (2D)
- La théorie a complètement été justifiée, aussi bien dans le cas harmonique que dans le cas temporel.

P. Joly and A. Semin, *Construction and Analysis of Improved Kirchhoff Conditions for acoustic wave propagation in a junction of thin slots*. ESAIM Proceedings, 25(2008): pp 44-67.

P. Joly and A. Semin, *Study of propagation of acoustic waves in junction of thin slots*. INRIA Research Report, vol RR-7265, pp R1-R59, April 2010.

- Cas d'un arbre fractal mince:

- Cas d'une jonction de fentes minces (2D)
- La théorie a complètement été justifiée, aussi bien dans le cas harmonique que dans le cas temporel.

P. Joly and A. Semin, *Construction and Analysis of Improved Kirchhoff Conditions for acoustic wave propagation in a junction of thin slots*. ESAIM Proceedings, 25(2008): pp 44-67.

P. Joly and A. Semin, *Study of propagation of acoustic waves in junction of thin slots*. INRIA Research Report, vol RR-7265, pp R1-R59, April 2010.

- Cas d'un arbre fractal mince:
- Arbre auto-similaire: la théorie a complètement été justifiée dans le cas de l'équation de Laplace, presque complètement justifiée dans le cas de l'équation de Helmholtz.

P. Joly and A. Semin, *Propagation d'ondes dans des jonctions de fentes minces*. Oberwolfach reports, 10(2010), pp 86-89. DOI: 10.4171/OWR/10/2010.

A. Semin, *Numerical resolution of the wave equation on a network of slots*. INRIA Technical Report, vol RT-0369, pp R1-R35, August 2009.

- Cas d'une jonction de fentes minces (2D)
- La théorie a complètement été justifiée, aussi bien dans le cas harmonique que dans le cas temporel.

P. Joly and A. Semin, *Construction and Analysis of Improved Kirchhoff Conditions for acoustic wave propagation in a junction of thin slots*. ESAIM Proceedings, 25(2008): pp 44-67.

P. Joly and A. Semin, *Study of propagation of acoustic waves in junction of thin slots*. INRIA Research Report, vol RR-7265, pp R1-R59, April 2010.

- Cas d'un arbre fractal mince:
- Arbre auto-similaire: la théorie a complètement été justifiée dans le cas de l'équation de Laplace, presque complètement justifiée dans le cas de l'équation de Helmholtz.

P. Joly and A. Semin, *Propagation d'ondes dans des jonctions de fentes minces*. Oberwolfach reports, 10(2010), pp 86-89. DOI: 10.4171/OWR/10/2010.

A. Semin, *Numerical resolution of the wave equation on a network of slots*. INRIA Technical Report, vol RT-0369, pp R1-R35, August 2009.

- Arbre quelconque: la théorie a complètement été justifiée dans le cas de l'équation de Laplace (article en cours en collaboration avec S. Nicaise).

- Cas d'une jonction de fentes minces:

- Cas d'une jonction de fentes minces:
 - Étudier ce qui se passe pour une jonction de fentes minces en 3D.

- Cas d'une jonction de fentes minces:
 - Étudier ce qui se passe pour une jonction de fentes minces en 3D.
 - Traiter le cas de l'équation de Maxwell.

- Cas d'une jonction de fentes minces:
 - Étudier ce qui se passe pour une jonction de fentes minces en 3D.
 - Traiter le cas de l'équation de Maxwell.
- Cas de l'arbre fractal:

- Cas d'une jonction de fentes minces:
 - Étudier ce qui se passe pour une jonction de fentes minces en 3D.
 - Traiter le cas de l'équation de Maxwell.
- Cas de l'arbre fractal:
 - Justifier complètement la théorie dans le cas de l'équation de Helmholtz.

- Cas d'une jonction de fentes minces:
 - Étudier ce qui se passe pour une jonction de fentes minces en 3D.
 - Traiter le cas de l'équation de Maxwell.
- Cas de l'arbre fractal:
 - Justifier complètement la théorie dans le cas de l'équation de Helmholtz.
 - Traiter le problème avec d'autres conditions à l'infini de l'arbre.